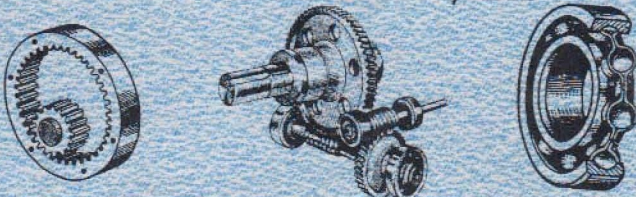


Հ.Ս. ԿԱՐԱՊԵՏՅԱՆ

ՄԵՔԵՆԱՆԵՐԻ ՄԱՍԻՆ

ՄԵՔԵՆԱՆԵՐԻ ՀԱՇՎԱՐԿԻ ԵՎ ՆԱԽԱԳԾՄԱՆ
ՀԻՄՈՒՄՆԵՐ



ԵՐԵՎԱՆ 2007

ՀԱՅԱՍՏԱՆԻ ՊԵՏԱԿԱՆ ԱԳՐԱՐԱՅԻՆ ՀԱՍՏԱՏՈՒԹՅԱՆ

Հ.Մ. ԿԱՐԱՊԵՏՅԱՆ

ՄԵՋԵՆԱՆԵՐԻ ՍԱՍԵՐ

ՄԵՋԵՆԱՆԵՐԻ ՀԱՇՎԱՐԿԻ ԵՎ ՆԱԽԱԳԾՄԱՆ
ՀԻՄՈՒՆՔՆԵՐ

ԵՐԵՎԱՆ
ՀՊԱՀ
2007

ՀՏԴ 631.3(07)

ԳՄԴ 40.72 ց7

Կ - 294

Աշխատանքը հավանության է արժանացել Հայաստանի պետական ազգարային համալսարանի գիտական հորիոդի կողմից:

Գրախոսներ՝ տ.գ.դ., պրոֆեսոր Ռ.Պ. Զավախյան (ՀՊՃՀ)

տ.գ.դ., պրոֆեսոր Ռ.Ա. Բեգլարյան (ՀՊՃՀ)

տ.գ.թ., դոցենտ Ն.Ս. Խախանյան (ՀՊՃՀ)

տ.գ.թ., դոցենտ Հ.Ա. Բարսեղյան (ՀՊՃՀ)

Խմբագիր՝ Մ.Ժ. ՂԱԶԱՐՅԱՆ

ԿԱՐԱՊԵՏՅԱՆ Հ.Մ.

Կ-294 Սերենաների մասեր: ՈՒս. ձեռնարկ. - Եր.: ՀՊԱՀ հրատ., 2007.

180 էջ:

Ուսումնական ձեռնարկում մանրամասն ներկայացված են ընդհանուր նշանակության մերենաների մասերի և հավաքական միավորների (հանգույցների) հաշվարկի ու նախագծման հիմունքներն ըստ շահագործման, երկարակեցության և հուսալիության պայմանների: Այն նախատեսված է ՀՊԱՀ ճարտարագիտական մասնագիտությունների ուսանողների, ինչպես նաև բուհերի ճարտարատեխնիկական աշխատողների համար:

Կ 3703030000
0173(01)2007

ԳՄԴ 40.72 ց7

ISBN 978-99941-52-38-4

© Հ.Մ. Կարապետյան, 2007 թ.

© Հայաստանի պետական ազգարային համալսարան, 2007 թ.

ՆԵՐԱԾՈՒԹՅՈՒՆ

Արտադրական պրոցեսները հիմնականում իրականացվում են մեխանիկական մեքենասարքավորումների միջոցով, որոնք կիրառվում են էներգիայի վերափոխման, ինչպես նաև նախապատրաստվածքների ձևերի, չափերի ձևափոխման և տեղափոխման համար:

Մեքենաշինությունը, կազմելով արտադրության հիմքը և ձևավորելով տեխնիկական առաջընթացի մակարդակը, հիմնվում է գիտության այնպիսի դիֆերենցված բաժինների վրա, ինչպիսիք են մետաղագիտությունը, ջերմանշակումը, տեսական մեխանիկան, նյութերի դիմադրությունը, մեխանիզմների և մեքենաների տեսությունը, մեքենաների հաշվարկի ու նախագծման հիմունքները («Մեքենաների մասեր» առարկա) և այլն:

Լինելով ընդհանուր տեխնիկական բազային առարկաների շարունակությունը՝ մեքենաշինությանը վերաբերող բաժինները տարրերվում են կոնկրետ կիրառական ուղղվածությամբ: Առհասարակ հնարավոր չէ պատրաստել որևէ մեքենա՝ չունենալով դրա մասերի հաշվարկի, նախագծման և կառուցվածքավորման (կոնստրուկտորական) մասին գիտելիքներ: Գործնականում բոլոր մեքենասարքավորումները կազմված են լինում մեծ քանակի նույն ֆունկցիոնալ նշանակություն ունեցող մեքենամասերից և հանգույցներից (հավաքական միավորներից), որոնք դասակարգվում են որպես ընդհանուր նշանակության մեքենամասերի ու հանգույցների, որոնց ուսումնասիրությանը զբաղվում է «Մեքենաների մասեր» առարկան:

«Մեքենաների մասեր» առարկայի նպատակն է ուսումնասիրել սարքավորումների, մեխանիկական փոխանցումների, միացումների, ընդհանուր նշանակության հիմնական և օժանդակ մեքենամասերի, հանգույցների հաշվարկի ու նախագծման հիմունքները՝ հաշվի առնելով աշխատանքային պայմանները, ընտրված նյութերի տեսակները, ջերմանշակման եղանակը, տեխնոլոգիական մշակման կարգը և այլն:

Սույն ուսումնական ձեռնարկը, համապատասխանելով ագրոճարտարագիտական, պարենամթերքի վերամշակման տեխնոլոգիաների մասնագիտությունների համար նախատեսված «Մեքենաների մասեր» դասընթացի առարկայական ծրագրին, կարող է կիրառվել նաև ԲՈՒՀ-երի մեքենաշինական մասնագիտությունների ուսանողների և ճարտարագիտատեխնիկական աշխատողների կողմից:

Ուսումնական ձեռնարկի բովանդակությունը բավարար է ուսանողների տեսական ու գործնական գիտելիքների ձեռքբերման, ինչպես

նաև «Մեքենաների մասեր» առարկայից կուրսային և այլ հաշվարկագրաֆիկական աշխատանքներ կատարելու համար: Զեօնարկի բաժինների ուսումնասիրության հաջորդականությունը (մեքենամասերի հաշվարկի և նախագծնան հիմունքներ, մեխանիկական փոխանցումներ, պտտական շարժում ապահովող մեքենամասեր, միացումներ և դրանց մեքենամասեր) պայմանավորված է կուրսային և այլ հաշվարկագրաֆիկական աշխատանքների կատարման հերթականությամբ: Յուրաքանչյուր թեմայում նյութերը շարադրված են հետևյալ միասնականացված (ունիֆիկացված) հերթականությամբ՝

- ուսումնասիրվող մեքենամասերի, հանգույցների կամ փոխանցումների սահմանումներ,
- կիրառման բնագավառ, առավելություններ և թերություններ,
- երաշխավորվող նյութերի նակնիշներ,
- երկրաչափական և ուժային պարամետրեր,
- ըստ հիմնական աշխատունակության չափանիշների՝ հաշվարկի, նախագծնան և ստուգման բանաձևների մանրամասն դուրսքերումներ:

Շարադրված նյութերը համապատասխանում են հանրապետական և միջազգային ստանդարտներին, ինչպես նաև ISO-ի երաշխավորություններին: Մասնավորապես նշված ստանդարտների պահանջներին համապատասխանում են ֆիզիկական մեծությունների նշանակումները, թույլտվածքները, նստեցվածքները, տերմինները, սահմանումները, նշանակումները, հաշվարկի մեթոդները, գրաֆիկական պատկերումները և այլն:

Հեղինակն ուսումնական ձեռնարկի ձեռագիրը տպագրության նախապատրաստելու համար իր խորին շնորհակալությունն է հայտնում պրոֆեսորներ Ա.Կ. Ամիրյանին, Կ.Ղ. Կարախանյանին, դոցենտներ Մ.Թ. Բաղրասարյանին և Ս.Ս. Մարիկյանին:

Դասագրքի կատարելագործման նպատակով ներկայացվող դիտողություններն ու առաջարկություններն ուղղել հետևյալ հասցենվ.

ՀՀ, ք. Երևան, Տերյան 74, Հայկական պետական ագրարային համալսարան, գրաֆիկայի և մեքենաների նախագծման հիմունքների ամբիոն:

ԳԼՈՒԽ 1. ՄԵՔԵՆԱՍԵՐԻ ՄՎՄԵՐԻ ՀԱՇՎԱՐԿԻ ԵՎ ՆԱԽԱԳԾՄԱՆ ՀԻՄՈՒՆՔՆԵՐԸ

1.1. Հիմնական հասկացություններ

Մեքենաշինությունում տարբերվում են հետևյալ հասկացությունները՝

- **Մեքենամաս՝** առանց հավաքման օպերացիաների, համասեր նյութից մշակված պատրաստվածք (լիսեր, ատամնանիվ, գլանվակ, աստղանիվ, հեղուս, պնդողակ և այլն):
- **Հավաքական միավոր (հանգույց)՝** պատրաստվածք (մխոց, հավաքական որդնանիվ, արագության տուփ, կցորդիչ, ռեդուկտոր և այլն)՝ հավաքված ֆունկցիոնալ կապեր ունեցող տարբեր մեքենամասերից:
- **Մեխանիզմ՝** դետալներից և հավաքական միավորներից հավաքված սարքավորում՝ նախատեսված տրված շարժման օրենքը տանող օղակներից տարբեր մեքենամասերին հաղորդելու համար:
- **Մեխանիկական փոխանցում՝** պտտական շարժում հաղորդելու համար տարբեր մեքենամասերից և հանգույցներից բաղկացած սարքավորում (շղթայավոր, փոկային, ատամնավոր, որդնակային և այլ փոխանցումներ):
- **Մեքենա՝** էներգիայի տեսակը վերափոխող (մեխանիկական շարժում կատարող) սարքավորում (էլեկտրաշարժիչ, գեներատոր, ներքին այրման շարժիչ և այլն)՝ բաղկացած մեքենամասերից և հանգույցներից:
- **Մեքենայական ագրեգատ՝** տեխնոլոգիական պրոցեսների համար նախատեսված սարքավարում (բեռնամբարձիչ, փոխադրիչ, տրակտոր, կոմբայն, մետաղահատ հաստոց, ավտոմեքենա և այլն)՝ բաղկացած մեքենայից, մեխանիկական փոխանցումից և աշխատանքային օրգաններից:

Պատրաստվածքներում ու սարքավորումներում օգտագործվում են նաև հատուկ և ընդհանուր նշանակության մեքենամասեր ու հանգույցներ:

Հատուկ նշանակության մեքենամասերն ու հանգույցները (շարժաքներ, մխոցներ, ծնկաձև լիսերներ, թափանիվներ, հաստոցների իլեր, կարտանային լիսերներ, կեռեր, ճախարակներ և այլն) օգտագործվում են սահմանափակ տեսակի սարքավորումներում:

Ընդհանուր նշանակության մեքենամասերն ու հանգույցները (հե-

ղույսներ, պնդողակներ, լիսեռներ, ատամնանիվներ, աստղանիվներ, առանցքակալներ, կցորդիչներ և այլն) օգտագործվում են գրեթե բոլոր տեսակի սարքավորումներում:

Սարքավորումների ընդհանուր նշանակության մեքենամասերն ու հանգույցները բաժանվում են հետևյալ խմբերի՝

1. Քանդվող (պարուրակային, երիթային, բազմաերիթային, սեպային և այլն) և չքանդվող (եռակցված, գաճային, զողված, սուրնձված և այլն) միացումներ ու դրանք միացնող մեքենամասեր:
2. Պտտական շարժում հաղորդող մեխանիկական փոխանցումների հիմնական մեքենամասեր (ատամնանիվներ, աստղանիվներ, փոկանիվներ, գլանվակներ և այլն):
3. Պտտական շարժում ապահովող օժանդակ մեքենամասեր և հանգույցներ (սոնիներ, լիսեռներ, առանցքակալներ, կցորդիչներ և այլն):

Ըստ նշված դասակարգման՝ «Մեքենաների մասեր» առարկան կազմված է հետևյալ հիմնական բաժիններից՝

1. Մեխանիկական փոխանցումներ:
2. Պտտական շարժում ապահովող մեքենամասեր:
3. Միացումներ և դրանց մեքենամասեր:

1.2. Մեքենամասերին և սարքավորումներին ներկայացվող պահանջներն ու աշխատունակության չափանիշները

Նոր սարքավորումներ նշակելու համար անհրաժեշտ է հստակ պատկերացնել դրանց շահագործման նպատակը, պայմանները և նախագծման մեթոդիկան:

Նախագծվող սարքավորումներին ներկայացվում են հետևյալ պահանջները՝

- անհրաժեշտ և բավարար հղորություն,
- համապատասխան բարձր արդյունավետություն,
- հնարավոր բարձր օգտակար գործողության գործակից (օ.գ.գ.),
- աշխատանքային ընթացքի ավտոնատացում,
- հուսալիություն, երկարակեցություն և փոքր գաբարիտային չափեր,
- անվտանգություն, էսթետիկական տեսք, ցածր ինքնարժեք և այլն:

Նախագծվող մեքենամասերին ներկայացվում են աշխատունա-

կության հետևալ հիմնական չափանիշները՝ ամրություն, կոշտություն, մաշակայունություն, թրթռակայունություն և ջերմադիմացկունություն (ըստ պահանջվող շահագործման ժամկետների):

Ամրությունը մեքենամասերի աշխատունակության այն հիմնական չափանիշն է, որը բնորոշում է բեռնվածքների ազդեցության տակ մեքենամասերի քայլայման դիմադրության ունակությունը պահանջվող ժամկետում: Այն բնորոշվում է հետևալ պայմաններով՝

$$\sigma \leq [\sigma], \tau \leq [\tau], \text{ Ն/մ}^2,$$

որտեղ՝ σ -ն և τ -ն համապատասխանաբար աշխատանքային նորմալ ու շոշափող լարումներն են, իսկ $[\sigma]$ -ն և $[\tau]$ -ն՝ նույն լարումների թույլատրելի արժեքները:

Կոշտությունը մեքենամասերի աշխատունակության այն կարևորագույն չափանիշն է, որը բնորոշում է բեռնվածքների ազդեցության տակ մեքենամասերի ձևի և չափերի փոփոխության դիմադրության ունակությունը պահանջվող ժամկետում: Այն բնորոշվում է հետևալ պայմաններով՝

$$y \leq [y], \text{ մմ, } \theta \leq [\theta], \text{ աստ.,}$$

որտեղ՝ y -ը և $[y]$ -ը համապատասխանաբար առանցքների աշխատանքային ու թույլատրելի ճկվածքներն են, իսկ θ -ն և $[\theta]$ -ն՝ համապատասխանաբար աշխատանքային ու թույլատրելի անկյունային տեղաշարժերը:

Մեքենաշինությունում տարբերվում են սեփական կոշտություն և մակերևութային կոշտություն հասկացությունները:

Սաշակայունությունը տրված ժամկետում մեքենամասերի շփվող մակերևույթների անհրաժեշտ չափերի պահպանման ունակությունն է: Այն բնորոշվում է հետևալ պայմանով՝

$$q \leq [q], \text{ Ն/մմ (Ն/մմ}^2\text{),}$$

որտեղ q -ն և $[q]$ -ն համապատասխանաբար աշխատանքային և թույլատրելի ճնշումներն են:

Թրթռակայունությունը ռեզոնանսային տիրույթից բավարար հեռու աշխատանքային ռեժիմներում մեքենամասերի և կառուցվածքների աշխատելու ունակությունն է: Այն բնորոշվում է հետևալ պայմանով՝

$$\omega_k < \omega < \omega_q, \text{ ռադ/վրկ,}$$

որտեղ՝ ω -ն և ω_q -ն համապատասխանաբար անհրաժեշտ աշխատանքային ու կրիտիկական անկյունային արագություններն են:

Ջերմակայունությունը տրված ժամկետում և անհրաժեշտ ջերմա-

յին ռեժիմներում մեքենամասերի ու կառուցվածքների աշխատելու ունակությունն է: Այն բնորոշվում է հետևալ պայմանով՝

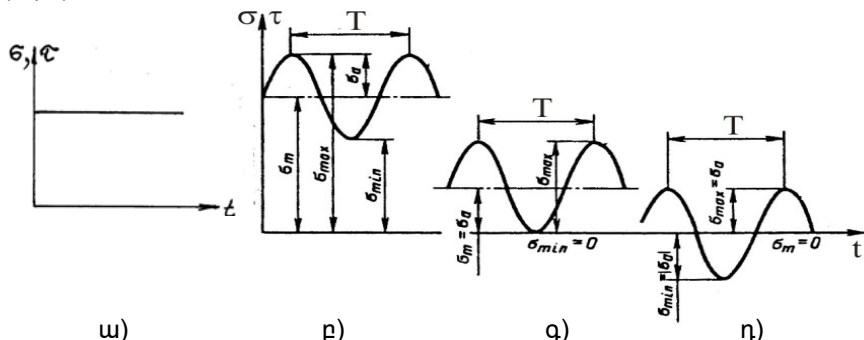
$$t \leq [t], \text{ աստ.},$$

որտեղ t -ն և $[t]$ -ն համապատասխանաբար շահագործման գոտում յուղի աշխատանքային և թույլատրելի ջերմաստիճաններն են:

Աշխատունակության նշված չափանիշների պայմաններում աշխատանքային պարամետրերի արժեքները որոշվում են սույն առարկայի համապատասխան բաժիններն ուսումնասիրելու ժամանակ, իսկ այդ պարամետրերի թույլատրելի արժեքները հիմնականում ընտրվում են ըստ տեղեկատու նյութերի՝ համաձայն շահագործման պայմանների, նյութերի տեսակների, ջերմամշակման եղանակների, մաքրության, պատրաստման ճշտության աստիճանների և այլն:

1.3. Մեքենամասերում բեռնվածքների և լարումների ցիկլերի տեսակները

Աշխատող մեքենաների մեքենամասերը ենթարկվում են ստատիկ կամ դինամիկ բեռնվածքների ազդեցությունների, որոնց հետևանքով առաջանում են համապատասխան լարումներ: Մեքենամասի լարումը բնութագրվում է լարումների ցիկլերով, որոնք հիմնականում լինում են ստատիկ ու դինամիկ, այն է՝ ոչ սիմետրիկ, զրոյական և սիմետրիկ (Ըկ.1):



Նկ. 1. Լարումների ցիկլերի տեսակները.

ա) ստատիկ, բ) ոչ սիմետրիկ, գ) զրոյական, դ) սիմետրիկ:

Բեռնվածության մեկ ցիկլի ժամանակն անվանվում է պարբերություն՝ T :

Փոփոխական լարումների ցիկլը բնութագրվում է առավելագույն և նվազագույն լարումներով՝ σ_{\max} և σ_{\min} , միջին լարումով՝

$\sigma_m = (\sigma_{\max} + \sigma_{\min})/2$, ցիկլի ամպլիտուդով՝ $\sigma_a = (\sigma_{\max} - \sigma_{\min})/2$, ցիկլի ասիմետրիայի գործակով՝ $R = \sigma_{\min}/\sigma_{\max}$:

1.4. Նախագծման փուլերը

Սարքավորումների նախագծման և կառուցվածքավորման գործում կարևոր նշանակություն ունի անհրաժեշտ աշխատանքային փաստաթղթերի մշակումը, որի հիման վրա պատրաստվում, փորձարկվում և շահագործվում են այդ սարքավորումները:

Նախագծումը կառուցվածքի մշակման այն փուլն է, երբ մշակվում են մի քանի սխեմաներ, կատարվում են կինեմատիկական, ուժային և երկրաչափական պարամետրերի հիմնական հաշվարկներ, որոնց հիման վրա կազմվում են ընդհանուր և հավաքական գծագրերը, էսքիզային և տեխնիկական նախագծերը:

Կառուցվածքավորումը կառուցվացքի մշակման այն փուլն է, երբ վերջնական ձևավորվում են ոչ ստանդարտ մեքենամասերը և մշակվում են աշխատանքային փաստաթղթերը:

Նախագծումը և կառուցվածքավորումն ընդգրկում են հետևալ փուլերը՝

- **տեխնիկական պահանջների մշակում**, որի դեպքում հիմնավորվում են կառուցվածքի ստեղծման և շահագործման անհրաժեշտությունն ու պայմանները,
- **տեխնիկական առաջարկությունների մշակում**, որի դեպքում ընտրված կառուցվածքի մի քանի սխեմաների վերաբերյալ ներկայացվում են առաջարկություններ և հիմնավոր նախնական հաշվարկներ,
- **էսքիզային նախագծի մշակում**, որի դեպքում մշակվում են կառուցվածքի նախնական գծագրերը (ընդհանուր և հավաքական՝ հիմնավորված համապատասխան հաշվարկներով),
- **տեխնիկական նախագծի մշակում**, որի դեպքում մշակվում են կառուցվածքի ճշտված գծագրերը (ընդհանուր և հավաքական), ինչպես նաև կատարվում են բոլոր մեքենամասերի նախագընման ու ստուգման հաշվարկները,
- **կոմստրուկտորական աշխատանքային փաստաթղթերի մշակում**, որի դեպքում մշակվում են տեխնիկական նախագծի փաստաթղթերը և ոչ ստանդարտ մեքենամասերի աշխատանքային գծագրերը:

Սարքավորումների նախագծման ժամանակ գործնականում ոչ միշտ է պահպանվում վերոհիշյալ հերթականությունը:

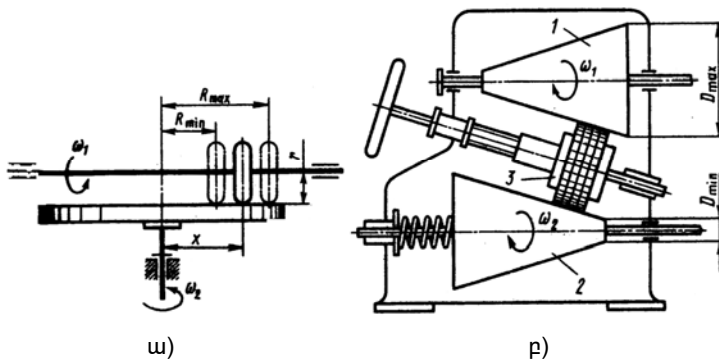
ԳԼՈՒԽ 2. ՄԵԽԱՆԻԿԱԿԱՆ ՓՈԽԱՑՈՒՄՆԵՐ

2.1. Հիմնական տեղեկություններ

ՄԵԽԱՆԻԿԱԿԱՆ ՎԻՌԱՆԳՈՒՄՆԵՐԸ սարքավորումներ են՝ նախատեսված պտտական շարժմանը կցման կամ կառչման սկզբունքով հաղորդելու համար:

Մեխանիկական վիրանգումները լինում են՝

- ըստ պտտական շարժման հաղորդման սկզբունքի՝ շփման և կառչման միջոցով աշխատող,
- ըստ նշանակման՝ պտտման հաճախությունը նվազեցնող և բարձրացնող, իսկ ոլորող մոմենտների փոփոխությը համապատասխանաբար բարձրացնող և նվազեցնող,
- ըստ արագության կարգավորման սկզբունքի՝ հաստատուն և փոփոխական արագության (նկ. 2),
- ըստ անիվների (գլանվակների, ատամնանիվների, աստղանիվների, փոկանիվների) փոխադարձ դասավորության՝ արտաքին և ներքին դասավորության,
- ըստ յուղման պայմանների՝ յուղվող կամ չյուղվող:



Նկ. 2. Վարիատորների սխեմաներ.

- ա) անմիջական հպումով ճակատային վարիատոր,
բ) օժանդակ հոլովակով երկկոնական վարիատոր:

ԵՐԿՐԱԶԱԿԻԱԿԱՆ ԱՊԱՐԱՄԵՏՐԵՐԸ: Մեխանիկական վիրանգումները բնութագրող երկրաչակական պարամետրերն են.

- լիսերի վրա առաջացած հզորությունը՝

$$P = F_t \cdot V, \text{ կ} \cdot \text{մ}/\text{վրկ} (\text{կՎտ}) \text{ կամ } \text{Ն}\cdot\text{մ}/\text{վրկ} (\text{Վտ}),$$

- շրջագծային ուժը՝

$$F_t = P/V = 2 \cdot T_n/D, \text{ Ն (կՆ),}$$

- ոլորող մոմենտը՝

$$T_n = F_t \cdot D/2 = P/\omega, \text{ Նմ (կՆ \cdot մ),}$$

- շրջագծային արագությունը՝

$$V=P/F_t = \omega \cdot D/2 = \pi \cdot D \cdot n/60, \text{ մ/վրկ,}$$

- անկյունային արագությունը՝

$$\omega = 2 \cdot V/D = \pi \cdot n/30, \text{ ռադ/վրկ,}$$

- պտտման հաճախությունը՝

$$n = 30 \cdot \omega / \pi = 60 \cdot V / (\pi \cdot D) = 60 \cdot V / (z \cdot P_t), \text{ պտ./րոպե}^{-1},$$

- մեկ զույգի համար փոխանցման օ.գ.գ.-ն՝

$$\eta = P_2 / P_1,$$

- բազմատիճան փոխանցման ընդհանուր օ.գ.գ.-ն (աստիճան-ների թիվը՝ k)՝

$$\eta_{\text{Ը}} = \eta_1 \cdot \eta_2 \cdot \dots \cdot \eta_k,$$

- փոխանցման թիվը և փոխանցման հարաբերությունը, որոնք պարզաբանելու համար անհրաժեշտ է պտտման հաճախությունն ուսումնասիրել նվազեցնող (ուժային), հաստատուն (կի-նեմատիկական) և բարձրացնող (մոլտիպլիկատոր) փոխանցումներում (Ակ. 3):

Նվազեցնող փոխանցման դեպքում (Ակ. 3ա) փոխանցման հարաբերությունը որոշվում է հետևյալ արտահայտությամբ՝

$$i_{1,2} = n_1/n_2 = \omega_1/\omega_2 > 1,$$

իսկ փոխանցման թիվը՝ հետևյալ արտահայտությամբ՝

$$u = D_2 / D_1 = z_2 / z_1 > 1:$$

Նվազեցնող փոխանցումների դեպքում

$$i_{1,2} = u > 1:$$

Դաստատուն փոխանցման դեպքում (Ակ. 3բ) փոխանցման հարաբերությունը որոշվում է հետևյալ արտահայտությամբ՝

$$i_{1,2} = n_1/n_2 = \omega_1/\omega_2 = 1,$$

իսկ փոխանցման թիվը՝ հետևյալ արտահայտությամբ՝

$$u = D_2 / D_1 = z_2 / z_1 = 1:$$

Դաստատուն փոխանցումների դեպքում

$$i_{1,2} = u = 1$$

Բարձրացնող փոխանցման դեպքում (Ակ. 3գ) փոխանցման հարաբերությունը որոշվում է հետևյալ արտահայտությամբ՝

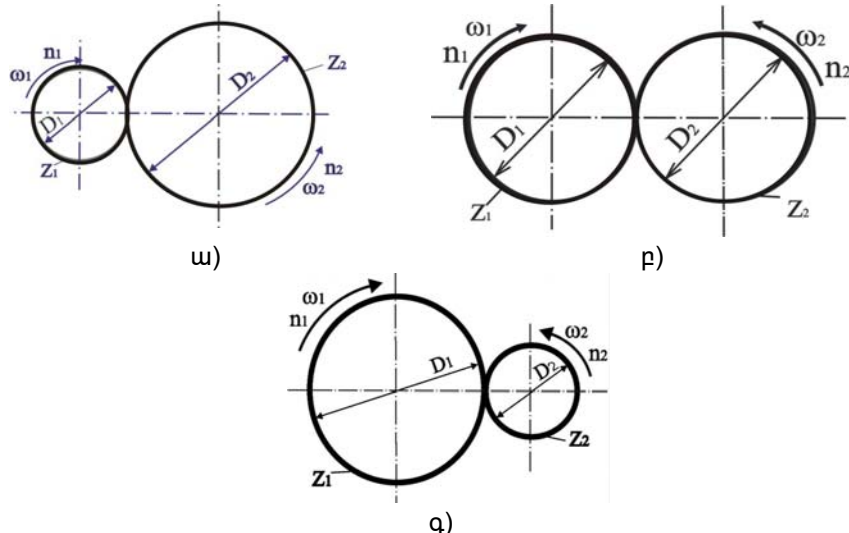
$$i_{1,2} = n_1/n_2 = \omega_1/\omega_2 < 1,$$

իսկ փոխանցման թիվը՝ հետևյալ արտահայտությամբ՝

$$u = D_1 / D_2 = z_1 / z_2 > 1:$$

Բարձրացնող փոխանցումների դեպքում՝

$$i_{1-2} \neq u:$$



Նկ. 3. Մեխանիկական փոխանցումների հնարավոր տարրերակները.

ա) նվազեցնող, բ) հաստատուն, գ) բարձրացնող:

Այսպիսով, **փոխանցման հարաբերությունը** բնորոշում է առաջին օղակից դեպի երկրորդ օղակը շարժման պատման հաճախության փոփոխումը. այն կարող է լինել 1-ից մեծ կամ 1-ից փոքր ($u = 1$ տարրերակը չի ուսումնասիրվում), իսկ **փոխանցման թիվը** բնորոշում է շարժման պատման հաճախության փոփոխումը՝ անկախ շարժման հաղորդման ուղղությունից. այն միշտ մեծ է լինում 1-ից ($u = 1$ տարրերակը չի ուսումնասիրվում):

Բազմաստիճան (աստիճանների թիվը՝ k) փոխանցումների ընդհանուր փոխանցման թիվը կազմում է

$$u_p = u_1 \cdot u_2 \cdot u_3 \cdot \dots \cdot u_k:$$

2.2. Ծփական (ֆրիկցիոն) փոխանցումներ

Ծփական փոխանցումները մեխանիկական սարքավորումներ են, որոնք նախատեսված են շփման միջոցով պտտական շարժում հաղորդելու համար:

Ծփական փոխանցումները լինում են՝

- ըստ գլանվակների մարմինների ձևի՝ գլանային, կոնական և գլանային սեպածն գլանվակներով,
- ըստ գլանվակների հպման եղանակի՝ անմիջական և օժանդակ տարրերի հպումով:

Ծփական փոխանցումներն օգտագործվում են հիմնականում փոքր և միջին բեռնվածքներ ու տարրեր արագություններ փոխանցելու համար (համապատասխանաբար $P < 20$ կՎտ և $V < 25$ մ/վրկ):

Միջին բեռնվածքների դեպքում, որպես գլանվակների նյութ, ընտրվում է տարրեր մակնիշների միջին ածխածնային կամ լեզիրված պողպատ (40, 45, 40X, 40XH, 18XAO, Ø015 և այլն), իսկ փոքր բեռնվածքների և տարրեր արագությունների դեպքում՝ գորշ բուշ կամ պլաստմասսա: Ծահագործման պայմաններով թելադրվում է նաև յուղման սկզբունքը:

Ծփական փոխանցումներն ունեն հետևյալ առավելություններ՝ կառուցվածքային պարզություն, պատրաստման և հավաքման հեշտություն, համեմատաբար ցածր ինքնարժեք, հավասարաչափ և անաղմուկ աշխատանք, փոխանցման թվի սահուն փոփոխում, գերբեռնվածքի դեպքում փոխանցման անջատման հնարավորություն, ինչպես նաև հետևյալ թերությունները՝ տեղապտույտի ժամանակ գլանվակների մակերևույթների անհավասարաչափ մաշուն, շառավիղային ուժի մեջ արժեքի ստեղծման անհրաժեշտություն (սահմանափակվում է հաղորդող հզորությունը) և գլանվակների տեղապտույտի դեպքում ոչ հաստատուն փոխանցման թվի առաջացում:

Ծփական փոխանցումների գլանվակների մակերևույթները ենթարկվում են հոգնածային փշրամաշման, մաշման և թերձնան քայլացումների, որոնք նվազեցնելու նպատակով բարձրացվում են գլանվակների մակերևությային կարծրությունը, մաշակայությունը և բարելավվում յուղման պայմանները:

2.2.1. Գլանային շփական փոխանցումներ

2.2.1.1. Դիմական տեղեկություններ

Գլանային շփական փոխանցումները մեխանիկական փոխանցումներ են, որոնք գլանվակների միջոցով պտտական շարժում են հաղորդում զուգահեռ առանցքների միջև:

Երկրաչափական պարամետրերը: Գլանային շփական փոխանցման (նկ.4) երկրաչափական պարամետրերն են.

- փոխանցման թիվը՝

$$u = n_1 / n_2 = \omega_1 / \omega_2 = D_2 / [D_1 \cdot (1 - \varepsilon)] \approx D_2 / D_1,$$

քանի որ սահքի գործակիցն ունի փոքր արժեք, մետաղների դեպքում $\varepsilon = 0,002 \div 0,03$, տեքստոլիտի դեպքում $\varepsilon \approx 0,01$, իսկ ռետինի դեպքում $\varepsilon \approx 0,03$, ընդ որում՝ $\varepsilon = (V_1 - V_2) / V_1$,

- գլանային զույգի միջառանցքային հեռավորությունը՝

$$\alpha = (D_2 \pm D_1) / 2 = D_1 \cdot (u \pm 1) / 2,$$

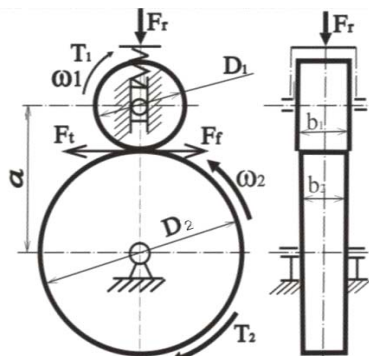
որտեղ՝ «+» նշանը համապատասխանում է արտաքին կցմանը, իսկ «-» նշանը՝ ներքին կցմանը,

- տանող գլանվակի պահանջվող տրամագիծը՝

$$D_1 = 2 \cdot \alpha / (u \pm 1),$$

- տարվող գլանվակի պահանջվող տրամագիծը (առանց ենթասահքի)՝

$$D_2 = D_1 \cdot u:$$



Նկ. 4. Գլանային շփական փոխանցման հաշվարկային սխեմա:

Ուժային կախումները: Գլանվակների համան տեղում ոլորող Տ₁₁ մոմենտից առաջանում է շրջագծային F_{t1} ուժը, իսկ դիմադրությունից՝

շփման F_f ուժը:

Փոխանցման ապահովման պայմանը հետևյալն է՝

$$F_f > F_{t_1};$$

Ըստ կցման պաշարի K գործակցի, ինչպես նաև շփման F_f ուժի և այդ ուժը ստեղծող շառավղային F_r ուժի միջև եղած $F_f = f F_r$ կապի՝ ստացվում է

$$F_r \cdot f = K \cdot F_{t_1},$$

որտեղից որոշվում է շառավղային անհրաժեշտ սեղմող ուժը՝

$$F_r = \frac{K \cdot F_{t_1}}{f} = \frac{2 \cdot K \cdot T_{n1}}{D_1 \cdot f} = \frac{K \cdot T_{n1} \cdot (u \pm 1)}{\alpha \cdot f},$$

որտեղ կցման պաշարի գործակիցն ուժային փոխանցումների համար կազմում է $K = 1,2 \div 1,8$, կինեմատիկական գույգերի համար՝ $K = 2 \div 3$, իսկ գլանվակների միջև եղած շփման գործակիցն աշխատանքային չուղվող պայմանների դեպքում՝ $f = 0,11 \div 0,2$, գլանվակների յուղման դեպքում՝ $f = 0,04 \div 0,05$:

2.2.1.2. Գլանային շփական փոխանցումների հաշվարկն ըստ մաշակայունության

Գլանային շփական փոխանցումների գլանվակները պատրաստվում են ոչ մետաղական նյութերից (ռետինից, կաշվից, փայտից և այլն): Այդ փոխանցումները չեն ենթարկվում Շուկի օրենքին և հաշվարկվում են ըստ մաշակայունության՝

$$q = F_r / b_2 \leq [q];$$

Սեղմող ուժի արժեքը տեղադրելու դեպքում ստացվում է հետևյալ ստուգիչ բանաձևը՝

$$q = \frac{K \cdot T_{n1} \cdot (u \pm 1)}{\alpha \cdot f \cdot b_2} \leq [q], \text{ Ն/մմ:}$$

Երկրաչափական պարամետրերի հարաբերությունը գլանվակի լայնության $\psi_{ba} = b_2 / a = 0,2 \div 0,6$ գործակցով արտահայտելու դեպքում ստացվում է նախագծման հետևյալ բանաձև՝

$$\alpha = \sqrt{\frac{K \cdot T_{n1} \cdot (u \pm 1)}{[q] \cdot f \cdot \psi_{ba}}}, \text{ մմ:}$$

Թույլատրելի գծային ճնշումն աշխատանքային պայմանների դեպքում կազմում է $[q] = 40 \div 80$ Ն/մմ (պողպատ-տեքստոլիտ գույգի համար) և $[q] = 10 \div 30$ Ն/մմ (պողպատ-ռետին գույգի համար):

Սույն հաշվարկը կիրառվում է նաև չյուղվող փոխանցումներում, որոնց գլանվակները պատրաստված են լինում պողպատից:

2.2.1.3. Գլանային շփական փոխանցումների հաշվարկն ըստ հպումային ամրության

Հաշվարկը պարզեցնելու նպատակով կարելի է ընդունել, որ գլանվակները պատրաստված և հավաքված են բացարձակ ճիշտ, դրանց նյութը պողպատից է և համասեռ, մակերևութային շերտը կոշտ է, կցումը կատարվում է գծով, իսկ փոխանցումը յուղվում է:

Կցման գոտում առաջացած դեֆորմացիաներից առավել վտանգավոր է տրորման դեֆորմացիան: Զգալի վտանգ են ներկայացնում նաև մակերևութային հպումային լարումները: Վերջիններս որոշվում են Հերց-Բեյսակի բանաձևով՝

$$\sigma_H = \sqrt{\frac{q \cdot E_p}{2 \cdot \pi \cdot (1 - \mu^2) \cdot \rho_p}},$$

որտեղ՝ q -ն գծային բեռնվածքն է՝

$$q = K \cdot T_{nl} \cdot (u \pm 1) / \alpha \cdot f \cdot b_2, \text{Ն/մմ},$$

E_p -ն՝ առաջականության (Յունգի) բերված մոդուլը, որը գլանվակների տարրեր նյութերի դեպքում որոշվում է հետևյալ բանաձևով՝

$$E_p = 2 \cdot E_1 \cdot E_2 / (E_1 + E_2), \text{Ն/մմ}^2,$$

μ -ն Պուասոնի գործակիցն է. պողպատի համար $\mu = 0,3$, գորշ թուղի համար՝ $\mu = 0,25$, բրոնզի համար $\mu = 0,35$, ρ_p -ն՝ բերված կորության շառավիղը՝

$$\rho_p = \frac{\rho_1 \cdot \rho_2}{\rho_1 + \rho_2}, \text{մմ},$$

որտեղ՝ $\rho_1 = D_1/2$, իսկ $\rho_2 = D_2/2$:

Արժեքները տեղադրելու դեպքում ստացվում է

$$\rho_p = \frac{D_1 \cdot D_2}{4 \cdot \left(\frac{D_1}{2} + \frac{D_2}{2} \right)} = \frac{D_2}{2(u+1)} = \frac{\alpha \cdot u}{(u+1)^2} :$$

Վերջինս Հերց-Բեյսակի բանաձևում տեղադրելու և հպումային անրության պայմանը կազմելու դեպքում ստացվում է

$$\sigma_H = 0,418 \cdot \sqrt{\frac{K \cdot T_{nl} \cdot (u+1) \cdot (u+1)^2 \cdot E_p}{f \cdot b_2 \cdot \alpha \cdot u}} \leq [\sigma]_H ,$$

որտեղից դուրս է բերվում ստուգիչ բանաձև՝

$$\sigma_H = \frac{0,418}{\alpha} \cdot \sqrt{\frac{K \cdot T_{nl} \cdot E_p \cdot (u \pm 1)^3}{f \cdot b_2 \cdot u}} \leq [\sigma]_H , \text{ Ա/ԾՄ}^2:$$

Ըստ $b_2 = \psi_{ba} \cdot \alpha$ կախվածության՝ ստուգում է վերջնական նախագծման բանաձևը՝

$$\alpha = (u \pm 1) \cdot \sqrt[3]{\left(\frac{0,418}{[\sigma]_H}\right)^2 \cdot \frac{K \cdot T_{nl} \cdot E_p}{f \cdot \psi_{ba} \cdot u}} , \text{ մմ:}$$

Վերջինիս վերլուծության հիման վրա կարելի է ի հայտ բերել այն պարամետրերն ու շահագործման պայմանները, որոնք կարող են զգալի ազդեցություն ունենալ փոխանցման գաբարիտային չափերի փոքրացման վրա:

2.2.2. Կոնական շփական փոխանցումներ

2.2.2.1. Դիմական տեղեկություններ

Կոնական շփական փոխանցումները մեխանիկական սարքավորումներ են, որոնք պտտական շարժումը հաղորդում են կոնական գլանվակների միջոցով՝ դրանց առանցքների տարբեր անկյուններով։ Դիմականում օգտագործվում են ուղղահայաց առանցքներով (օրթոգոնալ) կոնական փոխանցումները։

Երկրաչափական պարամետրերը: Կոնական շփական փոխանցման (նկ. 5) երկրաչափական պարամետրերն են՝

- ուղղահայացության պայմանը (կոնավորության անկյունների գումարը) $\Sigma\varphi = \varphi_1 + \varphi_2 = 90^\circ$,
- փոխանցման թիվը՝ $u = n_1/n_2 = \omega_1/\omega_2 \approx D_2/D_1 = \tan\varphi_2 = 1/\tan\varphi_1 = \cot\varphi_1$,
- արտաքին կոնական հեռավորությունը՝

$$R_e = \frac{\sqrt{D_1^2 + D_2^2}}{2} = \frac{D_1 \sqrt{u^2 + 1}}{2} = \frac{D_2 \sqrt{u^2 + 1}}{2 \cdot u} ,$$

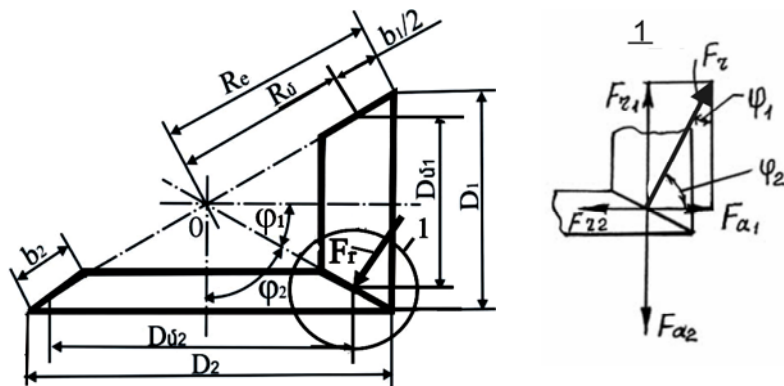
$$\text{որտեղից } D_1 = \frac{2 \cdot R_e}{\sqrt{u^2 + 1}}, \quad D_2 = \frac{2 \cdot R_e \cdot u}{\sqrt{u^2 + 1}},$$

ըստ եռանկյան՝ $D_1 = 2 \cdot R_e \cdot \sin \varphi_1$, $D_2 = 2 \cdot R_e \cdot \sin \varphi_2$,
միջին կոնական հեռավորությունը՝

$$R_d = \frac{\sqrt{D_{\alpha 1}^2 + D_{\alpha 2}^2}}{2} = \frac{D_{\alpha 1} \sqrt{u^2 + 1}}{2} = \frac{D_{\alpha 2} \sqrt{u^2 + 1}}{2 \cdot u},$$

որտեղից համապատասխանաբար՝

$$D_{\alpha 1} = \frac{2 \cdot R_d}{\sqrt{u^2 + 1}} = 2 \cdot R_d \cdot \sin \varphi_1, \quad D_{\alpha 2} = \frac{2 \cdot R_d \cdot u}{\sqrt{u^2 + 1}} = 2 \cdot R_d \cdot \sin \varphi_2 :$$



Նկ. 5. Կոնական շփական փոխանցման հաշվարկային սխեմա:

Ուժային կախումները: Փոխանցման ընթացքում առաջացած շըր-ջագծային ուժը կազմում է $F_{t1} = \frac{2T_{n1}}{D_{\alpha 1}}$, իսկ անհրաժեշտ սեղմող շառա-վղային ուժը՝

$$F_r = \frac{K \cdot F_{t1}}{f} = \frac{K \cdot 2 \cdot T_{n1}}{f \cdot D_{\alpha 1}} = \frac{K \cdot T_{n1} \cdot \sqrt{u^2 + 1}}{f \cdot R_d},$$

Վերջինիս ուժային բաղադրիչները որոշվում են որպես շառավիղային և առանցքային ուժեր՝ $F_{r1} = F_r \cdot \cos \varphi_1 = F_{\alpha 2}$, $F_{\alpha 1} = F_r \cdot \sin \varphi_1 = F_{t2}$, որոնց հա-րաբերությունը կազմում է

$$\frac{F_{r1}}{F_{\alpha 1}} = \frac{F_r \cdot \cos \varphi_1}{F_r \cdot \sin \varphi_1} = \frac{\cos \varphi_1}{\sin \varphi_1} = \operatorname{ctg} \varphi_1 = u :$$

2.2.2.2. Կոնական շփական փոխանցումների հաշվարկմ ըստ մաշակայունության

Եթե կոնական շփական փոխանցումների գլանվակները պատրաստվում են ոչ մետաղական նյութերից (ռետինից, կաշվից, փայտից և այլն), որոնք չեն ենթարկվում Հուկի օրենքին, ապա հաշվարկվում են ըստ մաշակայունության (նկ. 5, $b_1 = b_2$)՝

$$q = F_r / b_2 < [q]:$$

Սեղմող ուժի արժեքը տեղադրելու դեպքում ստացվում է ստուգիչ բանաձևը՝

$$q = \frac{K \cdot T_{n1} \cdot \sqrt{u^2 + 1}}{f \cdot R_u \cdot b_2} = [q], \text{ Ն/մմ:}$$

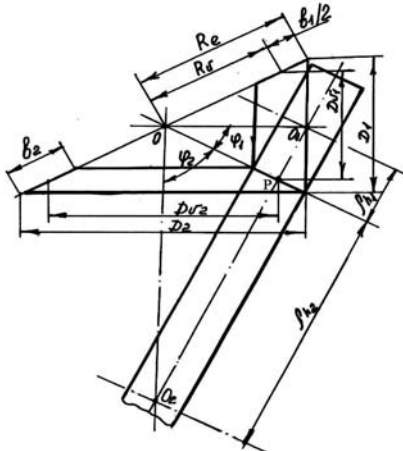
Երկրաչափական պարամետրերի հարաբերությունը գլանվակի լայնության $\psi_{R_d} = b_2/R_d = 0,2 \div 0,4$ գործակցով արտահայտելու դեպքում ստացվում է նախագծման հետևյալ բանաձևը՝

$$R_d = \sqrt{\frac{K \cdot T_{n1} \sqrt{u^2 + 1}}{f \cdot \psi_{R_d} [q]}}, \text{ մմ:}$$

Աշխատանքային չյուղվող պայմանների դեպքում գլանվակների միջև շփման գործակիցը կազմում է $f = 0,15 \div 0,25$ (պողպատ-տեքստոլիտ գույգի համար) և $f = 0,35 \div 0,7$ (պողպատ-ռետին գույգի համար), իսկ թույլատրելի գծային ճնշումը՝ $[q] = 40 \div 80$ Ն/մմ (պողպատ-տեքստոլիտ գույգի համար) և $[q] = 10 \div 30$ Ն/մմ (պողպատ-ռետին գույգի համար):

2.2.2.3. Կոնական շփական փոխանցումների հաշվարկմ ըստ հպումային ամրության

Ընդունելով շահագործման նույն պայմանները (ըստ գլանային շփական փոխանցումների համանման հաշվարկի՝ կարելի է կոնական շփական փոխանցումը փոխարինել դրան համարժեք գլանային շփական փոխանցումով): Դրա համար պետք է հաշվարկային սխեմայի հիման վրա կատարել համապատասխան կառուցումներ, որոնց արդյունքում կստացվի գլանային հարք գլանվակներով փոխանցում, որը համարժեք է ուսումնասիրվող կոնական փոխանցմանը (նկ. 6):



Նկ. 6. Կոնական շփական փոխանցման հաշվարկային սխեմա:

Ըստ գլանվակների նյութի տեսակի (պողպատ)՝ նշված գլանային գույզի համար հպումային լարումները կազմուն են

$$\sigma_H = \sqrt{\frac{q \cdot E_p}{2 \cdot \pi \cdot (1 - \mu^2) \cdot \rho_p}} = 0,418 \cdot \sqrt{\frac{q \cdot E_p}{\rho_p}},$$

$$\text{որտեղ՝ } q - \text{ն գծային ճնշումն է՝ } q = \frac{K \cdot T_{nl} \cdot \sqrt{u^2 + 1}}{f \cdot R_d \cdot b_2},$$

ρ_p -ն՝ բերված կորության շարավիղը՝

$$\rho_p = \frac{\rho_{h1} \cdot \rho_{h2}}{\rho_{h1} + \rho_{h2}} :$$

Ըստ O_1PO եռանկյան՝ $\rho_{h1} = D_{h1}/2 = R_d \cdot \operatorname{tg}\varphi_1 = R_d/u$, իսկ ըստ O_2PO եռանկյան՝ $\rho_{h2} = D_{h2}/2 = R_d \cdot \operatorname{tg}\varphi_2 = R_d \cdot u$:

Արժեքները տեղադրելու դեպքում ստացվում է

$$\rho_p = \frac{\frac{R_d}{u} \cdot R_d \cdot u}{\frac{R_d}{u} + R_d \cdot u} = \frac{R_d^2 \cdot u}{R_d(u^2 + 1)} = \frac{R_d \cdot u}{(u^2 + 1)} :$$

ρ_p -ի և q -ի արտահայտությունները տեղադրելուց հետո ստացվում է

$$\sigma_H = 0,418 \cdot \sqrt{\frac{K \cdot T_{nl} \cdot \sqrt{u^2 + 1} \cdot (u^2 + 1) \cdot E_p}{f \cdot R_d \cdot b_2 \cdot R_d \cdot u}},$$

որտեղից դուրս է բերվում վերջնական ստուգիչ բանաձև՝

$$\sigma_H = \frac{0,418}{R_d} \cdot \sqrt{\frac{KT_{nl} \sqrt{(u^2 + 1)^3} \cdot E_p}{f \cdot b_2 \cdot u}} \leq [\sigma]_H, \text{ Ն/Ծմ}^2:$$

Նախագծման բանաձևը ստանալու համար տեղադրվում է
 $b_2 = \psi_{Rd} \cdot R_d$ արժեքը՝

$$R_d = \sqrt{u^2 + 1} \cdot \sqrt[3]{\left(\frac{0,418}{[\sigma]_H}\right)^2 \cdot \frac{K \cdot T_{nl} \cdot E_p}{f \cdot \psi_{Rd} \cdot u}}, \text{ Ծմ:}$$

2.2.3. Գլանային սեպածն զլանվակներով շփական փոխանցումներ

2.2.3.1. Դիմական տեղեկություններ

Գլանային սեպածն զլանվակներով շփական փոխանցումները կազմված են սեպածն ելուստներով և առվակներով գլանվակներից, որոնք շարժում են հաղորդում հիմնականում զուգահեռ առանցքների միջև։ Այս փոխանցումներն ունեն հետևյալ առավելությունները՝ հարաբերական մեծ բեռնվածքների փոխանցում, սեղմող շառավիղային փոքրը (մոտ չորս անգամ) ուժի անհրաժեշտություն, որ պայմանավորված է գլանվակների մակերևույթների սեպածներյամբ, ինչպես նաև հետևյալ թերությունը՝ կցման մակերևույթի երկարության վրա կետերի արագությունների տարբերությունը, ինչի հետևանքով առաջանում է ինտենսիվ անհավասարաչափ մաշում, ուստի այս փոխանցումները նպատակահարմար է օգտագործել կարճատև ժամկետում։

Երկրաչափական պարամետրերը: Գլանային սեպածն գլանվակներով շփական փոխանցման (նկ. 7) երկրաչափական պարամետրերն են՝

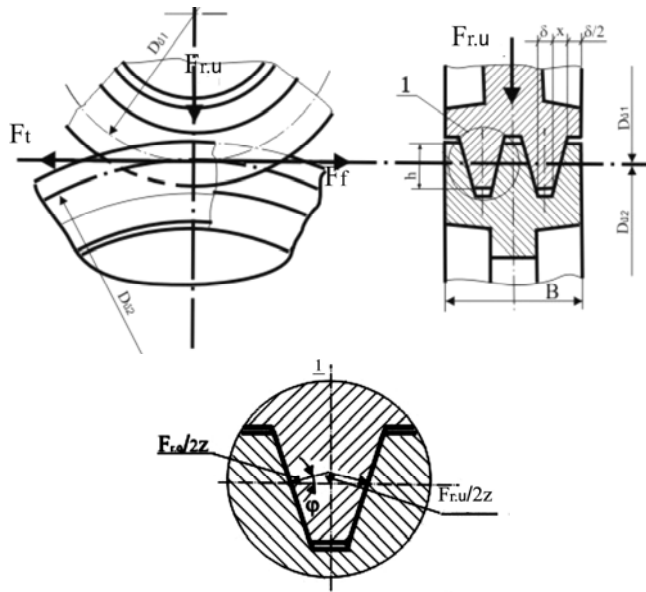
$$- \text{ փոխանցման թիվը՝ } u = \frac{n_1}{n_2} = \frac{\omega_1}{\omega_2} = \frac{D_{d2}}{D_{d1}},$$

- զույգի միջառանցքային հեռավորությունը՝

$$\alpha = \frac{D_{d2} \pm D_{d1}}{2} = \frac{D_{d1} \cdot (u \pm 1)}{2},$$

որտեղից տանող գլանվակի միջին տրամագիծը կազմում է

$$D_{d1} = \frac{2 \cdot \alpha}{u \pm 1}:$$



Նկ. 7. Գլանային սեպածև գլանվակներով շփական փոխանցման հաշվարկային սխեմա:

Չամաձայն սեպերի կետերի տարբեր շրջագծային արագությունների՝ մաշումը նվազագնելու նպատակով սեպերի բարձրությունը սահմանափակվում է ըստ $h = \frac{0,08 \cdot a}{u \pm 1}$ արտահայտության, քանի որ

$$h \approx 0,08 \cdot \frac{D_{\text{ն}}}{2} :$$

Նկ. 7-ից երևում է, որ $x = h \cdot \operatorname{tg} \varphi$: Ընդ որում, որպես սեպի անկյուն, նպատակահարմար է ընդունել $\varphi = 15^\circ \div 18^\circ$:

Գլանվակների լայնությունը կազմում է

$$B = (d + 2 \cdot x) \cdot z + (z - 1) \cdot \delta + 2 \cdot \frac{\delta}{2} = 2 \cdot z \cdot (\delta + x) = 2 \cdot z \cdot (\delta + h \cdot \operatorname{tg} \varphi),$$

որտեղ՝ z -ը սեպերի քանակն է, իսկ δ ՝ սեպի գլխիկի լայնությունը,
 $\delta = 3 \div 5$ մմ:

Ուժային կախումները: Կցման մեջ առաջանում է հետևյալ ուժային հարաբերությունը (Նկ. 7): $\frac{F_{r.u}/2 \cdot z}{F_{r.q}/2 \cdot z} = \sin \varphi,$

$$\text{որտեղից } \frac{F_{ru}}{F_{rq}} = \sin \varphi, \quad F_{rq} = \frac{F_{ru}}{\sin \varphi} = \frac{F_{ru}}{\sin 15^\circ} \approx 3,9 \cdot F_{ru}, \quad \text{այսինքն՝ սեպածն}$$

գլանվակների դեպքում, ըստ գլանային գույգերի, անհրաժեշտ է ստեղծել մոտ չորս անգամ փոքր սեղմող ուժ:

Քանի որ փոխանցման գոյության պայմանն է $F_f > F_{tl}$, իսկ շրջման ուժը կազմում է $F_f = F_{rq} \cdot f$, ապա $F_{rq} \cdot f = k \cdot F_{tl}$, որտեղից

$$F_{rq} = \frac{k \cdot F_{tl}}{f} = \frac{k \cdot 2 \cdot T_{nl}}{f \cdot D_{\delta 1}} :$$

Շրջագծային ուժը կազմում է $F_{tl} = 2 \cdot T_{nl} / D_{\delta 1}$, իսկ տանող գլանվակի միջին տրամագիծը՝ $D_{\delta 1} = \frac{2 \cdot \alpha}{u \pm 1}$:

Այսպիսով, հարթ մակերևույթներով գլանվակների կցման գոտում սեղմող շառավղային ուժը կազմում է $F_{rq} = k \cdot T_{nl} \cdot (u \pm 1) / f \cdot \alpha$:

2.2.3.2. Գլանային սեպածն գլանվակներով շփական փոխանցումների հաշվարկմ ըստ մաշակայումության

Չյուղվող գլանվակների դեպքում առավել վտանգ է ներկայացնում մաշումը:

Մաշակայունության պայմանն է $q < [q]$,
որտեղ q -ն գծային բեռնվածքն է (ճնշումը)

$$q = \frac{F_{rq}}{2 \cdot z \cdot B_q} = \frac{k \cdot T_{nl} \cdot (u \pm 1)}{2 \cdot f \cdot \alpha \cdot z \cdot B_q} = [q] :$$

$$\text{Քանի որ } B_q = h / \cos \varphi, \text{ ապա } q = \frac{k \cdot T_{nl} \cdot (u \pm 1) \cdot \cos \varphi}{2 \cdot f \cdot \alpha \cdot z \cdot h} = [q] :$$

$h = 0,08 \cdot \alpha / (u \pm 1)$ արտահայտությունը տեղադրելու դեպքում ստացվում է ստուգման բանաձև՝

$$q = \frac{k \cdot T_{nl} \cdot (u \pm 1)^2 \cdot \cos \varphi}{2 \cdot f \cdot 0,08 \cdot \alpha^2 \cdot z \cdot h} = [q], \text{ Ն/մմ,}$$

որտեղից դուրս է բերվում նախագծման բանաձև՝

$$\alpha = \sqrt{\frac{k \cdot T_{nl} \cdot (u \pm 1)^2 \cdot \cos \varphi}{2 \cdot f \cdot 0,08 [q] \cdot z \cdot h}}, \text{ մմ:}$$

2.2.3.3. Գլանային սեպածն գլանվակներով շփական փոխանցումների հաշվարկն ըստ հպումային ամրության

Յաշվարկ կատարելու համար սեպածն գլանվակներով փոխանցումը փոխարինվում է դրան համարժեք հարթ գլանվակներով փոխանցումով (նկ. 8): Ստացված զույգի համար օգտագործվում է հպումային լարումների բանաձևը՝

$$\sigma_H = 0,418 \cdot \sqrt{q \cdot \frac{E_F}{\rho_F}},$$

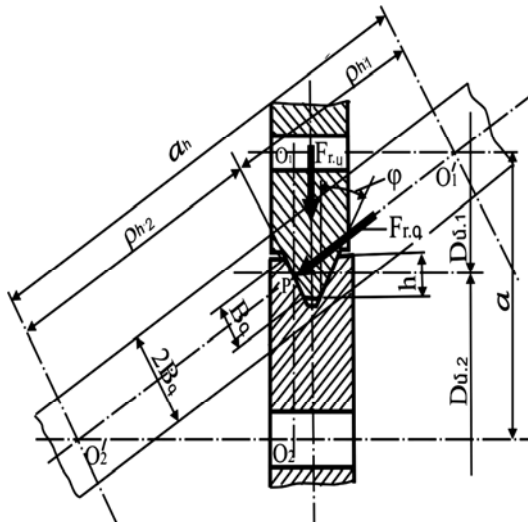
որտեղ q -ն գծային բեռնվածքն է՝

$$q = \frac{F_{r,q}}{2 \cdot z \cdot B_q} = \frac{k \cdot T_{n1} \cdot (u+1)}{2 \cdot f \cdot \alpha \cdot z \cdot B_q} :$$

$$\text{քանի որ } B_q = h / \cos \varphi, \text{ ապա } q = \frac{k \cdot T_{n1} \cdot (u+1) \cdot \cos \varphi}{2 \cdot f \cdot \alpha \cdot z \cdot h} :$$

$h = 0,08 \cdot \alpha / (u+1)$ արտահայտության տեղադրումից հետո ստացվում է՝

$$q = \frac{k \cdot T_{n1} \cdot (u \pm l)^2 \cdot \cos \varphi}{2 \cdot f \cdot 0,08 \cdot \alpha^2 \cdot z \cdot h} :$$



Նկ. 8. Գլանային սեպածն գլանվակներով շփական փոխանցման հաշվարկային սխեմա:

Յարք գլանվակների բերված կորության շառավիղը կազմում է

$$\rho_p = \frac{\rho_{h1} \cdot \rho_{h2}}{\rho_{h1} + \rho_{h2}},$$

որտեղ համարժեք հարք մակերևությներով գլանվակների շառավիղները որոշվում են հետևյալ արտահայտություններով (ըստ $O_1O_1'P$ և $O_2O_2'P$ եռանկյունների):

$$\rho_{h1} = \frac{D_{h1}}{2 \cdot \sin \varphi_1} = \frac{\alpha}{\sin \varphi \cdot (u+1)} \quad \text{և} \quad \rho_{h2} = \frac{D_{h2}}{2 \cdot \sin \varphi_2} = \frac{\alpha \cdot u}{\sin \varphi \cdot (u+1)},$$

որոնք վերոհիշյալ բանաձևում տեղադրելու դեպքում ստացվում է

$$\rho_p = \frac{\alpha \cdot u}{\sin \varphi \cdot (u \pm 1)^2}:$$

Շպումային ամրության պայմանը ձևափոխելու դեպքում

$$\sigma_H = 0,418 \cdot \sqrt{\frac{E_p \cdot k \cdot T_{nl} \cdot (u \pm 1)^2 \cdot \cos \varphi \cdot \sin \varphi \cdot (u \pm 1)^2}{2 \cdot z \cdot f \cdot 0,08 \cdot \alpha^2 \cdot \alpha \cdot u}} \leq [\sigma]_H:$$

Վերջնական ստուգիչ բանաձևը ստացվում է

$$\sigma_H = 0,522 \cdot \sqrt{\frac{k \cdot E_p \cdot T_{nl} \cdot (u \pm 1)^4}{z \cdot f \cdot \alpha^3 \cdot u}} \leq [\sigma]_H, \text{ Ն/մմ}^2:$$

Վերջինս ձևափոխելուց հետո էլ ստացվում է նախագծման բանա-

$$\text{ձևը՝ } \alpha = \sqrt[3]{(u \pm 1)^4} \cdot \sqrt[3]{\left(\frac{0,522}{[\sigma]_H}\right)^2 \cdot \frac{k \cdot T_{nl} \cdot E_p}{f \cdot z \cdot u}}, \text{ մն,}$$

$$\text{կամ } \alpha = \sqrt[3]{\left(\frac{0,522}{[\sigma]_H}\right)^2 \cdot \frac{k \cdot T_{nl} \cdot E_p \cdot (u \pm 1)^4}{f \cdot z \cdot u}}:$$

2.3. Ատամնավոր փոխանցումներ

2.3.1. Դիմնական տեղեկություններ

Փոխանցումները, որոնցում պատական շարժումը հաղորդվում է կառչման սկզբունքով՝ ատամնանիվների միջոցով, կոչվում են **ատամնավոր**.

Ուժային ատամնավոր փոխանցումներում տանող փոքր ատամնանիվը կոչվում է ատամնանվակ, իսկ տարվող մեծը՝ ատամնանիվ:

Ատամնավոր փոխանցումները մեխանիկական փոխանցումներից անենատարածվածներն են: Դրանք օգտագործվում են արտադրության բոլոր ճյուղերում, քանի որ հզորություններ և շրջագծային արագու-

թյուններ են փոխանցում լայն միջակայքով:

Ատամնավոր փոխանցումներն ունեն հետևյալ առավելություններ՝ մեծ հզորությունների ($P < 50000$ կՎտ) և շրջագծային արագությունների ($V < 150$ մ/վրկ) հաղորդման հնարավորություն, փոքր գաբարիտային չափեր և սպասարկման պարզություն, բարձր օ.գ.գ., երկարակեցություն, փոխանցման թվի հաստատումություն, հենարաններում առաջացող հարաբերական փոքր բեռնվածքներ, ինչպես նաև հետևյալ թերություններ՝ ատամնանիվների ատամների պատրաստման համեմատաբար բարձր ճշտության աստիճանի պահովման անհրաժեշտություն, բարձր արագությունների դեպքում առաջացող աղմուկ, փոխանցման թվի սահմանափակում (մեկ զույգի համար $n < 12,5$), հարվածային բեռնվածքների փոխառուցման դժվարություն՝ կապված օդակների բարձըր կոշտության հետ և այլն:

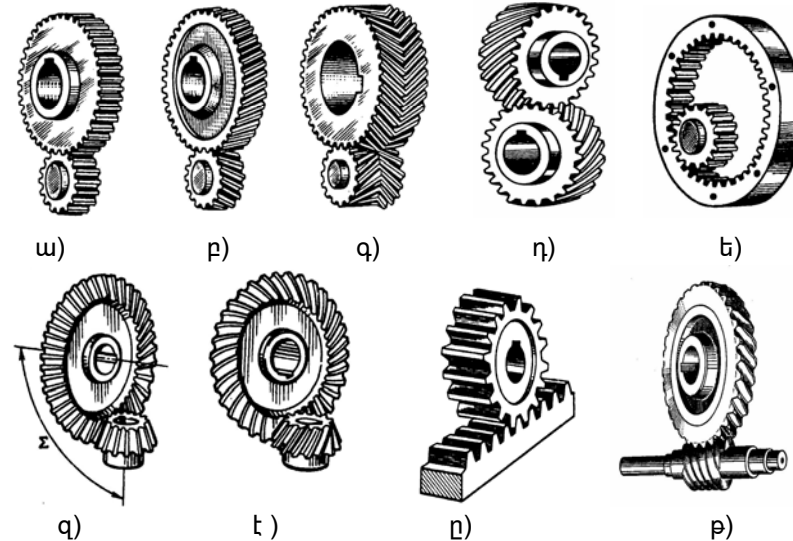
Ատամնավոր փոխանցումները լինում են (նկ. 9):

- ըստ կառուցվածքային կատարման՝ բաց, փակ և կիսափակ,
- ըստ անիվների ձևի և լիսեռների դասավորության՝ գլանային զուգահեռ (ա, բ, գ, դ, ե), կոնական հատվող (գ, է), որդնակային (թ), պոտոտակային (դ), ատամնածողային (թ), խաչվող առանցքներով,
- ըստ օլագոտու վրա ատամների դասավորության՝ ուղղատամ (ա, ե, գ, թ), շեղատամ (թ, դ, թ), երկշեղ (գ) և կլոր (է) ատամներով,
- ըստ ատամի ձևի՝ էվոլվենտային, կլոր պրոֆիլով (Նովիկովի փոխանցում, դ) և ցիկլոիդային,
- ըստ անիվների փոխադարձ դասավորության՝ արտաքին (բացի ե-ից, բոլորը) և ներքին (ե) դասավորությամբ,
- ըստ փոխանցումների աստիճանների թվի՝ միաստիճան, երկաստիճան և բազմաստիճան,
- ըստ շրջագծային արագության մեջության՝ դանդաղընթաց ($V < 3$ մ/վրկ), միջին արագության ($V = 3 \div 15$ մ/վրկ) և արագընթաց ($V > 15$ մ/վրկ),
- ըստ հաղորդվող բեռնվածքի՝ նվազ բեռնավորված ($P < 1,0$ կՎտ), միջին բեռնավորված ($P < 15,0$ կՎտ) և գերբեռնավորված ($P > 15$ կՎտ):

Ըստ շահագործման պայմանների՝ ատամնավոր փոխանցումները պատրաստվում են տարբեր նյութերից:

Նվազ բեռնավորված փոխանցումների համար ատամնանիվները նպատակահարմար է պատրաստել շերտավոր պլաստիկից (ԱՆԻ),

տեքստոլիտից (Շ Օ), կապրոնից, նայլոնից և այնպիսի նյութերից, որոնք կարող են աշխատել նաև պողպատյա ատամնանիվների հետ: Պլաստմասսայից պատրաստված ատամնանիվները լավ են զելվում (ի ծեծանակի ծնակագործությունների նկատմամբ, շատ աղմկոտ չեն, լավ են դիմանում ագրեսիվ միջավայրում, սակայն բեռնունակությամբ և դիմացկունությամբ զիջում են պողպատից պատրաստված ատամնանիվներին:



Նկ. 9. Ատամնավոր փոխանցումների տեսակները.

- ա) գլանային ուղղատամ, բ) գլանային շեղատամ, ց) գլանային երկշեղ,
- դ) գլանային պտուտակավոր, ե) գլանային ուղղատամ (ներքին կառչումով),
- զ) կոնական ուղղատամ, ե) կոնական շրջանային ատամներով, ը) ատամնաքանոնային,
- թ) որդնակային:

Միջին բեռնավորված փոխանցումների համար ատամնանիվները նպատակահարմար է պատրաստել տարբեր մակնիշների գորշ կամ բարձրամուր թուլցից (СЧ28, СЧ32, СЧ35 կամ ВЧ45, ВЧ50, ВЧ60° փոքր արագությունների դեպքում) և ածխածնասակավ պողպատից (միջին արագությունների դեպքում) 25, 30, 35:

Գերբեռնավորված փոխանցումների ատամնանիվները նպատակահարմար է պատրաստել տարբեր մակնիշների որակյալ և միջին լեգիրված ածխածնային պողպատից (40, 45, 50, 400, 400°, 400° 1 Å և այլն): Զերմանշակման տարբեր եղանակների (ցենենտացում, բարելավում, մակերևությային միտում, ազոտացում և այլն) միջոցով ապահով-

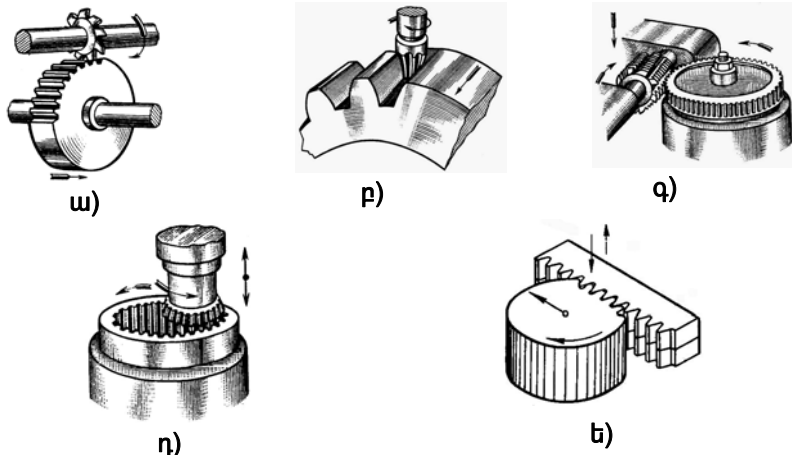
վում է ատամների մակերևութային HB260÷350 կարծրություն: Միջին և գերբեռավորված հարվածային ռեժիմների դեպքում, ըստ մակերևութային բարձր կարծրության, ապահովվում են ատամների ներքին ճկունությունը և պլաստիկությունը:

Ատամնանիվների ատամների պատրաստման եղանակները: Ատամնանիվների ատամների նախապատրաստվածքները ստանում են գլոցումով, դրոշմումով, կրումով, ձուլումով, եռակցումով և մետաղահատումով:

Նվազ բեռնավորված, դանդաղընթաց ($V<0,5 \text{ м/վրկ}$) ատամնանիվների ատամները կարելի է պատրաստել ձուլման կամ դրոշման եղանակով՝ թեպետ այդ ատամնանիվների ատամների պատրաստման ընթացքության ցածր աստիճանի:

Միջին արագության, փոքր մոդուլով ատամնանիվների ատամները կարելի է ստանալ գրտնակման՝ առանց ատամների մակերեվույթների հետագա մշակման:

Ուժային փոխանցումների ատամնանիվների ատամները, որոնք պահանջում են ծշտության բարձր աստիճան, պատրաստվում են ատամնաֆրեզերող, ատամնառանդող, ատամնաթործող և ատամնահղկող հաստոցների վրա՝ պատճենահանման կամ շրջալորման (↑ առաջանակ) եղանակներով (նկ.10):



Նկ.10. Ատամնանիվների մետաղահատման իիմնական եղանակները.
ա) պատճենահամում սկավառակային ֆրեզի միջոցով, բ) պատճենահամում ծայրային ֆրեզի միջոցով, գ) պատճենահամում որդնակային ֆրեզի միջոցով,
դ) շրջալորում ատամնաթործիչի միջոցով, ե) շրջալորում կատարավոր ատամնահատիչի միջոցով:

Ատամնանիվների ատամների պրոֆիլների պատրաստման ծրագրության աստիճանը և փոխանցումների օ.գ.գ.-ն: Ստանդարտով նախատեսված ատամնանիվների ատամների պրոֆիլների պատրաստման ճշտության տասներկու աստիճաններից աղյուսակ 1-ում ներկայացված են չորսը (6, 7, 8, 9), որոնք օգտագործվում են ընդհանուր մեքենաշինության մեջ և ընդունվում են ըստ ատամնանիվների շրջագծային արագության:

Ինչպես երևում է աղյուսակից, արագության արժեքի բարձրացմանը համապատասխան բարձրանում է ատամների պրոֆիլների պատրաստման ճշտության աստիճանը, ինչը նպաստում է դինամիկական հարվածների նվազեցմանը:

Աղյուսակ 1

Ատամնանիվների ատամների պրոֆիլների պատրաստման ճշտության աստիճանը

Անիվների տեսակները	Ատամների տեսակները	Ճշտության աստիճանը			
		6	7	8	9
անիվների առավելագույն շրջագծային արագությունը, մ/վրկ					
Գլանային	ուղղատամ շեղատամ	20 30	12 20	6 10	3 5
Կոնական	ուղղատամ շեղատամ	12 20	8 10	4 7	1,5 3
Որդնակային	շեղատամ	12	7,5	3	1,5

6-րդ աստիճանը համապատասխանում է մեծ ճշտությամբ, արագությաց փոխանցումներին:

7-րդ աստիճանը համապատասխանում է նորմալ ճշտությամբ փոխանցումներին, որոնք կատարվում են մեծ արագությամբ և միջին բեռնվածքով կամ հակառակ:

8-րդ աստիճանը համապատասխանում է միջին ճշտությամբ ընդհանուր մեխանիկական փոխանցումներին:

9-րդ աստիճանը համապատասխանում է առավել ցածր ճշտությամբ դանդաղընթաց փոխանցումներին:

Փոխանցումների օ.գ.գ.-ն հաշվի է առնում հզորությունների կորուստն առանցքակալներում, ատամնվոր կառչման գոտում, ինչպես նաև հիդրավլիկական կորուստները՝ կապված յուղման հետ: Ատամնավոր փակ (յուղվող) գույգերի օ.գ.գ.-ի կախումն ատամնանիվների ատամների պրոֆիլների պատրաստման ճշտության աստիճանից ներկայացված է աղյուսակ 2-ում:

Ատամնավոր գույգերի օ.գ.գ.-ի արժեքները

Փոխանցման տեսակը	ճշտության աստիճանը			
	6	7	8	9
Գլանային	0,985	0,98	0,97	0,96
Կոնական	0,98	0,97	0,96	0,95
Որդնակային	0,85 ÷ 0,92	0,82 ÷ 0,9	0,75 ÷ 0,85	0,6 ÷ 0,8

Որդնակային գույգերի օ.գ.գ.-ի արժեքների շրջանակը բնորոշվում է նաև որդնակների մուտքերի թվով: Բաց ատամնավոր գույգերի (չյուղվող) օ.գ.գ.-ի արժեքները փոքր են այլուսակային արժեքներից մոտավորաբես 20÷30 %-ով:

2.3.2. Գլանային ուղղատամ ատամնավոր փոխանցումներ

2.3.2.1. Դիմնական տեղեկություններ

Գլանային ուղղատամ ատամնավոր փոխանցումներն ատամնավոր կառչման փոխանցումներ են, որոնց ատամները դասավորված են անհիպի առանցքին գորգահեռ: Դրանք օգտագործվում են փոքր հեռավորությունների վրա տարրեր բեռնվածքներ հաղորդելու համար և ունեն սահմանափակ շրջագծային արագություն:

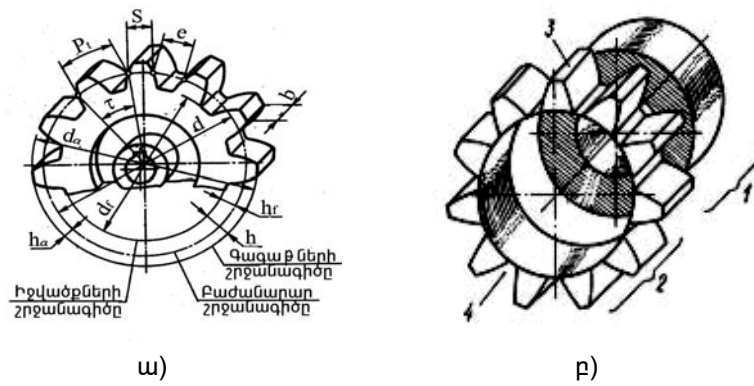
$V > 30$ մ/վրկ արժեքով գլանային ուղղատամ փոխանցումներում շրջագծային արագության մեջացման հետ միասին ուժեղանում է ատամների հարվածային աղյուկը:

Գլանային ատամնանիվի կառուցվածքային սխեման ներկայացված է նկ. 11-ում:

Երկրաչափական պարամետրերը: Ուժային փոխանցումների կառչման հիմնական օրենքից բխում է փոխանցումների թվի հարաբերության որոշման հետևյալ արտահայտությունը՝

$$u = \frac{n_1}{n_2} = \frac{\omega_1}{\omega_2} = \frac{d_2}{d_1} = \frac{r_2}{r_1} = \frac{z_2}{z_1} < 6,$$

որտեղ փոխանցման թվի սահմանափակումը բերված է մեկ գույգ ուժային փոխանցումների միջին չափերն ապահովելու համար:



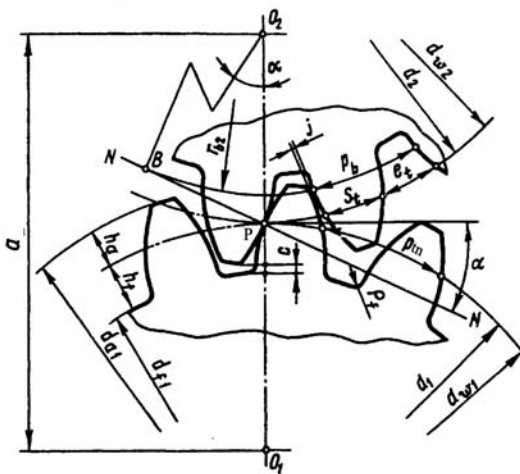
Նկ. 11. Գլանային ատամնանվի կառուցվածքային սխեմա.

ա) ատամնանիվների տարրերը, բ) ատամնանիվների հիմնական մասերը.

1-անվակունդ, 2-ատամնանիվի պսակ, 3-ատամ, 4-իջվածք (գոգավորություն):

Ուժային ատամնավոր փոխանցումներում ուսումնասիրվում են ստանդարտ պրոֆիլով՝ առանց շեղման ($x=0$) ատամնանիվները, որոնց կառչման անկյունը է $\alpha = 20^\circ$: Այս դեպքում ատամը, երեք շրջանագծերի միջոցով ձևավորվելով ըստ բարձրության, բաժանվում է երկու մասի՝ ատամի գլխիկի և ատամի ոտիկի:

Ատամի գլխիկի և ոտիկի բարձրությունները ստանդարտով որոշվում են համապատասխանաբար $h_a = 1,0 \cdot m_n$ և $h_f = 1,25 \cdot m_n$ արտահայտություններով (նկ.12):



Նկ. 12. Ատամնավոր էվոլվենտային փոխանցման հաշվարկային սխեմա:

Ատամի բարձրությունը կազմում է

$$h = h_a + h_f = 1,0 \cdot m_n + 1,25 \cdot m_n = 2,25 \cdot m_n;$$

Ատամների թիվը Z -ով, իսկ կառչման քայլը P_t -ով նշանակելու դեպքում ստացվում է բաժանարար շրջանագծի երկարությունը՝

$$\pi \cdot d = Z \cdot P_t, \text{ որտեղից } d = Z \cdot \frac{P_t}{\pi};$$

$$\frac{P_t}{\pi} = m_n \text{ հարաբերությունը կոչվում է կառչման մոդուլ, որի ար-}$$

ժեքը ստանդարտացված է ըստ ԳՈՍՏ 9563-60-ի:

Այսիսով, զրոյական շեղումով ատամնանիվների համար բաժանարար (սկզբնական) շրջանագծի տրամագիծը որոշվում է հետևյալ արտահայտությամբ՝

$$d = m_n \cdot Z = d_w,$$

արտաքին տրամագիծը (ատամների ոտիկներով անցնող)՝ հետևյալ արտահայտությամբ՝

$$d_a = d + 2 \cdot h_a = d + 2 \cdot m_n,$$

ներքին տրամագիծը (ատամների ոտիկներով անցնող)՝ հետևյալ արտահայտությամբ՝

$$d_f = d - 2,5 \cdot h_f = d - 2,5 \cdot m_n,$$

փոխանցման միջառանցքային հեռավորությունը՝ հետևյալ արտահայ-

$$\text{տությամբ՝ } \alpha = \frac{d_2 \pm d_1}{2} = \frac{d_1 \cdot (u \pm 1)}{2} = \frac{m_n \cdot z_1 \cdot (u \pm 1)}{2}.$$

Վերջինիս համաձայն՝ ատամնանվակի անհրաժեշտ ատամների թիվը կազմում է $z_1 = \frac{2 \cdot \alpha}{m_n \cdot (u \pm 1)}$,

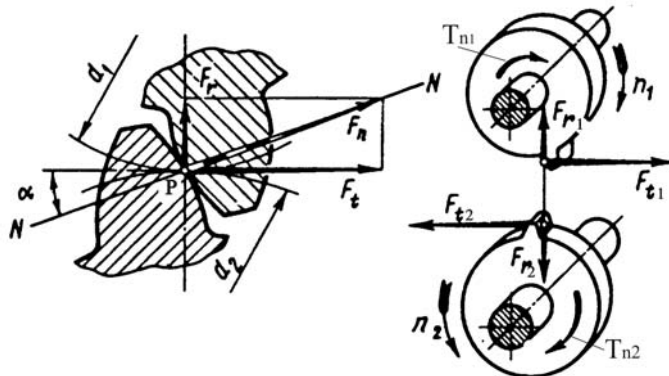
$$\text{իսկ բաժանարար տրամագիծը՝ } d_1 = \frac{2 \cdot \alpha}{(u \pm 1)},$$

որտեղ «+» կամ «-» նշանները համապատասխանում են արտաքին կամ ներքին կառչման փոխանցումներին: Որպես ատամնանվակի ատամների թիվ՝ վերցվում է ստացված արժեքին մոտ ամբողջական մեծ թիվ:

Ատամնանիվի ատամների թիվը որոշվում է $z_2 = z_1 \cdot u$ արտահայտությամբ:

Ուժային կախումները: Գլանային ատամնավոր փոխանցման կառչման գոտում (N-N) նորմալ գծի ուղղությամբ առաջանում է մեկ նորմալ ուժ (F_n), որն ուղղատամ ատամնանիվների մոտ բաժանվում է

երկու, այն է՝ շրջագծային (F_r) և շառավիղային (F_t) բաղադրիչների (նկ. 13):



Նկ. 13. Գլանային ուղղատամ գույզի կառչման գոտում առաջացած ուժերը:

Շրջագծային ուժը որոշվում է հետևյալ արտահայտությամբ՝

$$F_{t1} = F_n \cdot \cos \alpha = \frac{2 \cdot T_{n1}}{d_1}, \text{ և,}$$

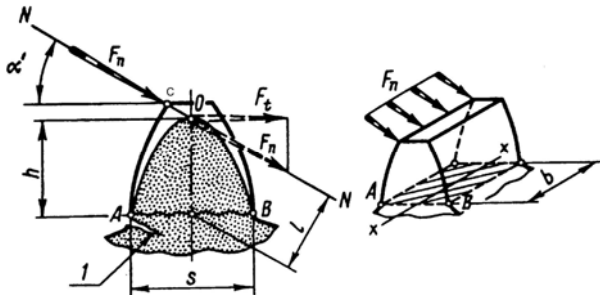
իսկ շառավիղային ուժը՝ հետևյալ արտահայտությամբ՝

$$F_{r1} = F_n \cdot \sin \alpha = F_{t1} \cdot \operatorname{tg} \alpha, \text{ և:}$$

2.3.2.2. Գլանային ուղղատամ ատամնավոր փոխանցումների հաշվարկն ըստ ծովան ամրության

Հաշվարկը (նկ.14) պարզեցնելու համար ընդունվում են հետևյալ պայմանները. կառչման գոտում գտնվում են մեկ գույզ ատամներ, որոնց նյութը համաստեղ է, նորմալ F_n ուժը կիրառվում է կառչման գոտում (C կետում), ատամները դիտարկվում են որպես բարձակային հեծաններ, պրոֆիլները՝ որպես գլաններ, ատամների մակերևույթը կոշտ է, կառչումը կատարվում է գծով, սահքը բացակայում է, տեղի է ունենում միայն ատամների շրջալորում, ատամները չեն յուղվում:

Ծահագործնան նշված պայմաններում ատամների փոխազդեցության պատճառով առաջացած ծովան, սեղմնան և այլ դեֆորմացիաներից առավել վտանգավոր է ծովան դեֆորմացիան: Վտանգավոր հատվածքը հատկապես ատամի ոտիկի հատույթն է, որն ուղղանկյուն է (ատամնանիվի և երկարությամբ և S լայնությամբ):



Նկ. 14. Գլանային ուղղատամ ատամնավոր փոխանցման հաշվարկային սխեման ըստ ծռման ամրության:

Ծռման ամրության պայմանն է

$$\sigma_F = \sigma_\delta = \frac{M_\delta}{W_\delta} \leq [\sigma]_F = [\sigma]_\delta ,$$

որտեղ M_δ -ն առավելագույն ծռող մոմենտն է, $M_\delta = F_n \cdot \ell$, իսկ W_δ -ն՝ ուղղանկյան հատույքի դիմադրության ծռող մոմենտը, $W_\delta = b \cdot S^2 / 6$:

Արժեքները տեղադրելու դեպքում ստացվում է

$$\sigma_F = \frac{F \cdot \ell}{b \cdot S^2} = \frac{F_{tl} \cdot \ell}{b \cdot S^2} \leq [\sigma] : \frac{6}{6 \cdot \cos \alpha}$$

Ատամի բարձրության, ոտիկի լայնության և նորմալ կառչման մոդուլի միջև ստանդարտով նախատեսված են որոշակի կախվածություններ՝ արտահայտված ատամի բարձրության ($\mu = \ell / m_n$) և լայնության ($v = S / m_n$) գործակիցներով: Վերջիններս ամրության պայմանի մեջ տեղադրելուց հետո ստացվում է

$$\sigma_F = \frac{F_{tl} \cdot \mu \cdot m_n}{b \cdot v^2 \cdot m_n^2 \cdot \cos \alpha} = \frac{F_{tl} \cdot \mu}{b \cdot v^2 \cdot m_n \cdot \cos \alpha} \leq [\sigma]_F :$$

Ատամի պրոֆիլի ձևը բնորոշող գործակիցների հարաբերությունը որպես ատամի պրոֆիլի գործակից, այն է՝ $\frac{v^2 \cdot \cos \alpha}{6 \cdot \mu} = y$ կամ

$Y_F = \frac{1}{y} = \frac{6 \cdot \mu}{v^2 \cdot \cos \alpha}$ նշանակելու դեպքում ստացվում է

$$\sigma_F = \frac{F_{tl} \cdot K'_F \cdot Y_F \cdot Y_\beta}{b \cdot m_n} = \frac{2 \cdot T_{nl} \cdot K'_F \cdot Y_F \cdot Y_\beta}{d_1 \cdot b \cdot m_n} \leq [\sigma]_F :$$

Վերջնական ստուգիչ բանաձևն է

$$\sigma_F = \sigma_\delta = \frac{2 \cdot T_{nl} \cdot K'_F \cdot Y_F \cdot Y_\beta}{z_l \cdot b \cdot m_n^2} \leq [\sigma]_F, \text{ Ն/մ}^2,$$

որտեղ՝ K'_F -ը համալիր բեռնվածքի գործակիցն է. ծովան ամրության հաշվարկի դեպքում $K'_F = K_{Fa} \cdot K_{F\beta} \cdot K_{Fv}$, K_{Fa} -ն՝ բեռնվածքի բաշխման գործակիցը, ուղղատամ փոխանցման դեպքում $K_{Fa}=1,0$, $K_{F\beta}$ -ն՝ բեռնվածքի իտացման գործակիցը. համաձայն հենարանների նկատմամբ անհվաների դասավորության, $\psi_{bd}=b_2/d_1$ պսակի լայնության գործակցի և ատամների կարծրության ($HB \leq 350$), $K_{F\beta}=1,0 \div 1,3$, K_{Fv} -ն՝ դինամիկական բեռնվածքի գործակիցն ըստ շրջագծային արագության (V), ատամների կարծրության ($HB \leq 350$), ատամների պատրաստման ճշտության աստիճանի և ատամների բեքության (գործակիցներն ընտրվում են ստանդարտով նախատեսված այլուսակներից), $K_{Fv}=1,0 \div 1,4$, Y_β -ն՝ ատամների բեքության գործակիցը, $Y_\beta=1-\beta^0/140^0$ (ուղղատամի դեպքում $Y_\beta=1,0$):

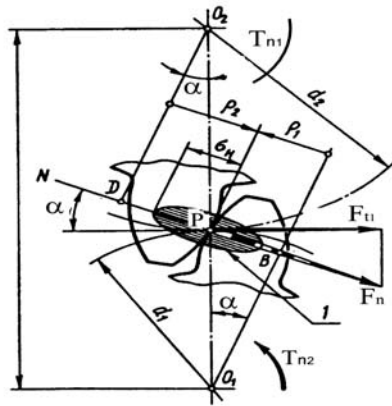
Ատամնանիվի պսակի լայնության գործակիցը ($\psi_b = b_2/m_n = 10 \div 20$) հաշվի առնելու և $b_2 = \psi_b \cdot m_n$ արտահայտությունը տեղադրելու դեպքում ստացվում է կառչման մոդուլի որոշման նախագծման բանաձևը՝

$$m_n = \sqrt{\frac{K_F \cdot F_{tl} \cdot Y_F \cdot Y_\beta}{\psi_b \cdot [\sigma]_F}} = \sqrt{\frac{2 \cdot T_{nl} \cdot K_F \cdot Y_F \cdot Y_\beta}{z_l \cdot \psi_b \cdot [\sigma]_F}}, \text{ մմ:}$$

Նախագծման փուլում բեռնվածքի գործակցի արժեքը մոտավորապես ընդունվում է $K_F \approx K_H \approx K_{HB} = 1,15 \div 1,5$:

2.3.2.3. Գլանային ուղղատամ ատամնավոր փոխանցումների հաշվարկն ըստ հպումային ամրության

Յաշվարկի (նկ.15) համար ընդունվում են հետևյալ շահագործման պայմանները. կառչման գոտում գտնվում են մեկ զույգ ատամներ, որոնց նյութը համասեռ է, նորմալ F_n ուժը կիրառվում է կառչման P կետում, ատամները դիտարկվում են որպես բարձակային հեծաններ, իսկ դրանց պրոֆիլները՝ որպես գլաններ, ատամների մակերևույթը կոշտ է, կառչումը կատարվում է գծով, սահը բացակայում է և առաջանում է միայն ատամների շրջալորում, ատամները յուղվում են:



Նկ. 15. Գլանային ուղղատամ ատամնավոր փոխանցման հաշվարկային սխեման ըստ հպումային ամրության:

Նշված շահագործման պայմաններուն ատամների փոխազդեցության պատճառով առաջացած ծոճան, սեղման և այլ դեֆորմացիաներից առավել վտանգավոր է սեղման դեֆորմացիան, որի ժամանակ առաջանում են մակերևույթային հպումային լարումներ:

Հպումային ամրության պայմանն է

$$\sigma_H = 0,418 \cdot \sqrt{q \cdot \frac{E_p}{\rho_p}} \leq [\sigma]_H :$$

Եթե ատամնանիվները պատրաստված են լինում պողպատից,

$$\text{ապա} \quad E_p = \frac{2 \cdot E_1 \cdot E_2}{E_1 + E_2} = E_1 = 2,1 \cdot 10^5, \text{ Н/մ}^2:$$

$$\text{Կորության բերված շառավիղը կազմում է } \rho_p = \frac{\rho_1 \cdot \rho_2}{\rho_1 + \rho_2} :$$

Հաշվարկային սխեմայից երևում է, որ ըստ O_1DP և O_2BP եռանկյունների՝

$$\rho_1 = \frac{d_1}{2} \cdot \sin \alpha, \quad \rho_2 = \frac{d_2}{2} \cdot \sin \alpha ,$$

որոնց արժեքները տեղադրելուց հետո ստացվում է

$$\rho_p = \frac{\frac{d_1}{2} \cdot \sin \alpha \cdot \frac{d_2}{2} \cdot \sin \alpha}{\frac{d_1}{2} \cdot \sin \alpha + \frac{d_2}{2} \cdot \sin \alpha} = \frac{d_1 \cdot d_2 \cdot \sin^2 \alpha}{2 \cdot d_1 \cdot (u+1) \cdot \sin \alpha} = \frac{d_2 \cdot \sin \alpha}{2 \cdot (u+1)} = \frac{\alpha \cdot u \cdot \sin \alpha}{(u \pm 1)^2},$$

$$\text{որտեղ } d_2 = \frac{2 \cdot a \cdot u}{(u \pm 1)} :$$

Տարվող ատամնանիվի ատամի մակերևույթի վրա առաջացած գծային բեռնվածքը կազմում է (ըստ բեռնվածքի K_H գործակցի)

$$q = \frac{F_n K_H}{b_2} = \frac{F_t K_H}{b_2 \cdot \cos \alpha} = \frac{2 \cdot T_{nl} \cdot K_H}{b_2 \cdot d_1 \cdot \cos \alpha} = \frac{T_{nl} \cdot K_H \cdot (u \pm 1)}{b_2 \cdot a \cdot \cos \alpha} :$$

Վերջինս հպումային ամրության պայմանի մեջ տեղադրելու դեպքում ստացվում է

$$\sigma_H = 0,418 \cdot \sqrt{\frac{T_{nl} \cdot K_H \cdot (u \pm 1)}{b_2 \cdot a \cdot \cos \alpha} \cdot \frac{2,1 \cdot 10^5}{\frac{a \cdot u \cdot \sin \alpha}{(u \pm 1)^2}}} \leq [\sigma]_H :$$

Գլանային ուղղատամ ատամնավոր փոխանցման համար վերջնական ստուգիչ բանաձևը, ըստ $\alpha = 20^\circ$ -ի, կազմում է

$$\sigma_H = \frac{310}{a} \cdot \sqrt{\frac{K'_H \cdot T_{nl} \cdot (u \pm 1)^3}{b_2 \cdot u}} \leq [\sigma]_H, \text{ Ն/մ}^2:$$

Յամալիր բեռնվածքի գործակիցը հպումային ամրության հաշվարկի դեպքում որոշվում է հետևյալ արտահայտությամբ՝

$$K'_H = K_{H\alpha} \cdot K_{H\beta} \cdot K_{H\nu},$$

որտեղ՝ $K_{H\alpha}$ -ն բեռնվածքի բաշխման գործակիցն է ուղղատամ փոխանցման դեպքում $K_{H\alpha}=1,0$, $K_{H\beta}$ -ն՝ բեռնվածքի խտացման գործակիցը. համաձայն հենարանների նկատմամբ անիվների դասավորության, $\psi_{bd}=b_2/d_1=0,2 \div 0,6$ պասկի լայնության գործակից և ատամների կարծրության ($HB \leq 350$), $K_{H\beta}=1,0 \div 1,3$, $K_{H\nu}$ -ն՝ դինամիկական բեռնվածքի գործակիցն ըստ շրջագծային արագության (V), ատամների պատրաստման ճշտության աստիճանի և ատամների թերության (գործակիցներն ընտրվում են ստանդարտով՝ նախատեսված աղյուսակներից), $K_{H\nu}=1,0 \div 1,11$:

$b_2=\psi_{ba} \cdot a$ արտահայտությունը հաշվի առնելու դեպքում ստացվում է նախագծման հետևյալ բանաձև՝

$$\alpha = (u \pm 1) \cdot \sqrt[3]{\left(\frac{310}{[\sigma]_H}\right)^2 \cdot \frac{K_H \cdot T_{nl}}{\psi_{ba} \cdot u}} :$$

Թվային գործակիցն առանձնացնելուց հետո ստացվում է

$$\alpha = K_a \cdot (u \pm 1) \cdot \sqrt[3]{\frac{K_H \cdot T_{n1}}{\Psi_{ba} \cdot u \cdot [\sigma]_H^2}},$$

որտեղ՝ K_a -ն միջառանցքային հեռավորության թվային գործակիցն է.

ուղղատամ փոխանցման դեպքում $K_a = 49,5$:

Ըստ հենարանների նկատմամբ անիվների դասավորության և $H_B \leq 350$ կարծրության՝ բեռնվածքի գործակիցը նախագծման փուլում ընդունվում է $K_H \approx K_{H\beta} = 1,0 \div 1,35$:

2.3.3. Գլանային շեղատամ ատամնավոր փոխանցումներ

2.3.3.1. Դիմնական տեղեկություններ

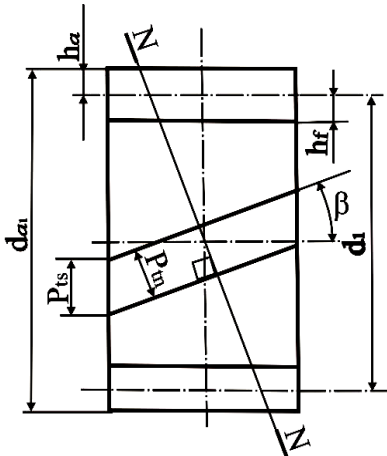
Գլանային շեղատամ ատամնավոր փոխանցումների ատամները պտտման առանցքի նկատմամբ դասավորված են որոշակի β° անկյան տակ: Ատամնավոր զույգի ատամների թեքության անկյունը նույնն է, սակայն ատամները դասավորված են հակառակ ուղղությամբ:

Գլանային շեղատամ ատամնավոր փոխանցումներն ունեն հետևյալ առավելությունները՝ ատամների թեքության պատճառով երկու և ավելի ատամնազույգերի միաժամանակյա մասնակցություն կառչմանը ատամների ողջ լայնությամբ և աստիճանաբար, ինչը նպաստում է ավելի սահուն կարշմանը, անաղմուկ աշխատանքին և մեկ ատամի վրա ընկնող բեռնվածքի փոքրացմանը (ուստի օգտագործվում են միջին և բարձր արագությունների ու բեռնվածքների ($P > 50$ ԿՎտ և $V > 30$ մ/վրկ), ինչպես նաև հետևյալ թերությունները՝ համեմատաբար բարձր ինքնարժեք, կառչման գոտում երրորդ առանցքային F_a ուժի առաջացում, ինչը հանգեցնում է հանգույցների բարդացման:

Երկրաչափական պարամետրերը: Նկ. 16-ից երևում է, որ գլանային շեղատամ ատամնանիվներում կարելի է չափել կառչման երկու քայլ՝ պտտման առանցքին ուղղահայաց ճակատային հարթությունում ($P_{ts} = \pi \cdot m_s$) և ատամի նորմալ հարթությունում ($P_{tn} = \pi \cdot m_n$): Ուստի տարբերվում են ճակատային կառչման ($m_s = P_{ts}/\pi$) և նորմալ կառչման ($m_n = P_{tn}/\pi$) մոդուլներ: Ընդ որում՝ նորմալ մոդուլը ստանդարտացված է:

$$\text{Քանի որ } P_{ts} = \frac{P_{tn}}{\cos \beta}, \text{ ապա վերը նշված մոդուլների կապը կլինի}$$

$$m_s = \frac{m_n}{\cos \beta} :$$



Նկ.16. Գլանային շեղատամ ատամնանիվի հաշվարկային սխեմա:

Մի կողմից անկյան մեջացումը դրական ազդեցություն է ունենում կառչման պատկերի վրա, մյուս կողմից բացասաբար է ազդում առանցքային ուժի մեջության վրա:

Թանի որ շեղատամ ատամնանիվի ատամի չափերը, ըստ բարձրության, համապատասխանում են ուղղատամ ատամնանիվի ատամի չափերին, ապա անիվի տրամագծերը որոշվում են հետևյալ կերպ՝

$$\text{- բաժանարար շրջանագծի տրամագիծը} \quad d = m_s \cdot Z = \frac{m_n \cdot Z}{\cos \beta},$$

- արտաքին տրամագիծը

$$d_a = d + 2 \cdot m_n = \frac{m_n \cdot Z}{\cos \beta} + 2 \cdot m_n = m_n \left(\frac{Z}{\cos \beta} + 2 \right),$$

- ներքին տրամագիծը

$$d_f = d - 2,5 \cdot m_n = \frac{m_n \cdot Z}{\cos \beta} - 2,5 \cdot m_n = m_n \left(\frac{Z}{\cos \beta} - 2,5 \right),$$

- գույզի միջառանցքային հեռավորությունը

$$\alpha = \frac{d_1 + d_2}{2} = \frac{m_s \cdot (Z_1 + Z_2)}{2} = \frac{m_n \cdot (Z_1 + Z_2)}{2 \cdot \cos \beta} = \frac{m_n \cdot Z_1 (u \pm 1)}{2 \cdot \cos \beta} = \frac{m_n \cdot Z_q}{2 \cdot \cos \beta},$$

որտեղից որոշվում է ատամնանվակի ատամների անհրաժեշտ թիվը՝

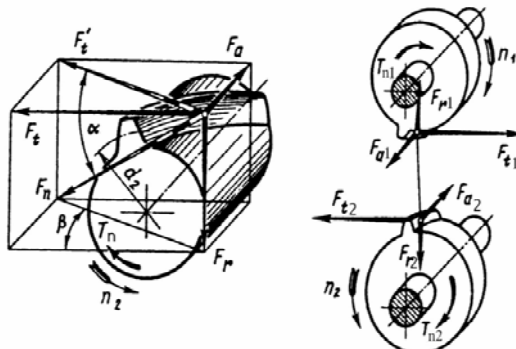
$$Z_1 = \frac{2 \cdot \alpha \cdot \cos \beta}{m_n \cdot (u \pm 1)} :$$

Ստացված ատամների թիվն ամբողջական ընդունելու դեպքում ճշտվում է ատամների թեքության Յ անկյունը՝

$$\cos \beta = \frac{m_n \cdot Z_1(u \pm 1)}{2 \cdot \alpha}.$$

Ուժային կախումները: Ներկայացված սխեմայից (Ակ. 17) երևում է, որ նորմալ գծի ուղղությամբ առաջացած նորմալ F_n ուժը բաժանվում է F_t , F_r և F_α ուժային բաղադրիչների, որոնք որոշվում են հետևյալ կերպ՝

- շրջագծային ուժը՝ $F_{t1} = \frac{2 \cdot T_{n1}}{d_1} = F_{t2} = \frac{2 \cdot T_{n2}}{d_2}$, Յ,
- շառավիղային ուժը՝ $F_{r1} = F_s \cdot \operatorname{tg} \alpha = \frac{F_{t1}}{\cos \beta} \cdot \operatorname{tg} \alpha = F_{r2}$, Յ,
- առանցքային ուժը՝ $F_{\alpha1} = F_{t1} \cdot \operatorname{tg} \beta = F_{\alpha2}$, Յ:



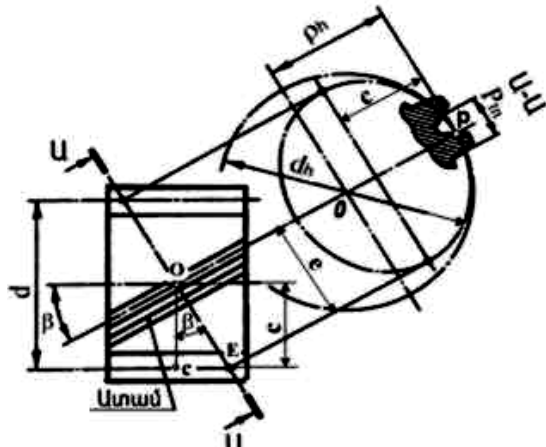
Ակ. 17. Գլանային շեղատամ զույգում առաջացած ուժերը:

Ատամի թեքության անկյունը շեղատամ ատամնանիվների համար ընդունվում է $\beta = 8^\circ \div 18^\circ$ տիրույթից, իսկ երկշեղ ատամնանիվների համար՝ $\beta = 25^\circ \div 45^\circ$ տիրույթից:

2.3.3.2. Գլանային շեղատամ ատամնավոր փոխանցումների հաշվարկն ըստ ամրության

Գլանային շեղատամ ատամնանիվի Ա-Ա նորմալ կտրվածքում (տարված ուղղահայաց ատամի երկարությամբ) շեղատամ ատամնանիվի պրոֆիլը համընկնում է ուղղատամ ատամնանիվի պրոֆիլի հետ,

քանի որ այդ ատամնանիվճերի ատամները պատրաստվում և ձևավորվում են ստանդարտ կտրող գործիքով՝ այն տարբերությամբ, որ շեղատամ ատամնանիվի դեպքում կտրող գործիքը կամ նախապատրաստվածքը թեքվում է Յ անկյունով (նկ. 18):



Նկ.18. Համարժեք գլանային ուղղատամ ատամնանիվի առաջացումը:

Սխեմայից երևում է, որ Ա-Ա նորմալ հատույթում բաժանարար շրջանագիծը կազմում է էլիպս, որի կորության շառավիղը կառչման բևեռում որոշվում է հետևյալ կերպ (համաձայն անալիտիկ երկրաչափության դասընթացի):

$$\rho_h = \frac{e^2}{c} :$$

Ըստ OCE եռանկյան՝ $OC/OE = c/e = \cos\beta$, որտեղ $c = d/2$, իսկ $e/\cos\beta = d/2 \cdot \cos\beta$:

Կառչման Բ բևեռից ρ_h շառավիղը համարժեք գլանային ուղղատամ ատամնանիվի բաժանարար շրջանագիծը կառուցելու դեպքում ստացվում է

$$d_h = 2 \cdot \rho_h = \frac{d}{\cos^2 \beta} :$$

d_h և d բաժանարար տրամագիծերը կառչման նորմալ և ճակատային մոդուլներով արտահայտելու դեպքում ստացվում է

$$m_n \cdot Z_h = \frac{m_s \cdot Z}{\cos^2 \beta} = \frac{m_n \cdot Z}{\cos^3 \beta} :$$

$$Z_h = \frac{Z}{\cos^3 \beta} \text{ հարաբերությունը որպես համարժեք գլանային ուղղատամ ատամնանիվի ատամների թիվ ընդունելու դեպքում ստացվում է համարժեք ատամնանիվի բաժանարար տրամագիծը՝}$$

$$d_h = m_n \cdot Z_h :$$

Գլանային շեղատամ ատամնավոր փոխանցումները հաշվարկվում են գլանային ուղղատամ ատամնավոր փոխանցումների ննան. օգտագործվում են նույն բանաձևերը, որոնցում հաշվի են առնվում ատամների վրա բեռնվածքի և դիմամիկական հարվածների նվազեցումն արտահայտող ուղղիչ գործակիցները:

Ծահագործնան նույն պայմանների դեպքում շեղատամ ատամնավոր փոխանցումների չափերը ստացվում են ուղղատամ ատամնավոր փոխանցումների չափերից ավելի փոքր:

Այսպիսով, չյուղվող պայմաններում աշխատող գլանային շեղատամ ատամնավոր փոխանցումները հաշվարկվում են ըստ ծռման ամրության՝ համաձայն նախագծման հետևյալ բանաձևի՝

$$m_n = \sqrt{\frac{K_F \cdot F_{t1} \cdot Y_F \cdot Y_\beta}{\Psi_b [\sigma]_F}} = \sqrt[3]{\frac{2 \cdot T_{n1} \cdot K_F \cdot Y_F \cdot Y_\beta}{z_1 \cdot \Psi_b [\sigma]_F}}, \text{ մմ:}$$

Ստորև բանաձևը կազմում է

$$\sigma_F = \frac{2 \cdot T_{n1} \cdot K'_F \cdot Y_h \cdot Y_\beta}{z_1 \cdot b \cdot m_n^2} \leq [\sigma]_F, \text{ Ն/մմ}^2,$$

որտեղ՝ K'_F -ը համալիր բեռնվածքի գործակիցն է ծռման ամրության հաշվարկի դեպքում, $K'_F = K_{Fa} \cdot K_{FB} \cdot K_{Fv}$, K_{Fa} -ն՝ բեռնվածքի բաշխման գործակիցը, որը շեղատամ փոխանցման դեպքում ընդունվում է համաձայն հետևյալ կախման՝
ատամնանիվների պրոֆիլների պատրաստման ճշտության աստիճանը՝ 6, 7, 8, 9

$$K_{Fa}-ն՝ 0,72, 0,81, 0,91, 1,0,$$

K_{FB} -ն՝ բեռնվածքի խտացման գործակիցը. համաձայն հենարանների նկատմամբ անիվների դասավորության, $\psi_{bd}=b_2/d_1$ պըսակի լայնության գործակիցի և ատամների կարծրության ($HB \leq 350$)՝ $K_{FB}=1,0 \div 1,3$, K_{Fv} -ն՝ դիմամիկական բեռնվածքի գործակիցն ըստ շրջագծային արագության (V), ատամների կարծրության ($HB \leq 350$), ատամների պատրաստման ճշտության աստիճանի և ատամների թեքության (գործակիցներն ընտրվում

Են ստանդարտներով նախատեսված աղյուսակներից),

$K_{Fv}=1,0 \div 1,4$, Y_β -ն՝ ատամների թեքության գործակիցը,

$Y_\beta=1-\beta^0/140^0$:

Գլանային շեղատամ ատամնանիվների դեպքում

$$\psi_b = b_2 / m_n = 15 \div 40 ,$$

իսկ գլանային երկշեղ ատամնանիվների դեպքում $\psi_b = 30 \div 60$:

Նախագծման փուլում բեռնվածքի գործակցի արժեքը մոտավորապես ընդունվում է $K_F \approx K_H \approx K_{H\beta} = 1,0 \div 1,3$:

Ստուգումը, ըստ ծովան ամրության, կատարվում է նվազագույն ծովան ամրություն ունեցող ատամնանիվի ատամների համար՝ համաձայն հավասար ամրության հետևյալ պայմանի՝

$$\frac{[\sigma]_{F1}}{Y_{h1}} = \frac{[\sigma]_{F2}}{Y_{h2}} :$$

Համարժեք գլանային ուղղատամ ատամնանիվների ատամների պրոֆիլների Y_{h1} և Y_{h2} գործակիցներն ընտրվում են ըստ ստանդարտով նախատեսված աղյուսակների՝ համաձայն Z_{h1} և Z_{h2} արժեքների:

Յուղվող փոխանցումների դեպքում հաշվարկը կատարվում է ըստ հպումային ամրության: Այս դեպքում գույգի միջառանցքային հեռավորությունը որոշվում է նախագծման հետևյալ բանաձևով՝

$$\alpha = (u \pm 1) \cdot \sqrt[3]{\left(\frac{270}{[\sigma]_H} \right)^2 \frac{K_H \cdot T_{nl}}{\psi_{ba} \cdot u}}$$

$$\text{կամ } \alpha = K_a \cdot (u \pm 1) \cdot \sqrt[3]{\frac{K_H \cdot T_{nl}}{\psi_{ba} \cdot u \cdot [\sigma]_H^2}}, \text{ մն,}$$

որտեղ՝ ψ_{ba} -ն ատամնապսակի լայնության գործակիցն է, $\psi_{ba}=0,2 \div 0,6$,

իսկ K_a -ն՝ միջառանցքային հեռավորության գործակիցը. գլա-

նային շեղատամ փոխանցումների դեպքում $K_a=43$, K_H -ը՝ հը-

պումային հաշվարկի դեպքում բեռնվածքի գործակիցը,

$K_H \approx K_{H\beta} = 1,0 \div 1,3$:

Նախագծված գույգը ստուգվում է ըստ հպումային ամրության

$$\text{ստուգիչ բանաձևի՝ } \sigma_H = \frac{270}{\alpha} \cdot \sqrt{\frac{K'_H \cdot T_{nl} \cdot (u \pm 1)^3}{b_2 \cdot u}} \leq [\sigma]_H, \text{ Ն/մմ}^2:$$

Համալիր բեռնվածքի գործակիցը հպումային ամրության հաշվարկի դեպքում որոշվում է հետևյալ արտահայտությամբ՝

$$K'_H = K_{Ha} \cdot K_{H\beta} \cdot K_{H\nu},$$

որտեղ՝ K_{Ha} -ն բեռնվածքի բաշխման գործակիցն է. շեղատամ փոխանցման դեպում, համաձայն ատամնանիվների պրոֆիլների պատրաստման ճշտության աստիճանի և V -ի, $K_{Ha}=1,0 \div 1,13$, $K_{H\beta}$ -ն՝ բեռնվածքի խտացման գործակիցը. համաձայն հենարանների նկատմամբ անիվների դասավորության, $\psi_{bd}=b_2/d_1$ պակի լայնության գործակիցի և ատամների կարծրության ($HB \leq 350$)՝ $K_{H\beta}=1,0 \div 1,3$, $K_{H\nu}$ -ը՝ դիմամիկական բեռնվածքի գործակիցն ըստ շրջագծային արագության (V), ատամների պատրաստման ճշտության աստիճանի և ատամների բերության (գործակիցներն ընտրվում են ստանդարտով նախատեսված այուսակներից), $K_{H\nu}=1,0 \div 1,11$:

2.3.4. Կոնական ատամնավոր փոխանցումներ

2.3.4.1. Դիմական տեղեկություններ

Կոնական ատամնավոր փոխանցումները պատական շարժումը հաղորդում են հատվող առանցքներով լիսեռների միջև: Հատվող անկյունը լինում է ցանկացած մեծության: Առավել կիրավում են կոնական ուղանկյուն (օրթոգոնալ) փոխանցումները, որոնց ատամնանիվների հատման անկյունն է $\varphi = 90^\circ$:

Կոնական ատամնավոր փոխանցումների առավելությունը շարժման հաղորդման հնարավորությունն է ցանկացած անկյան տակ, իսկ թերություններն են՝ հենարանների նկատմամբ ատամնանիվների ոչ սիմետրիկ (բարձակային) դասավորությունը (հատկապես մեկ աստիճան կոնական փոխանցումների դեպքում), կազման մեջ առաջացած առանցքային ուժի առկայությունը (ինչը բարդացնում է հենարանային հանգույցը):

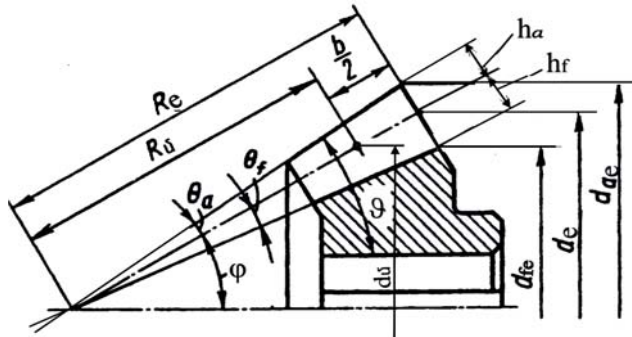
Երկրաչափական պարամետրեր: Ըստ նկ. 19-ի՝ կոնական ատամնավոր փոխանցումների երկրաչափական պարամետրերը որոշվում են հետևյալ կախվածություններով՝

- հատման անկյունը՝ $\Sigma\varphi = \varphi_1 + \varphi_2$,
- ատամնավոր գույզի փոխանցման թիվը՝

$$u = \frac{\omega_1}{\omega_2} = \frac{n_1}{n_2} = \frac{d_2}{d_1} = \frac{Z_2}{Z_1} = \frac{1}{\operatorname{tg}\varphi_1} = \operatorname{ctg}\varphi_1 = \operatorname{tg}\varphi_2 :$$

Ակնհայտ է, որ կոնավորության պատճառով կոնական ատամնա-

նիվն ունի անսահմանափակ քանակի տրամագծեր (այդ թվում նաև բաժանարար տրամագծերը), որոնց հետևանքով ատամի բարձրությունը (ինչպես նաև գլխիկի բարձրությունն ու մողուլը), ըստ երկարության, լինում է փոփոխական:



Նկ.19. Կոնական ատամնանվի հաշվարկային սխեմա:

Անսահմանափակ քանակի մողուլներից տարբերվում են ճակատային կառչման (արտադրական, որի արժեքը ստանդարտացված է) և միջին կառչման մողուլների արժեքները՝

$$m_s = m_e = d_1 / Z_1 = d_{el} / Z_1,$$

$$m_d = d_{el} / Z_1;$$

Արտաքին ճակատի կողմից բաժանարար տրամագծերն են՝

$$d_1 = m_e \cdot Z_1 = d_{el},$$

$$d_2 = m_e \cdot Z_2 = d_{el};$$

Ըստ ստանդարտի՝ ճակատի կողմից գլխիկի բարձրությունը կազմում է $h_a = 1 \cdot m_e$, իսկ ոտիկի բարձրությունը՝ $h_f = 1,2 \cdot m_e$:

Գլխիկներով անցնող արտաքին (ճակատի կողմից) տրամագծերն են՝

- ատամնանվակի համար՝

$$d_{ae1} = d_1 + 2 \cdot m_e \cdot \cos\varphi_1 = m_e \cdot Z_1 + 2 \cdot m_e \cdot \cos\varphi_1 = m_e \cdot (Z_1 + 2 \cdot \cos\varphi_1),$$

- ատամնանիվի համար՝

$$d_{ae2} = d_2 + 2 \cdot m_e \cdot \cos\varphi_2 = m_e \cdot Z_2 + 2 \cdot m_e \cdot \cos\varphi_2 = m_e \cdot (Z_2 + 2 \cdot \cos\varphi_2);$$

Ոտիկներով անցնող ներքին (ճակատի կողմից) տրամագծերն են՝

- ատամնանվակի համար՝

$$d_{fe1} = d_1 - 2,4 \cdot m_e \cdot \cos\varphi_1 = m_e \cdot Z_1 - 2,4 \cdot m_e \cdot \cos\varphi_1 = m_e \cdot (Z_1 - 2,4 \cdot \cos\varphi_1),$$

- ատամնանիվի համար՝

$$d_{fe2} = d_2 - 2,4 \cdot m_e \cdot \cos\varphi_2 = m_e \cdot Z_2 - 2,4 \cdot m_e \cdot \cos\varphi_2 = m_e \cdot (Z_2 - 2,4 \cdot \cos\varphi_2);$$

Արտաքին կոնական հեռավորությունը որոշվում է ըստ Ելակետային եռանկյան՝

$$R_e = R_d + b_1/2 = \frac{\sqrt{d_1^2 + d_2^2}}{2} = \frac{d_1 \cdot \sqrt{u^2 + 1}}{2} = \frac{m_e \cdot Z_1 \cdot \sqrt{u^2 + 1}}{2} = \frac{d_2 \cdot \sqrt{u^2 + 1}}{2 \cdot u} = \\ = \frac{m_e \cdot Z_2 \cdot \sqrt{u^2 + 1}}{2 \cdot u} \text{ կամ } R_e = \frac{d_1}{2 \cdot \sin \varphi_1} :$$

Միջին կոնական հեռավորությունը որոշվում է հետևյալ սկզբունքով՝

$$R_d = R_e - b_1/2 = \frac{\sqrt{d_{\delta 1}^2 + d_{\delta 2}^2}}{2} = \frac{d_{\delta 1} \cdot \sqrt{u^2 + 1}}{2} = \frac{m_d \cdot Z_1 \cdot \sqrt{u^2 + 1}}{2} = \frac{d_{\delta 2} \cdot \sqrt{u^2 + 1}}{2 \cdot u} = \\ = \frac{m_d \cdot Z_2 \cdot \sqrt{u^2 + 1}}{2 \cdot u} \text{ կամ } R_e = \frac{d_1}{2 \cdot \sin \varphi_1} :$$

Ատամի գլխիկի անկյունը կազմում է

$$\operatorname{tg} \theta_a = \frac{h_a}{R_e} :$$

Միջին բաժանարար շրջանագծերի տրամագծերն են՝

- ատամնանվակի համար՝ $d_{\delta 1} = d_1 - b_1 \cdot \sin \varphi_1$,
- ատամնանիվի համար՝ $d_{\delta 2} = d_2 - b_2 \cdot \sin \varphi_2$:

Ատամնանվակի միջին տրամագծի արտահայտությունը Z_1 -ի բաժանելու արդյունքում ստացվում է միջին մոդուլի արժեքը՝

$$m_d = m_e - \frac{b_1 \cdot \sin \varphi_1}{Z_1} :$$

Ուժային կախումները: Կառչման գոտում առաջացած նորմալ ուժը (F_n) կիրառվում է ատամի միջին կտրվածքում (նկ. 20):

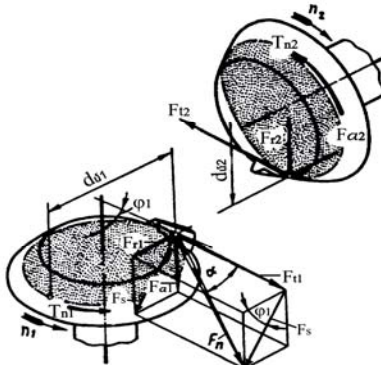
Ըստ սխեմայի գորգահեռանիստի՝ F_n -ը բաժանվում է F_t , F_r և F_α բաղադրիչների, որոնք որոշվում են հետևյալ կերպ՝

$$- շրջագծային ուժը՝ $F_{tl} = \frac{2 \cdot T_{n1}}{d_{\delta 1}} = F_{t2} = \frac{2 \cdot T_{n2}}{d_{\delta 2}}$,$$

$$- շառավիղային ուժը՝ $F_{r1} = F_s \cdot \cos \varphi_1 = F_{t1} \cdot \operatorname{tg} \alpha \cdot \cos \varphi_1 = F_{\alpha 2}$,$$

$$- առանցքային ուժը՝ $F_{\alpha 1} = F_s \cdot \sin \varphi_1 = F_{t1} \cdot \operatorname{tg} \alpha \cdot \sin \varphi_1 = F_{r2}$:$$

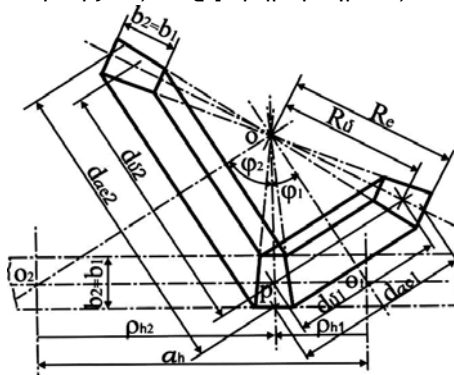
$$F_{rl} \text{ և } F_{\alpha 1} \text{ ուժերի կապը կազմում է } \frac{F}{F_{\alpha 1}} = \frac{\cos \varphi_1}{\sin \varphi_1} = \operatorname{ctg} \varphi_1 = u :$$



Նկ. 20. Կոնական ատամնավոր զույգում առաջացած ուժերը:

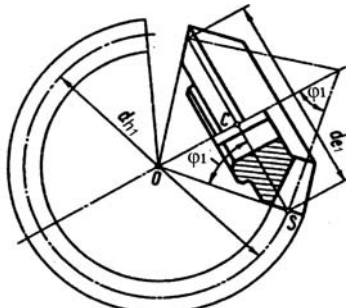
2.3.4.2. Կոնական ատամնավոր փոխանցումների հաշվարկն ըստ ծռման ամրության

Ըստ ամրության՝ կոնական ատամնավոր փոխանցումները հաշվարկելու ժամանակ կոնական ատամնավոր զույգը (նկ. 21) փոխարինվում է համարժեք զլանային ուղղատամ ատամնավոր զույգով (փոխարինման սկզբունքը ներկայացված է կոնական շփական փոխանցման (ըստ հպունային ամրության) հաշվարկի դեպքում):



Նկ. 21. Կոնական ատամնավոր փոխանցման հաշվարկային սխեման ըստ ծռման և հպունային ամրությունների:

Նկ. 22-ուն ներկայացված է կոնական ատամնանվակից ստացված համարժեք զլանային ուղղատամ ատամնանվակը՝ Z_{h1} համարժեք ատամների թվով:



Նկ. 22. Խամարժեք գլանային ուղղատամ ատամնանիվի առաջացումը:

Բստ OCS եռանկյամ՝ ստացվում է համարժեք գլանային ուղղատամ ատամնանվակի բաժանարար տրամագծի կախվածությունը կոնական ատամնանվակի արտաքին բաժանարար տրամագծից՝

$$\frac{d_{el}}{d_{h1}} = \cos \varphi_1 :$$

Վերջինիս համաձայն՝ համարժեք գլանային ուղղատամ ատամնանվակի բաժանարար տրամագիծը կազմում է $d_{h1} = \frac{d_{el}}{\cos \varphi_1}$ կամ

$m_e \cdot Z_{h1} = \frac{m_e \cdot Z_1}{\cos \varphi_1}$, իսկ համարժեք գլանային ուղղատամ ատամնանվակի ատամների թիվը՝

$$Z_{h1} = \frac{Z_1}{\cos \varphi_1} :$$

Չյուղվող աշխատանքային պայմաններում կոնական ատամնավոր փոխանցումների հաշվարկը կատարվում է ըստ ծռման ամրության գլանային ուղղատամ գույգի հաշվարկին համանման: Արդյունքում ստացվում են համապատասխան ստուգիչ բանաձևերը՝

$$\sigma_F = \frac{F_{tl} \cdot K'_F \cdot Y_F \cdot Y_\beta}{b \cdot m_d \cdot v_F} = \frac{2 \cdot T_{nl} \cdot K'_F \cdot Y_F \cdot Y_\beta}{d_1 \cdot b \cdot m_d \cdot v_F} \leq [\sigma]_F, \text{ Ն/մմ}^2,$$

$$\sigma_F = \frac{2 \cdot T_{nl} \cdot K'_F \cdot Y_F \cdot Y_\beta}{z_1 \cdot b \cdot m_d^2 \cdot v_F} \leq [\sigma]_F, \text{ Ն/մմ}^2,$$

որտեղ՝ K'_F -ը համալիր բեռնվածքի գործակիցն է. ծռման ամրության հաշվարկի դեպքում $K'_F = K_{Fa} \cdot K_{FB} \cdot K_{FV}$, K_{Fa} -ն՝ բեռնվածքի բաշխման գործակիցը. ուղղատամ փոխանցման դեպքում $K_{Fa}=1,0$,

K_{FB} -ն՝ հպումային գծով բեռնվածքի անհավասարաչափ բաշխման գործակիցը, K_{FV} -ն՝ դինամիկական գործակիցը, Y_{hf} -ը՝ համարժեք ատամնանիվի պլոֆիլի գործակիցն ըստ Z_h -ի, v_F -ը՝ ատամների ձևը հաշվի առնող գործակիցը. ուղղատամ փոխանցման դեպքում $v_F=0,85$, շեղատամ փոխանցման դեպքում, $v_F=1,0$, Y_β -ն՝ ատամների թեքության գործակիցը, $Y_\beta=1-\beta^0/140^0$, ուղղատամ փոխանցման դեպքում $Y_\beta=1$:

$b=\psi_b \cdot m_e$ արտահայտությունը (ուղղատամ փոխանցման դեպքում $\psi_b=b/m_e=10 \div 15$, շեղատամ փոխանցման դեպքում $\psi_b=15 \div 25$) ծովան ամրության պայմանի մեջ տեղադրելու դեպքում ստացվում է նախագծնան բանաձևը՝

$$m_d = \sqrt[3]{\frac{K_F \cdot F_{tl} \cdot Y_F \cdot Y_\beta}{v_F \cdot \psi_b \cdot [\sigma]_F}} = \sqrt[3]{\frac{2 \cdot T_{nl} \cdot K_F \cdot Y_F \cdot Y_\beta}{v_F \cdot z_l \cdot \psi_b \cdot [\sigma]_F}}, \text{ մմ:}$$

Բեռնվածքի գործակիցը նախագծնան փուլում ուղղատամ փոխանցման դեպքում ընդունվում է $K_F \approx K_H \approx K_{H\beta}=1,15 \div 1,5$, շեղատամ փոխանցման դեպքում՝ $K_F=1,0 \div 1,3$:

2.3.4.3. Կոնական ատամնավոր փոխանցումների հաշվարկն ըստ հպումային ամրության

Փոխանցման յուղման դեպքում հաշվարկը կատարվում է ըստ հպումային ամրության (համանման կոնական շփական փոխանցմանը): Արդյունքում ստացվում են ստուգիչ բանաձևերը (հաշվարկային հպումային լարումը):

$$\sigma_H = \frac{310}{R_d} \cdot \sqrt{\frac{K'_H \cdot T_{nl} \cdot \sqrt{(u^2 + 1)^3}}{b_2 \cdot u \cdot v_H}} \leq [\sigma]_H, \text{ Н/мм}^2,$$

$$\sigma_H = 1900 \cdot \sqrt{\frac{K'_H \cdot u \cdot T_{n2}}{d_{e2}^3 \cdot v_H}}, \text{ Н/мм}^2:$$

Վերջիններիս համաձայն ստացվում են նախագծնան բանաձևերը՝ միջին կոնական հեռավորությունը և արտաքին բաժանարար տրամագիծը՝

$$R_{\text{f}} = \sqrt{u^2 + 1} \cdot 3 \sqrt{\left(\frac{310}{[\sigma]_H}\right)^2 \cdot \frac{K_H \cdot T_{n1}}{\Psi_{Rd} \cdot u \cdot v_H}}, \text{մմ},$$

$$d_{e2} = 165 \cdot 3 \sqrt{\frac{K_H \cdot u \cdot T_{n2}}{v_H \cdot [\sigma]_H^2}}, \text{մմ},$$

որտեղ v_H -ն ատամների ձևը հաշվի առնող գործակիցն է. ուղղատամ կոնական փոխանցման համար $v_F = v_H = 0,85$, շեղատամ կոնական փոխանցման համար $v_H = 1,0$, կլոր ատամներով կոնական փոխանցման համար $v_H = 1,85$:

Բեռնվածքի գործակիցը նախագծման փուլում ուղղատամ կոնական փոխանցման դեպքում ընդունվում է $K_H = 1,15 \div 1,5$, կլոր և շեղատամ կոնական փոխանցումների դեպքում՝ $K_H = 1,0 \div 1,3$:

2.3.5. Որդնակային փոխանցումներ

2.3.5.1. Նիմնական տեղեկություններ

Որդնակային փոխանցումներ ատամնապուտակավոր մեխանիկական սարքավորումներ են, որոնք նախատեսված են խաչվող առանցքների միջև պտտական շարժում հաղորդելու համար (հիմնականում օգտագործվում է $\theta = 90^\circ$ խաչման անկյունը):

Որդնակը սեղանածն պարուրակով մշակված պտուտակ է, իսկ որդնանիվը՝ գլանային շեղատամ ատամնամիվ, որի պսակի օղագոտու վրա ձևավորված է կիսակլոր առվակ՝ պրոֆիլով որդնակի գալարին համապատասխան:

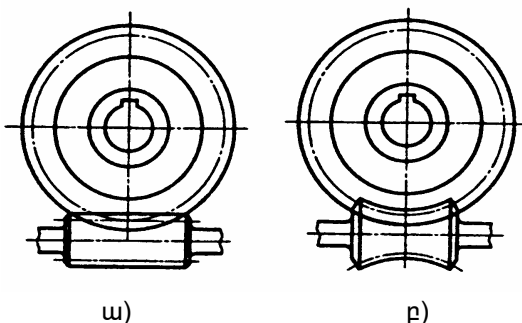
Որդնակային փոխանցումներն ունեն հետևյալ առավելություններ՝ մեկ աստիճան զույգի միջոցով փոխանցման մեջ թվի ապահովում ($u=8 \div 100$), հարաբերական փոքր գարարիտային չափեր, սահուն, անաղմուկ աշխատանք, ինքնարգելակման հնարավորություններ, ինչպես նաև հետևյալ թերությունները՝ հզորության հարաբերական մեջ կորուստներ, ցածր օ.գ.գ. ($\eta = 0,6 \div 0,9$), ինչի հետևանքով առաջանում է հովացման անհրաժեշտություն, որդնանիվների պսակների համար թանկարժեք հակաշփական նյութերի օգտագործման անհրաժեշտություն, որդնակի գալարների և որդնանիվի ատամների տրորվելու (ծանվելու) ունակություն, գգալի առանցքային ուժերի առկայություն և այլն:

Նշված թերությունները սահմանափակում են որդնակային փո-

խանցումների օգտագործումը մեջ հզորությունների դեպքում (սովորաբար $P \leq 100$ կՎտ):

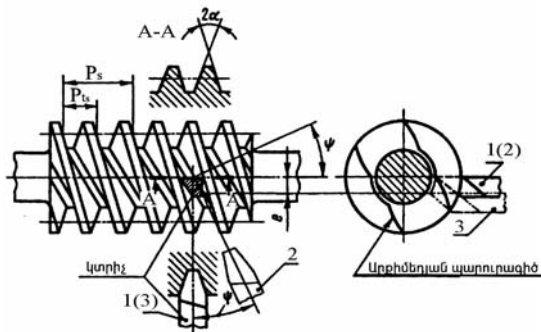
Որդնակային փոխանցումները լինում են՝

- ըստ որդնակի արտաքին մակերևույթի ձևի՝ գլանային և գլոբու-դային (նկ. 23), վերջիններս, շնորհիվ իրենց կառուցվածքի, ա-վելի բեռնումակ են, սակայն ունենում են կորուստներ ու ավելի բարձր ջերմաստիճան (սույն աշխատանքում ուսումնասիրվում են միայն գլանային որդնակով փոխանցումները),
- ըստ որդնակի գալարների ուղղության՝ աջ և ձախ,
- ըստ որդնակի գալարների մուտքերի թվի՝ միամուտք ($Z=1$), երկմուտք ($Z=2$) և չորս մուտքանի ($Z=4$). ստանդարտից դուրս հնարավոր է նաև եռամուտք ($Z=3$) որդնակի օգտագործումը,
- ըստ որդնակի գալարների կողային մակերևույթի ձևի՝ արքիմե-դային, էվոլվենտային և կոնվուլուտային պրոֆիլներով, որոնք պահանջում են կտրման առանձին եղանակներ՝ պայմանավոր-ված պարուրակահան կտրիչի տեղադրման տարբեր դիրքերով (նկ. 24), այսպես՝ կտրիչի 1-ին դիրքի դեպքում ձևավորվում է սեղանաձև պրոֆիլով արքիմեդյային որդնակ, 2-րդ դիրքի դեպքում՝ կոնվուլուտային պրոֆիլով որդնակ, 3-րդ դիրքի դեպքում՝ էվոլվենտային պրոֆիլով որդնակ,
- ըստ որդնանիվի նկատմամաբ որդնակի դասավորության՝ վե-րին, ներքին և կողային՝ պայմանավորված միայն շահագործ-ման պայմաններով (նկ. 25):



Նկ. 23. Որդնակային փոխանցումներ.

ա) գլանային որդնակով, բ) գլոբուդային որդնակով:



Նկ. 24. Որդնակի գալարի պրոֆիլի առաջացումը:



Նկ. 25. Որդնակի և որդնանիվի փոխադարձ դասավորության տեսակները:

Ըստ կառչման գոտում առաջացող զգալի հարաբերական սահքի՝ որդնակները և որդնանիվները պետք է ունենան բարձր մակերևությաին ամրություն, մաշաղիմացկունություն ու տրորվելու նկատմամբ դիմադրողականություն: Ուստի որդնակները նպատակահարմար է պատրաստել միջին ածխածնային և լեզվակած պողպատից՝ համապատասխան ջերմանմանով, ինչը կապահովի աշխատանքային մակերևույթների բարձր կարծրություն:

40 և 45 նակնիշների պողպատից պատրաստված որդնակները միսվում են մինչև HRC 45÷50 կարծրության, իսկ 15X, 20X, 12XH2, 18XĀԾ և այլ նակնիշների պողպատից պատրաստված որդնակները ենթարկվում են ցեմենտացման կամ միման՝ ապահովելով HRC 58÷63 նակերևութային կարծրություն:

Ամերաժշտ է հիշել, որ փոքր հզորությունների դեպքում, երբ $P \leq 1,0$ կՎտ, օգտագործվում է տարբեր մակնիշների բարելավված, միջին

ածխածնային պողպատ (\leq HB350 կարծրությամբ), իսկ $P>1,0$ կՎտ-ից ավել հզորության դեպքում, օ.գ.գ.-ն մեծացնելու նպատակով՝ միսված պողպատ (\geq HRC45 կարծրության, որդնակի գալարների մակերևույթների հետագա հղկումով կամ անհրաժեշտության դեպքում նաև ողորկումով):

Ուժային փոխանցումների որդնանիվները հիմնականում ունեն հավաքովի կառուցվածք, որոնց առանձին մեքենամասերը պատրաստվում են հետևյալ նյութերից՝

- անվակունդը՝ հիմնականում $N \times 12$, $N \times 15$, $N \times 18$ մակնիշների գորշ թուղից,
- սևորդ հեղուսները՝ ցածր ածխածնային պողպատից ($N\delta.$ 3),
- պսակը՝ հակաշփական բրոնզե ձուլվածքներից:

Որդնանիվների ատամնանիվային պսակները հիմնականում պատրաստվում են բարձր հակաշփական հատկություններ ունեցող բրոնզից:

Խորհուրդ է տրվում որդնանիվի պսակի նյութը ընտրել ըստ որդնակային գույքի հարաբերական սահքի մեծության՝

- $N \times 12$, $N \times 15$, $N \times 18$ կամ $N \times 20$ մակնիշների գորշ թուղն օգտագործվում է փոքր արագությունների դեպքում՝ $V_{h,u} \leq 2$ մ/վրկ,
- Ած.ԱՅԵ9-4Ե, Ած.ԱՅԵ1 10-4-4Ե, Ած.Ա9ԱԵ3Ե և այլ մակնիշների անագագործ բրոնզն ու արույրն օգտագործվում են միջին արագությունների դեպքում՝ $V_{h,u} = 3 \div 5$ մ/վրկ,
- Ած.Դ Օ 10-1, Ած.Դ ՕՇ, Ած.Դ ՕՆ 6-6-3 և այլ մակնիշների անագային բրոնզն օգտագործվում է $V_{h,u} = 5 \div 30$ մ/վրկ արագությունների դեպքում:

Առավել բարձր մաշադիմացկունություն ապահովվում է, եթե որդնանիվի պսակը պատրաստվում է կենտրոնախույզ ձուլման եղանակով:

Որդնանիվի պսակի նյութի ընտրությունը կատարվում է ըստ ենթադրվող հարաբերական սահքի արագության, որը մինչև նախագծումը մոտավորապես կարելի է որոշել հետևյալ կախվածությամբ՝

$$V_s = \frac{4,3 \cdot \omega_1}{10^3} \cdot \sqrt[3]{T_{n2}}, \text{ մ/վրկ},$$

որտեղ՝ ω_1 -ը որդնակի անկյունային արագությունն է, ռադ/վրկ, T_{n2} -ը՝ որդնանիվի վրա առաջացած ոլորտ մոմենտը, Նմ:

Որդնակի երկրաշափական պարամետրերը: Որդնակը (նկ. 24 և 26) պարուրակված գլանային մարմին է, որի գալարն ունի առանցքա-

յին քայլ՝ արտահայտված հարևան գագաթների միջև եղած հեռավորությամբ՝
 $P_{ts} = \pi \cdot m_s$,
 որտեղ՝ m_s -ն առանցքային կառչման մոդուլն է:

Բազմամուտք որդնակների մոտ նույն գալարի հարևան գագաթների միջև եղած հեռավորությունը կոչվում է գալարի ընթացք՝

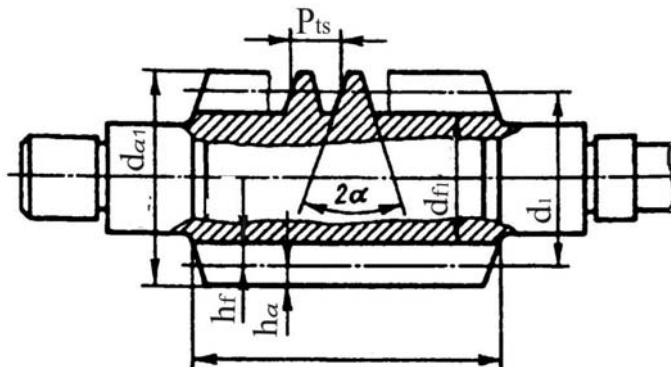
$$P_s = P_{ts} \cdot Z_1,$$

որտեղ՝ Z_1 -ը որդնակի գալարների մուտքերի թիվն է, իսկ P_{ts} -ը՝ առանցքային կառչման քայլը:

Որդնակի գալարի տեսքը կտրվածքում ձևավորվում է երեք շրջանագծերով, որոնք, ըստ բարձրության, գալարը բաժանում են երկու մասի՝ գլխիկի և ոտիկի:

Յանաձայն ստանդարտի՝ գալարի բարձրությունը որոշվում է հետևյալ կերպ՝

$$h_l = h_a + h_f = 1,0 \cdot m_s + 1,2 \cdot m_s = 2,2 \cdot m_s :$$



Նկ. 26. Որդնակի հաշվարկային սխեմա:

Քանի որ որդնակը պարուրակված գլանային մարմին է, ապա,
 ըստ ստանդարտի, որդնակի բաժանարար տրամագծի և առանցքային
 կառչման մոդուլի կապն արտահայտվում է համապատասխան $q = \frac{d_1}{m_s}$
 գործակցով, որի արժեքը ստանդարտացված է և ընդունվում է ըստ
 $q = 6,3 \div 25$ միջակայքի:

Որդնակի բաժանարար տրամագիծը կազմում է

$$d_1 = m_s \cdot q,$$

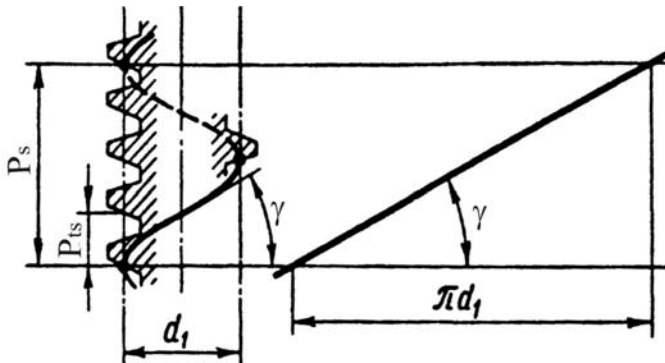
արտաքին տրամագիծը՝

$$d_{\alpha 1} = d_1 + 2 \cdot h_a = d_1 + 2 \cdot m_s = m_s \cdot q + 2 \cdot m_s = m_s(q + 2),$$

ներքին տրամագիծը՝

$d_{fl} = d_1 - 2,4 \cdot h_f = d_1 - 2,4 \cdot m_s = m_s$; $q - 2,4 \cdot m_s = m_s \cdot (q - 2,4)$,
 պարուրակված նասի աշխատանքային երկարությունը,
 եթե $Z_1=1$ կամ $Z_1=2$ ՝ $b_1 = (11+0,06 \cdot Z_2) \cdot m_s + \Delta$,
 եթե $Z_1=4$ ՝ $b_1 = (12,5+0,09 \cdot Z_2) \cdot m_s + \Delta$,
 որտեղ Z_2 -ը որդնանիվի ատամների թիվն է, $\Delta=20\div50$ մմ (հղկման
 դեպքում ուղղման գործակիցն է)
 գալարի վերելքի անկյունը (նկ. 27)`

$$\operatorname{tg}\gamma = \frac{P_s}{\pi \cdot d_1} = \frac{P_{ts} \cdot Z_1}{\pi \cdot m_s \cdot q} = \frac{Z_1}{q} :$$



Նկ. 27. Որդնակի գալարի վերելքի անկյան որոշման հաշվարկային սխեմա:

Որդնանիվի երկրաչափական պարամետրերը: Որդնանիվը (նկ. 28) շեղատամ գլանային ատամնանիվ է, որի պսակի արտաքին մակերևույթի վրա մշակված է առվակ, իսկ ատամի բարձրությունը միջին կրտրվածքում հավասար է որդնակի գալարի բարձրությանը՝

$$h_1 = h_2 = 2,2 \cdot m_s;$$

Որդնանիվի բաժանարար տրամագիծը կազմում է

$$d_2 = m_s \cdot Z_2,$$

ատամների թիվը՝

$$Z_2 = Z_1 \cdot u,$$

որտեղ որդնակի մուտքերի թիվը վերցվում է ըստ փոխանցման թվի մեծության (դրանց արտադրյալը պետք է ապահովի որդնանիվի ատամների նվազագույն քանակ՝ $Z_{2min} \geq 28$),

արտաքին տրամագիծը՝

$$d_{\alpha 2} = d_2 + 2 \cdot m_s = m_s \cdot Z_2 + 2 \cdot m_s = m_s \cdot (Z_2 + 2),$$

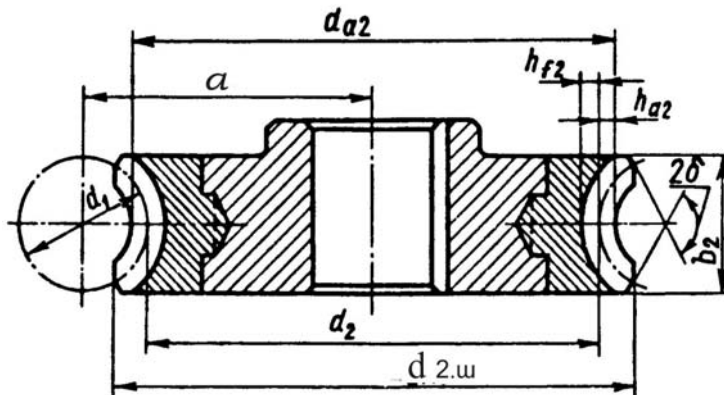
ԱԵՐԾԻՆ ՄՈՒԱՄԱԳԻԾԸ՝

$$d_{f2} = d_2 - 2 \cdot 4 \cdot m_s = m_s \cdot Z_2 - 2 \cdot 4 \cdot m_s = m_s \cdot (Z_2 - 4),$$

ԱՌԱՎԵԼԱԳՈՒՅՆ ԱՐՏԱՔԻՆ ՄՈՒԱՄԱԳԻԾԸ՝

$$d_{2\omega} \leq d_{\alpha} + \frac{6 \cdot m_s}{Z_1 + 2},$$

ըստ որդնակի մուտքերի թվի՝ ատամնապսակի լայնությունը, եթե
 $Z_1 = 1$ կամ $Z_1 = 2$ ՝ $b_2 < 0,75 \cdot d_{\alpha 1}$, եթե $Z_1 = 4$ ՝ $b_2 < 0,67 \cdot d_{\alpha 1}$:



Նկ. 28. Որդնանիվի հաշվարկային սխեմա:

ՈՐԴՆԱԿԱՅԻՆ ԳՈՒՅԳԻ ԵՐԿՐԱԶԱԽԱԿԱՄ ԱՎԱՐԱՄԵՍԹԵՐՄ ԵՄ՝

- մեկ գույգի փոխանցման թիվը՝

$$u = \frac{n_1}{n_2} = \frac{\omega_1}{\omega_2} = \frac{Z_2}{Z_1},$$

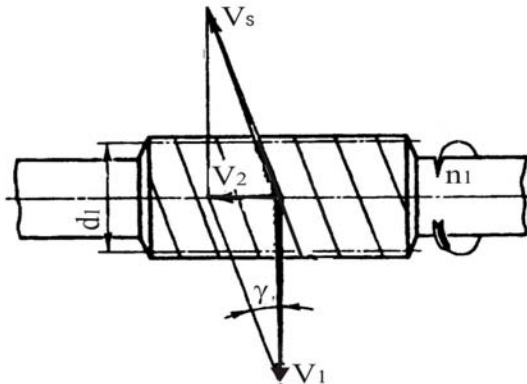
$$\text{բայց ոչ թե } u = \frac{d_2}{d_1}, \text{ բանի որ } u \neq \frac{m_s \cdot Z_2}{m_s \cdot q},$$

- որդնակային փոխանցման միջառանցքային հեռավորություն՝

$$\alpha = \frac{d_1 + d_2}{2} = \frac{m_s \cdot q + m_s \cdot Z_2}{2} = \frac{m_s \cdot (q + Z_2)}{2}:$$

Ըստ նկ. 29-ի հարաբերակամ սահքի արագությունը կազմում է

$$V_s = \frac{V_1}{\cos \gamma} = \frac{\omega_1 \cdot d_1}{2 \cdot \cos \gamma}:$$



Նկ. 29. Որդնակային զույգի արագությունների որոշման հաշվարկային սխեմա:

Որդնակային (որպես պտուտակային) զույգի օ.գ.գ.-ն, երբ շարժումը հաղորդվում է որդնակից դեպի որդնանիվը, բնորոշվում է հետևյալ արտահայտությամբ՝

$$\eta = \frac{\operatorname{tg} \gamma}{\operatorname{tg}(\gamma + \rho')} :$$

Ըստ յուղման պայմանների, ինչպես նաև գլորման առանցքակալներում առաջացած կորուստների՝ որոշվում է որդնակային փոխանցման օ.գ.գ.-ն՝

$$\eta = (0,95 \div 0,96) \cdot \frac{\operatorname{tg} \gamma}{\operatorname{tg}(\gamma + \rho')} :$$

Մոտավոր հաշվարկների համար, ըստ որդնակի մուտքերի թվի, ընդունվում են օ.գ.գ.-ի հետևյալ արժեքները՝

- երբ $Z_1 = 1$, $\eta \approx 0,7 \div 0,75$,
- երբ $Z_1 = 2$, $\eta \approx 0,75 \div 0,82$,
- երբ $Z_1 = 4$, $\eta \approx 0,82 \div 0,92$:

Արագացնող մեխանիզմներում (մուլտիպլիկատորներում), երբ շարժումը հաղորդվում է որդնանիվից դեպի որդնակը, ուժերի ուղղության փոփոխման հետևանքով զույգի օ.գ.գ.-ն որոշվում է հետևյալ կերպ՝

$$\eta = \frac{\operatorname{tg}(\gamma - \rho')}{\operatorname{tg} \gamma} :$$

Յամաձայն ստացված արտահայտության՝ զույգի ինքնարգելակում է առաջանում, երբ $\gamma \leq \rho'$, այսինքն, երբ $\eta \leq 0,5$: Նման փոխանցում-

Ներն օգտագործվում են բեռնամբարձ մեքենաներում, որոշ փոխադրող էլեատորներում և այլն:

Ուժային կախումները: F_n նորմալ ուժը, որն ազդում է կառչման բնեղում, բաժանվում է F_t , F_r և F_a բաղադրիչների (նկ.30), որոնք որոշվում են հետևյալ կերպ՝

- որդնակի շրջագծային և որդնանիվի առանցքային ուժերը

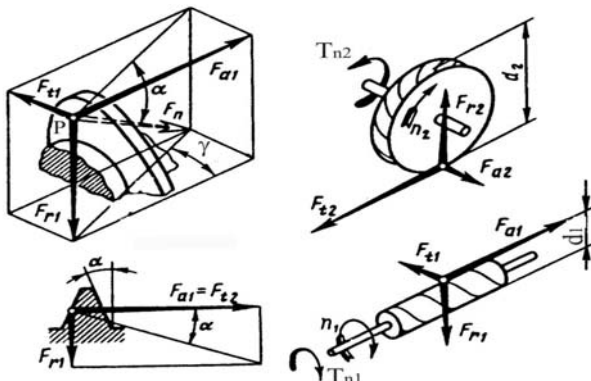
$$F_{tl} = 2 \cdot T_{n1} / d_1 = F_{az}, \text{ և,}$$

- որդնակի և որդնանիվի շառավիղային ուժերը՝

$$F_{rl} = F_{t2} \cdot \operatorname{tg}\alpha = F_{rz}, \text{ և,}$$

- որդնակի առանցքային և որդնանիվի շրջագծային ուժերը՝

$$F_{az} = 2 \cdot T_{n2} / d_2 = F_{t2}, \text{ և:}$$



Նկ. 30. Որդնակային գույզի կառչման գոտում առաջացած ուժերը:

Որդնակի և որդնանիվի առանցքային ուժերի ուղղությունները կախված են դրանց պտտման և որդնակի գալարմերի ուղղություններից:

2.3.5.2. Որդնակային փոխանցումների հաշվարկն ըստ ծովան ամրության

Երբ նվազ և միջին բեռնավորված ու տարբեր արագության որդնակային փոխանցումները չեն յուղվում, իսկ որդնանիվի պսակը պատրաստված է պողպատից, ապա որդնակային գույզի չափերը հաշվարկվում են ըստ ծովան ամրության պայմանի:

Բեռնավորված ուժային որդնակային փոխանցումների դեպքում,

Երբ որդնանիվի պսակը պատրաստված է հակաշփական գունավոր նյութերից, որդնանիվի ատամները ստուգվում են նաև ըստ ծռման ամրության:

Քանի որ որդնանիվը շեղատամ գլանային ատամնանիվ է, ապա ծռման ամրության պայմանը կազմում է

$$\sigma_{F2} = \frac{K_H \cdot F_{t2} \cdot Y_{F2}}{L_{min} \cdot m_s} \leq [\sigma]_{F2},$$

որտեղ՝ L_{min} -ը կառչման գոտում հպումային գծի նվազագույն երկարությունն է, $L_{min} = 1,3 \cdot d_1 / \cos \gamma$, իսկ F_{t2} -ը՝ շրջագծային ուժը, $F_{t2} = 2 \cdot T_{n2} / d_2$:

Արժեքները տեղադրելու դեպքում ստացվում է

$$\sigma_{F2} = \frac{2 \cdot K_H \cdot T_{n2} \cdot Y_{F2} \cdot \cos \gamma}{m_s \cdot 1,3 \cdot d_1 \cdot d_2} \leq [\sigma]_{F2}:$$

Որդնակի գալարի վերելքի կամ որդնանիվի ատամի թեքության անկյունը կարող է գտնվել հետևալ միջակայքում՝

$$\operatorname{tg} \gamma = \frac{Z_1}{q} = \frac{1}{10} \div \frac{4}{10},$$

որտեղից երևում է, որ $Z_1 = 1$ դեպքում $\operatorname{tg} \gamma = 0,1$, $\gamma = 5,71^\circ$, $\cos \gamma = \cos 5,71^\circ = 0,995$, իսկ $Z_1 = 4$ դեպքում $\operatorname{tg} \gamma = 0,4$, $\gamma = 21,8^\circ$, $\cos \gamma = \cos 21,8^\circ = 0,928$:

Վերջին արժեքները տեղադրելու համաձայն՝

$$\sigma_{F2} = \frac{2 \cdot K_H \cdot T_{n2} \cdot Y_{F2} \cdot (0,928 \div 0,995)}{1,3 \cdot m_s \cdot d_1 \cdot d_2} \leq [\sigma]_{F2}:$$

Ստացված արտահայտությունը ձևափոխելուց հետո ստացվում է հետևյալ ստուգիչ բանաձև՝

$$\sigma_{F2} = \frac{(1,2 \div 1,5) K_H \cdot T_{n2} \cdot Y_{F2}}{m_s \cdot d_1 \cdot d_2} \leq [\sigma]_{F2},$$

որտեղից դուրս է բերվում վերջնական ստուգիչ բանաձև՝

$$\sigma_{F2} = \frac{1,2 \cdot K_H \cdot T_{n2} \cdot Y_{F2}}{m_s \cdot d_1 \cdot d_2} \leq [\sigma]_{F2}, \text{Ն/մմ}^2:$$

Վերջինիս համաձայն՝ ծռման ամրության հաշվարկի ժամանակ բեռնվածքի գործակիցը կազմում է

$$K_H = K_v \cdot K_\beta,$$

որտեղ՝ K_v -ն դիմամիկական գործակիցն է, որն ընտրվում է ստանդարտով նախատեսված այուսակներից, K_β -ն՝ բեռնվածքի բաշխման անհավասարաչափության գործակիցը՝

$$K_\beta = 1 + (Z_2/0)^3 \cdot (1-X),$$

որտեղ՝ θ -ն որդնակի դեֆորմացիայի գործակիցն է, որն ընտրվում է ստանդարտով նախատեսված այուսակներից, իսկ X -ը՝ արտաքին բեռնվածքի գործակիցը, $X=0,3\dots1,0$:

Նախագծման բանաձևը ստանալու համար $d_1 = m_s \cdot q$ և $d_2 = m_s \cdot Z_2$ արտահայտությունները ծռման ամրության բանաձևում տեղադրելու դեպքում ստացվում է առանցքային նոդուլի արտահայտությունը՝

$$m_s = \sqrt[3]{\frac{1,2 \cdot K_H \cdot T_{n2} \cdot Y_{F2}}{q \cdot Z_2 \cdot [\sigma]_{F2}}}, \text{ մմ},$$

որտեղ համարժեք գլանային ատամնանիվի պրոֆիլի Y_{F2} գործակիցն ընտրվում է ստանդարտով նախատեսված այուսակներից՝ ըստ համարժեք ատամների թվի՝ $Z_{h2} = Z_2 / \cos^3 \gamma$:

2.3.5.3. Որդնակային փոխանցումների հաշվարկն ըստ հպումային ամրության

Որդնակային ուժային փոխանցումները, որոնց որդնանիվի պսակը պատրաստված է հակաշփական, ինքնայուղվող նյութերից, հաշվարկվում են ըստ հպումային ամրության՝ անկախ փոխանցման յուղման կամ չյուղման:

Որդնակային գույզը հաշվարկվում է գլանային ատամնանիվային գույզի նման:

Տես. 31-ից երևում է, որ որդնանիվի ատամի պրոֆիլը բնորոշվում է կորության ρ_2 շառավիղով, իսկ որդնակի գալարի պրոֆիլը, որ ուղիղ գիծ է կորության $\rho_1 = \infty$ շառավիղով:

Հպումային լարումը կազմում է

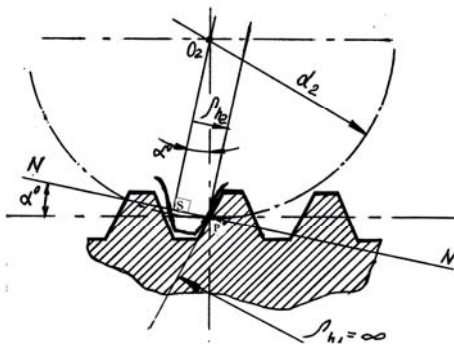
$$\sigma_H = \sqrt{\frac{q \cdot E_p}{2 \cdot \pi \cdot (1 - \mu^2) \cdot \rho_p}} :$$

Եթե պսակը պատրաստված է բրոնզից, ապա, ըստ **Պուասոնի** գործակիցի ($\mu = 0,35$), վերոհիշյալ բանաձևն ընդունում է հետևյալ տեսքը՝

$$\sigma_H = 0,425 \cdot \sqrt{\frac{q \cdot E_p}{\rho_p}},$$

որտեղ գծային բեռնվածքը կազմում է

$$q = \frac{F_n}{L_{\min}} :$$



**Նկ. 31. Որդմակային փոխանցումների հաշվարկային սխեման
ըստ հպումային ամրության:**

F_n -ի և F_{t2} -ի կապը որոշելու համար ուսումնասիրվում է ուժային գուգահեռանիստը (նկ. 30):

$$\text{Ըստ } \frac{F_{t2}}{F_s} = \cos \gamma, \quad F_s = \frac{F_{t2}}{\cos \gamma}, \quad \frac{F_s}{F_n} = \cos \alpha \quad \text{արտահայտությունների՝}$$

$$F_n = \frac{F_s}{\cos \alpha} = \frac{F_{t2}}{\cos \gamma \cdot \cos \alpha} :$$

Կառչման գծի նվազագույն երկարությունը կազմում է

$$L_{\min} = 1,3 \cdot d_1 / \cos \gamma :$$

Վերջինս գծային բեռնվածքի արտահայտությունում տեղադրելու դեպքում ստացվում է

$$q = \frac{K_H \cdot F_{t2} \cdot \cos \gamma}{1,3 \cdot d_1 \cdot \cos \gamma \cdot \cos \alpha} = \frac{K_H \cdot F_{t2}}{1,3 \cdot \cos \alpha} = \frac{2 \cdot K_H \cdot T_{n2}}{1,3 \cdot d_1 \cdot d_2 \cdot \cos \alpha} :$$

Որդմանիվի ատամի և գալարի պրոֆիլների բերված կորության շառավիղը որոշվում է հետևյալ կերպ՝

$$\frac{1}{\rho_p} = \frac{1}{\rho_1} + \frac{1}{\rho_2} = \frac{1}{\infty} + \frac{1}{\rho_2} = 0 + \frac{1}{\rho_2} = \frac{1}{\rho_2} :$$

Ըստ նկ. 31-ի O_2SP եռանկյան՝ $\rho_p = \rho_2 = d_2 \cdot \sin \alpha / 2$:

Քանի որ որդնակը պատրաստված է պողպատից, իսկ որդնանիվի պսակը՝ բրոնզից, Յունակի բերված մոդուլը որոշվում է հետևյալ արտահայտությամբ՝

$$E_p = \frac{2 \cdot E_1 \cdot E_2}{E_1 + E_2} = \frac{2 \cdot 2,1 \cdot 10^5 \cdot 0,95 \cdot 10^5}{2,1 \cdot 10^5 + 0,95 \cdot 10^5} = 1,33 \cdot 10^5, \text{ Ն/մ}^2:$$

Վերջիններս հպումային լարման արտահայտությունում տեղադրելուց հետո ստացվում է

$$\sigma_H = 0,425 \cdot \sqrt{\frac{2 \cdot K_H \cdot T_{n2}}{1,3 \cdot d_1 \cdot d_2 \cdot \cos \alpha} \cdot \frac{1,33 \cdot 10^5}{\frac{d_2}{2} \cdot \sin \alpha}} :$$

Յամածայն $\alpha=20^\circ$ -ի և համապատասխան ծևափոխությունների՝ ստացվում է վերջնական ստուգիչ բանաձևը՝

$$\sigma_H = \frac{480}{d_2} \cdot \sqrt{\frac{K_H \cdot T_{n2}}{d_1}} \leq [\sigma]_H :$$

Վերջինիս ծևափոխումից էլ ստացվում է նախագծման բանաձև՝

$$\sigma_H = 480 \cdot \sqrt{\frac{K_H \cdot T_{n2}}{d_1 \cdot d_2^2}} \leq [\sigma]_H, \text{ Ն/մ}^2:$$

Յամածայն $d_1 = m_s \cdot q$ և $d_2 = m_s \cdot Z_2$ արտահայտությունների՝

$$\sigma_H = 480 \cdot \sqrt{\frac{K_H \cdot T_{n2}}{m_s \cdot q \cdot (m_s \cdot Z_2)^2}} \leq [\sigma]_H :$$

Վերջին բանաձևում $m_s = \frac{2 \cdot \alpha}{Z_2 + q}$ արտահայտությունը տեղադրե-

լուց հետո ստացվում է

$$\sigma_H = \sqrt{\frac{480^2 \cdot K_H \cdot T_{n2} \cdot (Z_2 + q)^3}{(2 \cdot \alpha)^3 \cdot q \cdot Z_2^2}} \leq [\sigma]_H, \text{ Ն/մ}^2,$$

որտեղից

$$\alpha = (Z_2 + q) \cdot \sqrt[3]{\left(\frac{170}{[\sigma]_H}\right)^2 \cdot \frac{K_H \cdot T_{n2}}{q \cdot Z_2^2}} :$$

Վերջինս q/q արտահայտությունով բազմապատկելու դեպքում ստացվում է նախագծման հետևյալ բանաձև՝

$$\alpha = \left(\frac{Z_2}{q} + 1 \right) \cdot 3 \sqrt{\left(\frac{170}{[\sigma]_H} \right)^2 \cdot K_H \cdot T_{n2}} , \text{ մմ:}$$

2.3.5.4. Որդնակային ռեդուկտորների ջերմային հաշվարկը

Որդնակային փոխանցումների շահագործման ժամանակ համեմատաբար մեծ մակերևույթի վրա առաջացած շփման ուժերի հետևանքով մեխանիկական աշխատանքի ընթացքում առաջանում է համեմատաբար բարձր ջերմաստիճան, որը հաղորդվում է մեքենամասներին, յուղին և ռեդուկտորի իրանին: Եթե յուղի ջերմաստիճանը գերազանցում է դրա մակնիշին բնորոշ թույլատրելի արժեքը, ապա յուղի հատկությունների փոփոխման (մածուցիկության նվազման) պատճառով արագորեն առաջանում են ատամների քերծվածք և տրորվածք: Այս երևույթներից խուսափելու համար անհրաժեշտ է ապահովել ջերմային բալանս՝ $Q_w < Q_h$:

Վերջինիս համաձայն՝ որդնակային գույգի կողմից արտադրվող ջերմությունը կազմում է

$$Q_w = (1-\eta) \cdot P_1, \text{ Վտ,}$$

որտեղ՝ η -ն որդնակային գույգի օ.գ.գ. -ն է, P_1 -ը՝ որդնակի հզորությունը, կՎտ,

իսկ որդնակային ռեդուկտորից հետացվող ջերմությունը՝

$$Q_h = K_g \cdot F_n \cdot (t_j - t_o), \text{ Վտ:}$$

Արյունքում ջերմային բալանսն արտահայտվում է հետևյալ կերպ՝

$$(1-\eta) \cdot P_1 < K_g \cdot F_n \cdot (t_j - t_o),$$

որտեղ՝ K_g -ն իրանի ջերմահաղորդականության գործակիցն է, $K_g = 8 \div 15$,

F_n -ն՝ ռեդուկտորի հովացվող մակերևույթի մակերեսը,

m^2 , t_j -ն՝ յուղի ջերմաստիճանը, C° , t_o -ն՝ շրջակայքի օդի ջերմաստիճանը, որն ընդունվում է $t_o \approx 20^\circ$:

Այսպիսով, յուղի ջերմաստիճանը որոշվում է հետևյալ արտահայտությամբ՝

$$t_j = \frac{(1-\eta)P_1}{K_g \cdot F_n} + t_o \leq [t],$$

որտեղ $[t]$ -ն ռեդուկտորի արյունաբերական յուղերի թույլատրելի ջերմաստիճանն է, $[t] < 70^\circ \div 90^\circ$:

Եթե ջերմադիմացկունության պայմանը չի բավարարվում, ապա հաճապատճախան ձևով մեծացվում է հովացվող մակերեսը կամ էլ կատարվում է արհեստական հովացում:

2.3.6. Պնդողակ - պտուտակ փոխանցումներ

2.3.6.1. Դիմնակամ տեղեկություններ

Պնդողակ-պտուտակ փոխանցումների պտտական շարժումը փոխարինվում է ուղղագիծ համընթաց շարժմանք: Այս փոխանցումները, հիմնականում կազմված լինելով պտուտակից և անդողակից, օգտագործվում են ամբարձիչներում, մամլիչներում, մետաղահատ ու գլոցման հաստոցներում, բեռնամբարձ սարքավորումներում և այլն:

Ըստ շիման սկզբունքի՝ պնդողակ-պտուտակ փոխանցումները լինում են՝

- սահքի շփումով, որոնք հիմնականում օգտագործվում են միջին մեքենաշինության մեջ,
- գլորման շփումով, որոնք օգտագործվում են ճշտության բարձր աստիճան ունեցող փոխադրման մեխանիզմներում:

Ամբարձիչներում և մամլիչներում պնդողակը սովորաբար անշարժ է, իսկ պտուտակը կատարում է պտտական ու համընթաց շարժումներ: Մետաղահատ հաստոցների ենթակիրներում (սուպորտներում) պտուտակը, որ առանցքի ուղղությամբ անշարժ է, կատարում է պտտական շարժում, իսկ պնդողակը՝ առաջընթաց շարժում: Բեռնամբարձ կրունկների սլաքի թռիչքը փոփոխող մեխանիզմում նույնական պտուտակը պտտվում է, իսկ պնդողակը կատարում է ուղղագիծ շարժում:

Պնդողակ-պտուտակ փոխանցումներում հիմնականում օգտագործվում են ստանդարտ սեղանաձև և հենարանային պարուրակներ: Որոշ դեպքերում օգտագործվում են նաև ոչ ստանդարտ ուղղանկյուն պարուրակներ, որոնց օ.գ.գ.-ն մեծ է ստանդարտ պարուրակների օ.գ.գ.-ից:

Պտուտակները, ըստ նշանակության, լինում են բեռնատար, ընթացքային և տեղադրման:

Ըստ փոխանցման շահագործման պայմանների՝ պտուտակները պատրաստվում են միջին ածխածնային (40, 45, 50), ավտոմատացված (ԱՇ 2, ԱՇ 20), լեզիրված (40X, 40XH), հազվադեպ 65Å մակնիշի պողպատից, իսկ պնդողակները՝ բարձր մաշադիմացկունության հակաշիման նյութերից, ծովածքներից (Ած. Օ 10-05, Ած. Ն Օ 6-6-3, Ած. 10-1, ԱՆ×1, ԱԱ×1), ինչպես նաև գորշ թուղից:

2.3.6.2. Պնդողակ - պտուտակ փոխանցումների հաշվարկն ըստ մաշակայունության

Փոխանցման գույգի մեքենամասերի հիմնական քայլայման պատճառը պարուրակված մակերևույթների մաշումն է:

Մաշակայունության պայմանը՝

$$p = \frac{F_a}{A \cdot z'} = \frac{F_a}{\pi \cdot d_2 \cdot H_1 \cdot z'} \leq [p], \text{Ն/մմ}^2,$$

որտեղ՝ F_a -ն արտաքին առանցքային ուժն է, Ն, A -ն՝ մեկ գալարի աշխատանքային մակերևույթի մակերեսը, մմ², d_2 -ը՝ պարուրակի միջին տրամագիծը, մմ, H_1 -ը՝ պարուրակի աշխատանքային պրոֆիլի բարձրությունը, մմ, z' -ը՝ Հ բարձրությամբ պնդողակի գալարների թիվը, $[p]$ -ն՝ թույլատրելի ճնշումը:

Ըստ պնդողակի բարձրության $\psi_H = H/d_2$ գործակցի, որն ամբողջական պնդողակների համար կազմում է $\psi_H = 1,2 \dots 2,5$, իսկ քանդովի կամ կրկնակի պնդողակների համար՝ $\psi_H = 2,5 \dots 3,5$ և պարուրակի աշխատանքային պրոֆիլի բարձրության $\psi_{H1} = H_1/p$ գործակցի, որը սեղանաձև պարուրակի համար կազմում է $\psi_{H1} = 0,5$, իսկ հենարանային պարուրակի համար՝ $\psi_{H1} = 0,75$, ստացվում է պտուտակի նախագծնան բանաձևը՝

$$d_2 \geq \sqrt{\frac{F_a}{\pi \cdot \psi_H \cdot \psi_{H1} \cdot [p]}}, \text{ մմ:}$$

$[p]$ թույլատրելի ճնշումը պտուտակային փոխանցումների համար ընտրվում է աղյուսակ 3-ից:

Աղյուսակ 3

Պտուտակային փոխանցումների թույլատրելի ճնշման արժեքները

Պտուտակային գույգի նյութը	Թույլատրելի ճնշումը, $[p]$, Ն/մմ ²
Մխված պողպատ և բրոնզ	12 ÷ 13
Չմխված պողպատ և բրոնզ	8 ÷ 10
Մխված պողպատ և հակաշփական թուց	7 ÷ 9
Չմխված պողպատ և հակաշփական թուց	6 ÷ 7
Չմխված պողպատ և գորշ թուց	5

Բեռնամբարձ սարքավորումներում $[p]$ -ի արժեքը կարելի է մեծացնել 30÷40 %-ով:

2.3.6.3. Պնդողակ - պտուտակ զույգի կառուցվածքային չափերի որոշումը

Չաշվարկված d_2 արժեքի հիման վրա ստանդարտով նախատեսված աղյուսակներից նախ՝ ընտրվում են մոտակա մեծ արժեքները (արտաքին տրամագիծը՝ d քայլը՝ p_t), ապա՝ որոշվում են պնդողակի բարձրությունը՝ $H = \psi_H \cdot d_2$ և գալարների քանակն այդ բարձրության սահմանում՝ $z' = H / p_t < 10$: Անհրաժեշտության դեպքում մեծացվում է p_t քայլը:

Քառակուսի պարուրակի դեպքում որոշվում են՝

- գալարի բարձրությունը՝ $h = 0,1 \cdot d_2 = p_t / 2$,
- պարուրակի քայլը՝ $p_t = d_1 / 4 = 2 \cdot h$,
- ներքին տրամագիծը՝ $d_1 = d_2 - h$,
- արտաքին տրամագիծը՝ $d = d_2 + h = d_1 + p_t$:

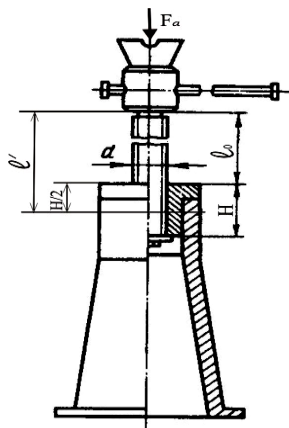
Բոլոր մյուս տեսակի պարուրակների դեպքում որոշվում են՝

- պարուրակի ընթացքը՝ $p_h = z \cdot p_t$,
- պարուրակի վերելքի անկյունը՝ $\operatorname{tg} \gamma = p_h / (\pi d_2)$:

Պտուտակավոր զույգերի համար շատ կարևոր է ապահովել ինքնարգելակնան պայմանը՝

$$\psi < \varphi' = \operatorname{arctg}(f/\cos \gamma),$$

որտեղ γ -ն պարուրակի աշխատանքային մակերևույթի թեքության անկյունն է. մետրական պարուրակների համար $\gamma = 30^\circ$, սեղանաձև պարուրակների համար $\gamma = 15^\circ$, հենարանային պարուրակների համար $\gamma = 3^\circ$, քառակուսի պարուրակների համար $\gamma = 0$, $\varphi' = \varphi = \operatorname{arctg} f$:



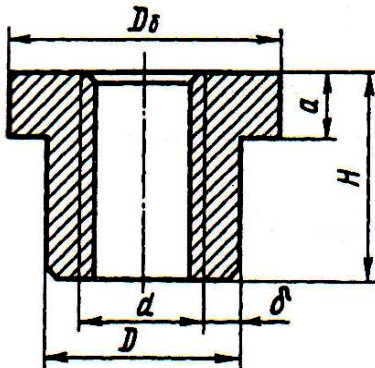
Նկ. 32. Պտուտակավոր ամբարձիչի հաշվարկային սխեմա:

Պտուտակի աշխատանքային մասի (տեղափոխման) երկարությունը (նկ. 32) որոշվում է հետևյալ արտահայտությամբ՝

$$\ell_0 = (8 \div 12) \cdot d, \text{մմ:}$$

Պտուտակի ընդհանուր երկարությունը կազմում է $\ell = \ell_0 + H$, մմ:

Պնդողակի չափերը (նկ. 33) ընդունվում են կառուցվածքային սկզբունքով, այն է՝ նստեցվածքային մակերևույթի տրամագիծը՝ $D = 1,5 \cdot d$, կցաշուրթի տրամագիծը՝ $D_k = 1,25 \cdot D$, բարձրությունը՝ $a = 0,25 \cdot H$:



Նկ. 33. Պտուտակային գույգի պնդողակի հաշվարկային սխեմա:

Պնդողակի ստացված չափերը ստուգվում են ըստ ձգման՝ համաձայն ոլորման ազդեցության՝

$$\sigma_{\delta} = \frac{4 \cdot 1,3 \cdot F_a}{\pi \cdot (D^2 - d^2)} \leq [\sigma]_{\delta}, \text{ Ն/մմ}^2,$$

որտեղ $[\sigma]_{\delta}$ -ն ձգման թույլատրելի լարումն է, $[\sigma]_{\delta} = 30 \div 50$, Ն/մմ² (բրոնզից կամ թուժից պատրաստված պնդողակների համար):

Պնդողակի կցաշուրթի հենարանային մակերևույթը ստուգվում է ըստ տրորման ամրության՝

$$\sigma_{\text{տ}} = \frac{4 \cdot F_a}{\pi \cdot (D_k^2 - D^2)} \leq [\sigma]_{\text{տ}}, \text{ Ն/մմ}^2,$$

որտեղ $[\sigma]_{\text{տ}}$ -ն թույլատրելի տրորման լարումն է, $[\sigma]_{\text{տ}} = 60 \div 80$, Ն/մմ² (բրոնզից կամ թուժից պատրաստված պնդողակների համար):

Կցաշուրթի բարձրությունը ստուգվում է ըստ կտրման՝

$$\tau_k = \frac{F}{\pi \cdot D \cdot \alpha} \leq [\tau]_k, \text{ Ն/մմ}^2,$$

որտեղ $[\tau]_u$ -ն թույլատրելի կտրման լարումն է, $[\tau]_u = 30 \div 50$, Н/м^2 (բրոնգից կամ թուչից պատրաստված պնդողակների համար):

Սեղմված պտուտակները ստուգվում են ըստ կայունության՝ համաձայն հաշվարկային կայունության պաշարի գործակցի որոշման՝

$$S = \sigma_u / \sigma_u < [S],$$

որտեղ՝ $[S]$ -ը թույլատրելի կայունության պաշարի գործակցին է ընթացքային և բեռնատար պտուտակների համար, $[S] = 4 \div 5$, σ_u -ն՝ սեղմնան հաշվարկային լարումը պտուտակի լայնական կտըրվածքում՝

$$\sigma_u = \frac{4 \cdot F_a}{\pi \cdot d_1^2} :$$

Կրիտիկական լարումը որոշվում է երեք եղանակով:

Երբ պտուտակներն ունեն մեծ ճկունություն, այսինքն՝ $\lambda > \lambda_{\text{սահ.}} = 100$ ($\lambda_{\text{սահ.}}$ -ը պտուտակի սահմանային ճկունությունն է, որը կախված է նյութից), կրիտիկական լարումը որոշվում է Ելերի բանաձևով՝

$$\sigma_u = \frac{\pi^2 \cdot E}{\lambda^2}, \text{ Н/м}^2,$$

որտեղ E -ն պտուտակի առաձգականության (Յունգի) մոդուլն է. պողպատի համար $E = 2,1 \cdot 10^5$, Н/м^2 :

Նյութերի դիմադրության դասընթացից հայտնի է, որ պտուտակի ճկունությունը որոշվում է հետևյալ բանաձևով՝

$$\lambda = \frac{\mu \cdot \ell'}{i},$$

որտեղ՝ ℓ' -ը պտուտակի հաշվարկային երկարությունն է, $\ell' = \ell_0 + H/2$, μ -ն՝ պտուտակի երկարության բերված գործակցին ըստ պտուտակի ծայրերի ամրացման սկզբունքի:

Երբ պտուտակի մի ծայրն ազատ է, իսկ մյուսը՝ անշարժ (օրինակ՝ ամրարձիկներում), $\mu = 2,0$, երբ երկու ծայրերն ամրացված են հողակապերով (օրինակ՝ մամլիչներում), $\mu = 1,0$, երբ մի ծայրը անշարժ է, իսկ մյուսը՝ տեղակայված հողակապով, $\mu = 0,7$, երբ երկու ծայրերն անշարժ են՝ $\mu = 0,5$:

Պտուտակի կտրվածքի մակերեսի հներցիայի շառավիղը որոշվում է հետևյալ բանաձևով՝

$$i = \sqrt{\frac{4 \cdot I}{\pi \cdot d_1^2}} = d_1/4, \text{ մմ},$$

որտեղ պտուտակի լայնական կտրվածքի իներցիայի մոմենտը կազմում է

$$I = \frac{\pi \cdot d_l^4}{64} \cdot \left((0,4 + 0,6 \cdot \frac{d}{d_l}) \right), \text{մմ}^4:$$

Եթե պտուտակներն ունեն միջին ճկումություն, այսինքն՝ $60 < \lambda < \lambda_{սահ.} = 100$, կրիտիկական լարումը որոշվում է Տետմայեր-Յասինսկու բանաձևով՝

$$\sigma_u = a - b \cdot \lambda, \text{ Ն/մմ}^2,$$

որտեղ a -ն և b -ն էմպիրիկ գործակիցներ են, որոնք ընտրվում են աղյուսակ 4-ից:

Աղյուսակ 4

a և b էմպիրիկ գործակիցների արժեքները

Պտուտակի պողպատի մակարդակ	a	b
	Ն/մմ ²	
Ct. 4	328	1,1
Ct.5	350	1,15
45	450	1,67
50	473	1,87

Եթե պտուտակներն ունեն նվազ ճկումություն, այսինքն՝ $\lambda < 60$, չեն ստուգվում ըստ կայունության:

Գերբեռնավորված պտուտակներն անհրաժեշտ է ստուգել նաև ըստ համարժեք լարումների ամրության (էներգիայի վերափոխման օրենքի)

$$\sigma_h = \sqrt{\sigma_u^2 + 3 \cdot \tau_n^2} = \sqrt{\left(\frac{4 \cdot F_a}{\pi \cdot d_l^2}\right)^2 + 3 \cdot \left(\frac{16 \cdot T_n}{\pi \cdot d_l^3}\right)^2} \leq [\sigma]_u, \text{ Ն/մմ}^2,$$

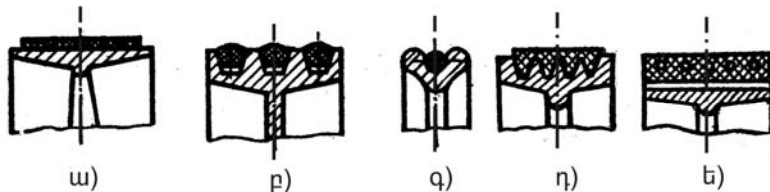
որտեղ $[\sigma]_u$ -ն թույլատրելի սեղմնան լարումն է ըստ պտուտակի նյութի հոսունության սահմանի, $[\sigma]_u = \sigma_h / 3$:

2.4. Փոկային փոխանցումներ

2.4.1. Հիմնական տեղեկություններ

Փոկային փոխանցումները մեխանիկական սարքավորումներ են, որոնք պտտական շարժումը որոշակի հեռավորության վրա հաղորդում են շփման սկզբունքով՝ օժանդակ ծկուն փոկերի միջոցով:

Ըստ կտրվածքի՝ փոկային փոխանցումների փոկերը լինում են հարթ, սեպածև, կլոր, բազմասեպածև, ատամնավոր (նկ. 34):



Նկ. 34. Փոկերի տեսակները.
ա) հարթ, բ) սեպածև, գ) կլոր, դ) բազմասեպածև, ե) ատամնավոր:

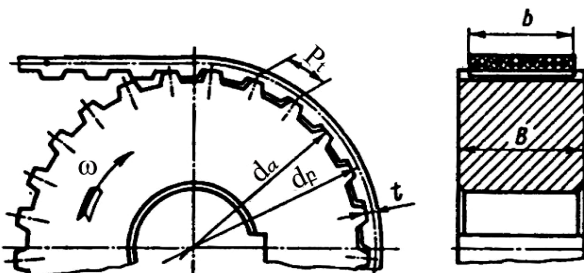
Հարթ փոկով փոկայիմ (ա) փոխանցումները մյուս փոկային փոխանցումներից տարբերվում են առավել սահուն ընթացքով, բարձր արագությամբ և ավելի մեծ հեռավորությունների վրա շարժում փոխանցելու հնարավորությամբ (մինչև 15 մ): Այդ փոխանցումներն օգտագործվում են ≤ 40 մ/վրկ արագության և $P \leq 50$ կՎտ հզորության դեպքում:

Մեկ աստիճանի դեպքում փոխանցման թիվը կազմում է $\epsilon \leq 5$, իսկ օ.գ.գ.-ն՝ $\eta = 0,85 \div 0,98$:

Հարթ փոկով փոկային փոխանցումների ծառայության ժամկետը կազմում է $L_h = 500 \div 5000$ ժամ:

Կլոր փոկով փոկայիմ (գ) փոխանցումները հիմնականում օգտագործվում են սարքերի մեխանիզմներում և կենցաղային մեքենաներում՝ $P \leq 1,0$ կՎտ, $\epsilon \leq 100$ մ/վրկ, $\epsilon \leq 3$, $\eta \approx 0,9 \div 0,95$ արժեքների դեպքում:

Սեպածև (բ), բազմասեպածև (դ) և ատամնավոր (ե) փոկերով փոկայիմ փոխանցումները, որոնք հիմնականում ուժային փոխանցումներ են, օգտագործվում են շահագործման հետևյալ արժեքների դեպքում՝ $P \leq 100$ կՎտ, $V \leq 50$ մ/վրկ, $\epsilon \leq 7$, $\eta = 0,9 \div 0,98$, (սեպածև և բազմասեպածև), $P \leq 500$ կՎտ, $V \leq 80$ մ/վրկ, $\epsilon \leq 30$, $\eta = 0,94 \div 0,98$ (ատամնավոր):



Նկ. 35. Ատամնավոր փոկով փոկային փոխանցման պինդա:

Ըստ փոկային փոխանցումների տեսակների կիրառման աստիճանի, կարևորության, կուրսային և դիպլոմային նախագծերում դրանց օգտագործման անհրաժեշտության՝ սույն աշխատանքում ներկայացվում են հարթ ու սեպաձև փոկերով փոկային փոխանցումների նախագծման հիմունքները:

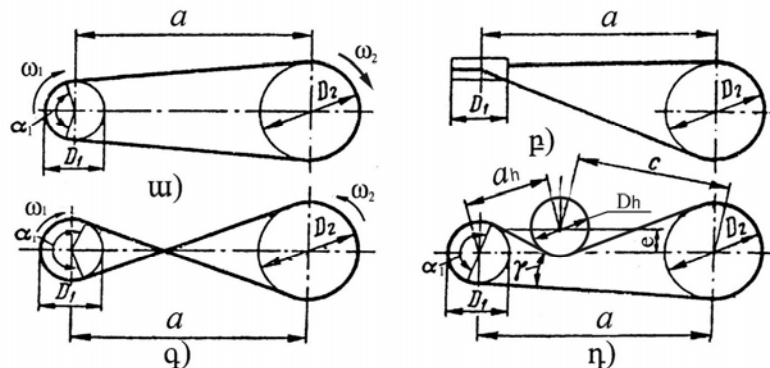
Փոկային փոխանցումներն ունեն հետևյալ առավելությունները՝ կառուցվածքի պարզություն, համեմատաբար ցածր ինքնարժեք, մեծ հեռավորությունների վրա փոքր և միջին բեռնվածքների հաղորդման հնարավորություն ($\alpha < 15^\circ$), սահուն ու անաղոնուկ աշխատանք, թրուակլանիչ հատկություն, ինչպես նաև հետևյալ թերությունները՝ արագընթաց փոխանցումներում փոկերի նվազ երկարակեցություն, մեծ գարարիտային չափեր, փոկի ծգվածքի պատճառով հենարաններում առաջացող մեծ բեռնվածքներ, ոչ հաստատուն փոխանցման թիվ, պարբերությունավտանգ միջավայրերում օգտագործման սահմանափակություն և այլն:

Փոկային փոխանցումները հիմնականում արագընթաց փոխանցումներ են, որոնք օգտագործվում են պտտական շարժումը էլեկտրաշարժիչից այլ սարքերին փոխանցելու համար: Փոխանցման թիվը սահմանվում է $\omega < 7$, շրջագծային արագությունը՝ $V < 50 \text{ м/վրկ}$, հզորությունը՝ $P < 50 \text{ կՎտ}$:

Փոխանցման թվի և հզորության սահմանափակումը պայմանավորվում է փոխանցման գարարիտների մեծացմանք, իսկ շրջագծային արագության սահմանափակումը՝ փոկի արագացված մաշունով:

2.4.2. Դարթ փոկով փոկային փոխանցումներ

Ըստ պտտական շարժման եղանակի՝ օգտագործվում են նկ. 36-ում ներկայացված հարթ փոկով փոկային թաց փոխանցումները:



Նկ. 36. Դարթ փոկով փոկային փոխանցումների տեսակները.

ա) գուգահեռ առանցքներով, բ) խաչվող առանցքներով, գ) գուգահեռ առանցքներով, խաչվող փոկով, դ) գուգահեռ առանցքներով, ձգող հոլովակով:

Ըստ ստանդարտի՝ արտադրվում են հետևյալ հարթ փոկերը՝

- **ռետինե փոկեր** (ԳՈՍ 23831-79)` պատրաստված ռետինա-պատված բամբակագործվածքներից՝

տեսակ A - - փոքր և միջին բեռնվածքների համար, $V < 30 \text{ m/վրկ}$,

տեսակ Á- - մեծ բեռնվածքների համար, $V < 20 \text{ m/վրկ}$,

տեսակ Â- - փոքր բեռնվածքների համար, $V < 15 \text{ m/վրկ}$,

- **թաղանթային սինթետիկ փոկեր**՝ $\delta = 0,4 \div 1,2$ մմ հաստությամբ. օգտագործվում են $P < 15$ կՎտ և $V < 100 \text{ m/վրկ}$ աշխատանքային պայմանների դեպքում,

- **բրոյա փոկեր** (ԳՈՍ 17-34-70)` պատրաստված հատուկ հեղուկներով ներծծված բրոյա գործվածքից. օգտագործվում են հատկանիշ հարվածային ռեժիմների դեպքում, $V < 30 \text{ m/վրկ}$,

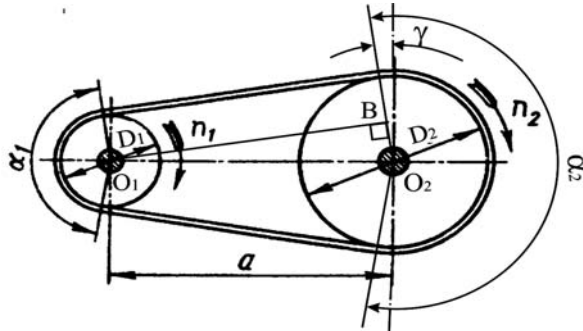
- **կաշվե փոկեր** (ԳՈՍ 18679-73)` պատրաստված խոշոր եղթերավոր անասունների կաշվից. դիմացկում են, օգտագործվում են ծանր շահագործման պայմաններում, $V < 45 \text{ m/վրկ}$:

Երկրաչափական պարամետրերը: Դարթ փոկով փոկային փոխանցումների (նկ. 37) երկրաչափական պարամետրերն են՝

- փոխանցման թիվը՝ $n = n_1/n_2 = \omega_1/\omega_2 = D_2/D_1$,
- միջառանցքային հեռավորությունը՝ $15 \text{ m} > a > 2 \cdot (D_1 + D_2)$,
- տանող փոկանիվի պահանջվող տրամագիծը, որը որոշվում է Սավերինի բանաձևով՝ $D_1 = 60 \cdot \sqrt[3]{T_{nl}}$, մմ,
- որտեղ T_{nl} -ը ոլորող մոմենտն է տանող փոկանիվի վրա, Ն · մ,
- փոկի հաշվարկային երկարությունը, եթե $n = 1$ ($D_1 = D_2$)՝
 $L = 2 \cdot O_1 O_2 + \pi \cdot (D_1 + D_2) / 2 = 2 \cdot a + \pi \cdot D_1$:

Ուժային փոխանցումների համար, եթե $n > 1$ ($D_1 < D_2$), փոկի հաշվարկային երկարությունը որոշվում է ըստ նկ. 37-ի՝

$$L = 2 \cdot O_1 B + (\pi - 2 \cdot \gamma) \cdot D_1/2 + (\pi + 2 \cdot \gamma) \cdot D_2/2:$$



Նկ. 37. Փոկային փոխանցման հաշվարկային սխեմա:

O_1BO_2 եռանկյունուց երևում է, որ $O_1B = a \cdot \cos \gamma$, իսկ փոքր անկյունների համար $\sin \gamma = (D_2 - D_1) / 2 \cdot a \approx \gamma$:

Վերջիններս տեղադրելու դեպքում ստացվում է

$$L = 2 \cdot a \cdot \cos \gamma + \pi \cdot D_1/2 - \gamma \cdot D_1 + \pi \cdot D_2/2 + \gamma \cdot D_2 = 2 \cdot a \cdot \cos \gamma + \pi \cdot (D_1 + D_2)/2 + \gamma \cdot (D_2 - D_1):$$

cos γ-ն շարքի վերածելով՝ $\cos \gamma = 1 - \gamma^2/2 - \dots$ և վերոհիշյալ արտահայտության մեջ տեղադրելով ստացվում է՝

$$\begin{aligned} L &= 2 \cdot a \cdot \left(1 - \frac{\gamma^2}{2}\right) + \pi \cdot (D_1 + D_2)/2 + (D_2 - D_1)^2 / 2 \cdot a = \\ &= 2 \cdot a - 2 \cdot a \cdot \frac{(D_2 - D_1)^2}{2 \cdot 4 \cdot a^2} + \frac{\pi}{2} \cdot (D_1 + D_2) + (D_2 - D_1)^2 / 2 \cdot a = \\ &= 2 \cdot a + \frac{\pi}{2} \cdot (D_1 + D_2) + \frac{(D_2 - D_1)^2}{2 \cdot a} \cdot \left(1 - \frac{1}{2}\right): \end{aligned}$$

Փոկի անհրաժեշտ երկարությունը կազմում է

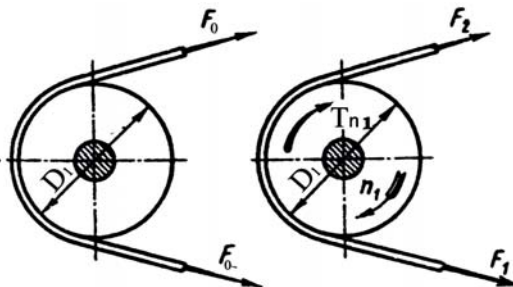
$$L = 2 \cdot \alpha + \pi \cdot (D_1 + D_2) / 2 + (D_2 - D_1)^2 / 4 \cdot \alpha, \text{ մ:}$$

Քանի որ փոկի ծայրերն ամրանում են միմյանց, ապա ստացված երկարությունն ավելացվում է 100...400 մմ-ով:

Տանող փոկանիվի փոկի ընդգրկման անկյունը կազմում է

$$\alpha = 180^\circ - 57^\circ \cdot (D_2 - D_1) / \alpha > [\alpha] = 150^\circ:$$

Ուժային կախումները: Պտտական շարժում հաղորդելու համար փոկը փոկանիվների վրա տեղադրվում է որոշակի նախնական ձգվածքով (F_0): Պարապընթաց վիճակում փոկի երկու ճյուղերը ձգվում են նույն ուժով (F_0): Պարապընթաց և աշխատանքային պայմաններում տանող փոկանիվի հանգույցը պատկերված է նկ. 38-ում:



Նկ. 38. Փոկային փոխանցման ճյուղերում առաջացած ուժերը:

Շարժում հաղորդելու ժամանակ արտաքին ուժերից առաջացած պտտող մոմենտների հավասարակշռության հավասարումն է

$$T_{n1} - F_1 \cdot D_1 / 2 + F_2 \cdot D_1 / 2 = 0:$$

$T_{n1} = F_{t1} \cdot D_1 / 2$ արտահայտությունը տեղադրելու և $D_1 / 2$ -ը կրճատելու դեպքում ստացվում է

$$F_{t1} = F_1 - F_2 : \quad (1)$$

Ակնհայտ է, որ ինչքան ձգվում է փոկի աշխատանքային ճյուղը, այնքան սեղմվում է պարապընթաց ճյուղը, այսինքն՝

$$F_1 = F_0 + \Delta F \quad \text{և} \quad F_2 = F_0 - \Delta F:$$

$\Delta F = F_0 - F_2$ հավասարումը որոշելու և փոկի աշխատանքային ճյուղի ճիգի արտահայտության մեջ տեղադրելու դեպքում

$$F_1 + F_2 = 2 \cdot F_0: \quad (2)$$

(1) և (2) հավասարումները համատեղ լուծելուց հետո ստացվում են

$$F_1 = F_0 + F_{t1} / 2 \quad \text{և} \quad F_2 = F_0 - F_{t1} / 2:$$

Փոկի ճյուղերի մեջ առաջանում է նաև կենտրոնախույս ճիգ՝

$$F_q = q \cdot V^2,$$

որտեղ q -ն փոկի գծամետրի կշիռն է, կգ/մ:

Չաշխատող փոկային փոխանցումների հենարաններում նախնական ճիգից առաջացող գումարային բեռնվածքը (նկ. 39 ա) կազմում է

$$F_h = 2 \cdot F_0 \cdot \sin(\alpha/2):$$

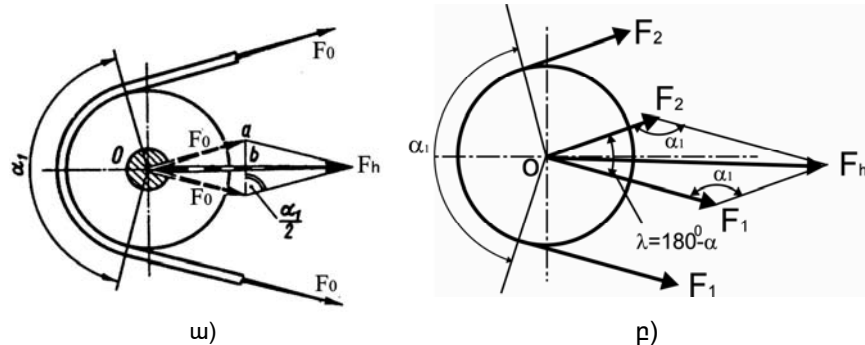
Աշխատող փոկային փոխանցումների դեպքում գումարային բեռնվածքը հենարաններում որոշվում է ըստ ուժային զուգահեռանիստի (նկ. 39 բ)՝ համաձայն կոսինուսների թերեմի՝

$$F_h = \sqrt{F_1^2 + F_2^2 + 2 \cdot F_1 \cdot F_2 \cdot \cos(180^\circ - \alpha_1)}:$$

Ենթերի մեջ առաջացած նախնական ճիգերը կարելի է որոշել հետևյալ բանաձևով՝ $F_0 = \sigma_0 \cdot S$:

Նախնական ճականագից առաջացած լարումն ընդունվում է

$$\sigma_0 = 1,6 \div 2,0, \text{ Ն/մ}^2:$$



Նկ. 39. Հենարաններում ազդող F_h ուժի որոշման հաշվարկային վիճակ:

Նշված ճիգերից առաջանում են համապատասխան լարումներ (նկ. 40):

$$\sigma_1 = F_1/S = \sigma_0 + \sigma_{F_1}/2, \quad \sigma_2 = F_2/S = \sigma_0 - \sigma_{F_1}/2, \quad \sigma_1 + \sigma_2 = 2 \cdot \sigma_0,$$

որտեղ՝ σ_1 -ն աշխատանքային ճյուղում առաջացած լարումն է, σ_2 -ը՝ պարապենթաց ճյուղում առաջացած լարումը:

Օգտակար լարումը կազմում է

$$\sigma_{F_1} = F_{t1}/S = \sigma_1 - \sigma_2,$$

կենտրոնախույս ուժերից առաջացած լարումը՝

$$\sigma_q = F_q/S,$$

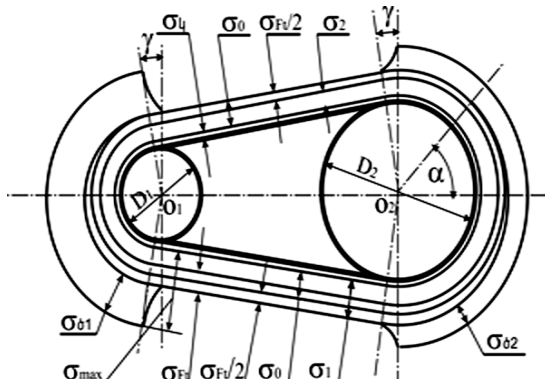
որտեղ S -ը փոկի հատույթի մակերեսն է:

Բացի նշված լարումներից, փոկի և փոկանիվների կցման

տեղամասերում առաջանում են նաև ծոնան լարումներ (Յուկի օրենք՝

$$\sigma_{\delta 1} = \lambda_1 \cdot E \quad \text{և} \quad \sigma_{\delta 2} = \lambda_2 \cdot E,$$

որտեղ՝ λ_1, λ_2 -ը փոկի արտաքին նակերնույթի թելիկների հարաբերական երկարացումներն են հաճապատասխանաբար տանող և տարվող փոկանիվների վրա, $\lambda_1 = \delta / D_1$, $\lambda_2 = \delta / D_2$, E -ն՝ փոկի առաձգականության մոդուլը:



Նկ. 40. Փոկային փոխանցման փոկի ճյուղերում առաջացած լարումները:

Փոկի լարումների դիագրամը կառուցելու միջոցով կարելի է որոշել գումարային և առավելագույն լարումները փոկի ցանկացած հատվածում:

2.4.3. Սեպածև փոկով փոկային փոխանցումներ

Սեպածև փոկով փոկային փոխանցումներն օգտագործվում են $P \leq 100$ կվտ հզորությամբ, $N \leq 50$ մ/վրկ շրջագծային արագությամբ աշխատանքային ռեժիմների համար:

Հարթ փոկով փոկային փոխանցումների համեմատությամբ սեպածև փոկով փոկային փոխանցումներն ունեն հետևյալ առավելությունները՝ փոկի սեպածևության պատճառով ավելի մեծ հզորությունների հաղորդում, ավելի փոքր ընդգրկման անկյուն (α_1), ինչպես նաև հետևյալ թերությունները՝ փոկերի առավել նվազ երկարակեցություն, փոկանիվների հարաբերական բարձր ինքնարժեք, ցածր օ.գ.գ., բազմապրոֆիլային փոկանիվների դեպքում փոկերի անհավասարաչափ աշխատանք, նաշում և այլն:

Սեպածև փոկով փոկային փոխանցումները նպատակահարմար է օգտագործել փոքր հեռավորությունների, փոխանցման մեծ թվերի և լիսեռների ուղղահայաց դասավորության դեպքում:

Սեպածն փոկով փոկային փոխանցումները լինում են՝

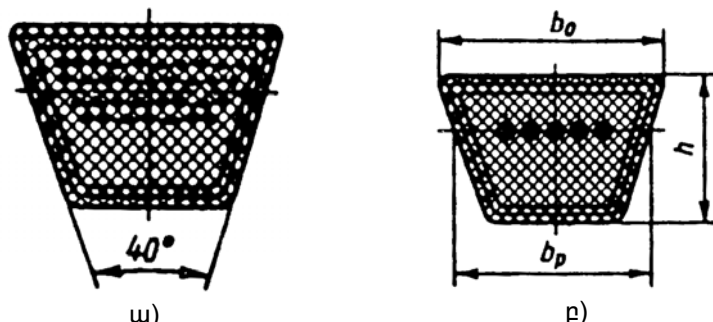
- **ընդհանուր նշանակության** (ԳՈՍ 1284-80), որոնք օգտագործվում են ընդհանուր նշանակության հաղորդակներում և ստանդարտով արտադրվում են յոթ կատարումներով (ըստ հատույթի մեջության)՝ ՝ ՝ ՝ ՝ ՝ ՝ ՝ :
- **օդափոխչային** (ԳՈՍ 5813-76), որոնք օգտագործվում են ավտոտրակտորային ու գյուղատնտեսական այլ մեքենաներում և ստանդարտով արտադրվում են հինգ կատարումներով (ըստ հատույթի մեջության)՝ 1, 2, 3, 4, 5:

Սեպածն փոկերն արտադրվում են տարբեր տրամագծեր ունեցող անվերջ օդակների տեսքով:

Ըստ փոկերի չեզոք գոտում գտնվող կրող շերտի կառուցվածքի՝ սեպածն փոկերը լինում են **կորդգուղային** և **կորդգործվածքային** (նկ. 41):

Կորդյա ամուր ոլորված թել է, որի վրա ձուլվում է ռետինագործվածքային շերտ:

Կորդգուղային փոկերն ավելի ճկուն են ու դիմացկուն և, որպես օդափոխչային փոկեր, կիրառվում են արագընթաց փոխանցումներում:



Նկ. 41. Սեպածն փոկերի կտրվածքի տեսակները.

ա) կորդգործվածքային, բ) կորդգուղային:

Կորդգործվածքային փոկերը կիրառվում են ընդհանուր նշանակության հաղորդակներում:

Սեպածն փոկերի բոլոր տեսակներն ունեն սեղանածն տեսք: Դրանց պրոֆիլի անկյունը կազմում է $\phi_0 = 40^\circ$:

Երկրաչափական պարամետրերը: Սեպածն փոկով փոկային փոխանցումների երկրաչափական պարամետրերն են՝

- փոխանցման թիվը՝

$$u = n_1/n_2 = \omega_1/\omega_2 = D_2/D_1,$$

- միջառանցքային հեռավորությունը՝

$$2 \cdot (D_1 + D_2) > \alpha > 0,55 \cdot (D_1 + D_2) + h,$$
- տանող փոկանիվի պահանջվող տրամագիծը (ըստ Սավերինի
բանաձևի)`

$$D_1 = 60 \cdot \sqrt[3]{T_{n1}}, \text{ մմ},$$
- փոկի հաշվարկային երկարությունը՝

$$L = 2 \cdot \alpha + \pi \cdot (D_1 + D_2) / 2 + (D_2 - D_1)^2 / 4 \cdot \alpha, \text{ մ},$$

որի հիման վրա փոկերի երկարությունների ստանդարտ շարքից նախ՝ ընտրվում է առավել մոտ և մեծ արժեքը, ապա՝ ճշշտվում միջառանցքային հեռավորությունը՝

$$\alpha = \frac{\lambda + \sqrt{\lambda^2 - 8 \cdot \Delta^2}}{8},$$

$$\text{որտեղ՝ } \lambda = 2 \cdot L - \pi \cdot (D_1 + D_2), \quad \Delta = (D_2 - D_1),$$

- տանող փոկանիվի փոկի ընդգրկման անկյունը՝

$$\alpha = 180^\circ - 57^\circ \cdot (D_2 - D_1) / \alpha > [\alpha] = 120^\circ:$$

Սեպածն փոկով փոկային փոխանցման ճյուղերում առաջանում են ճիգեր և լարումներ, որոնք որոշվում են վերոհիշյալ արտահայտություններով։ Նույն սկզբունքով որոշվում են նաև լարումների արժեքները և համապատասխանաբար կառուցվում են դրանց դիագրամները։

Փոկի նախագծման ժամանակ որոշվում է իրական օգտակար, թույլատրելի լարումը՝

$$[\sigma]_{Ft} = [\sigma]_{Ft \cdot 0} \cdot C_\alpha \cdot C_v \cdot C_n \cdot C_\theta, \quad \text{Ն/մ}^2,$$

որտեղ՝ $[\sigma]_{Ft \cdot 0}$ -ն օգտակար թույլատրելի լարման աղյուսակային արժեքըն է, որն ընտրվում է ստանդարտով նախատեսված աղյուսակներից՝ համաձայն շահագործման հետևյալ պայմանների՝ $\sigma_0 = 1,8 \text{ Ն/մ}^2$, $V = 10 \text{ մ/վրկ}$, $\alpha = 180^\circ$, $\theta = 0^\circ$, C_α -ն՝ ընդգրկման անկյան գործակիցը, $C_\alpha = 1 - 0,003 \cdot (180^\circ - \alpha_1)$, C_v -ն՝ արագության գործակիցը. հարթ փոկերի համար $C_v = 1,03 - 0,003 \cdot V^2$, սեպածն փոկերի համար $C_v = 1,04 - 0,004 \cdot V^2$, C_n -ն՝ աշխատանքային ռեժիմի գործակիցը, C_θ -ն՝ փոխանցման թեքության և փոկի ձգվածության կարգավորման սկզբունքի գործակիցը (C_n և C_θ գործակիցներն ընտրվում են ստանդարտով նախատեսված

$$Z = \frac{F_t}{[\sigma]_{Ft} \cdot S} \leq [Z] = 8 ,$$

որտեղ S -ը մեկ փոկի հատույթի մակերեսն է:

2.4.4. Փոկերի հաշվարկն ըստ քարշային ունակության և երկարակեցության

Փոկերի աշխատունակության հիմնական չափանիշը քարշային ունակությունն է, որը բնորոշում է փոկի և փոկանիվի կցման աստիճանը:

Քարշային ունակությունը որոշելու համար կառուցվում են սահքի և օ.գ.գ.-ի կորերը:

Փորձնական եղանակով $F_0 = \text{const}$ նախնական ձգվածությունը հաստատում թողնելու դեպքում որոշվում են՝

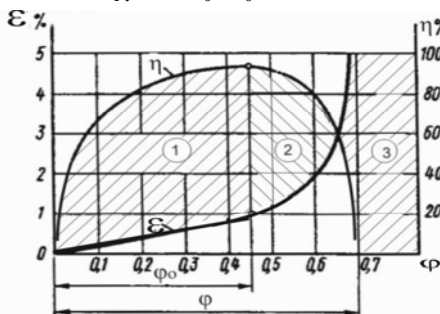
- ըստ փոկանիվների V_1 և V_2 շրջագծային արագությունների՝ ենթասահքի գործակիցը՝

$$\varepsilon = (V_1 - V_2) / V_1 ,$$

- ըստ տանող և տարվող փոկանիվների P_1 և P_2 հզորությունների՝ փոխանցման օ.գ.գ.-ն՝ $\eta = P_2 / P_1$,
- ըստ օգտակար շրջագծային F_{t1} ուժի աստիճանաբար փոփոխման՝ քարշային գործակի արժեքները՝

$$\varphi_0 = \frac{F_{t1}}{F_1 + F_2} = \frac{F_{t1}}{2 \cdot F_0} = \frac{\sigma_{Ft}}{2 \cdot \sigma_0} :$$

Վերջինիս համաձայն՝ որոշվում է օգտակար լարման առավելագույն օպտիմալ արժեքը՝ $\sigma_{Ft} = 2 \cdot \sigma_0 \cdot \varphi_0$:



Նկ. 42. Սահքի դիագրամը:

Ըստ սահիբի դիագրամի (նկ. 42)՝ նշվում են հետևյալ աշխատանքային գոտիները՝

1. **ճկում սահիբի գոտի,** որտեղ ենթասահքը բավականին փոքր է ($\varepsilon < 0,8\%$), օ.գ.գ.-ն, ինչպես նաև փոկի երկարակեցությունը ծրատում են առավելագույն արժեքի, քարշային գործակցի արժեքը կազմում է $\varphi_0 < 0,45$:
2. **Սասանակի սահիբի գոտի,** որտեղ ենթասահքը սկսում է կտրուկ աճել ($0,8 < \varepsilon < 3\%$), օ.գ.գ.-ն և փոկի երկարակեցությունը կտրուկ նվազում են, քարշային գործակցի արժեքը կազմում է $0,45 < \varphi < 0,65$, նկատվում են տեղապտտման երևույթներ:
3. **Լրիկ տեղապտտման գոտի,** որտեղ ենթասահքը ձգտում է անսահմանության, օ.գ.գ.-ն կտրուկ ձգտում է $0\text{-}1$, փոկն ունի նվազագույն երկարակեցություն, քարշային գործակցի արժեքը կազմում է $0,65 < \varphi < 0,7$, տարվող փոկանիվը կանգ է առնում:
Գրաֆիկից երևում է, որ շահագործման օպտիմալ պայմաններ են առաջանում, երբ

$$\varphi_0 = \frac{F_{t1}}{2 \cdot F_0} = 0,45:$$

Վերջինիս համաձայն՝ ստացվում է օգտակար շրջագծային ուժի պահանջվող արժեքը՝

$$F_{t1} = 2 \cdot F_0 \cdot \varphi_0,$$

որի դեպքում ապահովվում է փոխանցման օ.գ.գ.-ի առավելագույն արժեքը:

Քարշային գործակցի օպտիմալ արժեքը (φ_0) փոկի յուրաքանչյուր տեսակի համար որոշվում է փորձնական եղանակով:

Եթե $\varphi > \varphi_0$, շահագործումը թույլատրվում է միայն փոխանցման գործարկման ժամանակ:

Փոկի երկարակեցությունը բնորոշվում է փոկի վագքի հաճախությամբ՝

$$U = V / L < [U],$$

որտեղ $[U]$ -ն փոկի վագքի թույլատրելի հաճախությունն է:

Միջին երկարակեցություն ($2000 \div 3000$ ժամ) ապահովելու համար ընդունված է հարթ փոկերի համար վերցնել $[U] < 10$ վրկ⁻¹, սեպածն փոկերի համար՝ $[U] < 20$ վրկ⁻¹, բազմասեպածն փոկերի համար՝ $[U] < 30$ վրկ⁻¹:

2.5. Շղբայավոր փոխանցումներ

2.5.1. Հիմնական տեղեկություններ

Շղբայավոր փոխանցումները պատկանում են ճկուն տարրերով կառչման փոխանցումների թվին, դրոնք կազմված են տաճող, տարվող (անհրաժեշտության դեպքում նաև ծգիչ ու պարուրիչ) աստղանիվներից և ճկուն շղբայից:

Շղբայավոր փոխանցումներն ունեն հետևյալ առավելություններ՝ տարբեր մեջության բեռնվածքների ($P < 300$ կՎտ) փոխանցում համեմատաբար մեծ հեռավորությունների վրա ($\alpha < 5$ մ), փոխանցման թվի հաստատունություն, ինչպես նաև հետևյալ թերությունները՝ շղբայի օդակների ու աստղանիվի ատամների փոխադարձ հարվածի հետևանքով զգալի աղմուկի առաջացում և, դրա հետ կապված, արագության սահմանափակում, շղբայի համեմատաբար արագ մաշում, շղբայի ճյուղերի պարբերական ծգման անհրաժեշտություն, բարձր իքնարժեք և այլն:

Շղբայավոր փոխանցումները կիրառվում են տարբեր հեռավորությունների վրա համապատասխան հզրություններ հաղորդելու համար:

Շղբայավոր փոխանցումները լինում են՝

- ըստ կատարման՝ բաց և փակ,
- ըստ շարժման հաղորդման սկզբունքի՝ պտտման հաճախությունը նվազեցնող և բարձրացնող:

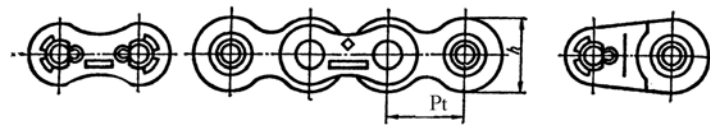
Ըստ շահագործման նշանակության՝ շղբաները դասակարգվում են շարժաբերային, բեռնավոր և քարշային շղբաների:

Շարժաբերային շղբաները (նկ. 43) օգտագործվում են տարբեր նշանակության մեքենաների հաղորդակներում, շահագործվում են տարբեր արագությունների դեպքում, ունեն փոքր կառչման քայլեր և առավել մաշակայում են:

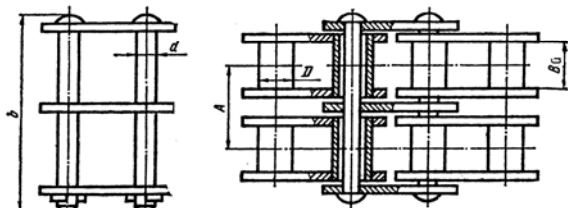
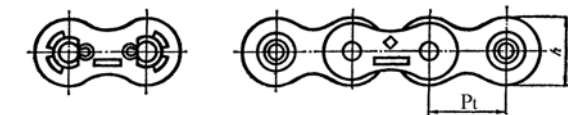
Բեռնավոր շղբաներն օգտագործվում են բեռներ տեղափոխելու համար, շահագործվում են փոքր արագությունների ($V < 0,25$ մ/վրկ) և մեծ բեռնվածքների դեպքում, լինում են օդակային ու թիթեղնավոր:

Քարշային շղբաներն օգտագործվում են փոխադրիչ մեքենաներում բեռներ տեղափոխելու համար, շահագործվում են ոչ մեծ արագությունների դեպքում ($V = 2,0 \div 4,0$ մ/վրկ), ունեն մեծ քայլ:

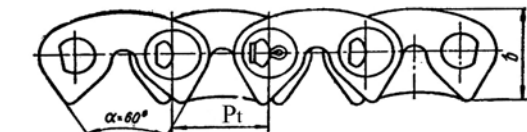
Սույն աշխատանքում ուսումնասիրվում են միայն շարժաբերային շղբաներով շղբայավոր փոխանցումները:



ա)



բ)



շ)

Նկ. 43. Ծարժաքերային շղթաների տեսակները.

ա) հոլովակավոր միաշարք, բ) վռանավոր երկշարք, շ) ատամնավոր:

Շարժաբերային շղթաները հիմնականում օգտագործվում են նվազեցնող, ուժային փոխանցումներում և, ըստ ստանդարտի, լինում են՝

- Հոլովակավոր (ԳՈՍ 13568-75, ճկ. 43 ա)` կազմված երկարք արտաքին և ներքին թիթեղներից, որոնք մամլված են հոլովակներ կրող սանիներին և վրաններին, օգտագործվում են $V < 15,0$ մ/վրկ արագությունների դեպքում:
- Վռանավոր (ԳՈՍ 13568-75, ճկ. 43 բ), որոնք նույն հոլովակավոր շղթաներն են, սակայն առանց հոլովակների, օգտագործվում են $V < 1,0$ մ/վրկ արագությունների դեպքում:
- Ատամնավոր (ԳՈՍ 13552-81, ճկ. 43 գ)` կազմված ատամնաձև պրոֆիլով թիթեղների կապոցների հողակապային միացումներից, օգտագործվում են $V < 25$ մ/վրկ արագությունների դեպքում:

Նշանակումների օրինակներ՝

1.2 Ե 25,4-115300 ԳՈՍ 13568-75-երկարք շարժաբերային հոլովակավոր շղթա. կառչման քայլը՝ $\bar{D}_t=25,4$ մմ, քայքայիչ ճիգը՝ $Q=115300$ Ն:

2.Ե ԹՕ-միաշարք շարժաբերային հոլովակավոր շղթա՝ ուժեղացված թիթեղներով:

3.Ե ԹՕ-միաշարք շարժաբերային հոլովակավոր շղթա՝ ծանր կատարմամբ:

4.Ե ԹԷ-միաշարք շարժաբերային հոլովակավոր շղթա՝ ծոված թիթեղներով:

5.3Ե Ա-եռաշարք շարժաբերային վրանավոր շղթա:

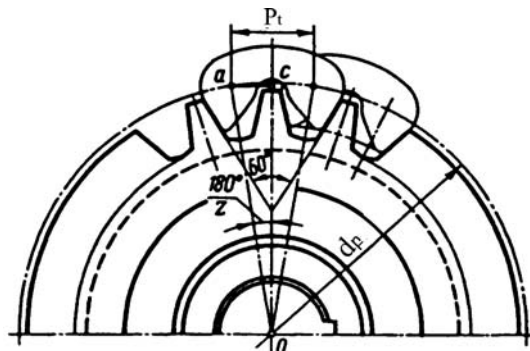
Ծղթաների օղակները և թիթեղները պատրաստվում են 40, 45, 50, 30Օ՛ 3Ա մակարդակների պողպատից (ջերմամշակումը՝ միտում ($\bar{I} RC 32 \div 44$)), սոնիները, հոլովակները և վրանները՝ 10, 15, 20, 12Օ՛ 3Ա մակարդակների պողպատից (ջերմամշակումը՝ ցեմենտացում ($\bar{I} RC 40 \div 65$)):

Միջին և արագներաց փոխանցումների աստղամիվները պատրաստվում են 40, 45, 40Օ՛, 50Ա՛, 35Օ՛Ա՛, 40Օ՛ մակարդակների պողպատից (ջերմամշակումը՝ միտում ($\bar{I} RC 40 \div 50$)):

Դանդաղներաց փոխանցումների ($V < 3$ մ/վրկ) աստղամիվները նը-պատակահարմար է պատրաստել $\tilde{N} \times 15$, $\tilde{N} \times 18$, $\tilde{N} \times 20$, $\tilde{N} \times 30$ մակարդակների գորշ թուղից (մակերևությային կարծրությունը՝ $\tilde{I} \tilde{A} 260 \div 300$):

Երկրաչափական պարամետրերը: Յոլովակավոր և վրանավոր շղթաների տանող աստղանիվի բաժանարար շրջանագծի տրամագիծը ստացվում է ըստ նկ. 44-ում պատկերված սխեմայի՝

$$d_{P1} = \frac{P_t}{\sin \frac{180}{Z_1}}, \quad d_{P2} = \frac{P_t}{\sin \frac{180}{Z_2}};$$



Նկ. 44. Շարժաբերային շղթայի քայլի որոշման սխեմա:

Յոլովակավոր և վրանավոր շղթաների աստղանիվի արտաքին շըրջանագծի տրամագիծը կազմում է

$$d_{a1} = P_t \cdot \left(0,5 + \operatorname{ctg} \frac{180}{Z_1} \right), \quad d_{a2} = P_t \cdot \left(0,5 + \operatorname{ctg} \frac{180}{Z_2} \right),$$

ատամնավոր շղթաների աստղանիվի արտաքին շրջանագծի տրամագիծը՝

$$d_{a1} = P_t \cdot \operatorname{ctg} \left(\frac{180}{Z_1} \right), \quad d_{a2} = P_t \cdot \operatorname{ctg} \left(\frac{180}{Z_2} \right);$$

Տանող (փոքր) աստղանիվի ատամների թիվը հոլովակավոր և վրանավոր շղթաների համար կազմում է $Z_1 = 29 - 2 \cdot u$, իսկ ատամնավոր շղթաների համար՝ $Z_1 = 35 - 2 \cdot u$:

Շղթայավոր փոխանցման (նկ. 45) երկրաչափական պարամետրերն են՝

- փոխանցման թիվը՝

$$u = \frac{n_1}{n_2} = \frac{\omega_1}{\omega_2} = \frac{d_2}{d_1} = \frac{Z_2}{Z_1},$$

ընդունվում է $\alpha < 7$,

- շղթայի գծային կամ աստղանիվի շրջագծային արագությունը՝

$$V_1 = \omega_1 \cdot \frac{d_{p1}}{2}, \text{ մ/վրկ,}$$

- բաժանարար շրջանագծի երկարությունն ըստ $\pi \cdot d_{p1} = Z_1 \cdot P_t$ կախվածության՝

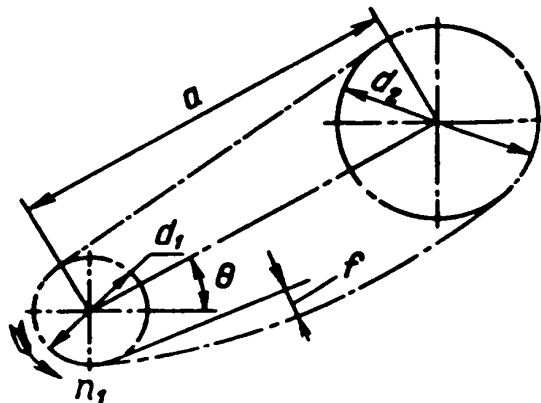
$$d_{p1} = Z_1 \cdot P_t / \pi, \text{ մմ,}$$

$$\text{անկյունային արագությունը կազմում է } \omega_1 = \frac{\pi \cdot n_1}{30},$$

$$\text{արդյունքում } V_1 = \frac{Z \cdot P_t \cdot n_1}{60 \cdot 1000}, \text{ մ/վրկ,}$$

- միջառանցքային հեռավորությունը (շարժաբերային շղթայավոր փոխանցումների համար)՝

$$\alpha = (30 \div 50) \cdot P_t;$$



Նկ. 45. Շղթայավոր փոխանցման հաշվարկային սխեմա:

Միջակայքի փոքր արժեքները երաշխավորվում են փոխանցման փոքր թվերի դեպքում, իսկ մեծ արժեքները՝ փոխանցման մեծ թվերի դեպքում:

Շղթայի երկարությունը, արտահայտված քայլերով, որոշվում է փոկային փոխանցումների նման՝

$$L_{P_t} = \frac{2 \cdot \alpha}{P_t} + \frac{Z_1 + Z_2}{2} + \left(\frac{Z_2 - Z_1}{2 \cdot \pi} \right)^2 \cdot \frac{P_t}{\alpha}.$$

Ընդ որում՝ ստացված արժեքը կլորացվում է մինչև զույգ թիվ ստանալը, որից հետո ճշտվում է միջառանցքային հեռավորությունը՝

$$\alpha = \frac{P_t}{4} \cdot \left[L_{Pt} - \frac{Z_1 + Z_2}{2} + \sqrt{\left(L_{Pt} - \frac{Z_1 + Z_2}{2} \right)^2 - 8 \cdot \left(\frac{Z - Z}{2 \cdot \pi} \right)^2} \right], \text{ մմ:}$$

Փոխանցման նորմալ շահագործում ապահովելու համար ստացված միջառանցքային հեռավորությունը փորբացվում է $0,2 \div 0,4\%$ -ով:

Որժային կախումները: Աշխատանքային ճյուղի մեջ առաջանում է օգտակար շրջանային ուժ՝

$$F_{tl} = \frac{2 \cdot T_{nl}}{d_{p1}}, \text{ Ն:}$$

Շղթայի տարվող ճյուղի կախվածքից առաջացած նախնական ձգվածությունը կազմում է

$$F_f = K_f \cdot q \cdot \alpha \cdot g, \text{ Ն,}$$

որտեղ՝ K_f -ը շղթայի կախվածքի գործակիցն է, $K_f = 6 \div 1$, (առավել մեծ արժեքը ընդունվում է փոխանցման հորիզոնական դասավորության ժամանակ), q -ն՝ շղթայի գծամետրի կշիռը, կգ/մ, α -ն՝ շղթայավոր փոխանցման միջառանցքային հեռավորությունը, մ, g -ն՝ ազատ անկման արագացունը, $g = 9,81$, մ/վրկ²:

Արագընթաց շղթայավոր փոխանցումների ($V > 3$ մ/վրկ) ճյուղերում կենտրոնախույս ուժերից առաջացած ճիգը կազմում է

$$F_v = q \cdot V^2, \text{ Ն:}$$

Աշխատանքային ճյուղի մեջ առաջանում է հետևյալ գումարային ճիգը՝

$$F_l = F_{tl} + F_f + F_v:$$

Շղթան աստղանիվների լիսեռների վրա առաջացնում է հետևյալ գումարային ճիգը՝

$$F_q = F_{tl} + 2 \cdot F_f + 2 \cdot F_v:$$

2.5.2. Շղթայի հաշվարկման ըստ մաշակայումությամբ

Ըստ աստղանիվի վրա շղթայի աշխատանքի ուսումնասիրման՝ շղթայի մեքենանասերը՝ թիթեղները, սոնիները, վրանները և հոլովակները, ենթարկվում են ձգման, տրորման, ծռման դեֆորմացիաների, ինչպես նաև մաշման: Առավել վտանգավոր է մաշունը (անկախ յուղման պայմաններից):

Շղթայի հոդակապերի մաշակայունության պայմանը (բնութագրվում է ճնշումով) կազմում է

$$p = \frac{K_2 \cdot F_t}{S} \leq [p],$$

որտեղ K_2 -ն շղթայի շահագործման գործակիցն է՝

$$K_2 = K_\eta \cdot K_\alpha \cdot K_0 \cdot K_k \cdot K_j \cdot K_n,$$

որտեղ՝ K_η -ն բեռնվածքի դինամիկական գործակիցն է. հանգիստ բեռնվածքների դեպքում $K_\eta = 1$, փոփոխական կամ հրումներով բեռնվածքների դեպքում $K_\eta = 1,25 \div 1,5$, ուժեղ հարվածների դեպքում $K_\eta = 1,8$, K_α -ն՝ միջառանցքային հեռավորության գործակիցը. եթե $\alpha \leq 25 P_t$, $K_\alpha = 1,25$, եթե $\alpha = (30 \div 50) \cdot P_t$, $K_\alpha = 1$, եթե $\alpha \geq 60 \cdot P_t$, $K_\alpha = 0,8$, K_0 -ն՝ փոխանցման թեքության անկյան գործակիցը. եթե $\theta \leq 60^\circ$, $K_0 = 1$, եթե $\theta > 60^\circ$, $K_0 = 1,25$, K_k -ն՝ շղթայի ձգվածության կարգավորման գործակիցը. ձգվածության կարգավորման դեպքում $K_k = 1$, հակառակ դեպքում $K_k = 1,25$, K_j -ն՝ յուղման սկզբունքի գործակիցը. տաշտակի մեջ թարախման դեպքում $K_j = 0,8$, կարիլային յուղման դեպքում $K_j = 1$, պարբերաբար յուղման դեպքում $K_j = 1,5$, K_n -ն՝ աշխատանքի շահագործման ռեժիմի գործակիցը. մեկ հերթափոխ աշխատանքի դեպքում $K_n = 1$, երկու հերթափոխ աշխատանքի դեպքում $K_n = 1,25$, երեք հերթափոխ աշխատանքի դեպքում $K_n = 1,5$, S -ը՝ շղթայի հոդի պրոյեկցիայի մակերեսը, որը հոլովակավոր և վռանավոր շղթաների համար կազմում է

$$S = d_o \cdot B \approx (0,25 \div 0,3) \cdot P_t^2 \cdot v,$$

որտեղ՝ d_o -ն սրնու տրամագիծն է, B -ն՝ վռանի երկարությունը, իսկ v -ն՝ շղթայի շարքերի թիվը:

Ատամնավոր շղթաների դեպքում $S \approx 0,76 \cdot d_o \cdot B$:

Աստղամիկների շրջագծային ուժը կազմում է

$$F_{t1} = \frac{2 \cdot T_{n1}}{d_{p1}} = \frac{2 \cdot T_{n1}}{Z_1 \cdot P_t / \pi} :$$

Նշված պարամետրերը մաշադիմացկունության պայմանի մեջ տեղադրելուց հետո ստացվում է

$$p = \frac{2 \cdot \pi \cdot T_{n1} \cdot K_2}{Z_1 \cdot P_t \cdot 0,3 \cdot P_t^2 \cdot v} \leq [p], \text{Ն/մմ}^2:$$

Վերջինիս համաձայն՝ անհրաժեշտ քայլը հոլովակավոր և վռանավոր շղթաների համար կազմում է

$$P_t \geq 2,8 \cdot \sqrt[3]{\frac{K_2 \cdot T_{n1}}{Z_1 \cdot [p] \cdot v}}, \text{ մմ,}$$

իսկ ատամնավոր շղթաների համար՝

$$P_t \geq 3,3 \cdot \sqrt[3]{\frac{K_2 \cdot T_{n1}}{Z_1 \cdot [p] \cdot \varphi_t}}, \text{ մմ,}$$

որտեղ շղթայի լայնության գործակիցը, ըստ քայլի, ստանդարտով նախատեսված է

$$\varphi_t = \frac{B}{P_t} = 2 \div 8 :$$

Ըստ ստանդարտով նախատեսված աղյուսակների՝ ընտրվում է շղթայի քայլի ստանդարտ արժեքը:

Ընտրված շղթան ստուգվում է ըստ ամրության պաշարի գործակցի՝

$$n = \frac{Q}{K_n \cdot F_t + F_f + F_v} \geq [n]:$$

Թույլատրելի ամրության պաշարի գործակիցը հոլովակավոր և վռանավոր շղթաների համար կազմում է $[n]=7 \div 15$, իսկ ատամնավոր շղթաների համար՝ $[n]=20 \div 40$:

Շղթան անհրաժեշտ է ստուգել նաև ըստ երկարակեցության՝

$$u = \frac{4 \cdot V_1}{L} \leq [u]:$$

$$V_1 = \frac{Z \cdot P_t \cdot n_1}{60 \cdot 1000} \quad \text{և} \quad L = L_{pt} \cdot P_t \quad \text{արտահայտությունները տեղադրելու դեպքում} \quad u = \frac{4 \cdot Z_1 \cdot P_t \cdot n_1}{60 \cdot L_{pt} \cdot P_t} = \frac{Z_1 \cdot n_1}{15 \cdot L_{pt}} \leq [u]:$$

քում շղթայի երկարակեցության պայմանը, արտահայտված վազքի թվով ($1/\psi_1$), կազմում է

$$u = \frac{4 \cdot Z_1 \cdot P_t \cdot n_1}{60 \cdot L_{pt} \cdot P_t} = \frac{Z_1 \cdot n_1}{15 \cdot L_{pt}} \leq [u]:$$

Հոլովակավոր և վռանավոր շղթաների համար $[u] = 15 \div 60 \psi^{-1}$, իսկ ատամնավոր շղթաների համար $[u] = 25 \div 80 \psi^{-1}$:

ԳԼՈՒԽ 3. ՊՏՏԱԿԱՆ ՇԱՐԺՈՒՄ ԱՊԱՐՈՎՈՂ ՄԵՔԵՆԱՍԱՍԵՐ

3.1. Սոնիներ և լիսեռներ

3.1.1. Դիմական տեղեկություններ

Սոնիները նախատեսված են պտտվող կամ անշարժ մեքենամասերը տարածության մեջ պահելու համար: Դրանք ենթարկվում են ծրուման, ձգման կամ սեղմման դեֆորմացիաների (առանձին կամ համատեղ) և ոլորող նոմենտ չեն հաղորդում, ինչի հետևանքով չեն ենթարկվում ոլորման դեֆորմացիայի:

Լիսեռները նախատեսված են պտտվող մեքենամասերը տարածության մեջ պահելու և ոլորող նոմենտ հաղորդելու համար: Դրանք ենթարկվում են մշտական ոլորման, ինչպես նաև ծրուման, ձգման կամ սեղմման դեֆորմացիաների (առանձին կամ համատեղ):

Սոնիներն աշխատանքի ժամանակ լինում են, ինչպես պտտվող, այնպես էլ անշարժ, իսկ լիսեռները՝ միայն պտտվող:

- Սոնիները և լիսեռները դասակարգվում են հետևյալ կերպ՝
- ըստ երկրաչափական առանցքի ձևի՝ ուղիղ և ոչ ուղիղ (ոչ ուղիղ լիսեռներին են պատկանում ծնկածն և արտակենտրոն լիսեռները),
 - ըստ երկրաչափական առանցքի հատկությունների՝ ճկուն և կոշտ,
 - ըստ մակերևույթի ձևի՝ հարթ և աստիճանավոր:

Լիսեռները, ըստ նշանակման, լինում են շարժաբերային, արագընթաց, միջանկյալ, դանդաղընթաց, փոխհաղորդիչ (տրանսմիսսիոն-հելի) և այլն, իսկ ըստ կառուցվածքային հատկանիշների՝ բազմաերթային, որդնակային ատամնանվակային և այլն:

Ընդհանուր և գյուղատնտեսական մեքենաշինության մեջ օգտագործվող սոնիներն ու լիսեռները, ըստ շահագործման պայմանների, հիմնականում պատրաստվում են ցածր ածխածնային (Ծ.3, Ծ.4, Ծ.5), միջին ածխածնային (30, 40, 45) և լեզիրված (40Х, 40ХН, 30ХН3А, 30ХГТ) պողպատից: Ավելի քիչ օգտագործվում են ձուլված պողպատը (35Л, 40Л, 45Л), գորշ թուզը և պլաստմասսան:

Առանցքակալների մեջ տեղադրված սոնիների և լիսեռների մակերևույթները կոչվում են՝

- **դարձյակներ.** սոնիների և լիսեռների ընդհանուր նշանակութ-

- **բութակներ.** սռնիների և լիսեռների ծայրերում տեղադրված դարձյակները, որոնք հիմնականում բեռնվածքներ են ընդունում շառավիղային ուղղությամբ,
- **վզիկներ.** սռնիների և լիսեռների միջին մասերում տեղադրված դարձյակները:
- **կրունկներ.** սռնիների և լիսեռների առանցքային բեռնվածքի տակ գտնվող դարձյակները:

Մեքենանասերն ու սարքավորումները, որոնց վրա հենվում են դարձյակները, կոչվում են առանցքակալներ:

3.1.2. Սռնիների հաշվարկման ըստ ծռման (ստատիկ) ամրության

Որպես օրինակ՝ ուսումնասիրվում է կեռի կախոցի սռնին: Նախ՝ կազմվում է սռնու հաշվարկային սխեման (նկ. 46), որի վրա նշվում են բոլոր ազդող և հակազդող ուժերը, ինչպես նաև դրանց միջև եղած հեռավորությունները, ապա՝ որոշվում է սռնու առավել վտանգավոր հատույթը, որի համար էլ կազմվում է ծռման ամրության պայմանը, քանի որ սռնին ենթարկվում է ծռման դեֆորմացիայի՝

$$\sigma_{\delta} = \frac{M_{\delta}}{W_{\delta}} \leq [\sigma]_{\delta},$$

որտեղ M_{δ} -ն առավելագույն ծռող մոմենտն է, $M_{\delta} = R_{Z1} \cdot \alpha$:

Վտանգավոր հատույթում (գլանաձև պրոֆիլ) ծռման դիմադրության մոմենտը որոշվում է հետևյալ բանաձևով՝

$$W_{\delta} = \frac{\pi \cdot d_u^3}{32} \approx 0,1 \cdot d_u^3 :$$

Վերջինս ծռման ամրության պայմանի մեջ տեղադրելու դեպքում ստացվում է ստուգիչ բանաձև՝

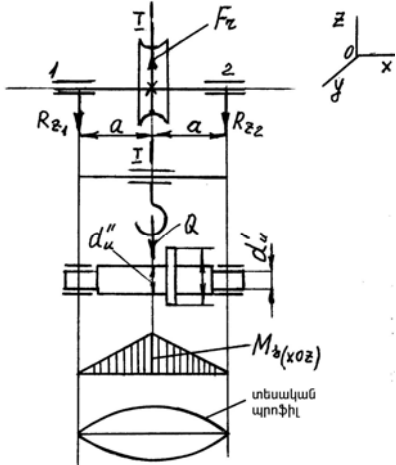
$$\sigma_{\delta} = \frac{M_{\delta}}{0,1 \cdot d_u^3} \leq [\sigma]_{\delta}, \text{ Ն/մ}^2,$$

որտեղից դուրս է բերվում է նախագծման բանաձևը (սռնու անհրաժեշտ տրամագիծը վտանգավոր հատույթում՝)

$$d_u = \sqrt[3]{\frac{M_{\delta}}{0,1[\sigma]_{\delta}}}, \text{ մմ:}$$

Միջին ածխածնային պողպատից պատրաստված պտտվող (շարժական) սռնիների դեպքում $[\sigma]_{\delta}=60 \div 90 \text{ Ն/մ}^2$, իսկ անշարժ սռնի-

Աերի դեպքում $[\sigma]_o$ -ի արժեքները բարձրացվում են 75 %-ով:



Նկ. 46. Սրնու հաշվարկային սխեման ըստ ծռման ամրության:

Ծռման էպյուր պատկերելու համար որոշվում է առավելագույն ծռող մոմենտը վտանգավոր կտրվածքում, որն առաջանում է խօս հարթությունում՝

$$M_{\delta(xoz)} = R_{z1} \cdot \alpha:$$

Սրնու տեսական պրոֆիլը հիշեցնում է ձգված էլիպս (խորանարդային պտտման պարաբոլիդ), այդ պատճառով էլ սրնիները և լիսեռները պատրաստվում են աստիճանանման:

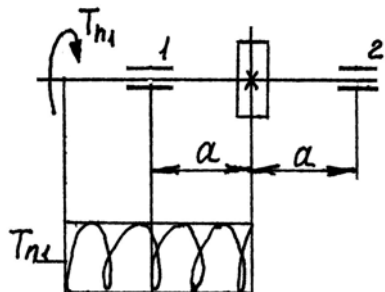
3.1.3. Լիսեռների հաշվարկն ըստ ոլորման ամրության

Նման հաշվարկ (նկ. 47) կատարվում է մոլտքային և ելքային լիսեռների ծայրերի համար, որոնցում լիսեռները ենթարկվում են միայն ոլորման դեֆորմացիայի: Լիսեռների ծայրերը ոլորող մոմենտ են ստանում կցորդիչի միջոցով:

Ոլորման ամրության պայմանը վտանգավոր կտրվածքի համար կազմում է

$$\tau_n = \frac{T_{n1}}{W_n} \leq [\tau]_n,$$

որտեղ T_{n1} -ը ոլորող մոմենտն է, $T_{n1} = P_1 / \omega_1$, և մն:



Նկ. 47. Լիսերի հաշվարկային պիսեման ըստ ոլորման ամրության:

Ոլորման դիմադրության մոմենտը կլոր հատույթների համար որոշվում է հետևյալ բանաձևով՝

$$W_n = \frac{\pi \cdot d_{e1}^3}{16} \approx 0,2 \cdot d_{e1}^3 :$$

Վերջիններս ամրության պայմանի մեջ տեղադրելու դեպքում ստացվում է ստուգիչ բանաձևը՝

$$\tau_n = \frac{T_{n1}}{0,2 \cdot d_{e1}^3} \leq [\tau]_n , \text{ Ն/մմ}^2,$$

որտեղից դուրս է բերվում նախագծման (լիսերի ծայրի տրամագծի) բանաձևը՝

$$d_{e1} = \sqrt[3]{\frac{T_{n1}}{0,2 \cdot [\tau]_n}} , \text{ մմ},$$

որտեղ $[\tau]_n$ -ն ոլորման թույլատրելի լարումն է. ածխածնային պողպատի համար $[\tau]_n = 15 \div 40$, Ն/մ²:

Թվային արժեքներն առանձնացնելուց հետո ստացվում է հետևյալ պարզեցված արտահայտությունը՝

$$d_{e1} = (0,5 \div 0,7) \cdot \sqrt[3]{T_{n1}} :$$

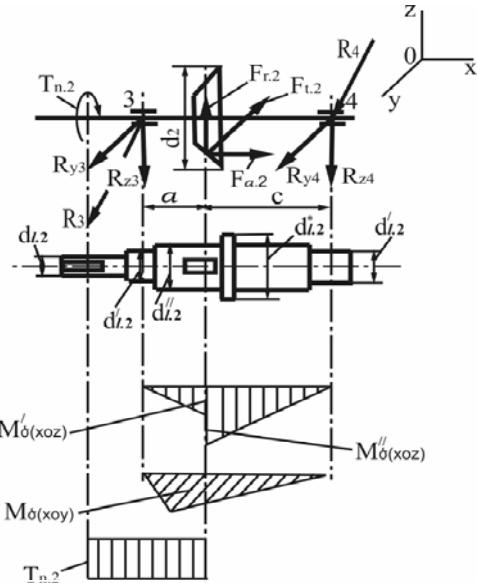
Լիսեների մյուս մակերևույթների տրամագծերը որոշվում են կառուցվածքային սկզբունքով: Այսպես՝

- առանցքակալի ներքին օղակի տակ գտնվող լիսերի տրամագիծը՝ $d'_{e1} = d_{e1} + 5$, մմ,
- ատամնանիվի տակ գտնվող լիսերի տրամագիծը՝

$$d''_{e1} = 'e_1 +$$

- հենարանային անվակումնորի տրամագիծը՝ $d^*_{e1} = d''_{e1} + (5 \div 10)$,
- մն:

Նշված տրամագծերի նշանակումները ներկայացված են նկ. 48-ում:



Նկ. 48. Լիսեռի հաշվարկային սխեման ըստ բարդ դեֆորմացիայի:

3.1.4. Լիսեռների հաշվարկն ըստ ոլորման և ծռման համատեղ դեֆորմացիայի

Լիսեռների մեծ մասն աշխատում են ծռման և ոլորման դեֆորմացիաների համատեղ ազդեցությամբ: Այն լիսեռները, որոնց վրա տեղադրված են կոնական ատամնանիվներ կամ որդնանիվներ (որդնակներ), ենթարկվում են նաև ձգման ու սեղմնան դեֆորմացիաների, սակայն դրանցից առաջացած համապատասխան լարումները զգալիորեն փոքր են լինում ծռման լարումներից, ինչի հետևանքով էլ այդ դեֆորմացիաներն անտեսվում են, և հաշվարկը կատարվում է ըստ ծռման ու ոլորման համատեղ ամրության:

Կազմվում են լիսեռի էսքիզն ու հաշվարկային սխեման, որոնց

Վրա նշվում են ազդող և հակազդող բոլոր ուժերն ու դրանց միջև եղած հեռավորությունները (նկ. 48): Որոշվում են երկու հարթություններում առաջացած հենարանային և գումարային հակազդումները՝

$$R = \sqrt{R_y^2 + R_z^2} :$$

Ատամնանիվի տակ գտնվող լիսերի կտրվածքում որոշվում է գումարային ծռող մոմենտը՝

$$M_{q,\delta} = \sqrt{M_y^2 + M_z^2} ,$$

որտեղ $M_y = R_y \cdot \alpha$ և $M_z = R_z \cdot \alpha$ արտահայտությունները ցույց են տալիս համապատասխան հարթություններում F_t , F_r , F_α ուժերից առաջացած ծռող մոմենտները:

Ըստ նկ. 48-ի՝ չոչ հարթությունում առաջանում են $M'_\delta = R_{z4} \cdot \alpha$ և $M''_\delta = R_{z2} \cdot \alpha$ ծռող մոմենտները, որոնց թոշքը կազմում է $M''_\delta - M'_\delta = F_{\alpha2} \cdot d_2 / 2$: Համարժեք մոմենտը որոշվում է հետևյալ բանաձևով՝

$$M_h = \sqrt{M_{q,\delta}^2 + T_n^2} :$$

Համարժեք լարումը որոշվում է համաձայն երրորդ ամրության տեսության, ըստ որի՝ ստացվում է ստուգիչ բանաձևը՝

$$\sigma_h = \frac{M_h}{W_\delta} = \frac{M_h}{0,1 \cdot d_e^3} \leq [\sigma]_\delta ,$$

որտեղից դուրս է բերվում նախագծման բանաձև (ատամնանիվի տակ գտնվող վտանգավոր հատույթում)՝

$$d_e = \sqrt[3]{\frac{M_h}{0,1 \cdot [\sigma]_\delta}} , \text{ մմ:}$$

Վերջինիս արժեքը ճշտվում է համաձայն ստանդարտով նախատեսված այլուսակների (ընդունվում է առավել մեծ արժեք):

Ատամնանիվի տակ գտնվող լիսերի տրամագիծը d''_e -ով նշանակելու դեպքում կառուցվածքային սկզբունքով որոշվում են լիսերի մյուս տրամագիծերը՝

- առանցքակալի տակ գտնվող լիսերի տրամագիծը՝

$$d'_e = d''_e - 5, \text{ մմ},$$

- ատամնանիվի տակ գտնվող լիսերի տրամագիծը՝
 $d_e = d'_e - 5, \text{ մմ},$
- հենարանային անվակունդի տրամագիծը՝ $d_e^* = d'_e + (5 \div 10), \text{ մմ}:$

3.1.5. Սոմիմերի և լիսեռների հաշվարկն ըստ կոշտության

Հաշվարկն ըստ կոշտության հիմնականում կատարվում է, եթք սռնու և լիսերի չափերը որոշված են լինում ստուգիչ հաշվարկի արդյունքում (նպատակահարմար է հաշվարկի ենթարկել այն սռնիներն ու լիսեռները, որոնց մոտ $\ell/d > 3$):

Առանցքակալների և ատամնավոր զույգերի ճիշտ աշխատանքի համար անհրաժեշտ է ապահովել սռնիների ու լիսեռների բավարար կոշտությունը, ինչի ժամանակ ստեղծվում է ճնշման հավասարաչափ բաշխում ատամների և առանցքակալների հպումային գների վրա:

Սռնիների և լիսեռների կոշտությունն ըստ ծռման ապահովելու համար անհրաժեշտ է նախ ապահովել հետևյալ պայմանները՝

$$y < [y], \text{ մմ}, \quad \theta < [\theta], \text{ աստ. (ռադ)},$$

որտեղ y -ը և θ -ն առանցքի ճկվածքի ու տեղաշարժի անկյան իրական արժեքներն են, որոնք որոշվում են «Եյութերի դիմադրություն» առարկայի բանաձևերով:

Անհրաժեշտության դեպքում լիսեռները ստուգվում են նաև ըստ ոլորնան՝

$$\varphi = \frac{T_n \cdot \ell}{G \cdot I_o} \leq [\varphi], \text{ աստ. (ռադ)},$$

որտեղ T_n -ն ոլորող մոմենտն է լիսերի վրա, G -ն՝ լիսերի հատույթի ճկունության մոդուլը տեղաշարժման ժամանակ, I_o -ն՝ լիսերի հատույթի մակերեսի իներցիայի բևեռային մոմենտը, $I_o = 0,1 \cdot d^4, \text{ մմ}^4$, $[\varphi]$ -ն՝ շրջադարձի թույլատրելի անկյունը. լիսերի մեկ մետր երկարության համար (հաստոցաշինությունում) $[\varphi] < 5'$, փոխհաղորդիչ լիսեռների համար $[\varphi] < 15' \div 20'$:

Երկու հենարաններով սռնիների ու լիսեռների y և θ արժեքների որոշման բանաձևերը բերված են աղյուսակ 5-ում:

Բանաձևերում E-ն սռնու կամ լիսերի նյութի առաձգականության մոդուլն է, $1/\text{նմ}^2$, I-ն՝ սռնու կամ լիսերի կտրվածքի մակերեսի իներցիայի մոմենտը, մմ⁴, F-ը՝ շառավիղային ծռող ուժը, Ն:

Այլուսակ 5

Սուճիների և լիսերների ծկվածքի ու թեքության անկյունների
արժեքների որոշումը

Եկվածքը, y, մմ և թեքության անկյունը, θ , ռադ		
y_c	$\frac{F \cdot a \cdot b \cdot c \cdot (\ell + a)}{6 \cdot E \cdot I \cdot \ell}$	$\frac{F \cdot c^2 \cdot (\ell + c)}{3 \cdot E \cdot I}$
y_D	$\frac{F \cdot b \cdot d \cdot (\ell^2 - b^2 - d^2)}{6 \cdot E \cdot I \cdot \ell}$	$\frac{F \cdot c \cdot d \cdot (\ell^2 - d^2)}{6 \cdot E \cdot I \cdot \ell}$
y_E	$\frac{F \cdot a \cdot e \cdot (\ell^2 - a^2 - e^2)}{6 \cdot E \cdot I \cdot \ell}$	-
y_F	$\frac{F \cdot a^2 \cdot b^2}{3 \cdot E \cdot I \cdot \ell}$	-
θ_A	$\frac{F \cdot a \cdot b \cdot (\ell + a)}{6 \cdot E \cdot I \cdot \ell}$	$\frac{F \cdot c \cdot \ell}{6 \cdot E \cdot I}$
θ_B	$\frac{F \cdot a \cdot b \cdot (\ell + a)}{6 \cdot E \cdot I \cdot \ell}$	$\frac{F \cdot c \cdot \ell}{3 \cdot E \cdot I}$
θ_C	$\theta_B = \frac{F \cdot a \cdot b \cdot (\ell + a)}{6 \cdot E \cdot I \cdot \ell}$	$\frac{F \cdot c \cdot (2\ell + 3c)}{6 \cdot E \cdot I}$
θ_D	$\frac{F \cdot b \cdot (\ell^2 - b^2 - 3d^2)}{6 \cdot E \cdot I \cdot \ell}$	$\frac{F \cdot c \cdot (3d^2 - \ell^2)}{6 \cdot E \cdot I \cdot \ell}$
θ_E	$\frac{F \cdot a \cdot (\ell^2 - a^2 - 3e^2)}{6 \cdot E \cdot I \cdot \ell}$	-
θ_F	$\frac{F \cdot a \cdot b \cdot (b - a)}{3 \cdot E \cdot I \cdot \ell}$	-

Առանցքի համապատասխանաբար [y] ճկվածքի և [θ] տեղաշարժի անկյունների թույլատրելի արժեքները սոնիների ու լիսեռների համար որոշվում են համաձայն հետևյալ հաստատված նորմաների.

- առավելագույն թույլատրելի ճկվածքը՝

$$[y] < (0,0002 \div 0,0003) \cdot \ell,$$

- ատամնանիվի տակ գտնվող հատույթում թույլատրելի ճկվածքը՝

$$[y] < (0,01 \div 0,03) \cdot m,$$

որտեղ՝ ℓ -ը հենարանների միջև եղած հեռավորությունն է, m -ը՝ ատամնանիվի կառչման մոդուլը, մմ,

- ատամնանիվի և սահքի առանցքակալի տակ թույլատրելի տեղաշարժի անկյունը՝ $[θ] < 0,001$, ռադ,
- շառավիղային գնդառանցքակալի տակ թույլատրելի տեղաշարժի անկյունը՝ $[θ] < 0,01$, ռադ,
- գնդաձև գնդառանցքակալի տակ թույլատրելի տեղաշարժի անկյունը՝ $[θ] < 0,05$, ռադ:

3.1.6. Սոնիների և լիսեռների հաշվարկն ըստ տատանման

Այս հաշվարկը, որպես օժանդակ ստուգիչ հաշվարկ, կատարվում է արագընթաց սոնիների ու լիսեռների համար, քանի որ դրանց վրա տեղադրված պտտվող մեքենամասերը հիմնականում հավասարակշռված չեն, ինչի արդյունքում առաջացած արտաքին ուժերի հաճախության և պտտվող մեքենամասի սեփական հաճախության համընկնան հետևանքով առաջանում է ռեզոնանս, որի պատճառով սոնիներն ու լիսեռները ենթարկվում են արագ քայրայման:

Ռեզոնանս առաջանող արագության ռեժիմները կոչվում են կրիտիկական արագությունների ռեժիմներ:

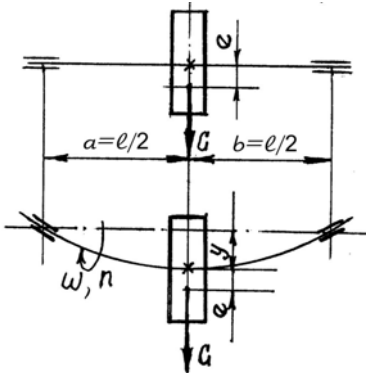
Տատանման տեսակները բազմազան են, սակայն սույն աշխատանքում ուսումնասիրվում են միայն լայնական տատանումները:

Սոնիների և լիսեռների հաշվարկային սխեման ըստ տատանման ներկայացված է նկ. 49-ում:

Ըստ սխեմայի՝ սռնու վրա տեղադրված սկավառակի ծանրության կենտրոնը սռնու առանցքից շեղված է և չափով: Ընդ որում՝ սկավառակը տեղադրված է երկու հենարանների մեջտեղում: Սռնու հավասարաչափ պտտման ժամանակ առաջացած կենտրոնախույս ուժը կազմում է

$$F_y = m \cdot \omega^2 \cdot (y + e),$$

որտեղ՝ m -ը սկավառակի զանգվածն է, ω -ն՝ սռնու անկյունային արագությունը, իսկ $(y + e)$ -ն՝ սկավառակի ծանրության կենտրոնի պտտման շառավիղը:



Նկ. 49. Սռնիմերի և լիսեռների հաշվարկային սխեման ըստ տատանման:

Կենտրոնախույս ուժի ազդեցության տակ սռնու առանցքը ծըռվում է առաջացնելով հետևյալ ճկվածքը՝

$$y = \frac{F_k \cdot a^2 \cdot b^2}{3 \cdot E \cdot I \cdot \ell} = \frac{F_k \cdot (\ell/2)^2 \cdot (\ell/2)^2}{3 \cdot E \cdot I \cdot \ell} = \frac{F_k \cdot \ell^3}{48 \cdot E \cdot I}$$

Վերջինիս համաձայն ստացվում է կենտրոնախույս ուժը՝

$$F_k = \frac{48 \cdot E \cdot I}{\ell^3} \cdot y$$

$$\text{Քանի որ } \frac{F_k}{y} = \frac{48 \cdot E \cdot I}{\ell^3} = F \text{ հարաբերությունը ցույց է տալիս 1 մմ} \\ \text{ճկվածք առաջացնող ուժը, այսինքն՝ սռնու կոշտությունը (Ս/մմ), ապա} \\ F_k = F \cdot y$$

Կենտրոնախույս ուժի ստացված երկու արտահայտությունները հավասարացնելու դեպքում ստացվում է

$$F \cdot y = m \cdot \omega^2 \cdot (y + e),$$

ըստ որի ձևափոխությունների՝

$$F \cdot y - m \cdot \omega^2 \cdot y = m \cdot \omega^2 \cdot e, \quad y \cdot (F - m \cdot \omega^2) = m \cdot \omega^2 \cdot e$$

Արդյունքում ստացվում է հաշվարկային ճկվածքի մեծությունը՝

$$y = \frac{m \cdot \omega^2 \cdot e}{F - m \cdot \omega^2} = \frac{e}{\frac{F}{m \cdot \omega^2} - 1}$$

Ստացված արտահայտության վերլուծությունը ցույց է տալիս, որ անկյունային արագության $\omega = \sqrt{\frac{F}{m}}$ արժեքի դեպքում ճկվածքի մեջությունը ձգտում է անսահմանության՝ $y = \frac{e}{1-1} = \infty$, այսինքն՝ սռնին ենթարկվում է արագ քայքայման, իսկ նշված անկյունային արագությունը դիտվում է որպես կրիտիկական՝

$$\omega_k = \sqrt{\frac{F}{m}} :$$

Ստացված արտահայտության հիման վրա կարելի է դուրս բերել կիրառական բնույթի բանաձևեր, որոնց միջոցով, առանց սռնիների փորձարկման և փորձնականորեն կրիտիկական անկյունային արագության որոշման, հնարավոր է նախօրոք սահմանել անկյունային արագության կրիտիկական արժեքը: Դրա համար կատարվում է հետևալ ձևափոխությունը՝

$$\omega_k = \sqrt{\frac{F}{m}} = \sqrt{\frac{F}{Q} \cdot g} = 3,13 \cdot \sqrt{\frac{F}{Q}} = 3,13 \cdot \sqrt{\frac{1}{f}}, \text{ ռադ/վրկ,}$$

որտեղ՝ m -ը սկավառակի զանգվածն է, $m = \frac{Q}{g}$, Q -ն՝ սկավառակի կշիռը, g -ն՝ ազատ անկման արագացումը, m/\sqrt{f} , f -ը՝ սռնու ստատիկ կոշտությունը՝ $F = \frac{Q}{f}$, Q -ն՝ սռնու ստատիկ կոշտությունը՝ $F = \frac{Q}{f}$, Q/f :

$$\text{յունը՝ } F = \frac{Q}{f}, \text{ Ն/մմ:}$$

Նման ձևով կարելի է դուրս բերել նաև պտտման կրիտիկական հաճախության կախվածությունն ըստ ստատիկ ճկվածքի՝

$$n_k = \frac{30 \cdot \omega_k}{\pi} = \frac{30 \cdot 3,13}{3,14} \sqrt{\frac{1}{f}} = 30 \cdot \sqrt{\frac{1}{f}}, \text{ պտ./րոպե:}$$

Այսպիսով, որոշելով հաշվարկային ստատիկ ճկվածքի մեջությունը՝

$$f = y = \frac{F \cdot \alpha^2 \cdot b^2}{3 \cdot E \cdot I \cdot \ell} = \frac{F_k \cdot \ell^3}{48 \cdot E \cdot I}, \text{ մմ,}$$

կարելի է նախօրոք որոշել պտտման կրիտիկական հաճախությունը, սռնու (լիսերի) աշխատանքային արագության ռեժիմները (ո) և նախակրիտիկական կամ հետկրիտիկական միջակայքերը՝ $n_k < n < n_{k+1}$:

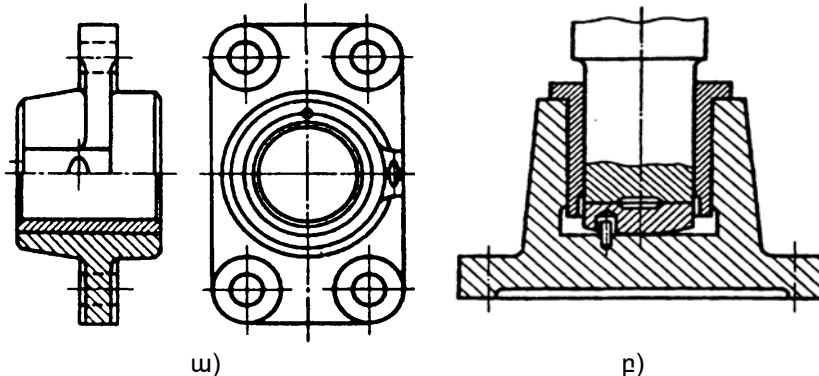
3.2. Սահքի առանցքակալներ

3.2.1. Դիմնական տեղեկություններ

Ըստ աշխատանքային գոտում գործող շփման տեսակի՝ առանցքակալները լինում են **սահքի և գլորման**.

Սահքի առանցքակալները սահքի շփման հիման վրա աշխատող սարքավորումներ են՝ նախատեսված տարածության մեջ լիսեռներ և պտտվող սանիներ տեղակայելու համար: Դրանք հիմնականում բաղկացած են վրանից և իրանից (նկ. 50):

Սահքի առանցքակալներն ունեն հետևյալ առավելություններ՝ բարձր աշխատունակություն ու հուսալիություն գերբեռնվածքների և հարվածային (տատանողական ռեժիմների) բեռնվածքների դեպքում (յուղի բավարար և կայուն շերտի ապահովմամբ), հարաբերական փոքր շառավիղային չափեր, անաղմուկ աշխատանք, մեծ տրամագծերով ծնկածն լիսեռների և սոնիների վրա տեղադրման ու շահագործման հնարավորություն, ինչպես նաև հետևյալ թերությունները՝ յուղի բավարար և կայուն շերտի նվազման ու վերացման դեպքում ջերմնաստիճանի բարձրացում և արագ մաշում, հարաբերական մեծ առանցքային չափեր, առանցքակալների և դրաց մեքենամասերի անհամափոխարինելիություն, յուղման համակարգի անհրաժեշտություն և այլն:



Նկ. 50. Սահքի առանցքակալների կառուցվածքը.

ա) չքանդվող կցաշուրբային, բ) հենարանային:

Սահքի առանցքակալները, ըստ բեռնվածքի ընդունման ուղղության, լինում են՝

- **շառավիղային**, որոնք նախատեսված են միայն շառավիղային ուղղությամբ ազդող բեռնվածքների տակ աշխատելու համար,
 - **շառավիղահենարանային**, որոնք ընդունում են բեռնվածքներ ուղղված պտտվող առանցքին ուղղահայաց և գուգահեռ,
 - **հենարանային**, որոնք ընդունում են բեռնվածքներ՝ ուղղված միայն պտտվող առանցքին գուգահեռ,
- Ըստ կառուցվածքային հատկանիշների՝
- **քանդվող**, որոնք օգտագործվում են հիմնականում ընդհանուր և ծանր մեքենաշինության մեջ՝ հատկապես այն դեպքում, երբ անհրաժեշտ է բեթևացնել լիսեռների հավաքումն ու քանդումը,
 - **չքանդվող**, որոնք օգտագործվում են պարզ կառուցվածքներում, դանդաղընթաց և ընդմիջումներով աշխատող մեքենաներում՝ ինչպես տեղադրված վրանով, այնպես էլ առանց վրանի,
- Ըստ իրնատեղակայման սկզբունքի՝
- **ինքնատեղակայվող**, որոնցում վրանի գնդաձևությունը հնարավորություն է տալիս փոխհատուցել լիսեռների տեղադրման անցտությունները, ոչ համառանցքայնությունը և այլն,
 - **ոչ ինքնատեղակայվող**,
- Ըստ անհրաժեշտ, բավարար յուղման եղանակի՝
- **հիդրոստատիկական**, որոնց մոտ անրաժեշտ յուղի շերտը գոյանում է արտաքին սարքավորման (յուղի պոմպի) միջոցով,
 - **հիդրոդինամիկական**, որոնց մոտ անհրաժեշտ յուղի շերտը գոյանում է բութակի պտտման շնորիվ:

3.2.2. Սահրի առանցքակալների նյութերը, յուղման պայմանները և յուղերի տեսակները

Յուղերի տեսակները: Յուղերը նախատեսված են սահրի առանցքակալների շփումն ու մաշումը նվազեցնելու, հովացման, ինչպես նաև մաշումից առաջացած նասնիկները հպումային գոտուց հեռացնելու համար: Նշված պահանջներն ապահովվում են օգտագործվող յուղերի համապատասխան յուղայնությամբ և մածուցիկությամբ:

Յուղման նյութերը լինում են հեղուկ, պլաստիկ (թանձրացված քսուքներ), կարծր և գագային:

Յեղուկ յուղերից են հանքային և օրգանական յուղերը, ինչպես նաև ջուրը, որոնք օգտագործվում են միջին ու բարձր արագության առանցքակալների համար:

Հանքային յուղերը լինում են արդյունաբերական, շարժիչային և այլն, որոնք պատրաստվում են նավթից, իսկ օրգանական յուղերը՝ բուսական և կենդանական, որոնք բարձրորակ են ու թանկ:

Պլաստիկ քսուքները պատրաստվում են հանքային հեղուկ յուղերից (սոլիդոլ, կոնստալին և այլն): Դրանք օգտագործվում են փոքր արագությունների և հարվածային բեռնվածքների դեպքում:

Կարծր քսայուղերից են գրաֆիտը, մոլիբդենի երկսուլֆիդը, փայլարը, տալկը և այլն, որոնք օգտագործվում են սննդի արդյունաբերության, մանածագործական և այլ մեքենաներում:

Գազային քսանյութերից են օդը, գոլորշիները և այլն, որոնք օգտագործվում են գերբարձր արագության, նվազ բեռնավորված սահքի առանցքակալներում:

Յուղմամ պայմանները: Յուղված սահքի առանցքակալն անշարժ վիճակից մինչև կայունացած աշխատանքային ռեժիմին հասնելն անցնում է շահագործման երեք աշխատանքային ռեժիմներ՝

1. **Սահմանային յուղմամ ռեժիմ,** երբ լիսեռն անշարժ է, բութակը և վրանը բաժանվում են 0,1 մկմ հաստության բարակ թաղանթով, առանցքակալի գործարկման ժամանակ յուղի շերտը չի անջատում միմյանցից շիվող մակերևույթների խորդութորդությունները:
2. **Կիսահեղուկ յուղմամ ռեժիմ,** երբ լիսեռը, սկսելով պտտվել, մըղում է յուղը բութակի և վրանի սեպաձև բացակի մեջ, ինչի հաշվին յուղի շերտը մեծանում է, սակայն առանձին խորդութորդություններ շարունակում են քսվել միմյանց, այսինքն՝ ապահովվում է հետևյալ պայմանը (նկ. 51):

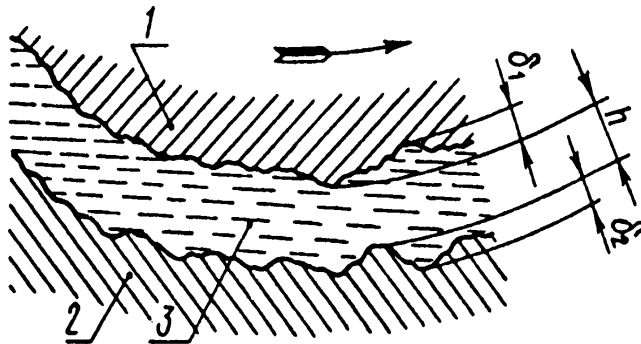
$$h < \delta_1 + \delta_2:$$
3. **Հեղուկ յուղմամ ռեժիմ,** երբ լիսեռը հավաքում է հաստատուն առավելագույն արագություն և մակերևույթների խորդութորդությունները լիովին անջատվում են միմյանցից բավարար յուղի շերտով: Արդյունքում մաշումը և տրորումը բացակայում են, քանի որ առաջանում է անհրաժեշտ բացակ՝

$$h > K \cdot (R_{z1} + R_{z2}),$$

որտեղ՝ $R_{z1} = \delta_1$ և $R_{z2} = \delta_2$ համապատասխանաբար խորդութորդությունների միջին թվաքանական բարձրություններն են բութակի և վրանի համար (նկ. 51), իսկ $K - 1$ ՝ յուղի շերտի պաշարի գործակիցը, որը կախված է բեռնվածքի մեջությունից, արագությունից և մեքենայի նշանակության կարևորությունից, $K > 2$:

Յեղուկ յուղման ռեժիմով սահրի առանցքակալների միացումների նստեցվածքները, որոնք ապահովում են նշված և բացակը, հետևյալն են՝ H7/f7, H8/e8, H8/d9 և այլն:

Սահրի առանցքակալների նյութերը: Վոանի նյութն ընտրելու ժամանակ անհրաժեշտ է հաշվի առնել շահագործման պահանջները (հակաշփական նյութերին բնորոշ), այն է՝ ցածր շիման գործակիցը, բարձր մաշակայնությունը, ջերմահաղորդականությունը և դիմադրողականությունը լրացնելու նկատմամբ՝ հատկապես անբավարար յուղման պայմաններում:



Նկ. 51. Յուղման ռեժիմների հաշվարկային սխեմա:

Վոանները լինում են մետաղական, մետաղախեցեգործական և ոչ մետաղական:

Մետաղական վրանները պատրաստվում են բարիտից, բրոնզից, այլ գունավոր հակաշփական նյութերից, ինչպես նաև բուժից:

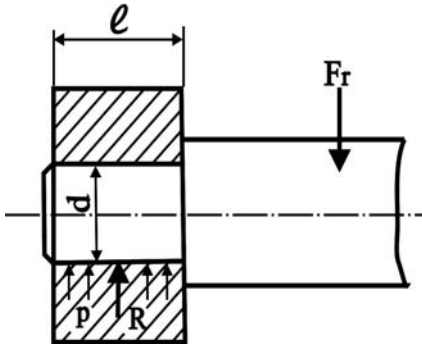
Բարիտից (Բ88, Բ83) և բրոնզից (Ած 10Օ1, Ած 4Օ4Ն17, ԱծԱՀԵ3Է, ԱծՆ31 և այլն) պատրաստված վրաններն օգտագործվում են բեռնավորված ու արագընթաց շահագործման ռեժիմների դեպքում, իսկ բուժից ($\text{Ա} \times \text{Ն}-1$ և այլն) պատրաստված վրանները՝ դանդաղընթաց, ոչ կարևոր նշանակության սարքավորումներում:

Մետաղախեցեգործական վրանները կիրառվում են դանդաղընթաց մեխանիզմներում, որոնք դժվար է ապահովել յուղումով:

Ոչ մետաղական վրանները, որոնք պատրաստվում են հակաշփական, ինքնայուղվոր պլաստմասսայից (ԱՆՇ և այլն), օգտագործվում են այն մեխանիզմներում (պոմպեր, սննդի արդյունաբերության մեքենաներ և այլն), որոնք հնարավոր չեն յուղել:

3.2.3. Սահքի առանցքակալների բութակների հաշվարկը

Սահքի առանցքակալների երկրաչափական պարամետրերը որոշելու նպատակով ուսումնասիրվում է ներկայացված (նկ. 52) հաշվարկային սխեման, ըստ որի՝ բութակը, գտնվելով շառավիղային սահքի առանցքակալում, ենթարկվում է միայն շառավիղային ուժի ազդեցությանը:



Նկ. 52. Բութակի հաշվարկային սխեմա:

Ըստ սխեմայի՝ բութակը ենթարկվում է նաև ծռման դեֆորմացիայի և մաշման:

Ծռման ամրության պայմանն է

$$\sigma_\delta = \frac{M_\delta}{W_\delta} \leq [\sigma]_\delta,$$

որտեղ՝ M_δ -ն ծռող մոմենտն է, $M_\delta = \frac{R \cdot \ell}{2}$, իսկ W_δ -ն՝ ծռման դիմադրության մոմենտը՝

$$W_\delta = \frac{\pi \cdot d^3}{32} \approx 0,1 \cdot d^3:$$

Արժեքները տեղադրելու դեպքում ստացվում է

$$\sigma_\delta = \frac{R \cdot \ell}{0,2 \cdot d^3} \leq [\sigma]_\delta, \text{ Ն/մմ}^2:$$

Մաշակայունության պայմանն է

$$p = \frac{R}{d \cdot \ell} \leq [p], \text{ Ն/մմ}^2:$$

Ներկայացված երկու ամրության պայմաններից որոշվում է շառավիղային հակագումը՝

$$R = \frac{0,2 \cdot d^3 \cdot [\sigma]_b}{\ell}, \quad R = d \cdot \ell \cdot [p]:$$

Հավասարումների աջ մասերը հավասարեցնելու դեպքում ստացվում է

$$\frac{0,2 \cdot d^3 \cdot [\sigma]_b}{\ell} = d \cdot \ell \cdot [p]:$$

Վերջինս $\frac{\ell}{d^3}$ հարաբերությունով բազմապատկելու դեպքում ստացվում է

$$0,2 \cdot [\sigma]_b = \frac{\ell^2}{d^2} \cdot [p]:$$

Բութակի երկրաչափական պարամետրն է

$$\varphi = \frac{\ell}{d} = 0,5 \div 1,5:$$

Ավտոմեքենաների համար $\varphi = 0,5 \div 0,6$:

Ըստ որոշակի շահագործման պայմանների և նյութերի տեսակների՝

$$\varphi = \frac{\ell}{d} = \sqrt{\frac{0,2 \cdot [\sigma]_b}{[p]} :}$$

$\ell = \varphi \cdot d$ արտահայտությունը ծռման ամրության և մաշակայունության պայմանների մեջ տեղադրելու դեպքում ստացվում են համապատասխանաբար բութակի պահանջվող տրամագծերի որոշման հետևյալ արտահայտությունները՝

$$d = \sqrt{\frac{\varphi \cdot R}{0,2 \cdot [\sigma]_b}} \text{ և } d = \sqrt{\frac{R}{\varphi \cdot [p]}}, \text{ մն:$$

Հետագա հաշվարկների համար ընդունվում է ստացված տրամագծերից առավելագույնը:

Բերված կախվածություններում $[\sigma]_b$ -ն ծռման թույլատրելի լարումն է. միսված միջին ածխածնային պողպատի համար $[\sigma]_b = 80 \div 100$ Ն/մ², իսկ $[p]$ -ն՝ թույլատրելի ճնշումը. բարիտի համար $[p] = 15 \div 20$ Ն/մ², բրոնզի համար $[p] = 6 \div 10$ Ն/մ², բուշի համար $[p] = 2 \div 4$ Ն/մ²:

Նախագծված բութակները ստուգվում են ըստ տաքացնան, այն է՝ առանցքակալում արտադրված ջերմության և թույլատրելի արժեքի համեմատությամբ՝

$$p \cdot V \leq [p \cdot V]:$$

Յնչնան և արագության արժեքները տեղադրելու դեպքում ստացվում է

$$\frac{R \cdot \omega \cdot d}{d \cdot \ell \cdot 2} \leq [p \cdot V],$$

որի համաձայն՝

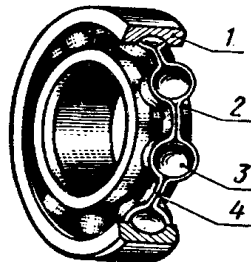
$$\frac{R \cdot \omega}{2 \cdot \ell} \leq [p \cdot V]:$$

Բարիտից պատրաստված վրանների համար թույլատրելի ջերմաստիճանը կազմում է $[pV] = 50 \div 75$ Ն·մ/մ² վրկ, բրոնզից պատրաստված վրանների համար՝ $[pV] = 6 \div 10$ Ն·մ/մ² վրկ, բուժից պատրաստված վրանների համար՝ $[pV] = 2 \div 5$ Ն·մ/մ² վրկ:

3.3. Գլորման առանցքակալներ

3.3.1. Հիմնական տեղեկություններ

Գլորման առանցքակալները սարքավորումներ են, որոնք նախատեսված են պտտվող մեքենամասերը տարածության մեջ տեղակայելու և շփումը հենարամներում փոքրացնելու համար (գլորման շփումն օգտագործելու միջոցով):



Նկ. 53. Գլորման առանցքակալի կառուցվածքը:

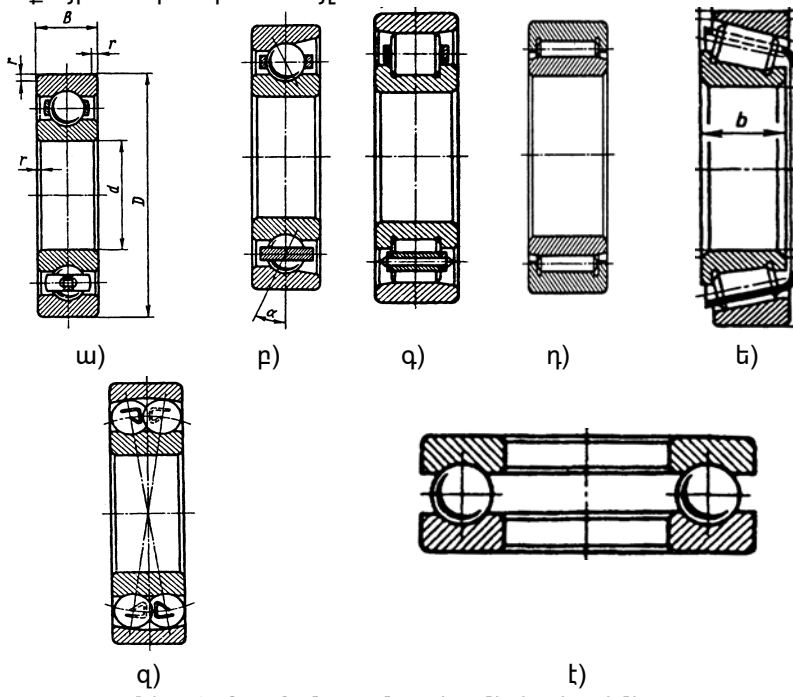
Գլորման առանցքակալները (նկ. 53) կազմված են հիմնականում (1) արտաքին և (2) ներքին օղակներից, (3) գլորման մարմիններից (գնդիկներից կամ հոլովակներից), (4) զատիչից (գլորման մարմինները մինչանցից բաժանող և ուղղող), երբեմն նաև պաշտպանիչ օղակներից:

Առանցքակալների օղակներն ու գնդիկները պատրաստվում են Թ06, Թ09, Թ015, Թ015ԱՆ մակնիշների հատուկ առանցքակալային, 1201 3Ա, 12021 4Ա մակնիշների բրոմոնիկելային պողպատից և այլն:

Դրանք ջերմամշակվում են (HRC 62÷65 կարծրությամբ), որից հետո դը-
րանց շփվող մակերևույթները հղկվում են և փայլեցվում:

Զատիչները պատրաստվում են ցածր ածխածնային թիթեղնա-
վոր պողպատից, բրոնզից կամ տեքստոլիտից:

Գլորման առանցքակալները ստանդարտացված են և արտա-
դրվում են մեծաքանակ արտադրությամբ: Դրանք ունեն հետևյալ առա-
վելությունները՝ գործարկման ընթացքում շիման նվազագույն կո-
րուստներ, հարաբերական ցածր ինքնարժեք, համափոխարինելիու-
թյան բարձր աստիճան, շահագործման պարզություն և հուսալիություն,
յուղման և գունավոր նյութերի նվազագույն ծախս, առանցքակալին փոքր
չափեր, ինչպես նաև հետևյալ թերությունները՝ շառավիղային հարաբե-
րական մեծ չափեր, սեփական բարձր կոշտության պատճառով առանց-
քակալների վատ աշխատանք հարվածային, տատանողական աշխա-
տանքային ռեժիմներում և այլն:



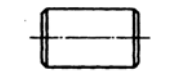
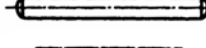
Նկ. 54. Գլորման առանցքակալների տեսակները.

ա) գնդիկավոր շառավիղային, բ) գնդիկավոր շառավիղահենարանային,
գ) հոլովակավոր շառավիղային, դ) ասեղնածև շառավիղային, ե) կոնական
շառավիղահենարանային, զ) երկշարք գնդաշառավիղային, է) հենարանային:

Գլորման առանցքակալները (նկ. 54), ըստ թերի ընդունման ուղղության, լինում են՝

- **շառավղային** (ա,գ,դ,զ), որոնք ընդունում են թեռնվածքներ հիմնականում շառավղային ուղղությամբ (ուղղահայաց պտտվող առանցքին), իսկ թերթեռնվածքի դեպքում շառավղային գնդառանցքակալներ ընդունում են նաև առանցքային գնդառանցքակալներ, որոնք կազմում են չօգտագործվող շառավղային թեռնվածքի 70 % -ը,
- **շառավղահենարանային** (բ,ե), որոնք ընդունում են պտտվող առանցքին միաժամանակ ուղղահայաց և զուգահեռ թեռնվածքներ. հպման անկյունը կազմում է $\alpha < 36^\circ$,
- **հենարանաշառավղային** (բ,ե), որոնք նույնպես ընդունում են պտտվող առանցքին միաժամանակ զուգահեռ և ուղղահայաց թեռնվածքներ, սակայն շառավղահենարանային առանցքակալներից տարբերվում են հպման անկյան մեջությամբ. հըպման անկյունը կազմում է $\alpha > 36^\circ$,
- **հենարանային** (է), որոնք ընդունում են միայն պտտվող առանցքին զուգահեռ թեռնվածքներ,

ըստ գլորման մարմինների ձևի՝

- գնդիկավոր,
 - հոլովակավոր.
- հոլովակներն իրենց հերթին լինում են՝
-  - երկար գլանային,
 -  - կարճ գլանային,
 -  - կոնական,
 -  - ասեղնաձև,
 -  - ոլորված,
 -  - գնդաձև (сферический),

ըստ գլորման մարմինների շարքերի թվի՝ միաշարք, երկշարք և բազմաշարք,

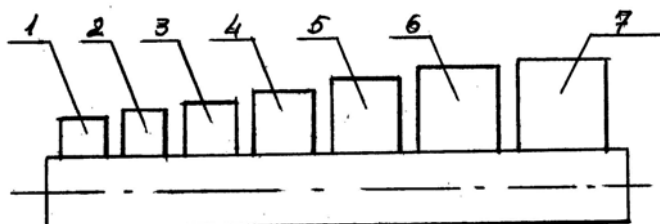
ըստ կառուցվածքային հատկանիշների՝

- ինքնատեղակայվող, որոնք կոմպենսացնում են լիսեռների ոչ համառանցքայնությունը, հավաքման անձշտությունները և այլն,

- ոչ ինքնատեղակայվող,

ըստ գարարիտային չափերի (միկրույն ներքին տրամագծի դեպքում):

- համաձայն շառավղի՝ գերբերև (երկու սերիա), հատուկ թերև (երկու սերիա), թերև, միջին և ծանր՝ ընդամենը յոթ սերիա (նկ. 55),
- համաձայն լայնության՝ հատուկ նեղ, նեղ, նորմալ, լայն և հատուկ լայն՝ ընդամենը հինգ սերիա:



Նկ. 55. Առանցքակալների տրամագծերի սերիաները:

3.3.2. Գլորման առանցքակալների նշանակումը

Նշանաձայն ստանդարտի՝ արտադրվում են ներքին տրամագծի $d=1$ մմ $\div 3$ մ չափերով գլորման առանցքակալներ, որոնք հիմնականում բաժանվում են երեք միջակայքի՝

$$d = 1, 2, 3, \dots, 9 \text{ մմ},$$

$$d = 10, 12, 15, 17 \text{ մմ},$$

$$d = 20, 25, 30, \dots, 495 \text{ մմ}:$$

Գլորման առանցքակալների յուրաքանչյուր մակնիշ ներկայացվում է երեք նշանակումներով, որոնք նշվում են օդակների ճակատների վրա: Յիմնական նշանակումը կարող է բաղկացած լինել յոթ ինդեքսներից, ընդ որում՝ նշանակման շարքում՝ թվի ծախս կողմից, զուներ չեն նշվում, ինչի հետևանքով իմնական նշանակումը կարող է բաղկացած լինել յոթից պակաս ինդեքսներից՝

X	X	X	X	X	X	X
7	6	5	4	3	2	1

Ընդհանուր մեքենաշինության մեջ օգտագործվող գլորման առանցքակալները պատկանում են 3-րդ չափային միջակայքի, ըստ որի՝ 1-ին և 2-րդ ինդեքսները համապատասխանում են գլորման առանցքակալի ներքին տրամագծին, ընդ որում՝ վերջին երկու թվերը ստանալու համար առանցքակալի ներքին տրամագծի արժեքը բաժանվում է 5-ի կամ երկու ինդեքսները բազմապատկում են 5-ով։ Արյունքում ստացվում է գլորման առանցքակալի ներքին օղակի տրամագծի արժեքը։

3-րդ ինդեքսը բնորոշում է տրամագծերի սերիաները, ընդ որում՝ 1 թիվը համապատասխանում է հատուկ թերև սերիային, 2 թիվը՝ թերև սերիային, 3 թիվը՝ միջին սերիային, 4 թիվը՝ ծանր սերիային (1-ին միջակայքում գտնվող առանցքակալների դեպքում 2-րդ ինդեքսն է բնորոշում սերիաները)։

4-րդ ինդեքսը բնորոշում է գլորման առանցքակալի տեսակը՝
 շառավղային միաշարք գնդառանցքակալ՝ 0,
 շառավղային երկշարք գնդաձև գնդառանցքակալ՝ 1,
 շառավղային միաշարք կարճ հոլովակներով առանցքակալ՝ 2,
 շառավղային երկշարք գնդաձև հոլովակներով առանցքակալ՝ 3,
 շառավղային միաշարք ասեղնաձև հոլովակներով առանցքակալ՝ 4,
 շառավղային միաշարք ոլորված հոլովակներով առանցքակալ՝ 5,
 շառավղահենարանային միաշարք գնդառանցքակալ՝ 6,
 շառավղահենարանային միաշարք կոնական հոլովակներով
 առանցքակալ՝ 7,
 հենարանային միաշարք գնդառանցքակալ՝ 8,
 հենարանային միաշարք հոլովակներով առանցքակալ՝ 9։

5-րդ և 6-րդ ինդեքսները բնորոշում են կառուցվածքային (օղակների վրա շրջակողերի, հպան անկյան պաշտպանիչ օղակների, առվակների և այլնի) փոփոխությունները։

7-րդ ինդեքսը բնորոշում է առանցքակալի լայնության սերիան 0,1, 2,...

Ծանոթություն: 1-ին միջակայքում գտնվող առանցքակալների համար հիմնական նշանակման աջ կողմի առաջին թիվը համապատասխանում է ներքին օղակի տրամագծին, իսկ 2-րդ միջակայքում տրամագծերի նշանակումները հաստատվում են հետևալ սկզբունքով՝ $d=10$ մմ-ի դեպքում ինդեքսը 00 է, $d=12$ մմ-ի դեպքում՝ 01, $d=15$ մմ-ի դեպքում՝ 02, $d=17$ մմ-ի դեպքում՝ 03։

Բացի հիմնական նշանակումից, ձախ և աջ կողմերում կատարվում են օժանդակ ու լրացուչից նշանակումներ։

Հիմնական նշանակման ձախ կողմից կարող է նշվել առանցքակալի պատրաստման ճշտության աստիճանը: Ստանդարտով նախատեսված են (բարձրացնան կարգով) առանցքակալի պատրաստման ճշտության 0, 6, 5, 4, 2 աստիճանները:

Ընդհանուր մեքենաշինության մեխանիզմներում օգտագործվում են նորմալ ճշտության 0 և 6 աստիճանները, իսկ արագընթաց և բարձր ճշտություն պահանջող հանգույցներում՝ ճշտության 5 և 4 աստիճանները: Նշտության 2 աստիճան ունեցող առանցքակալներն օգտագործվում են գիրոսկոպային (գերճիշտ, բարձր հերմետիկություն պահանջող) սարքերում: ճշտության 0-յական աստիճանը մակնիշում չի նշվում:

Հիմնական նշանակման աջ կողմից նշվում են առանցքակալների մեքենամասերի նյութի տեսակը, հատուկ տեխնիկական պահանջները և այլն:

Օրինակ, երբ զատիչը պատրաստվում է՝

- անագազուրկ բրոնզից՝ Ա,
- այսունինի համաձուլվածքից՝ Ա,
- պլաստմասսայից՝ Ը,
- արույրից՝ Ը,
- ջերմադիմացկուն պողպատից՝ Բ,
- ցեմենտացված պողպատից՝ Ծ և այլն:

Գլորման առանցքակալների նշանակման օրինակներ

21-շառավղային միաշարք (4-րդ թիվը՝ 0), թերև (2-րդ թիվը՝ 2) սերիայի գնդառանցքակալ, ներքին տրամագիծը՝ $d = 1$ մմ:

112-շառավղային միաշարք (4-րդ թիվը՝ 0), առանձնակի թերև (3-րդ թիվը՝ 1) սերիայի գնդառանցքակալ, ներքին տրամագիծը՝ $d = 60$ մմ:

5-200-Р-շառավղային միաշարք (4-րդ թիվը՝ 0), թերև (3-րդ թիվը՝ 2) սերիայի գնդառանցքակալ, ներքին տրամագիծը՝ $d = 10$ մմ, պատրաստման 5-րդ աստիճանի ճշտությամբ, զատիչը՝ պատրաստված ջերմադիմացկուն պողպատից (Р):

6-36310-Ա-շառավղահենարանային միաշարք (4-րդ թիվը՝ 6), միջին (3-րդ թիվը՝ 3) սերիայի գնդառանցքակալ՝ պատրաստման 6-րդ աստիճանի ճշտությամբ, հպնան անկյունը՝ $\alpha=12^0$ (5-րդ թիվը՝ 3), ներքին տրամագիծը՝ $d=50$ մմ, զատիչը՝ պատրաստված պլաստմասսայից (A):

46218-Ե-շառավղահենարանային միաշարք (չորրորդ թիվը՝ 6), թերև (3-րդ թիվը՝ 2) սերիայի գնդառանցքակալ՝ պատրաստման 0-ա-

կան աստիճանի ճշտությամբ, հպման անկյունը՝ $\alpha=26^0$ (5-րդ թիվը՝ 4), ներքին տրամագիծը՝ $d=90$ մմ, զատիչը՝ պատրաստված արույրից (Է):

5-1422-շառավղային երկարք գնդակն (4-րդ թիվը՝ 1), ծանր (3-րդ թիվը՝ 4) սերիայի գնդառանցքակալ՝ պատրաստման 5-րդ աստիճանի ճշտությամբ, ներքին տրամագիծը՝ $d = 110$ մմ:

7208-շառավղահենարանային միաշարք (4-րդ թիվը՝ 7), թերև (3-րդ թիվը՝ 2) սերիայի կոնական հոլովակներով առանցքակալ՝ պատրաստման 0-ական աստիճանի ճշտությամբ, ներքին տրամագիծը՝ $d = 40$ մմ:

8106-Ծ-հենարանային միաշարք (4-րդ թիվը՝ 8), հատուկ թերև (3-րդ թիվը՝ 1) սերիայի գնդառանցքակալ, ներքին տրամագիծը՝ $d = 30$ մմ, զատիչը՝ պատրաստված ցեմենտացված պողպատից (Ծ):

38207-երկարք (5-րդ թիվը՝ 3), հենարանային (4-րդ թիվը՝ 8), թերև (3-րդ թիվը՝ 2) սերիայի գնդառանցքակալ՝ պատրաստման 0-ական աստիճանի ճշտությամբ, ներքին տրամագիծը՝ $d = 35$ մմ:

6-9103-հենարանային միաշարք (4-րդ թիվը՝ 9), առանձնակի թերև (3-րդ թիվը՝ 1) սերիայի հոլովակներով առանցքակալ՝ պատրաստման 6-րդ աստիճանի ճշտությամբ, ներքին տրամագիծը՝ $d = 17$ մմ (վերջին երկու թվերը՝ 03):

Գլորման առանցքակալների քայլայման տեսակները և աշխատունակության չափանիշները

- Առանցքակալների քայլայման հիմնական տեսակը դրանց աշխատանքային կցվող մակերևույթների հոգմածային մաշումն է անկախ յուղման և անվտանգության պահպանման պայմաններից:
- Դարվածային կամ ստատիկ գերբեռնվածքներից հպվող մակերևույթները ենթարկվում են տրորման դեֆորմացիաների:
- Բացակների անբավարար յուղման կամ ոչ ճիշտ հավաքման դեպքում կցվող մակերևույթները ենթարկվում են քերծման:
- Վատ յուղման և հերմետիկության դեպքում առաջանում է հըդկանաշում:
- Արագընթաց առանցքակալների մոտ արտակենտրոն ուժերից առաջանում է զատիչի, օղակների և գլորվող մարմինների քայլայում:

Այսպիսով, գլորման առանցքակալների աշխատունակության հիմնական չափանիշները երկարակեցությունը և ստատիկ թեռնունա-

կուրեյունն են (համապատասխանաբար ըստ հոգնածային փշրամաշման և պլաստիկ դեֆորմացիաների):

3.3.3. Գլորման առանցքակալների հաշվարկը և ընտրությունն ըստ ստատիկ բեռնունակության

Ըստ ԳՈՍՏ 18854-82-ի՝ սահմանվում են գլորման առանցքակալների բազային ստատիկ բեռնունակության և համարժեք ստատիկ բեռնվածքի հաշվարկի մեթոդներ, երբ առանցքակալների օղակների պտտման հաճախությունը $n \leq 1$ պտ./րոպե:

Գլորման առանցքակալների ընտրությունը կատարվում է ըստ լիսեռների հաշվարկային տրամագծերի (d') և բազային ստատիկ բեռնունակության մեծության (C_0). Վերջինս ընդունվում է առանցքակալների կատալոգներից:

Գլորման առանցքակալների ընտրության ժամանակ շառավիղային և շառավիղահենարանային առանցքակալների համար անհրաժեշտ է պահպանել հետևյալ պայմանը՝

$$P_{or} < C_{or}, \text{ և,}$$

իսկ հենարանաշառավիղային և հենարանային առանցքակալների համար հետևյալ պայմանը՝

$$P_{or} < C_{or}, \text{ և,}$$

որտեղ՝ P_{or} -ը և P_{or} -ն համապատասխանաբար համարժեք ստատիկ շառավիղային և առանցքային բեռնվածքներն են, որոնց ազդեցությունից առաջանում են նույնպիսի ընդհանուր, մնացորդային դեֆորմացիաներ, ինչպիսին բեռնման իրական պայմանների դեպքում առաջանում են գլորման մարմնի ու օղակների հպման առավել բեռնված գոտում, C_0 -ն և C_{or} -ն՝ համապատասխանաբար բազային ստատիկ շառավիղային և առանցքային բեռնունակությունները, այսինքն՝ այն ստատիկ շառավիղային ու առանցքային բեռնվածքները, որոնց համապատասխանում է գլորման մարմնի օղակների ընդհանուր դեֆորմացիան, որը հավասար է գլորման մարմնի տրամագծի 0,0001 մասին:

Համարժեք ստատիկ բեռնվածքի մեծությունը որոշվում է առյուսակ 6-ում ներկայացված բանաձևների համաձայն:

Այուսակ 6

Գլորման առանցքակալների համարժեք ստատիկ բեռնվածքները

Առանցքակալների տեսակները	Համարժեք ստատիկ բեռնվածքը, Ն
Գնդիկավոր կամ հոլովակավոր շառավի- դային առանցքակալներ Գնդիկավոր կամ հոլովակավոր շառավի- դահենարանային առանցքակալներ	Եթե $\alpha = 0^0$, ապա $P_{or} = F_r$, $P_{or} = X_0 \cdot F_r + y_0 \cdot F_a$
Գնդիկավոր կամ հոլովակավոր հենարա- նային առանցքակալներ Գնդիկավոր կամ հոլովակավոր հենարա- նաշառավիդային առանցքակալներ	Եթե $\alpha = 90^0$, ապա $P_{oa} = F_a$, $P_{oa} = F_a + 2,3 \cdot F_r \cdot \tan \alpha$

Նշված բանաձևերում X_0 -ն շառավիդային բեռնվածքի բերված գործակիցն է, y_0 -ն՝ առանցքային բեռնվածքի բերված գործակիցը, F_r -ը՝ մեծությամբ և ուղղությամբ հաստատուն շառավիդային բեռնվածքը, որը որոշվում է հենարաններում հակագրումների հաշվարկի ժամանակ, $F_r = R$, Ն, F_a -ն՝ մեծությամբ և ուղղությամբ հաստատուն առանցքային բեռնվածքը, որը որոշվում է կառչման մեջ առաջացած ուժերի հաշվարկի ժամանակ, Ն:

Հենարանաշառավիդային գնդիկավոր և հոլովակավոր առանցքակալների համար պետք է ապահովել $F_r / F_a \cdot \cos \alpha > 0,44$ պայմանը, հակառակ դեպքում դրանք չեն կարող օգտագործվել:

Խ₀ և y_0 գործակիցների մեծություններն ընտրվում են ստանդարտով նախատեսված այուսակներից:

3.3.4. Գլորման առանցքակալների հաշվարկը և ընտրությունն ըստ դիմամիկ բեռնունակության

Ըստ ԳՈՍ 18855-82-ի՝ սահմանվում են բազային դիմամիկ բեռնունակության և երկարակեցության հաշվարկի մեթոդներ, երբ առանցքակալների օղակների պատճնան հաճախությունը $n > 10$ պտ./րոպե է: Տվյալ դեպքում առաջարկվում է առանցքակալների ընտրության երկու եղանակ:

Առաջին եղանակը կիրառվում է այն դեպքում, երբ առանցքակալներն ընտրվում են ըստ կառուցվածքային նշանակումների և նստեցվածքային տրամագծի. հաշվարկների միջոցով ստուգվում են

դրանց երկարակեցությունը, աշխատանքի տևողությունը և այլն: Այս եղանակը մեթոդապես անկատար է և չի կիրառվում «Մեքենաների մասեր» առարկայից կուրսային նախագծեր կատարելու ժամանակ: Այն կարելի է կիրառել, եթե անհրաժեշտ է առանցքակալներն ընտրել ըստ կառուցվածքային սկզբունքների:

Երկրորդ եղանակը կիրառվում է այն դեպքում, եթե առանցքակալներն ընտրվում են ըստ դինամիկ բեռնունակության և լիսեռի տրամագծի մեջության:

Օրինակ, եթե հենարանների վրա ագրում են շառավիղային և առանցքային ուժեր, ըստ լիսեռի (d') տրամագծի՝ առանցքակալների կատալոգից ընտրվում է առանցքակալի տիպաչափը, որը համապատասխանում է միջին կամ լայն, թերև սերիային:

Ընտրված առանցքակալի համար դուրս են գրվում ստատիկ և դինամիկ բեռնունակությունների՝ $C_{r,w}$ -ի և $C_{o,r}$ -ի ստանդարտով նախատեսված այուսակային արժեքները:

Ամբողջ հաշվարկը կատարվում է ընտրության պայմանը բավարարելու նպատակով՝

$$C_r \leq C_{r,w}, \quad C_\alpha \leq C_{\alpha,w}, \quad Ն,$$

որտեղ՝ C_r -ը և C_α -ն շառավիղային, շառավիղահենարանային և հենարանային առանցքակալների համապատասխանաբար բազային դինամիկ շառավիղային ու առանցքային բեռնունակություններն են, այսինքն՝ հաստատուն շառավիղային և առանցքային բեռնվածքները, որոնց դեպքում առանցքակալները կարող են դինամալ հաշվարկային ժամկետի (ներքին օղակի 1 մլն պտույտի) ընթացքում, իսկ $C_{r,w}$ -ն և $C_{\alpha,w}$ -ն՝ համապատասխանաբար շառավիղային և առանցքային դինամիկ (ստանդարտով նախատեսված այուսակային) արժեքները:

Բազային դինամիկ բեռնունակություննը և առանցքակալի երկարակեցությունը մինյանց կապված են հետևյալ կախվածությամբ՝

$$L_{10} = \left(\frac{C_r}{P_r} \right)^p, \quad մլն.պտ.$$

$$\text{Կամ } L_h = \frac{10^3}{60 \cdot n} \left(\frac{C_r}{P_r} \right)^p, \quad \text{Ժամ:}$$

Նշված կախվածությունները ճիշտ են նաև հենարանային առանցքակալների համար՝

$$L_h = \frac{10^6}{60 \cdot n} \cdot \left(\frac{C_a}{P_a} \right)^p, \text{ ժամ},$$

որտեղ՝ L_{10} -ն առանցքակալի բազային երկարակեցությունն է, այսինքն՝ աշխատանքի հաշվարկային ժամկետը (պտույտների թվով), որի ընթացքում տվյալ խմբի 90 % -ից ոչ պակաս առանցքակալներ միևնույն պայմաններում պետք է աշխատեն այնքան ժամանակ, քանի դեռ մետաղի հոգնածության նշաններ չեն նկատվում, L_h -ը՝ առանցքակալի բազային երկարակեցությունը. ընդհանուր նշանակության ռեդուկտորների համար $L_h = 2500 \div 15000$ ժամ, p -ն՝ աստիճանացույցը երկարակեցության բանաձևերում. գնդառանցքակալների համար $p = 3$, իսկ հոլովակավոր առանցքակալների համար $p = 10/3$, P_r -ը և P_a -ն՝ շառավիղային, շառավիղահենարանային և հենարանային առանցքակալների համապատասխանաբար համարժեք դինամիկ շառավիղային ու առանցքային բեռնվածքները, որոնց կցումը պտտվող ներքին և անշարժ արտաքին օղակներով առանցքակալին ապահովում է աշխատանքային այնպիսի ժամկետ, ինչպիսին իրական բեռնվածության ու պտտման դեպքում է:

Համարժեք դինամիկ շառավիղային և առանցքային բեռնվածքները հաշվարկվում են հետևյալ բանաձևերով՝

- շառավիղային գնդիկավոր և հոլովակավոր առանցքակալների համար՝

$$P_r = V \cdot F_r \cdot K_w \cdot K_2, \text{ Ն,}$$

- շառավիղահենարանային գնդիկավոր և հոլովակավոր առանցքակալների համար՝

$$P_r = (V \cdot x \cdot F_r + y \cdot F_a') \cdot K_w \cdot K_2, \text{ Ն,}$$

- հենարանային առանցքակալների համար՝

$$P_a = F_a \cdot K_w \cdot K_2, \text{ Ն,}$$

որտեղ՝ V -ն առանցքակալի օղակի պտտման գործակիցն է. ներքին պտտվող օղակի դեպքում $V = 1,0$, արտաքին պտտվող օղակի դեպքում $V = 1,2$, F_r -ը՝ մեծությամբ և ուղղությամբ հաստատում շառավիղային բեռնվածքն առավել բեռնավորված հենարանի համար, F_a -ն (F'_a և $F'_{a(i+1)}$)՝ հենարաններում մեծությամբ ու ուղղությամբ հաստատում գումարային առանցքային բեռնվածքը, x -ը և y -ը՝ համապատասխանաբար շառավիղային և առանց-

բային բեռնվածքների գործակիցները, K_{ω} -ն՝ անվտանգության գործակիցը, որը ցույց է տալիս դինամիկ բեռնվածքների ազդեցության աստիճանն առանցքակալի երկարակեցության վրա. հանգիստ բեռնվածքի դեպքում $K_{\omega}=1,0$, չափավոր հրումների դեպքում $K_{\omega}=1,3 \div 1,8$, հարվածային բեռնվածքի դեպքում $K_{\omega}=2 \div 3$, K_{ϱ} -ն՝ ջերմաստիճանային գործակիցը, որը ցույց է տալիս ջերմաստիճանի բարձրացման ազդեցության աստիճանը առանցքակալի երկարակեցության վրա՝

$$t^0, C_{\varrho} \cdot 100^\circ, 125^\circ, 150^\circ, 175^\circ, 200^\circ, 250^\circ,$$

$$K_{\varrho} = 1,0, 1,05, 1,1, 1,15, 1,25, 1,4:$$

Շառավիղահենարանային առանցքակալի վրա ազդող F'_a առանցքային գումարային հակագործումը որոշվում է F_a առանցքային ուժով և առանցքային S բաղադրիչով, որն առաջանում է շառավիղային ուժից:

Գնդառանցքակալների համար

$$S = e \cdot F'_r, N,$$

կոնական հոլովակավոր առանցքակալների համար՝

$$S = 0,83 \cdot e \cdot F'_r, N;$$

Յենարաններում F'_a և $F'_{a(i+1)}$ գումարային առանցքային հակագործումները որոշվում են ըստ առանցքակալների փոխադարձ դասավորության համաձայն արտաքին ուժերի ազդեցության սխեմայի:

Այսուսակ 7-ում ներկայացված են շառավիղահենարանային գընդիկավոր ու հոլովակավոր առանցքակալների տեղակայման երկու տարրերակներ, այն է՝ ըստ ընդարձակման և ըստ ձգման:

Նշված բանաձևերում ե օժանդակ գործակից արժեքները որոշվում են ըստ F'_a/C_{or} հարաբերության: Գումարային առանցքային F'_a հակագործումը որոշվում է օ-ի միջոցով, ինչը ստեղծում է անորոշություն, որից խուսափելու նպատակով թույլատրվում է $F'_{a(i)}$ -ն փոխարինել F_a -ով, այսինքն՝ որոշել F_a/C_{or} հարաբերության արժեքը:

Առանցքակալի ստատիկ C_{or} բեռնունակությունն ընդունվում է առանցքակալների կատալոգներից (միջին սերիայի)՝ ըստ լիսերի համապատասխան ձև տրամադրի:

Խ-ի և յ-ի արժեքներն ընտրվում են ստանդարտով նախատեսված այսուսակներից՝ ըստ առանցքակալների տեսակների՝ համաձայն օ-ի և ի-ի արժեքների, որոնցում ի-ն առանցքակալների գլորման մարմինների շարքերի թիվն է:

Առանցքակալների տեղակայումը

Տեղակայման սխեմաներ	Ուժերի հարաբերակցությունը	Առանցքային գումարային բեռնվածքը
<p>Ըստ ընդարձակման</p>	$S_1 \geq S_2$ $F_\alpha > 0$ $S_1 < S_2$ $F_\alpha > S_2 - S_1$	$F'_{\alpha 1} = S_1$ $F'_{\alpha 2} = S_1 + F_\alpha$
<p>Ըստ ձգման</p>	$S_1 \leq S_2$ $F_\alpha \leq S_2 - S_1$	$F'_{\alpha 1} = S_2 - F_\alpha$ $F'_{\alpha 2} = S_2$

x և y գործակիցներն ընտրելիս անհրաժեշտ է հաշվի առնել հետևյալը՝

- եթե $i \cdot F'_\alpha / v \cdot F'_r \leq e$, ապա $x = 1$, $y = 0$, իսկ շառավիղահենարանային առանցքակալի փոխարեն ընտրվում է շառավիղային առանցքակալ,
- եթե $i \cdot F'_\alpha / v \cdot F'_r > e$, ապա x -ի և y -ի արժեքներն ընտրվում են ստանդարտով նախատեսված այլուսակներից՝ ըստ e -ի արժեքի:

Առավել բեռնավորված հենարանի համար հաշվարկվող համարժեք դինամիկ բեռնվածքի P (P_r կամ P_α) արժեքի հիման վրա որոշվում է անհրաժեշտ հաշվարկային բազային դինամիկ բեռնունակության արժեքը:

Երկարակեցության բանաձևերը ձևափոխելու դեպքում ստացվում են հետևյալ արտահայտությունները՝

- շառավիղային և շառավիղահենարանային առանցքակալների համար՝

$$\frac{C_r}{P_r} = \sqrt[p]{\frac{L_h \cdot 60 \cdot n}{10^6}},$$

- հենարանաշառավիդային և հենարանային առանցքակալների համար՝

$$\frac{C_a}{P_a} = \sqrt[p]{\frac{L_h \cdot 60 \cdot n}{10^6}};$$

Արտահայտությունների արնատները K-ով նշանակելու դեպքում ստացվում են

$$C_r = K \cdot P_r, \quad C_a = K \cdot P_a, \quad Ն,$$

որտեղ K-ն բազային դինամիկ բեռնունակության գործակիցն է ըստ համարժեք դինամիկ շառավիդային կամ առանցքային բեռնը-վածքի, որը կախված է առանցքակալի երկարակեցությունից (L_h), առանցքակալի շարժվող օղակի պտտման հաճախությունից (n) և ընտրվում է ստանդարտով նախատեսված այուսակ-ներից:

Առանցքակալի տիպաչափի վերջնական ընտրությունը կատար-վում է տարբեր սերիաների հիման վրա՝ ըստ լիսեռի տրամագծի (d'_e) և դինամիկ բեռնունակությունների (C_r և C_a)՝ համաձայն ընտրության պայմանի ապահովման՝

$$C_r \leq C_{r,w}, \quad C_a \leq C_{a,w}, \quad Ն:$$

Ծանոթություն: Եթե լիսեռի պտտման հաճախությունը կազմում է $1 < n < 10$ պտ./րոպե, ապա K գործակից ընտրության ժամանակ առանցքակալի շարժվող օղակի պտտման հաճախականությունը (n) ընդունվում է 10 պտ./րոպե:

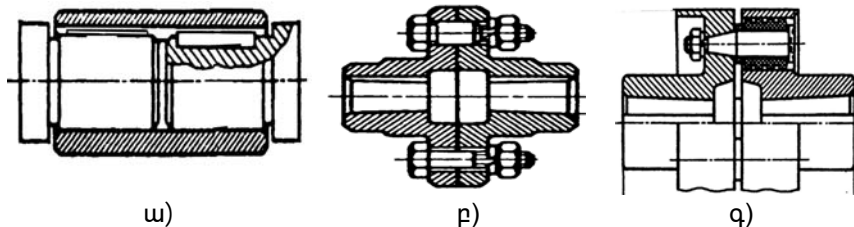
3.4. Մեխանիկական կցորդիչներ

3.4.1. Դիմնական տեղեկություններ

Մեխանիկական կցորդիչները սարքավորումներ են, որոնք նա-խատեսված են լիսեռներ կամ այլ մեքենամասեր միմյանց միացնելու համար: Որոշ տեսակի կցորդիչներ օգտագործվում են տատանումները և հարվածները կլանելու կամ անհրաժեշտության ու գերբեռնվածու-թյան դեպքում մեքենայի աշխատանքն անջատելու համար (առանց շարժիչը կանգնացնելու):

Մեխանիկական կցորդիչները լինում են՝

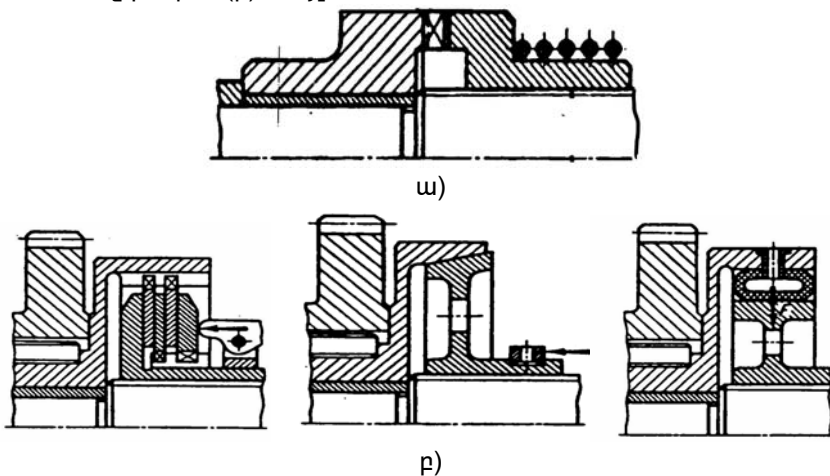
- **Դաստատում** (նկ. 56), որոնք չեն անջատում պտտական շար-ժումն աշխատանքի ընթացքում: Դրանցից են կոշտ վրանա-



Նկ. 56. Չաստատում կցորդիչների տեսակները.

ա) Վրանային, բ) կցաշուրթային, գ) մատնավրանային:

- **Կցվածքային** (Նկ. 57), որոնք, աշխատանքի կամ դադարի ժամանակ կցվելով կամ արտակցվելով, անջատում են լիսեռների միացումը: Դրանք իրենց հերթին լինում են բռնցքային (ա), շփական (բ) և այլն:

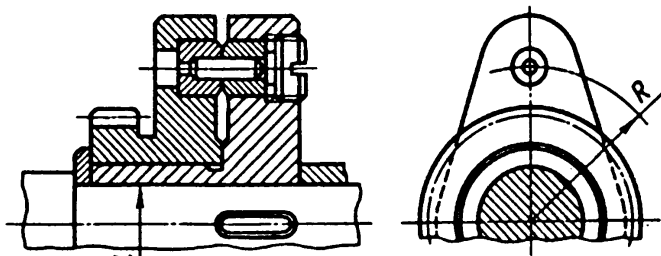


Նկ. 57. Կցվածքային կցորդիչների տեսակները.

ա) բռունցքային, բ) շփական:

- **Չառուկ** (Նկ. 58), որոնք նախատեսված են շահագործման համապատասխան պայմանների դեպքում ավտոմատ սկզբունքով միացված լիսեռներն անջատելու (պտտական շարժման

հաղորդումն ընդհատելու) համար: Այս սկզբունքն օգտագործվում է հատկապես այն դեպքում, երբ աշխատանքի ընթացքում առաջանում է անսպասելի գերբեռնվածք: Հատուկ կցորդիչներից են ապահովիչային, կենտրոնախույս, ազատ ընթացքով, շփական և այլ կցորդիչները:



Նկ. 58. Հատուկ ապահովիչային կցորդիչներ:

Մեխանիկական կցորդիչների ընտրությունը կատարվում է հետևյալ սկզբունքով.

- Համաձայն շահագործման պայմանների և կցորդիչին ներկայացվող պահանջների՝ ընտրվում է կցորդիչի տեսակը:
- Որոշվում է կցորդիչով հաղորդվող հաշվարկային (աշխատանքային) ոլորող մոմենտը՝

$$T_{h,n} = K \cdot T_n ,$$

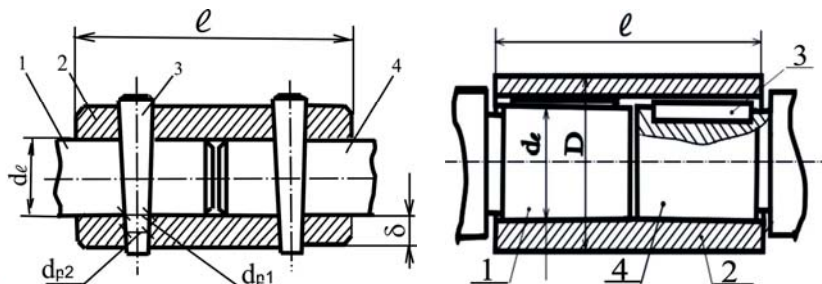
որտեղ՝ K -ն կցորդիչի աշխատանքային ռեժիմի գործակիցն է ըստ մեքենայի տեսակի, $K=1,15\div 4$, իսկ T_n -ը՝ լիսերի վրա առաջացած ոլորող անվանական (հոմիալինեայ) մոմենտը, $T_n = P/w$:

- Ըստ ստացված հաշվարկային ոլորող մոմենտի՝ ստանդարտով նախատեսված աղյուսակներից ընտրվում է կցորդիչի տիպաչափը՝ համաձայն միացվող լիսեռների ծայրերի տրամագծերի արժեքների (տվյալ տիպաչափի կցորդիչների կիսակցորդիչներն արտադրվում են ըստ անցքերի տրամագծերի չափերի որոշակի տիրույթի):
- Ընտրված կցորդիչների հիմնական տարրերը ստուգվում են ըստ ամրության:

Ծանոթություն: Նոր նախագծվող կցորդիչների տիպը մշակվում է համաձայն աշխատանքային սկզբունքի, իսկ աշխատանքային տարրերի չափերը որոշվում են ըստ ամրության պայմանների:

Անրի հաշվարկը

Կոշտ վրանային կցորդիչները լիսեռների ծայրերի վրա անշարժ նստեցված վրաններ են (նկ. 59): Պտտական շարժումը լիսեռից վրանին և հակառակը իրականացվում է երիթների, կոնական բույթերի (օձեղօձն), տեղադրվող պտուտակների և այլ տարրերի միջոցով: Վրանները պատրաստվում են 45 մակնիշի պողպատից կամ գորշ բութից (համեմատաբար փոքր բեռնվածքների համար):



Նկ. 59. Կոշտ վրանային կցորդիչների հաշվարկային սխեմաներ:

Կոշտ վրանային կցորդիչներն օգտագործվում են փոքր և միջին բեռնվածքների ու արագությունների դեպքում, տեղադրվում են սահմանափակ ($d_e < 100$ մմ) տրամագծեր ունեցող լիսեռների վրա, պահանջում են խիստ համառանցքայնության ապահովում:

Նախագծվող կոշտ վրանային կցորդիչները կարող են ունենալ չափերի հետևյալ հարաբերությունները՝

- վրանի երկարությունը՝ $\ell = (3,5 \div 4) \cdot d_e$,
- վրանի պատի հաստությունը՝ $\delta > 0,3 \cdot d_e$ կամ վրանի արտաքին տրամագիծը՝ $D = 1,5 \cdot d_e$,
- բույթերի տրամագծերը՝ $d_p = (0,25 \div 0,3) \cdot d_e$:

Կոշտ վրանային կցորդիչի աշխատանքային տարրերը ստուգվում են համաձայն առաջացած դեֆորմացիաների:

Օրինակ՝ բույթերը ստուգվում են ըստ կտրման ամրության պայմանի՝

$$\tau_u = \frac{8 \cdot T_{h,n}}{\pi d_p^2 \cdot d_e \cdot z} \leq [\tau]_u,$$

որտեղ՝ z -ը բույթերի թիվն է, իսկ $[\tau]_u$ -ն թույլատրելի կտրման լարումը,

$$[\tau]_u = 40, \text{ Ն/մմ}^2:$$

Անհրաժեշտության դեպքում ստուգվում է նաև տրորման ամրության պայմանը՝

$$\sigma_{\text{ս}} = \frac{2 \cdot T_{\text{հ.ն}}}{d_e \cdot d_p \cdot \delta \cdot z} \leq [\sigma]_{\text{ս}},$$

որտեղ $[\sigma]_{\text{ս}}$ -ն բույլատրելի տրորման լարումն է, $[\sigma]_{\text{ս}} = 120 \div 200$, Ն/մ²:

Նշված ամրության պայմաններից կարելի է որոշել բույրի տրամագիծը (d_p) կամ բույրերի քանակը (z):

3.4.3. Կոշտ կցաշուրթային կցորդիչների հաշվարկը

Կոշտ կցաշուրթային կցորդիչները կազմված են երկու կիսակըցորդիչներից, որոնք համարանցք լիսեռների վրա տեղադրվում են փոխանցիկ նստեցվածքներով (նկ. 60): Դրանք արտադրվում են երկու կատարմամբ (կոնական ու գլանային անցքերով) և պատրաստվում են 40, 35-ը մակնիշների պողպատից կամ $\tilde{N} \times 21$ մակնիշի գորշ բուշից (փոքր արագությունների դեպքում): Կիսակցորդիչների միացումը ձգվում է 35 մակնիշի պողպատից պատրաստված հեղուսների և պնդողակների միջոցով:

Կոշտ կցաշուրթային կցորդիչներն օգտագործվում են մինչև $T_n < 20$ կմ/ս ոլորտող մոմենտներ հաղորդելու և լիսեռների մինչև $d < 250$ մմ տրամագծեր միացնելու համար:

Ստանդարտացված կցորդիչների ընտրությունից հետո կատարվում են աշխատանքային տարրերի ստուգման հաշվարկներ:

Հեղուսները տեղադրվում են՝

- **Առանց բացակի** (նկ. 60, դիրք 1), եթե հեղուսնային միացումները հավաքվում են ոչ մեծ ձգման մոմենտով, քանի որ հեղուսնի տեղադրման պատճառով կիսակցորդիչներն իրար նըկատմամբ անշարժ են: Արդյունքում հեղուսները ենթարկվում են՝
- կտրման դեֆորմացիայի. կտրման ամրության պայմանը՝

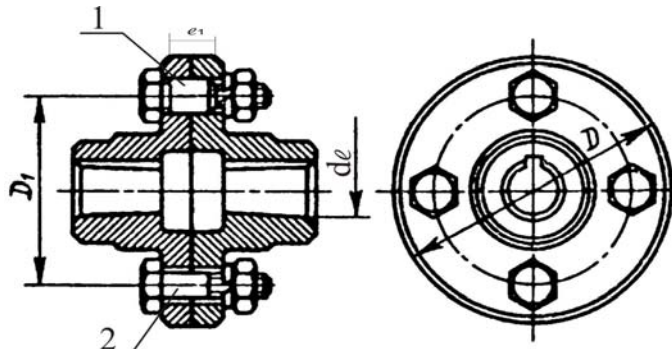
$$\tau_{\text{կ}} = \frac{8 \cdot T_{\text{հ.ն}}}{\pi \cdot d^2 \cdot D_1 \cdot z} \leq [\tau]_{\text{կ}},$$

- տրորման դեֆորմացիայի. տրորման ամրության պայմանը՝

$$\sigma_{\text{ս}} = \frac{2 \cdot T_{\text{հ.ն}}}{\ell_1 \cdot d \cdot D_1 \cdot z} \leq [\sigma]_{\text{ս}},$$

որտեղ՝ d -ն հեղուսնի արտաքին տրամագիծն է, մմ, z -ը՝ հեղուսների

թիվը, $[\tau]_t$ -ն՝ թույլատրելի կտրման լարումը, $[\tau]_t = 60 \div 90$, Ն/մմ^2 , $[\sigma]_{th}$ -ն՝ թույլատրելի տրորման լարումը, $[\sigma]_{th} = 120 \div 200$, Ն/մմ^2 , D_1 -ը՝ հեղույսների միջառանցքային հեռավորությունը, մմ, ℓ_1 -ը՝ կցաշուրբի լայնությունը, մմ:



Նկ. 60. Կոշտ կցաշուրբային կցորդիչի հաշվարկային սխեմա:

- **Բացակով** (Նկ. 60, դիրք 2), երբ կիսակցորդիչների հարաբերական անշարժությունն ապահովելու նպատակով հեղույսային միացումը ձգվում է անհրաժեշտ և բավարար ձգման մոմենտով: Արդյունքում հեղույսները ենթարկվում են ձգման դեֆորմացիայի:

Հակառակ դեպքում կիսակցորդիչները տեղաշարժվում են, ինչի հետևանքով բացակը վերանում է և առաջանում են կտրման և տրորման դեֆորմացիաներ:

Ձգման ամրության պայմանն է

$$\sigma_d = \frac{4 \cdot F_d}{\pi \cdot d_1^2} \leq [\sigma]_d ,$$

որտեղ մեկ հեղույսում առաջացած առանցքային ձգող ուժը կազմում է

$$F_d = \frac{F_t}{f} = \frac{2 \cdot T_{h,n}}{D_1 \cdot f \cdot z} :$$

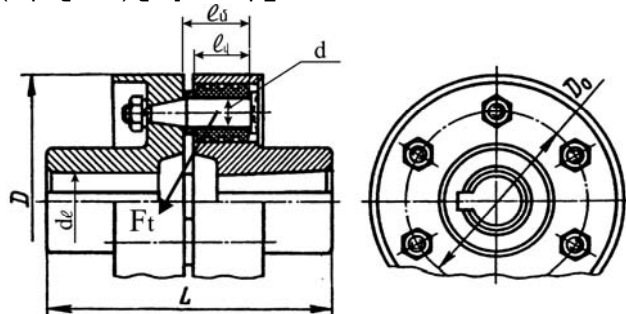
Այսպիսով՝

$$\sigma_d = \frac{8 \cdot T_{h,n}}{\pi \cdot d_1^2 \cdot D_1 \cdot f \cdot z} \leq [\sigma]_d = 80 \div 120 , \text{ Ն/մմ}^2 ,$$

որտեղ f -ը շփման գործակիցն է, $f = 0,1 \div 0,2$:

3.4.4. ճկուն մատնավրանային կցորդիչների հաշվարկը

ճկուն մատնավրանային կցորդիչները կազմված են երկու կիսակցորդիչներից, որոնցից մեկի կոնական անցքի մեջ տեղադրված են ճկուն վրանային տարրերով հեղույսներ (նկ. 61): Այս կցորդիչներն օգտագործվում են տարրեր բեռնվածքների և արագությունների դեպքում ($T_n < 35$ կՆմ, լիսեռների ծայրերի տրամագծերը՝ $d < 300$ մմ): ճկուն վրաների դեֆորմացիայի շնորհիվ դրանք մեղմացնում են տատանումներն ու հարվածները և կոնվենսացնում շառավիղային ($\delta < 0,6$ մմ) ու անկյունային (մինչև 1°) շեղումները:



Նկ. 61. ճկուն մատնավրանային կցորդիչի հաշվարկային սխեմա:

Կիսակցորդիչները պատրաստվում են միջին ածխածնային պողպատից կամ գորշ բուրժից, իսկ ճկուն վրանները՝ հատուկ տեխնիկական ռետինից:

Շեղույսները ստուգվում են ըստ ծռման ամրության՝

$$\sigma_{\delta} = \frac{M_{\delta}}{W_{\delta}} \leq [\sigma]_b :$$

Վտանգավոր կտրվածքի նկատմամբ ծռող մոմենտը կազմում է

$$M_{\delta} = F'_t \cdot \ell_{\delta} / 2 ,$$

որտեղ՝ ℓ_{δ} -ն վրանի երկարությունն է, F'_t -ն՝ մեկ հեղույսի վրա ազդող

$$\text{ծռող, շրջագծային ուժը, } F'_t = \frac{F_t}{z} = \frac{2 \cdot T_{h,n}}{D_0 \cdot z} , \text{ և:}$$

Շեղույսի կլոր կտրվածքի ծռման դիմադրության մոմենտը կազմում է

$$W_{\delta} = \frac{\pi \cdot d^3}{32} \approx 0,1 \cdot d^3 , \text{ մմ}^3 :$$

M_{δ} -ի և W_{δ} -ի արժեքներն ամրության պայմանի մեջ տեղադրելու

դեպքում ստացվում է

$$\sigma_{\delta} = \frac{T_{h,n} \cdot \ell_{\psi}}{0,1 \cdot d^3 \cdot D_0 \cdot z} \leq [\sigma]_{\delta},$$

որտեղ $[\sigma]_{\delta}$ -ն հեղուսյների թույլատրելի ծովան լարումն է, $[\sigma]_{\delta} = 80 \div 90$, N/mm^2 :

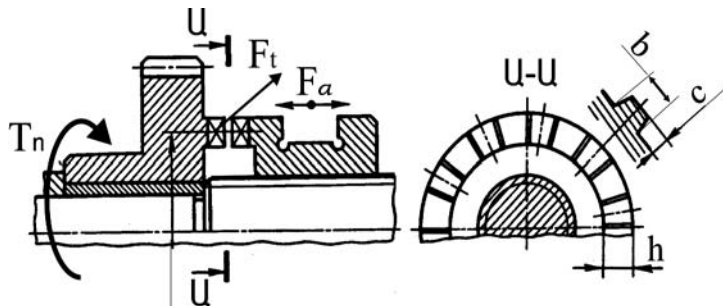
Ուժինե վրանները ստուգվում են ըստ տրորման՝

$$\sigma_{in} = \frac{2 \cdot T_{h,n}}{d \cdot \ell_{\psi} \cdot D_0 \cdot z} \leq [\sigma]_{in},$$

որտեղ $[\sigma]_{in}$ -ն ռետինե վրանի թույլատրելի տրորման լարումն է, $[\sigma]_{in} = 1,8 \div 2,0$, N/mm^2 .

3.4.5. Բռնցքային կցվածքային կցորդիչների հաշվարկը

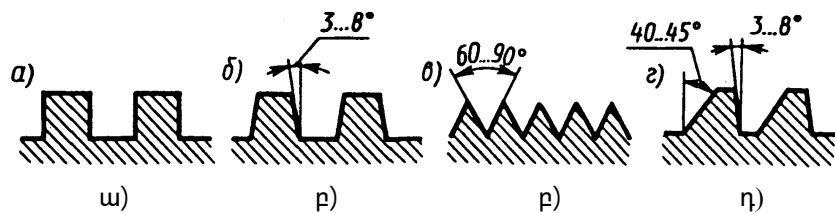
Բռնցքային կցվածքային կցորդիչները կազմված են երկու կիսակցորդիչներից. տանող կիսակցորդիչն անշարժ միացված է լիսերին, իսկ տարվող կիսակցորդիչը շարժական է և տեղաշարժվում է առանցքային ուղղությամբ (նկ. 62):



Նկ. 62. Բռնցքային կցվածքային կցորդիչի հաշվարկային սխեմա:

Բռնցքային կցվածքային կցորդիչների աշխատանքային տարրերը բռունցքներն են, որոնք արտադրվում են ուղիղ, սեղանաձև, եռանկյունաձև և հենարանային պրոֆիլներով (նկ. 63):

Ուղիղ պրոֆիլով բռունցքների դեպքում չեն առաջանում կիսակցորդիչներն անջատող F_a առանցքային ուժեր (ի տարբերություն մյուս պրոֆիլների), ինչի հետևանքով հպման աճելունը սեղանաձև և հենարանային պրոֆիլներով բռունցքների մոտ լինում է համեմատաբար փոքը:



Նկ. 63. Բռունցքների պրոֆիլները.

ա) ուղղանկյուն, բ) սեղանած, ը) եռանկյունած, դ) հեմարանային:

Կցորդիչների բռունցքները պետք է լինեն մաշակայուն և լավ դիմանան հարվածային բեռնվածքներին: Ուստի կցորդիչները պատրաստվում են 20, 15, 20, 20 (հետագա ցեմենտացումով) և 40, 30 (մխման ջերմամշակումով) մակնիշների պողպատից:

Բռնցքային կցվածքային կցորդիչներն օգտագործվում են ցածըր և միջին արագությունների դեպքում: Կիսակցորդիչների արագությունների տարրերությունը միացման ժամանակ չպետք է գերազանցի 1,0 մ/վրկ-հց:

Մաշակայունության պայմանն է

$$p = \frac{F'_t}{A} \leq [p],$$

որտեղ՝ F'_t -ը մեկ բռունցքի միջոցով հաղորդվող շրջագծային ուժն է,

$$F'_t = \frac{2 \cdot T_{h,n}}{D \cdot \frac{2}{3} \cdot z}, \quad D -ն՝ բռունցքների միջև եղած հեռավորությունը$$

(տրամագիծը), մմ, $\frac{2}{3} \cdot z$ -ը՝ բեռնվածքի տակ գտնվող բռունցք-

ների թիվը, A -ն՝ մեկ բռունցքի ճնշման ենթարկվող մակերեսը,
 $A = h \cdot b$, մմ², b -ն՝ բռունցքի հաստությունը, h -ը՝ բռունցքի բարձրությունը:

Վերոհիշյալ արժեքները տեղադրելու դեպքում ստացվում է

$$p = \frac{3 \cdot T_{h,n}}{D \cdot z \cdot b \cdot h} \leq [p],$$

որտեղ $[p]$ -ն՝ ջերմամշակված բռունցքների բույլատրելի ճնշումն է,
 $[p] = 35 \div 70$, Ն/մ²:

Բռունցքները կարելի են ստուգել նաև ըստ ծռման և կտրման ամ-

բությունների:

Ծռման ամրության պայմանն է

$$\sigma_{\delta} = \frac{M_{\delta}}{W_{\delta}} = \frac{F'_t \cdot b}{\frac{h \cdot c^2}{6}} \leq [\sigma]_{\delta} :$$

Ըստ $F'_t = \frac{2 \cdot T_{h,n}}{D \cdot \frac{2}{3} \cdot z}$ արտահայտության՝ ստացվում է վերջնական

բանաձևը՝

$$\sigma_{\delta} = \frac{18 \cdot T_{h,n} \cdot b}{h \cdot c^2 \cdot D \cdot z} \leq [\sigma]_{\delta} :$$

Կտրման ամրության պայմանն է

$$\tau_{\eta} = \frac{F'_t}{A'} = \frac{2 \cdot T_{h,n}}{D \cdot c \cdot h \cdot \frac{2}{3} \cdot z} = \frac{3 \cdot T_{h,n}}{c \cdot h \cdot D_1 \cdot z} \leq [\tau]_{\eta} :$$

Բռնցքային կցորդիչների միացման և անջատման համար անհրաժեշտ առանցքային ուժը որոշվում է հետևյալ բանաձևով՝

$$F_a = \frac{2 \cdot T_{h,n}}{D} \left[f \cdot \frac{D}{d} \pm \operatorname{tg}(\alpha + \rho) \right],$$

որտեղ՝ f -ը շփման գործակիցն է, $f=0,08 \div 0,2$, α -ն՝ բռունցքների համանակյունը, ρ -ն՝ շփման անկյունը, «+» նշանը վերաբերում է կցորդիչի միացմանը, իսկ «-» նշանը՝ անջատմանը:

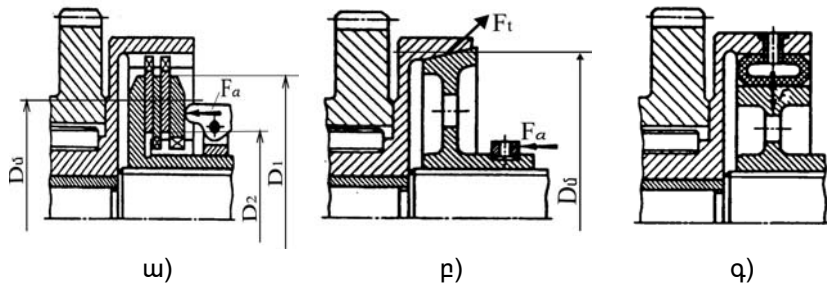
3.4.6. Ծփական կցվածքային կցորդիչների հաշվարկը

Ծփական կցվածքային կցորդիչները կազմված են երկու կիսակցորդիչներից. տանող կիսակցորդիչն անշարժ միացված է լիսերին, իսկ տարվող կիսակցորդիչը տեղաշարժվում է առանցքային ուղղությամբ: F_a առանցքային սեղմող ուժի փոփոխման դեպքում հնարավորություն է ստեղծվում տարբեր մեծության ոլորող մոմենտներ հաղորդելու համար: Աշխատանքային տարրերը կիսակցորդիչների ճակատային մակերևույթներն են, որոնք անհրաժեշտության դեպքում (մեծ բեռնվածք և արագություն հաղորդելիս) օգտագործվում են որպես վրադիրներ՝ պատրաստված բարձր շիման գործակից ունեցող հատուկ նյութերից (ֆերրադո կամ մետաղախեցեղեն):

Ծփական կցվածքային կցորդիչներն օգտագործվում են բեռնը-

վածքի դեպքում (աշխատանքի ընթացքում) լիսեռների միջև սահում շարժում հաղորդելու համար:

- Ծփական կցվածքային կցորդիչները լինում են՝
- ըստ աշխատանքային մակերևույթների ձևի՝ սկավառակային,
 - կոնական և գլանային (Նկ. 64),
 - ըստ յուղման պայմանների՝ յուղվող և չյուղվող:



Նկ. 64. Ծփական կցորդիչների տեսակները.

ա) սկավառակային, բ) կոնական, գ) գլանային:

Ծփական կցվածքային կցորդիչների աշխատանքային պայմանն ապահովում է, եթե

$$T_f \geq K_1 \cdot T_{h,n},$$

որտեղ՝ K_1 -ը կցման պաշարի գործակիցն է, $K_1=1,3 \div 1,5$, T_f -ը շփման ուժերից առաջացած պտտական մոմենտը, $T_f = F_a \cdot f \cdot R_d \cdot z$, $z \cdot n$ (F_a -ն սկավառակները սեղմող անհրաժեշտ առանցքային ուժն է, n , f -ը՝ շփման գործակիցը, $f=0,15 \div 0,4$, R_d -ը՝ սկավառակների շփվող մակերևույթների միջին շառավիղը, $R_d=(D_1+D_2)/4$, մն (D_1 -ը և D_2 -ը համապատասխանաբար սկավառակների արտաքին և ներքին տրամագծերն են), z -ը՝ շփվող մակերևույթների զույգերի թիվը, $z=n-1$, որտեղ n -ը սկավառակների ընդհանուր քանակն է):

Վերոհիշյալ արժեքներն աշխատանքային պայմանի մեջ տեղադրելու դեպքում ստացվում է

$$F_a \cdot f \cdot R_d \cdot z \geq K_1 \cdot T_{h,n},$$

ըստ որի՝ դուրս է բերվում անհրաժեշտ առանցքային սեղմող ուժի մեծությունը՝

$$F_a = \frac{K_1 \cdot T_{h,n}}{f \cdot R_d \cdot z} :$$

Անհրաժեշտության դեպքում ստուգվում է մաշակայունության պայմանը՝

$$p = \frac{F_a}{A} = \frac{4 \cdot F_a}{\pi \cdot (D_1^2 - D_2^2)} = \frac{4 \cdot K_1 \cdot T_{h,n}}{f \cdot R_d \cdot z \cdot \pi \cdot (D_1^2 - D_2^2)} \leq [p], \text{Ն/մմ}^2,$$

որտեղ թույլատրելի ճնշումը շահագործման չուղղվող պայմաններում կազմում է $[p] = 0,2 \div 0,3$, Ն/մմ^2 , իսկ յուղման պայմաններում՝ $[p] = 0,6 \div 1,0$ Ն/մմ^2 :

Համաձայն մաշակայունության պայմանի՝ ստացվում է անհրաժեշտ առանցքային սեղմող ուժի արտահայտությունը՝

$$F_a = \pi \cdot (D_1^2 - D_2^2) \cdot [p] / 4, \text{Ն:}$$

Ծփական կցվածքային կցորդիչներն անհրաժեշտության դեպքում օգտագործվում են նաև որպես ապահովիչային կցորդիչներ, ինչի համար սեղմող օղակի առանցքային ուժը վերակարգավորվում է ըստ համապատասխան սահմանային ոլորող մոմենտի մեծության:

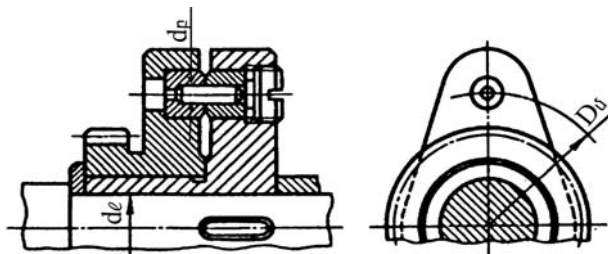
3.4.7. Ապահովիչային հատուկ կցորդիչների հաշվարկը

Ապահովիչային հատուկ կցորդիչները (նկ. 65) կազմված են երկու կիսակցորդիչներից, որոնք միացված են միաված վրամների մեջ տեղադրված հատուկ բուլացված բույթերի միջոցով:

Կիսակցորդիչները պատրաստվում են միջին ածխածնային, վրամները՝ $40X$ մակնիշի (միաված), իսկ բույթերը՝ 45 մակնիշի (առանց ջերմանցակնան) պողպատից:

Գերբեռնվածքի դեպքում պտտական շարժումն անջատելու նըլպատակով բույթերը կտրվում են: Շարժումը վերսկսելու համար տեղադրվում են նոր բույթեր:

Հաղորդվող աշխատանքային ոլորող մոմենտի դեպքում T_n հաշվարկային սահմանային ոլորող մոմենտն ընդունվում է $T_u = 1,25 \cdot T_n$:



Նկ. 65. Ապահովիչային հատուկ կցորդիչի հաշվարկային սխեմա:

Բույթերի կտրման ամրության պայմանն է

$$\tau_{\text{կ}} = \frac{F_t}{A_p} \leq [\tau]_{\text{կ}},$$

որտեղ F_t -ն շրջագծային ուժն է, $F_t = 1,25 \cdot \frac{2 \cdot T_n}{D_0} = \frac{2,5 \cdot T_n}{D_0}$, և, D_0 -ն՝ բույթերի միջև հեռավորությունը, $D_0 = 2 \cdot R$, մն:

Հոնք բույթերի կտրվածքի մակերեսը կազմում է

$$A_p = \frac{\pi \cdot d_p^2}{4}, \text{ մմ}^2,$$

միջանցիկ բույթերի կտրվածքի մակերեսը՝

$$A_p = \frac{\pi \cdot (d_p^2 - d_w^2)}{4},$$

որտեղ d_w -ն բույթում առկա անցքի տրամագիծն է:

Արժեքները տեղադրելու դեպքում հոնք բույթերի համար ստացվում է

$$\tau_{\text{կ}} = \frac{10 \cdot T_n}{D_0 \cdot z \cdot \pi \cdot d_p^2} \leq [\tau]_{\text{կ}}:$$

Վերջինիս համաձայն՝ որոշվում է բույթերի անհրաժեշտ տրամագիծը՝

$$d_p = \sqrt{\frac{10 \cdot T_n}{\pi \cdot D_0 \cdot z \cdot [\tau]_{\text{կ}}}} :$$

Միսկած բույթերի համար թույլատրելի կտրման լարումը կազմում է $[\tau]_{\text{կ}} = 400 \text{ Ն/մմ}^2$.

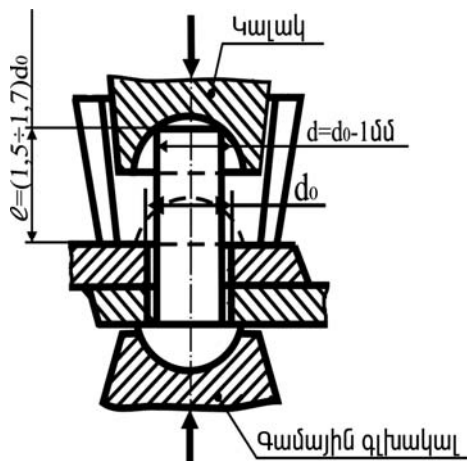
ԳԼՈՒԽ 4. ՄԻԱՑՈՒՄՆԵՐ ԵՎ ԴՐԱՆՑ ՄԵՔԵՆԱՍԱՍԵՐ

4.1. Գամային միացումներ

4.1.1. Շիմնական տեղեկություններ

Գամային միացումները մեքենանամասերի չքանդվող միացումներ են, որոնք իրականացվում են գամային կարերով և բաղկացած են միացվող մեքենանամասերից ու գամերից:

Գամային միացումները (նկ. 66) կատարվում են միացվող մեքենանամասերի համատեղ գայլիկոնունով և դրանց գամումով (ծեռքով կամ մեքենայացված եղանակներով):



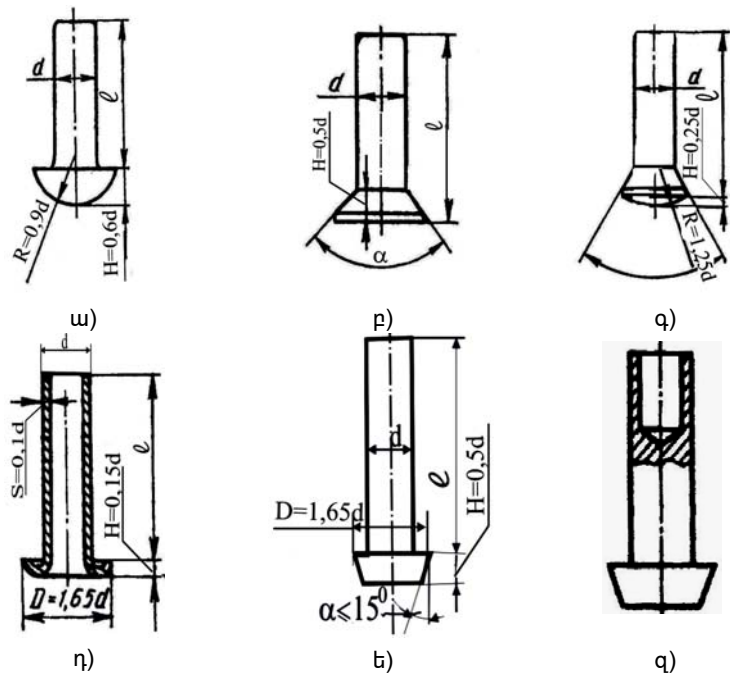
Նկ. 66. Գամային միացման ձևավորումը:

Գամային միացումներն ունեն հետևյալ առավելությունները՝ բարձր անրություն ու հուսալիություն, միացման որակի վերահսկման պարզություն, տարբեր նյութերից պատրաստված մեքենանամասերի միացման հնարավորություն, տատանողական և հարվածային ռեժիմներում բարձր աշխատունակության ապահովում, ինչպես նաև հետևյալ թերությունները՝ հավաքման օպերացիաների մեջ ծավալ, բարդություն և համեմատաբար բարձր ինքնարժեք, գունավոր նյութերի մեջ ծախս, բարդ կառուցվածքներով մեքենանամասերի միացման դժվարություն, միացվող մեքենանամասերի և գամերի համասեռության ապահովման անհրաժեշտություն, քանի որ տարասեռության դեպքում առաջանում են գամային կարերը քայլայող գալվանական հոսանքներ:

Նշված թերությունների պատճառով գամային միացումները փոխարինվում են եռակցման, զոդման և սոսնձման միացումներով:

Գամերը ցածր ածխածնային պողպատից (Ծ.1, Ծ.2, Ծ.3, Ծ.10 և Ծ.15) կամ այլումինե և պղնձե համածուլվածքներից տրամաչափված ծողեր են, որոնք պատրաստվում են հատուկ ավտոմատ հաստոցների վրա:

Գամերը ստանդարտացված են և լինում են՝ կիսակլոր, թաքնված, կիսաթաքնված, հարթ գլխիկներով և խողովակածն ու պայթուցիկ (նկ. 67):



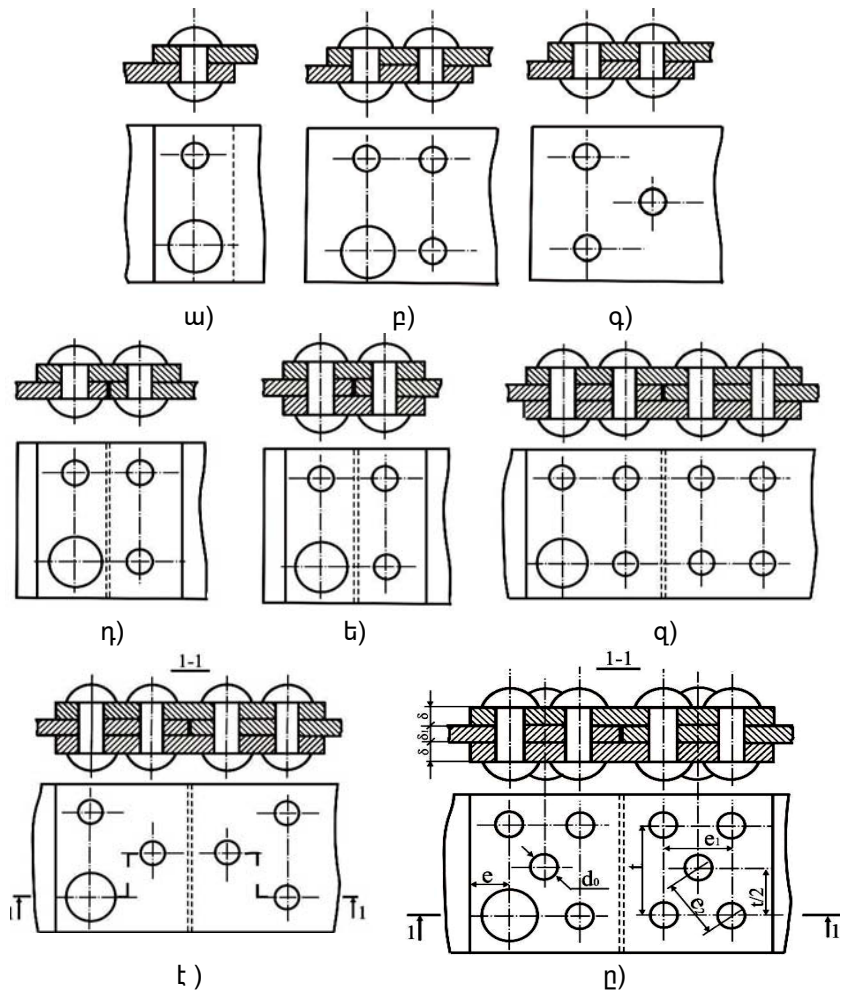
Նկ. 67. Գամերի տեսակները.

ա) կիսակլոր գլխիկով, բ) թաքնված գլխիկով, ց) կիսաթաքնված գլխիկով,
դ) խողովակածն, ե) հարթ գլխիկով, գ) պայթուցիկ:

Գամային միացումները (նկ. 68) լինում են.

- ըստ նշանակման՝ ամուր կարերով, որոնք ապահովում են միացման ամրությունը և կիա կարերով, որոնք ապահովում են միացման ամրությունը և հերմետիկությունը,
- ըստ միացվող մեքենամասերի փոխադարձ դասավորության՝

- ըստ գամերի շարքերի քանակի՝ միաշարք (ա, դ, ե), երկշարք (բ, զ, գ, է), եռաշարք (ը) և բազմաշարք,
- ըստ շարքերում գամերի դասավորության՝ զուգահեռ (բ, զ) և շախմատաձև (գ, է, ը),
- ըստ կտրման հարթությունների քանակի՝ միակտրվածք (ա, բ, գ, դ) և երկկտրվածք (ե, զ, է, ը):

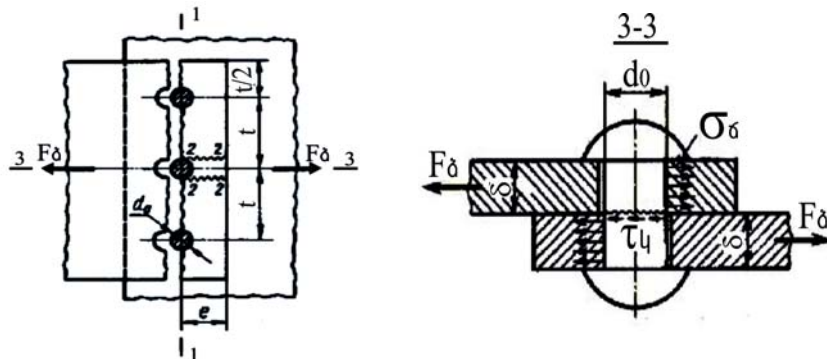


Նկ. 68. Գամային միացումների տեսակներ:

4.1.2. Գամային ամուր կարերի հաշվարկը

Նկ. 69-ում պատկերված է միաշարք կարով կատարված մակարդի միացման սխեման, ըստ որի՝

- ազդող բեռնվածքը հավասարաչափ է բաշխվում գամերի վրա,
- միացված մեքենամասերն անշարժ են,
- գամերի և անցքերի տրամագծերն իրար հավասար են:



Նկ. 69. Զգող ուժի ազդեցությամբ աշխատող գամային միացման հաշվարկային սխեմա:

Կարի վրա ազդող ձգող ուժն առաջացնում է՝

- գամերի կտրման դեֆորմացիա. ամրության պայմանը՝

$$\tau_k = \frac{F_\delta}{A} = \frac{4 \cdot F_\delta}{\pi \cdot d_0^2 \cdot z} \leq [\tau]_k, \quad (1)$$

որտեղ՝ z -ը գամերի քանակն է, իսկ d_0 -ն՝ գամի և անցքի տրամագիծը,

- գամերի և միացված մեքենամասերի անցքերի տրորման դեֆորմացիա. ամրության պայմանը՝

$$\sigma_u = \frac{F_\delta}{A'} = \frac{F_\delta}{d_0 \cdot \delta \cdot z} \leq [\sigma]_u, \text{ Н/մմ}^2, \quad (2)$$

որտեղ ձ-ն միացվող մեքենամասի հաստությունն է, մմ,

- 1-1 կտրվածքում միացվող մեքենամասերի ձգման դեֆորմացիա. ամրության պայմանը՝

$$\sigma_\delta = \frac{F_\delta}{A''} = \frac{F_\delta}{(t - d_0) \cdot \delta \cdot z} \leq [\sigma]_\delta, \text{ Н/մմ}^2, \quad (3)$$

որտեղ t -ն գամային կարերի քայլն է, մմ,

իսկ $A'' = \{(z-1) \cdot t + t\} - z \cdot d_0\} \cdot \delta = (z \cdot t - t + t - z \cdot d_0) \cdot \delta = (t - d_0) \cdot \delta \cdot z$:

- 2-2 կտրվածքում միացվող մեքենամասերի կտրման դեֆորմացիա ամրության պայմանը՝

$$\tau'_u = \frac{F_\delta}{A''} = \frac{F_\delta}{\left(e - \frac{d_0}{2}\right) \cdot \delta \cdot z} \leq [\tau]_u, \text{ Ն/մ}^2: \quad (4)$$

Եթե $[\sigma]_u = 1,6 [\tau]_u$, ապա (1) և (2) բանաձևերից ստացվում է $d_0 = 2 \cdot \delta$, եթե $[\sigma]_u = [\tau]_u$, $d_0 = 2 \cdot \delta$, ապա (1) և (3) բանաձևերից ստացվում է $t = 2,6 \cdot d_0$, որը սովորաբար ընդունվում է $t = 3 \cdot d_0$, եթե $[\tau]'_u = 0,8 \cdot [\tau]_u$, $d_0 = 2 \cdot \delta$, ապա (1) և (3) բանաձևերից ստացվում է $e = 1,5 \cdot d_0$, որը գործնականում ընդունվում է $e = (1,5 \div 2) \cdot d_0$, $e_1 = 0,8 \cdot t \approx e_2$ (նկ. 68, ը):

Բազմաշարք կարերի դեպքում գամերի շարքերի միջառանցքային հեռավորությունը որոշվում է $\alpha > 0,6 \cdot t$ արտահայտությամբ:

4.1.3. Գամային կիա կարերի հաշվարկը

Գամային կիա կարերով միացումներն օգտագործվում են ճնշման տակ գտնվող կաթսաների, անորոշների և խողովակների համար, որոնք պահանջում են կարերի ամրություն և կիալիքություն:

Հաշվարկը կատարելիս նախ և առաջ որոշվում է անորի պատերի հաստությունը՝

$$\delta = \frac{p_0 \cdot D}{2 \cdot [\varphi] \cdot [\sigma]_\delta} + \Delta, \text{ մմ},$$

որտեղ՝ p_0 -ն ճնշումն է անորի պատերի վրա, N/m^2 , $[\varphi]$ -ն՝ երկայնական գամային կարերի ամրության թույլատրելի գործակիցը, որն ընդունվում է ստանդարտով նախատեսված այսուսակներից՝ ըստ միացումների տեսակի, φ -ն՝ կարի ամրության գործակիցը, $\varphi = (t - d_0)/t$, $[\sigma]_\delta$ -ն՝ անորի պատերի ձգման թույլատրելի լրումը, D -ն՝ անորի ներքին տրամագիծը, N/m^2 , D -ն՝ անորի ներքին տրամագիծը, N/m^2 , Δ -ն՝ մետաղի քայլայունը հաշվի առնող մեծությունը, $\Delta = 1 \div 3 \text{ մմ}$:

Անորի պատերի հաստությունը որոշելուց հետո ստանդարտով նախատեսված այսուսակներից նախ՝ ընտրվում են գամերի տրամագիծը (d_0), քայլը (t), ապա՝ գամերը ստուգվում են ըստ կտրման՝

$$\tau_{\text{q}} = \frac{4 \cdot F_1}{n \cdot \pi \cdot d_0^2} \leq [\tau]_{\text{q}},$$

որտեղ՝ n -ը կտրման հարթությունների քանակն է, F_1 -ը՝ մեկ գամի վրա ազդող կտրող ուժը, σ_n որում՝ երկայնական կարի համար $F_1=0,5 \cdot p_0 \cdot D \cdot t / Z'$, լայնական կարի համար $F_1=0,25 \cdot p_0 \cdot D \cdot t / Z'$ (Z' -ը գամերի քանակն է և լայնությամբ կարի տեղամասում):

Այնուհետև որոշվում են՝

- գամերի հեռավորությունը միացվող մեքենամասի մոտակա եզրից՝

$$e = 1,65 \cdot d_0,$$

- գամերի շարքերի միջառանցքային հեռավորությունը՝

$$\alpha = 0,5 \cdot t:$$

Գամային կիա կարերով միացումներում միջադիրների հաստությունը կազմում է

$$\delta_1 = 0,8 \cdot \delta:$$

4.2. Եռակցված միացումներ

4.2.1. Դիմական տեղեկություններ

Եռակցումը մետաղական մեքենամասերի կցվող գոտիների տաքացմամբ միացման տեխնոլոգիական պրոցես է: **Եռակցված միացումները** պատկանում են չքանովող միացումներին: Տարրերվում են եռակցման երկու տեսակներ՝ եռակցում ճնշումով և եռակցում հալապատումով:

Ճնշումով եռակցման ժամանակ միացվող մեքենամասերի եզրերը տաքացվում են մինչև $t=1100 \div 1300^{\circ}\text{C}$, որի ժամանակ միացվող տաքացած մակերևույթները, կորցնելով իրենց առաձգականությունը, անցնում են պլաստիկ վիճակի և ճնշման ազդեցության ժամանակ առաջանում է մետաղների մասնիկների դիֆուզիա: Եռակցման կարն այս դեպքում լինում է աննկատ:

Հալապատմամբ եռակցման ժամանակ միացվող գոտին տաքացվում է մինչև հալման ջերմաստճան ($t>3000^{\circ}\text{C}$): Արդյունքում կցման գոտում առաջանում է հալված մետաղի շերտ, որի հովացումով ձևավորվում է եռակցման կարը:

Հալապատմամբ եռակցումները լինում են գազային և էլեկտրական, իսկ վերջիններս էլ իրենց հերթին՝ էլեկտրաաղեղային և էլեկտրահայումային (կցվածքային, կետային և կարային տեսակներով):

Ելեկտրաաղեղային եռակցումները կատարվում են՝ ձեռքով, կիսաավտոմատ և ավտոնատ եղանակներով՝ տարբեր միջավայրերում:

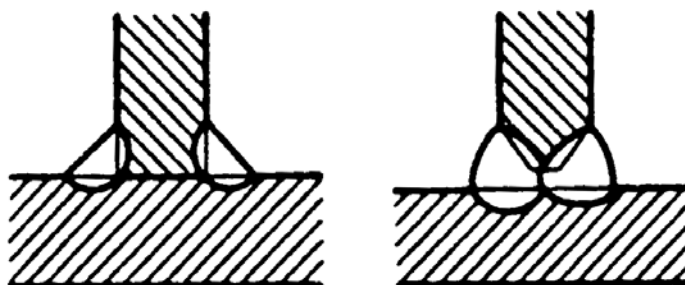
Եռակցված միացումներն ունեն հետևյալ առավելությունները՝ եռակցման ավտոմատացման հնարավորություն և դրանից բխող հնք-նարժեքի իջեցում, եռակցված կարերի հարաբերական բարձր որակ, բարդ կառուցվածքների պատրաստման հնարավորություն, միացվող մեքենամասերի մինչև 30% տնտեսում, ինչպես նաև հետևյալ թերությունները՝ եռակցված կարերում առաջացող լարումների խտացումներ, ձեռքով կատարված կարի որակի կախվածություն եռակցողի որակավորումից, կարի որակի ստուգման բարդություն, վատ աշխատանք շահագործման տատանողական, հարվածային ռեժիմների դեպքում և այլն:

Եռակցված կարերը լինում են կցվածքային և անկյունային (նկ. 70):

Հանաձայն միացումների շահագործման բնույթի և նշանակման՝ տարբերվում են կիա, ամուր և ամրակիա եռակցված միացումներ:

Ըստ միացվող մեքենամասերի փոխադարձ դասավորության՝ տարբերվում են՝

- կցվածքային եռակցված միացումներ՝ իրականացված կցվածքային կարերով,
- մակադիր եռակցված միացումներ՝ իրականացված կցվածքային կամ անկյունային կարերով,
- տավրածն եռակցված միացումներ՝ իրականացված կցվածքային կամ անկյունային կարերով,
- անկյունային եռակցված միացումներ՝ իրականացված անկյունային կարերով:



Նկ. 70. Անկյունային և կցվածքային կարեր:

Եռակցված միացումների կարերին և միացվող մեքենամասերին ներկայացվում են անրության միևնույն պահանջները:

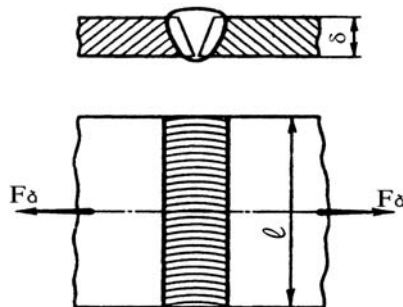
4.2.2. Կցվածքային կարերի հաշվարկը

Կցվածքային կարերի վրա ազդում են հետևյալ ուժերն ու մոմենտները՝

- Զգող կամ սեղմող F_δ ուժը (նկ. 71). ըստ ուժի ազդման ուղղության՝ կարը ենթարկվում է սեղմնան կամ ձգման դեֆորմացիայի, որի ամրության պայմանն է

$$\sigma_\delta = \frac{F_\delta}{\delta \cdot \ell} \leq [\sigma]_\delta ,$$

որտեղ՝ δ -ն միացվող մեքենամասերի հաստություններից նվազագույնն է, ℓ -ը՝ կարի երկարությունը, $[\sigma]_\delta$ -ն՝ կարի նյութի բույլատրելի ձգման լարումը, որն ընդունվում է միացվող մեքենամասերի բույլատրելի ձգման լարմանը հավասար:



Նկ. 71. Զգող ուժի ազդեցությամբ կցվածքային կարի հաշվարկային սխեմա:

- Ծառայող մոմենտը (նկ. 72, առանց ձգող F_δ ուժի). կարը հաշվարկվում է ըստ ծռման ամրության՝

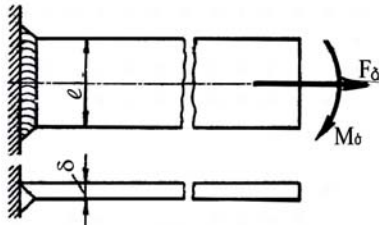
$$\sigma_\delta = \frac{M_\delta}{W_\delta} \leq [\sigma]_\delta ,$$

որտեղ M_δ -ն եռակցված կարի վրա ազդող ծռող մոմենտն է, իսկ W_δ -ն՝ ուղղանկյուն մակերևույթ ունեցող կարի ծռման դիմադրության մոմենտը՝

$$W_\delta = \frac{\delta \cdot \ell^2}{6} :$$

Արժեքները տեղադրելու դեպքում ստացվում է

$$\sigma_{\delta} = \frac{6 \cdot M_{\delta}}{\delta \cdot \ell^2} \leq [\sigma]_{\delta} :$$



Նկ. 72. Զգող ուժի և ծռող մոմենտի ազդեցությամբ կցվածքային կարի հաշվարկային սխեմա:

- Ծռող մոմենտը և զգող ուժը (Նկ. 72). առաջացաց բարդ դեֆորմացիայի դեպքում գումարային լարումը որոշվում է հետևյալ կերպ՝

$$\sigma_q = \sigma_{\delta} + \sigma_{\delta} \leq [\sigma]_{\delta} :$$

Դամաձայն σ_{δ} և σ_{δ} լարումների արտահայտությունների՝ ստացվում է

$$\sigma_q = \frac{F_{\delta}}{\delta \cdot \ell} + \frac{6 \cdot M_{\delta}}{\delta \cdot \ell^2} \leq [\sigma]_{\delta} :$$

4.2.3. Անկյունային կարերի հաշվարկը

Անկյունային կարերի վրա ազդում են հետևյալ ուժերն ու մոմենտները՝

- Զգող կամ սեղմող F_{δ} ուժը (Նկ. 73). ըստ ուժի ազդման ուղղության՝ կարը ենթարկվում է կտրման դեֆորմացիայի, որի ամրության պայմանն է

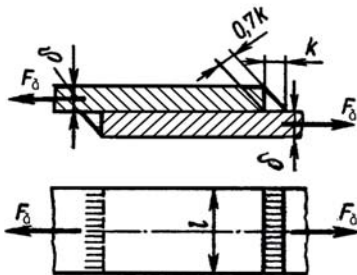
$$\tau_q = \frac{F_{\delta}}{A} = \frac{F_{\delta}}{0,7 \cdot k \cdot \ell} \leq [\tau]'_q :$$

- Զգող ուժը և ծռող մոմենտը (Նկ. 74). առաջանում է հետևյալ գումարային լարումը՝

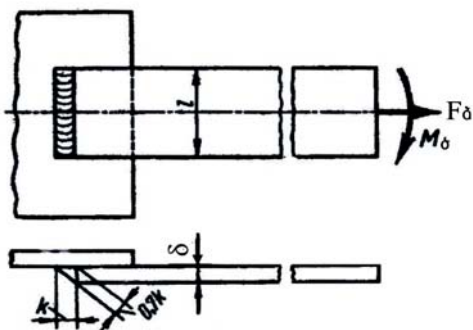
$$\sigma_q = \tau_q + \sigma_{\delta} = \frac{F_{\delta}}{0,7 \cdot k \cdot \ell} + \frac{6 \cdot M_{\delta}}{0,7 \cdot k \cdot \ell^2} \leq [\tau]'_q ,$$

որտեղ՝ k -ն կարի լայնական կտրվածքի երկարությունն է, մմ, $[\tau]'_q$ -ն՝ կարի կտրման թույլատրելի լարումը, $[\tau]'_q = 0,65[\tau]_q$, ($[\tau]_q$ -ն միացվող

մեքենամասերի կտրման թույլատրելի լարումն է, N/mm^2), ℓ -ը՝ կարի երկարությունը, մմ, M_δ -ը՝ ծռող մոմենտը, Ն · մմ:



Նկ. 73. Զգող ուժի ազդեցությամբ անկյունային կարի հաշվարկային սխեմա:



Նկ. 74. Դամատեղ դեֆորմացիայի դեպքում անկյունային կարերով միացումների հաշվարկային սխեմա:

4.3. Պարուրակային միացումներ

4.3.1. Դիմնական տեղեկություններ

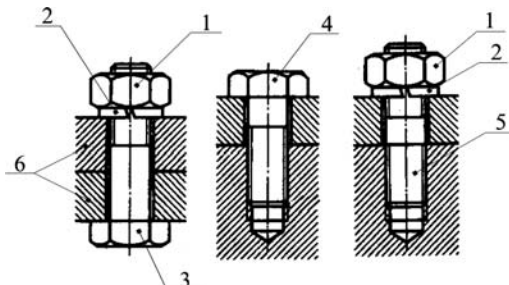
Պարուրակային միացումները պատկանում են քանդովի միացումներին: Դրանք հավաքվում են պարուրակված պրոֆիլով մեքենամասերից:

Երկու պարուրակված մեքենամասերը կազմում են պարուրակային զույգ:

Պարուրակային մակերևույթներ կարելի է ստանալ մետաղա-

հատման միջոցով՝ պարուրակահան կտրիչով, արտապարուրակիչով, ներպարուրակիչով, հոլովակներով և այլն, որոնց կիրառումը պայմանավորվում է արտադրողականությամբ ու համապատասխան շահագործման պահանջներով:

Պարուրակային միացումների հիմնական տարրերն են՝ հեղույսները, պնդողակները, պտուտակները, գամասերները և տարրեր տեսակի օժանդակ տափողակները (նկ. 75):



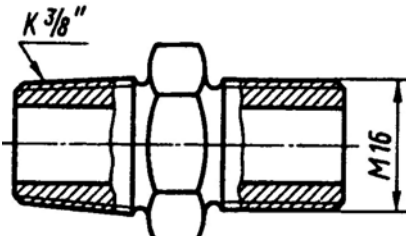
Նկ. 75. Հեղույսների տեսակները.

1-պնդողակ, 2-զսպանակային տափողակ, 3-հեղույս, 4-պտուտակ, 5-գամասեղ, 6-միացվող մասեր:

Պարուրակային միացումներն ունեն հետևյալ առավելություններ՝ հավաքման և քանդման, միացվող մեքենամասերի փոխադարձ տեղադրման ու կարգավորման հնարավորություն, կառուցվածքի և նշակման պարզություն, բավարար բարձր բեռնունակություն, հարաբերական ցածր ինքնարժեք, ինչպես նաև հետևյալ թերությունները՝ պարուրակային զույգում լարումների բարձր խտացումների առաջացում, փոփոխական բեռնվածքների ազդեցությամբ վատ աշխատանք:

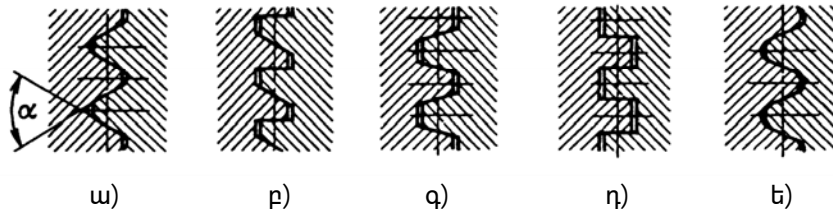
Պարուրակները լինում են՝

- Ըստ մակերևույթի ձևի՝ գլանային և կոնական (նկ. 76):



Նկ. 76. Գլանային և կոնական պարուրակների տեսքը:

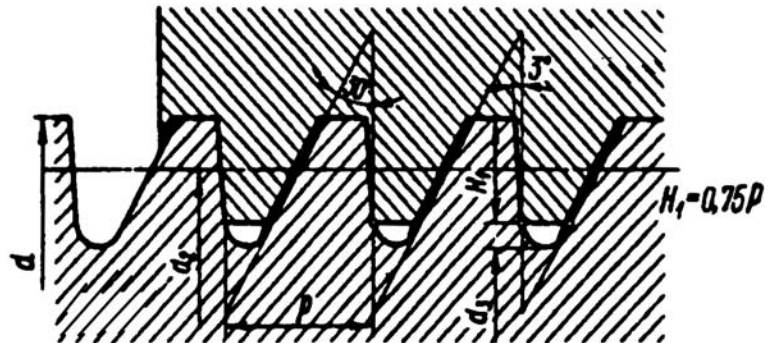
- Ըստ պարուրակված գալարների մուտքերի թվի՝ միամուտք, երկմուտք և բազմամուտք:
- Ըստ պարուրակված գալարների ուղղության՝ աջ և ձախ:
- Ըստ պարուրակի նշանակության՝
 - ամրակցման, որոնք օգտագործվում են մեքենամասերի միացման համար,
 - կիա ամրակցման, որոնք օգտագործվում են մեքենամասերի միացման և հերմետիկության ապահովման համար,
 - շարժումը փոխանցող (ընթացքային), որոնք պտտման ընթացքում հաղորդում են պտտական շարժում (պտուտակպնդողակ կինեմատիկական զույգերում, որդնակային փոխանցումներում):
- Ըստ պարուրակի պրոֆիլի ձևի (նկ. 77)՝ եռանկյունաձև (ա), հենարանային (բ), սեղանաձև (գ), ուղանկյուն (դ) և կլոր (ե):



Նկ. 77. Պարուրակի պրոֆիլի ձևերը:

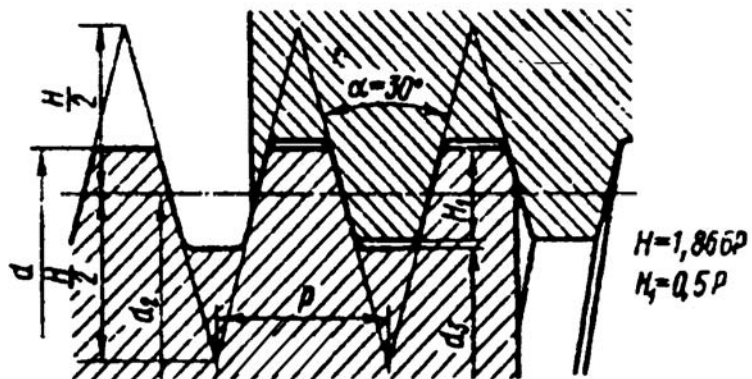
Եռանկյունաձև պարուրակները (ԳՈՍՏ 9150-81, նկ. 82) հիմնականում օգտագործվում են ամրակցման միացումներում: Դրանք մյուս պարուրակներից տարբերվում են քանդման նկատմամբ ավելի բարձր դիմադրությամբ և ամրությամբ:

Հենարանային պարուրակները (ԳՈՏ 10177-62, նկ. 78) հիմնականում օգտագործվում են բեռ բարձրացնող և ընթացքային մեխանիզմներում (ամբարձիկներում, մամլիչներում, հրիչներում և այլն): Դրանց աշխատանքային պրոֆիլի անկյունը կազմում է 3° , ինչի հետևանքով այս պարուրակների օ.գ.գ.-ն ավելի բարձր է սեղանաձև պարուրակների օ.գ.գ.-ի համեմատությամբ: Պատրաստվում են խոշոր, միջին և մանր քայլերով:



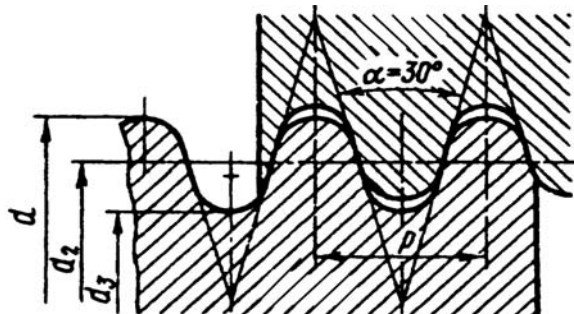
Նկ. 78. Չենարանային պարուրակի հաշվարկային սխեմա:

Սեղանաձև պարուրակները (ԳՈՍՏ 9484-73, նկ. 79) հիմնականում օգտագործվում են ընթացքային (պտուտակ-պնդողակ կիմեմատիկական գույգեր, որդնակային փոխանցումներ) և բեռնամբարձ մեխանիզմներում:



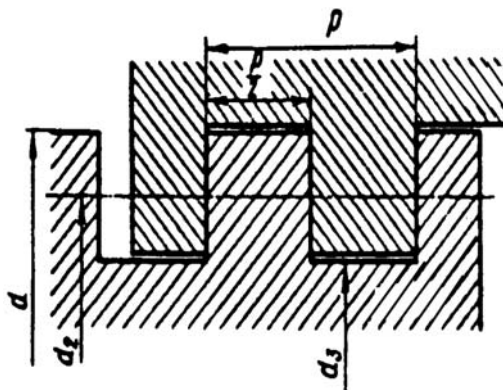
Նկ. 79. Սեղանաձև պարուրակի հաշվարկային սխեմա:

Կլոր պարուրակները (ԳՈՍՏ 13536-68, նկ. 80) ունեն բարձր դիմացկունություն: Դրանք նախատեսված են աղտոտված միջավայրերում ու հերմետիկություն պահանջող պայմաններում աշխատելու համար (սանտեխնիկա, ճնշման տակ գտնվող անոթներ և այլն): Պարուրակի պրոֆիլը, որի պրոֆիլային անկյունն է $\alpha = 30^\circ$, ձևավորվում է աղեղների և հատվածների լցորդումով:



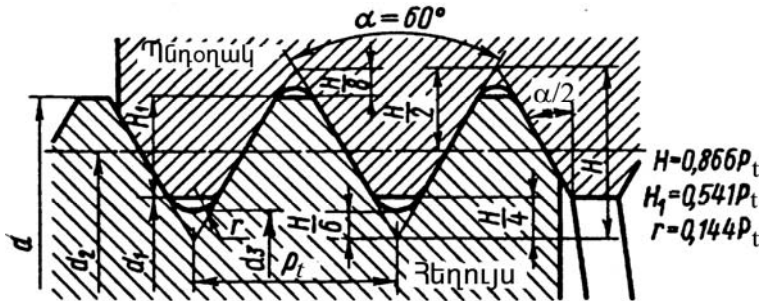
Նկ. 80. Կլոր պարուրակի հաշվարկային սխեմա:

ՈՒՂՂԱՄԿՅՈՒՆ ՊԱՐՈՒՐԱԿՄԵՐԸ (նկ. 81) հիմնականում օգտագործվում են ընթացքային մեխանիզմներում (մետաղահատ հաստոցներում, մանրադիտակներում և այլն): Դրանք ապահովում են բարձր օ.գ.գ.:



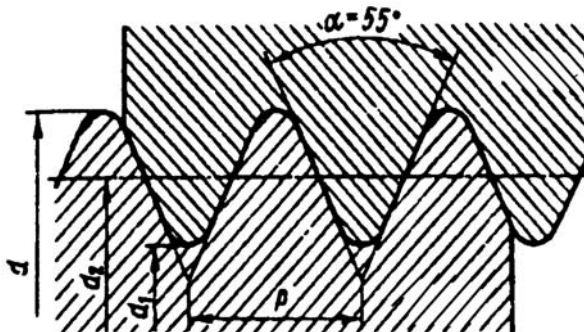
Նկ. 81. Ուղղամկյուն պարուրակի հաշվարկային սխեմա

- Ըստ պարուրակմերի տեսակների՝
 - **մետրական** (նկ. 82). ամրակցման պարուրակմերից ամենատարածվածն են, պրոֆիլը հավասարակողն եռանկյուն է, ըստ ստանդարտի՝ լինում են խոշոր (հիմնականում օգտագործվում են ամրակցման պարուրակմերում) և մանր (հիմնականում օգտագործվում են փոփոխական բեռնվածքների դեպքում, երբ անհրաժեշտ է ապահովել ինքնարգելակման պայմանը) քայլերով, պարուրակի պրոֆիլի անկյան առկայությունը հնարավորություն է ստեղծում ապահովել մեծ առանցքային ուժեր և ինքնարգելակում,



Նկ. 82. Մետրական պարուրակի հաշվարկային սխեմա:

- **Խողովակային** (նկ. 83). Իիմնականում կիա ամրակցվող են, օգտագործվում են ճնշման տակ գտնվող խողովակները միացնելու և հերմետիկություն ապահովելու համար (կոնական խողովակային պարուրականերով ապահովվում է ավելի բարձր հերմետիկություն), պրոֆիլը կլորացված գագաթներով հավասարակող եռանկյուն է,



Նկ. 83. Խողովակային պարուրակ:

- **Դյույմական**. Ունեն խողովակածն պարուրակի կառուցվածք, պրոֆիլի անկյունն է $\alpha = 55^0$, օգտագործվում են ներմուծված մեքենաներում:

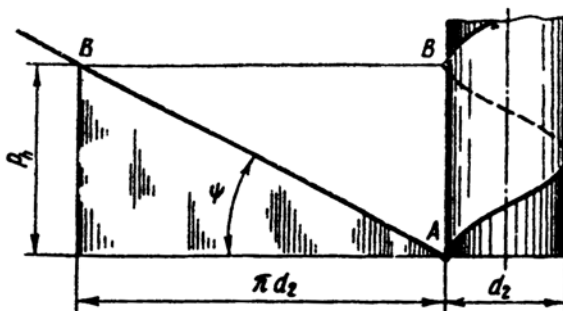
Մետրական պարուրակների (նկ. 82) երկրաչափական պարամետրերն են՝

d -ը՝ պարուրակի արտաքին տրամագիծը,

d_1 -ը՝ պարուրակի ներքին տրամագիծը,

d_2 -ը՝ պարուրակի միջին տրամագիծը, $d_2 = 0,5(d+d_1)$,

- թ-ն՝ պարուրակի քայլը, որն առանցքի ուղղությամբ հարևան գալար-ների նույնանձնան կողերի միջև եղած հեռավորությունն է,
 թ_h-ը՝ պարուրակի ընթացքը բազմամուտք պարուրակների համար, ընդ որում՝ միամուտք պարուրակներում $r_h = p$, բազմամուտք պարուրակներում $p_h = z \cdot p$ (z -ը պարուրակի մուտքերի թիվն է),
 ա-ն՝ պարուրակի պրոֆիլի անկյունը, $\alpha = 60^\circ$,
 ց-ն՝ պարուրակի պրոֆիլի կողի թեքության անկյունը, $\gamma = \alpha/2 = 30^\circ$,
 փ-ն՝ պարուրակի գալարի վերելքի անկյունը (նկ. 84), $\operatorname{tg} \psi = p_h / (\pi d_2)$:



Նկ. 84. Պարուրակի գալարի վերելքի անկյան որոշումը:

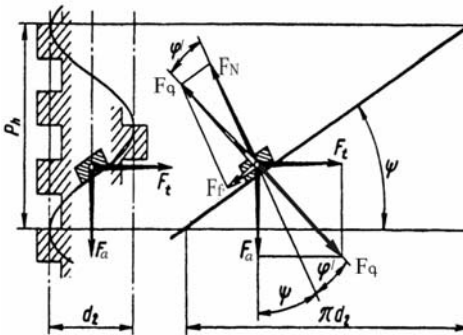
Ստանդարտ պարուրակների համար գործում են հետևյալ կախվածությունները՝

$H=0,866 \cdot p$ (պարուրակի ելակետային եռանկյունու բարձրությունը),
 $H_1=0,541 \cdot p$ (պարուրակի աշխատանքային մակերևույթի բարձրությունը)
 $d/d_1=1,15$, $d_2/d_1=1,05$, $H_1=5 \cdot H/8$:

4.3.2. Պարուրակային միացումների ուժային հարաբերակցությունները, ինքնարգելակման պայմանը և օ.գ.գ.-ն

Ըստ նկ. 85-ի՝ պնդողակ-պտուտակ կինեմատիկական գույգի աշխատանքը դիտվում է որպես թեք հարթության և սողմակի փոխազդեցություն:

Պնդողակի ձգման ժամանակ սողմակը բարձրանում է թեք հարթությունով վերև ու կցման գոտում նորմալ F_N և շիման F_f ուժերից առաջանում է գումարային F_g ուժը, որը բաժնվում է երկու բաղադրիչների՝ շրջագծային (F_t) ու առանցքային (F_a) ուժերի:



Նկ. 85. Զգման դեպքում պարուրակային միացման ուժային հարաբերակցությունների որոշման սխեմա:

Ըստ սխեմայի՝

$$F_t = F_a \cdot \operatorname{tg}(\psi + \varphi),$$

որտեղ՝ φ -ն ուղղանկյուն պարուրակմերում շփման անկյունն է,

$$\varphi = \operatorname{arctg} f, \text{ իսկ } F_f - \text{ն՝ շփման ուժը, } F_f = f \cdot F_N = f \cdot F_a:$$

Պարուրակմերի մյուս (սուրանկյուն) տեսակմերի դեպքում առաջանում է շփման բերված գործակիցը՝ $f' = \frac{f}{\cos \alpha / 2}$, իսկ շփման բերված անկյունը որոշվում է $\varphi' = \operatorname{arctg} f'$ արտահայտությամբ:

Այսպիսով, եռանկյունաձև, սեղանաձև, հենարանային և կլոր պարուրակմերի դեպքում ուժային հարաբերակցությունները կազմում են

$$F_t = F_a \cdot \operatorname{tg}(\psi + \varphi'),$$

որտեղ պարուրակի գալարի վերելքի անկյունը որոշվում է հետևյալ բանաձևով՝

$$\operatorname{tg} \psi = p_h / (\pi d_2):$$

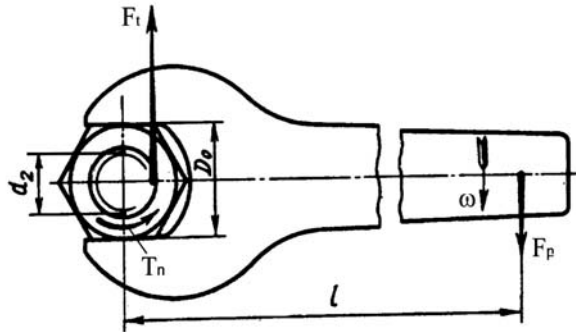
Հեղուսային միացումների ձգվելու ժամանակ առաջանում է ձըգող ոլորող մոմենտ (նկ. 86):

$$T_\delta = T_\omega + T_\sigma = F_p \cdot \ell,$$

որտեղ՝ T_ω -ն՝ պարուրակում առաջացած դիմադրության մոմենտն է՝

$$T_\omega = F_t \cdot \frac{d_2}{2} = F_a \cdot d_2 \operatorname{tg}(\psi + \varphi')/2,$$

T_σ -ն՝ պնդողակի ճակատի վրա առաջացած դիմադրության մոմենտը, $T_\sigma = F_a \cdot f d_2 / 2$, F_p -ն՝ ձգման ժամանակ մանեկադարձակի վրա կիրառվող ուժը, ℓ -ը՝ նշված ուժի բազուկը:



Նկ. 86. Զգման մոմենտի որոշման սխեմա:

Այսպիսով, գումարային ձգող ոլորող մոմենտը կազմում է

$$T_d = F_a \cdot d_2 \cdot \operatorname{tg}(\psi + \varphi') / 2 + F_a \cdot f \cdot d_3 / 2;$$

Պարուրակային միացումների օ.գ.գ.-ն որոշվում է հետևյալ կերպ՝

$$\eta = \frac{A_{o,nl}}{A_{2,nl}},$$

որտեղ՝ $A_{o,nl}$ -ն օգտակար ուժերից առաջացած աշխատանքն է՝

$$A_{o,nl} = F_a \cdot p_h = F_a \cdot \pi \cdot d \cdot \operatorname{tg} \psi,$$

$A_{2,nl}$ -ն՝ շիման ուժերից առաջացած աշխատանքը՝

$$A_{2,nl} = F_t \cdot \pi \cdot d = F_a \cdot \operatorname{tg}(\psi + \varphi') \cdot \pi \cdot d;$$

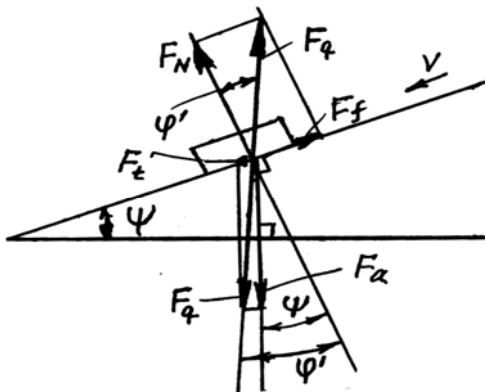
$$\text{Արդյունքում} \quad \eta = \frac{A_{o,nl}}{A_{2,nl}} = \frac{F_a \cdot \pi \cdot d_2 \cdot \operatorname{tg} \psi}{F_a \cdot \pi \cdot d_2 \cdot \operatorname{tg}(\psi + \varphi')} = \frac{\operatorname{tg} \psi}{\operatorname{tg}(\psi + \varphi')}.$$

Ըստ ստացված կախվածության՝ ինքնարգելակման պայմանը կատարվում է, եթե $\psi < \varphi'$ (քառակուսի պարուրակների համար $\psi < \varphi$): Ստանդարտ մետրական պարուրակների համար $\psi = 2^0 29'$, իսկ $\varphi' = 9^0 50'$:

Պարուրակային միացումների օ.գ.գ.-ն բարձրացնելու նպատակով անհրաժեշտ է մեծացնել ψ -ն (օգտագործելով բազմամուտքանի պարուրակներ) և փոքրացնել φ' -ն (օգտագործելով յուղեր և հակաշփական նյութեր):

Պարուրակային միացման քանդման դեպքում (նկ. 87) օ.գ.գ.-ն որոշվում է հետևյալ կախվածությամբ՝

$$\eta = \frac{\operatorname{tg}(\varphi' - \psi)}{\operatorname{tg} \psi}.$$



Նկ. 87. Քանդման դեպքում պարուրակային միացման ուժային հարաբերակցությունների որոշման սխեմա:

4.3.3. Դեղույսային միացումների հաշվարկն ըստ ամրության

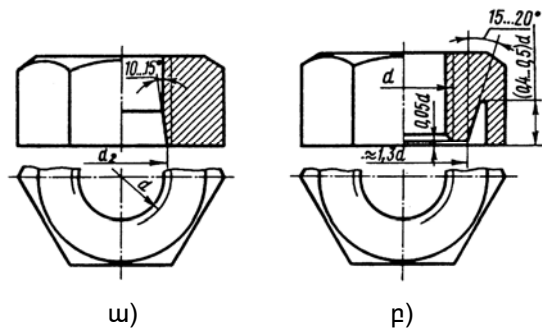
Դեղույսաների քայլայումը հիմնականում կատարվում է որպանց պարուրակված նասում և գլխիկի մոտ, իսկ պնդողակներինը՝ պարուրակներում: Ստանդարտ հեղույսները, պտուտակները և գանասեղները հավասարամուր են ըստ ձգման ու կտրման, այդ պատճառով էլ հեղույսների հիմնական հաշվարկը կատարվում է համաձայն պարուրակված նասի ձգման ամրության (ընդունվում է, որ պարուրակի գալարները բեռնավորված են հավասարաչափ):

Առանցքային բեռնվածքը, ըստ պնդողակի գալարների գագաթների քանակի ($n=6$, $n=10$), բաշխվում է հետևյալ սկզբունքով (համաձայն Ն.Ե. Ժուկովսկու հետազոտությունների):

- եթե $n=6$, ապա ընդհանուր բեռնվածքից 1-ին գալարի բեռնվածքը կազմում է 52 %, 2-րդինը՝ 25 %, 3-րդինը՝ 12 %, 4-րդինը՝ 6 %, 5-րդինը՝ 3 %, 6-րդինը՝ 2 %,

- եթե $n=10$, ապա ընդհանուր բեռնվածքից 1-ին գալարի բեռնվածքը կազմում է 34 %, 2-րդինը՝ 22 %, 3-րդինը՝ 15 %, 4-րդինը՝ 11 %, 5-րդինը՝ 7 %, 6-րդինը՝ 4 %, 7-րդինը՝ 3 %, 8-րդինը՝ 2 %, 9-րդինը՝ 1,1 %, 10-րդինը՝ 0,9 %:

Կարևոր նշանակության հեղույսային միացումներում բեռնվածքը գալարների վրա հավասարաչափ բաշխելու համար օգտագործվում են հատուկ պնդողակներ (Նկ. 88):



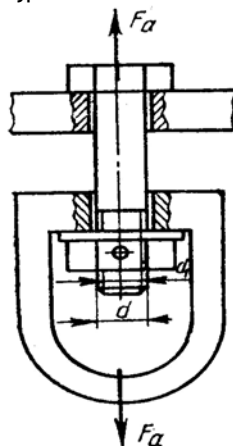
Նկ. 88. Դատուկ պնդօղակների տեսակները.

ա) Ենթակտրված պարուրակով , բ) հատուկ առվակով:

Ստորև ուսումնասիրվում են հեղույսների բեռնվածքների հիմնական տեսակները և դրանց հաշվարկներն ըստ ամրության:

4.3.3.1. Առանց նախնական ծգման և առանցքային ուժով բեռնավորված հեղույսների հաշվարկն ըստ ամրության

Որպես օրինակ՝ ուսումնասիրվում է բեռնամբարձ մեխանիզմի կեռի կախոցը (նկ. 89): Ինչպես երևում է սխեմայից, հեղույսը, բեռնված լինելով առանցքային (բեռի քաշին հաճապատասխան) ուժով, ենթարկվում է ծգման դեֆորմացիայի:



Նկ. 89. Կեռի պարուրակի հաշվարկային սխեմա:

Զգնան ամրության պայմանն է

$$\sigma_{\delta} = \frac{F_a}{A} \leq [\sigma]_{\delta},$$

որտեղ՝ A -ն հեղույսի ներքին տրամագծով լայնական կտրվածքի մակերեսն է, $A = \frac{\pi \cdot d_1^2}{4}$, մմ, $[\sigma]_{\delta}$ -ն՝ ածխածնային պողպատից պատրաստված հեղույսների թույլատրելի ձգնան լարումը՝ $[\sigma]_{\delta} = 80 \div 120 \text{ Ն/մմ}^2$:

Արժեքները տեղադրելու դեպքում ստացվում է ստուգիչ բանաձևը՝

$$\sigma_{\delta} = \frac{4 \cdot F_a}{\pi \cdot d_1^2} \leq [\sigma]_{\delta},$$

որտեղից դուրս է բերվում հեղույսի անհրաժեշտ տրամագծի որոշման նախագծնան բանաձևը՝

$$d_1 = \sqrt{\frac{4 \cdot F_a}{\pi \cdot [\sigma]_{\delta}}}, \text{ մմ:}$$

Տրամագծի ստացված արժեքի հիման վրա ստանդարտով նախատեսված այլուսակներից ընտրվում է հեղույսի արտաքին տրամագիծը՝ d -ն (օրինակ՝ 1 20):

Անհրաժեշտության դեպքում հեղույսի պարուրակը ստուգվում է նաև ըստ կտրման ամրության պայմանի՝

$$\tau_{\psi} = \frac{F_a}{A'} = \frac{F_a}{p_t \cdot \pi \cdot d_1} \leq [\tau]_{\psi},$$

որտեղ՝ p_t -ն պարուրակի քայլն է, մմ, իսկ $[\tau]_{\psi}$ -ն՝ կտրման թույլատրելի լարումը է, $[\tau]_{\psi} = 0,25 \cdot \sigma_h$, Ն/մ^2 (σ_h -ն հոսունության սահմանն է ցածր ածխածնային պողպատի համար, $\sigma_h = 220 \div 320 \text{ Ն/մ}^2$):

Ըստ տրորման ամրության պայմանի՝

$$\sigma_{\psi} = \frac{F_a}{A''} = \frac{4 \cdot F_a}{\pi \cdot (d^2 - d_1^2)} \leq [\sigma]_{\psi}, \text{ Ն/մ}^2,$$

որտեղ $[\sigma]_{\psi}$ -ն թույլատրելի տրորման լարումն է, $[\sigma]_{\psi} = 0,8 \sigma_h$:

4.3.3.2. Նախնական ձգմամբ և արտաքին ուժերի ազդեցությամբ բեռնավիրված հեղույսների հաշվարկման ամրության

Նախնական ձգմամբ և արտաքին ուժերի ազդեցությամբ բեռնավորվում են անորների, առանցքակալների, ներքին այրման շարժիչների

կափարիչների հեղուսները: Յեղուսները ձգվում են այնպիսի ձգող մոմենտով, որը ստեղծում է կցատեղի կիառություն ապահովող առանցքային ուժ՝ F_{δ} (նկ. 90):

$$F_{\delta} = K \cdot (1-\chi) \cdot F_1,$$

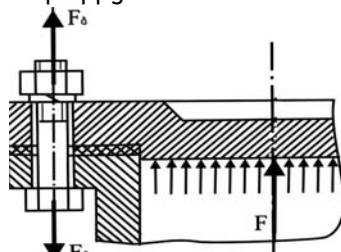
որտեղ՝ K -ն հեղուսի ձգման պաշարի գործակիցն է. հաստատուն բեռնվածքի դեպքում $K=1,25 \div 2$, փոփոխական բեռնվածքի դեպքում $K=2 \div 4$, χ -ն՝ արտաքին բեռնվածքի գործակիցը. ներդիրների բացակայության դեպքում $\chi=0,2 \div 0,3$, ճկուն ներդիրների դեպքում $\chi=0,5 \div 0,8$, F_1 -ը՝ մեկ հեղուսի վրա ազդող ուժը, $F_1=F/Z$:

Յեղուսների ներքին տրամագիծը որոշվում է ըստ ձգման ամրության պայմանի՝ համաձայն հեղուսների վրա ազդող ձգող հաշվարկային ուժի՝

$$F_h = F_{\delta} + \chi \cdot F_1:$$

$$\text{Ըստ } \sigma_{\delta} = \frac{4 \cdot F_h}{\pi \cdot d_1^2} \leq [\sigma]_{\delta} \text{ բանաձևի՝ } d_1 = \sqrt{\frac{4 \cdot F_h}{\pi \cdot [\sigma]_{\delta}}}, \text{ մն:}$$

Յեղուսների չափերի ընտրությունը կատարվում է ստանդարտով նախատեսված այուսակներից:



Նկ. 90. Յերմետիկ անոթի հեղուսների հաշվարկային սխեմա:

4.3.3.3. Զգման ուժի և ոլորող մոմենտի ազդեցությամբ բեռնավորված հեղուսների հաշվարկն ըստ ամրության

Որպես օրինակ՝ ուսումնասիրվում է ձգիչի հաշվարկային սխեման (նկ. 91), ըստ որի՝ ծախ և աջ պարուրակված հեղուսները ենթարկվում են մշտական ձգող ուժի ($F_0 = F_a = F_{\delta}$) և պարբերաբար գործող ոլորող մոմենտի ազդեցությանը: Արյունքում հեղուսները համատեղ ենթարկվում են բարդ դեֆորմացիայի, որի դեպքում, համաձայն ամրության չորրորդ տեսության, համարժեք լարումը որոշվում է հետևյալ բանաձևով՝

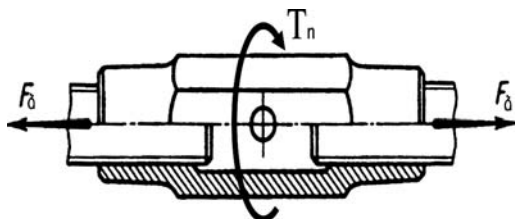
$$\sigma_h = \sqrt{\sigma_d^2 + 3 \cdot \tau_n^2} \leq [\sigma]_d ,$$

որտեղ՝ σ_d -ն ձգման հաշվարկային լարումն է հեղույսներում՝

$$\sigma_d = \frac{4F_a}{\pi \cdot d_1^2} ,$$

τ_n -ը՝ ոլորման հաշվարկային լարումը պարուրակներում՝

$$\tau_n = \frac{16 \cdot T_{\omega}}{\pi \cdot d_1^3} = \frac{F_t \cdot \frac{d_2}{2}}{0,2 \cdot d_1^3} = \frac{F_a \cdot \frac{d_2}{2} \cdot \operatorname{tg}(\psi + \varphi')}{0,2 \cdot d_1^3} :$$



Նկ. 91. Զգիչի հաշվարկային սխեմա:

$\psi=2^029'$, $\varphi'=9^050'$ և $d_2=1,1 \cdot d_1$ արժեքներն ամրության պայմանում տեղադրելու դեպքում ստանդարտ խոշոր քայլով մետրական պարուրակների համար ստացվում է

$$\sigma_h = 1,3 \cdot \sigma_d \leq [\sigma]_d :$$

Այսպիսով, եթե հեղույսը ենթարկվում է բարդ դեֆորմացիայի, դրա ներքին տրամագիծը կարելի է հաշվել միայն ըստ ձգման ամրության պայմանի՝ սակայն հաշվի առնելով ոլորող մոմենտի ազդեցությունը լրացնեցիչ 1,3 գործակցի արժեքով՝

$$d_1 = \sqrt{\frac{1,3 \cdot 4 \cdot F_d}{\pi \cdot [\sigma]_d}} :$$

4.3.3.4. Բացակով տեղադրված և լայնական ուժերի ազդեցությամբ բեռնավորված հեղույսների (սևատաշ) հաշվարկն ըստ ամրության

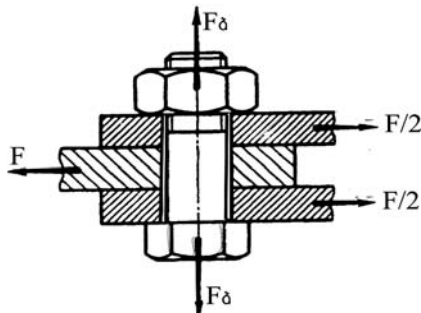
Որպես օրինակ՝ ուսումնասիրվում է նկ. 92-ում ներկայացված հաշվարկային սխեման, ըստ որի երկշղվածքային նիացումը ձգված է $F_d=F_a$ առանցքային ուժով, որը կցվող մեքենամասերի անշարժությունն

ապահովում է շիման ուժերի շնորհիվ: Այս դեպքում հեղույսը ենթարկվում է ձգման և ոլորման դեֆորմացիաների, իսկ անհրաժեշտ ձգման ուժը կախված է ազդող լայնական F ուժից՝

$$F_{\delta} = \frac{K \cdot F}{i \cdot f \cdot z},$$

որտեղ՝ K -ն մեքենամասերի անշարժությունն ապահովող գործակիցն է,

$K = 1,4 \div 2$, i -ն՝ կցատեղերի քանակը (սույն օրինակում $i=2$), f -ը՝ շիման գործակիցը թուժից և պողպատից պատրաստված կրցվող մեքենամասերի համար, $f=0,15 \div 0,2$, z -ը՝ հեղույսների թիվը:



Նկ. 92. Բացակով տեղադրված հեղույսի հաշվարկային սխեմա:

Քանի որ հեղույսը ենթարկվում է նաև ոլորման դեֆորմացիայի, ապա ձգման ամրության պայմանն է

$$\sigma_{\delta} = \frac{1,3 \cdot 4 \cdot F_{\delta}}{\pi \cdot d_1^2} = \frac{5,2 \cdot K \cdot F}{\pi \cdot d_1^2 \cdot i \cdot f \cdot z} \leq [\sigma]_{\delta}, \text{ Ն/մ}^2,$$

որտեղից դուրս է բերվում հեղույսի ներքին տրամագիծը՝

$$d_1 = \sqrt{\frac{5,2 \cdot K \cdot F}{\pi \cdot i \cdot f \cdot z \cdot [\sigma]_{\delta}}}, \text{ մմ:}$$

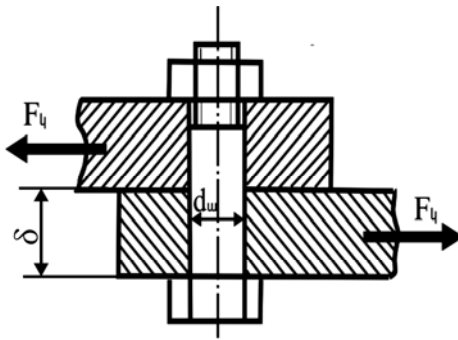
4.3.3.5. Առանց բացակի տեղադրված և լայնական ուժերի ազդցությամբ բեռնավորված հեղույսների (մաքրատաշ) հաշվարկն ըստ ամրության

Որպես օրինակ՝ ուսումնասիրվում է նկ. 93-ում ներկայացված հաշվարկային սխեման, ըստ որի՝ հեղույսը միացվող մեքենամասերի անցքերի մեջ տեղադրված է առանց բացակի և հեղույսային միացումը չի ձգվում մեծ ուժով, քանի որ մեքենամասերի անշարժությունն ապահովում է հեղույսի կիա միացումով:

Այս դեպքում հեղուսը ենթարկվում է կտրման դեֆորմացիայի:

Ըստ $\tau_{\text{կ}} = \frac{4 \cdot F_{\text{կ}}}{\pi \cdot d^2 \cdot i \cdot z} \leq [\tau]_{\text{կ}}$ կտրման ամրության պայմանի (կցատեղերի քանակը՝ $i=1$)՝ որոշվում է հեղուսի արտաքին տրամագիծը՝

$$d = \sqrt{\frac{4 \cdot F_{\text{կ}}}{\pi \cdot i \cdot z \cdot [\tau]_{\text{կ}}}}, \text{ մմ:}$$



Նկ. 93. Առանց բացակի տեղադրված հեղուսի հաշվարկային սխեմա:

Եթե միացվող մեքենամասի հաստությունը փոքր է հեղուսի տրամագծից ($\delta < d$), ապա կարելի է հեղուսը ստուգել նաև ըստ տրորման ամրության՝

$$\sigma_{\text{տ}} = \frac{F_{\text{կ}}}{d \cdot \delta} \leq [\sigma]_{\text{տ}}, \text{ Ն/մմ}^2,$$

որտեղից դուրս է բերվում հեղուսի անհրաժեշտ տրամագիծը՝

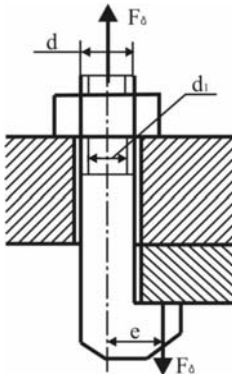
$$d = \frac{F_{\text{կ}}}{\delta \cdot [\sigma]_{\text{տ}}}, \text{ մմ:}$$

4.3.3.6. Բարդ դեֆորմացիայի ազդեցությամբ բերնավորված արտակենորոն գլխիկով հեղուսյների հաշվարկն ըստ ամրության

Որպես օրինակ՝ ուսումնասիրվում է նկ. 94-ում ներկայացված հաշվարկային սխեման, ըստ որի՝ հեղուսյային միացումը ձգվում է միացվող մեքենամասերի անշարժությունն ապահովող ձգող ուժով՝

$$F_{\delta} = \frac{K \cdot F}{i \cdot f \cdot z},$$

որտեղ՝ F_{δ} միացված մեքենամասերի տեղաշարժող ուժն է, i -ն՝ կցատեղերի քանակը, z -ը՝ հեղույսների քանակը, f -ը՝ մեքենամասերի միջև շփման գործակիցը, $f=0,1 \div 0,3$:



Նկ. 94. Արտակենտրոն գլխիկով հեղույսի հաշվարկային սխեմա:

Արտակենտրոն գլխիկի պատճառով հեղույսի մարմինը ենթարկվում է բարդ դեֆորմացիայի, որին համապատասխանում է հեղույսում առաջացած հետևյալ գումարային լարումը՝

$$\sigma_q = \sigma_{\delta} + \sigma_{\delta} \leq [\sigma]_{\delta} :$$

Զգման և ծռման հաշվարկային լարումների արժեքները տեղադրելու դեպքում ստացվում է

$$\sigma_q = \frac{F_{\delta}}{A} + \frac{M_{\delta}}{W_{\delta}} \leq [\sigma]_{\delta},$$

որտեղ՝ M_{δ} -ն ծռող մոմենտն է արտակենտրոնության հետևանքով,
 $M_{\delta}=F_{\delta} \cdot e$, իսկ W_{δ} -ն՝ ծռման դիմադրության մոմենտը՝

$$W_{\delta} = \frac{\pi \cdot d_1^3}{32} :$$

Նշված արտահայտություններն ամրության պայմանում տեղադրելուց հետո ստացվում է

$$\sigma_q = \frac{4 \cdot 1,3 \cdot F_{\delta}}{\pi \cdot d_1^2} + \frac{32 \cdot F_{\delta} \cdot e}{\pi \cdot d_1^3} \leq [\sigma]_{\delta} :$$

$e=d_1$ ընդունելու և վերջին արտահայտությունը ձևափոխելու դեպքում ստացվում է

$$\sigma_q = \frac{4 \cdot 1,3 \cdot F_{\delta}}{\pi \cdot d_1^2} (1 + 6,15) = 7,15 \cdot \sigma_{\delta} \leq [\sigma]_{\delta},$$

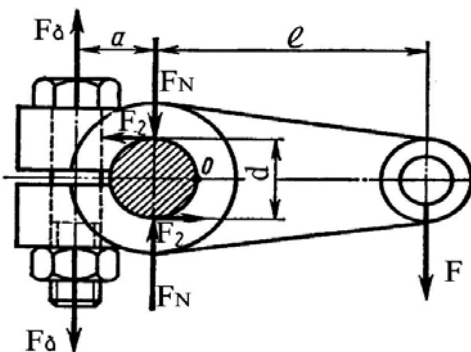
որտեղից դուրս է բերվում արտակենտրոն գլխիկով հեղույսի ներքին տրամագիծը՝

$$d_1 = \sqrt{\frac{5,2 \cdot 7,15 \cdot F_d}{\pi \cdot [\sigma]_{\delta}}} = 2,67 \cdot \sqrt{\frac{5,2 \cdot F_d}{\pi \cdot [\sigma]_{\delta}}} :$$

Ինչպես երևում է ստացված բանաձևից, արտակենտրոն գլխիկով հեղույսի տրամագիծը մեծ է ստանդարտ գլխիկով հեղույսի տրամագիծից մոտ 2,7 անգամ, հետևաբար արտակենտրոն գլխիկով հեղույսները նպատակահարմար են օգտագործել միայն այն դեպքերում, երբ ստանդարտ հեղույսների կիրառությունն անհնար է և նպատակահարմար չէ:

4.3.3.7. Սեղմակային միացումների հեղույսների հաշվարկն ըստ ամրության

Սեղմակային (քամովի) միացումներն օգտագործվում են շփման շնորհիվ պտտական, ճոճվող կամ համընթաց շարժումներ հաղորդելու համար: Այս միացումների առավելությունը սեղմակային սարքավորումը լիսեաների և սոնիների ցանկացած տեղում տեղադրելու հնարավորությունն է, իսկ թերությունը՝ փոփոխական բեռնվածքների ժամանակ ոչ բարձր հուսալիությունը:



Նկ. 95. Սեղմակային միացման հաշվարկային սխեմա:

Ըստ սխեմայի (Նկ. 95)՝ F_d առանցքային ուժի ազդցությամբ լիսերի վրա առաջանում են F_N նորմալ (սեղմող) և F_2 շփման ($F_2 = F_N \cdot f$) ուժերը: Միացման նորմալ աշխատանքի համար ապահովվում է շփման և արտաքին ուժերից առաջացած մոմենտների հետևյալ կախվածու-

թյունը՝

$$F_2 \cdot \frac{d}{2} + F_2 \cdot \frac{d}{2} \geq F \cdot \ell \quad \text{կամ} \quad F_2 \cdot d \geq F \cdot \ell:$$

Ծփման ուժի արտահայտությունը տեղադրելու դեպքում ստացվում է

$$F_N \cdot f \cdot d \geq F \cdot \ell,$$

որտեղից $F_N \geq \frac{F \cdot \ell}{f \cdot d}:$

Զգող ուժը որոշելու համար ձգող և առաջացած նորմալ ուժերից
Օ կետի նկատմամբ կազմվում է հետևյալ մոնթենտը՝

$$F_\delta \cdot z \cdot (\alpha + d/2) = F_N \cdot d/2,$$

որտեղից

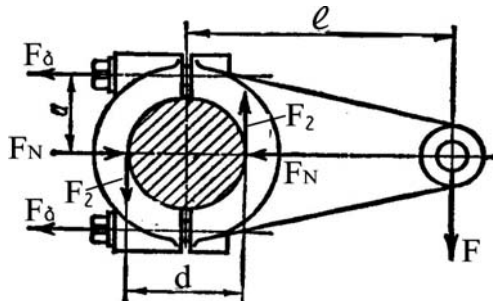
$$F_\delta = \frac{F_N \cdot d}{2 \cdot z \cdot (\alpha + d/2)} = \frac{F \cdot \ell \cdot d}{2 \cdot z \cdot (\alpha + d/2) \cdot f \cdot d}:$$

Զգնան ուժն ավելացնելով 20 %-ով՝ ստացվում է

$$F_\delta = \frac{1,2 \cdot F \cdot \ell}{z \cdot (2\alpha + d) \cdot f}:$$

Քանդովի կունդի դեպքում (նկ. 96)

$$F_\delta = \frac{1,2 \cdot F \cdot \ell}{z \cdot d \cdot f}:$$



Նկ. 96. Քանդովի կունդով սեղմակային միացման հաշվարկային սխեմա:

Սեղմակային միացումների հեղուսերի ներքին տրամագիծը որոշվում է ըստ ձգման ամրության պայմանի՝

$$d_1 = \sqrt{\frac{4 \cdot 1,3 \cdot F_\delta}{\pi [\sigma]_\delta}}:$$

4.4. Մամլանստեցվածքային (երաշխավորված ձգվածքով) գլանային միացումներ

4.4.1. Դիմնական տեղեկություններ

Գլանային լիսեռ-վրան միացումները, հավաքելով երաշխավորված ձգվածքով, ապահովում են միացվող մեքենամասերի փոխադարձ անշարժությունը և անհրաժեշտ շարժում հաղորդելու հնարավորությունը:

Երաշխավորված ձգվածքն ապահովում է համապատասխան նստեցվածքների կիրառման միջոցով, եթե ընդգրկվող լիսեռի տրամագիծը մեծ է լինում ընդգրկող վրանի տրամագիծից ($d_e > d_g$): Այս տրամագիծների տարրերության ($\delta=d_e-d_g>0$) մեծությունը բնորոշում է ձգվածքի տեսակը, որը, կցման գոտում ստեղծելով տեսակարար ճնշումներ, ինչպես նաև շփման ուժեր, ապահովում է միացման անշարժություն ու պտտական կամ համընթաց շարժում:

Մամլանստեցվածքային գլանային միացումները լայն կիրառություն ունեն ատամնանիվների, որդնանիվների, աստղանիվների, փոկանիվների, առանցքականների, լիսեռների, ինչպես նաև շարժաբերային շղթաների օղակների և այլ միացումների դեպքում:

Մամլանստեցվածքային գլանային միացումներն ունեն հետևյալ առավելությունները՝ միացման պարզություն, միացվող մեքենամասերի լավ կենտրոնացում, ստատիկ և դինամիկ բեռնվածքների դեպքում լավ աշխատանք, քանդման ու հավաքման հնարավորություն, ինչպես նաև հետևյալ թերությունները՝ հավաքման և քանդման բարդություններ՝ կապված մամլան սարքի առկայությունով, պատրաստման բարձր ճշտության ապահովման անհրաժեշտություն, լարումների բարձր խթություն և այլն:

Մամլանստեցվածքային գլանային միացումները կատարվում են երեք եղանակով՝ մեխանիկական, տաքացման և սառեցման:

Մեխանիկական եղանակի դեպքում մամլումը կատարվում է մամլիչների միջոցով, եթե լիսեռի տրամագիծը գերազանցում է վրանի տրամագիծին:

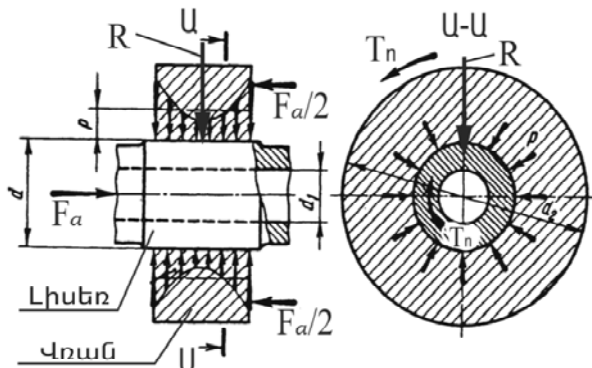
Տաքացման եղանակի դեպքում ընդգրկող վրանի ջերմաստիճանը վերցվում է օգտագործվող նյութերի մխամեղման ջերմաստիճանից ցածըր. պողպատի համար $t=220\div240^{\circ}\text{C}$, իսկ բրոնզի համար $t=150\div200^{\circ}\text{C}$:

Սառեցման եղանակի դեպքում լիսեռի ջերմաստիճանն ապահովվում է չոր սառույցի ($t = -80^{\circ}\text{C}$) կամ հեղուկ օդի ($t = -190^{\circ}\text{C}$) միջոցով:

Առավել արդյունավետ են տաքացման եղանակները:

4.4.2. Մամլանստեցվածքային միացումների հաշվարկը

Որպես օրինակ՝ ուսումնասիրվում է երաշխավորված ծգվածքով լիսեռ-վրան միացումը (Ակ. 97): Ըստ սխեմայի՝ միացման երկարությամբ հպումային ճնշումները բաշխված են անհավասարաչափ և եղբերում միջին մասերից մեջ են մոտ 2÷3 անգամ:



Ակ. 97. Մամլանստեցվածքային միացման հաշվարկային սխեմա:

ճարտարագիտական հաշվարկներում հպումային ճնշումների բաշխումն ընդունվում է հավասարաչափ:

Ստորև ներկայացված են շահագործման երեք հնարավոր տարբերակները:

Միացման վրա ազդում է միայն առանցքի ուղղությամբ տեղաշարժող F_a ուժը: Այս դեպքում մերենամասների անշարժությունը պահպանելու համար ապահովվում է հետևյալ ուժային պայմանը՝

$$F_f = \pi \cdot d \cdot \ell \cdot p \cdot f \geq K \cdot F_a,$$

որտեղ՝ F_f -ը շփման ուժն է, $F_f=R \cdot f$ (R -ը գործարային շառավիղային բեռնվածքն է, որը կիրառվում է վրանի մեջտեղում $R = \pi \cdot d \cdot \ell \cdot p$), d -ն՝ միացման անվանական տրամագիծը, մմ, ℓ -ը՝ վրանի երկարությունը, մմ, p -ն՝ հպումային լարումների միջին արժեքը, N/mm^2 , f -ը՝ շփման գործակիցը, $f=0,05 \div 0,07$, F_a -ն՝ առանցքային ուժը (մամլման կամ արտամամլման), Ն, K -ն՝ կցման պաշարի գործակիցը, $K=2 \div 4,5$:

Հպումային լարումների միջին արժեքները որոշվում են հետևյալ պայմանով՝

$$p \geq \frac{K \cdot F_a}{\pi \cdot d \cdot \ell \cdot f}, \text{ Այսպիսակ է:}$$

Միացման վրա ազդում է միայն T_n ոլորող մոմենտը: Այս դեպքում մեքենանասերի անշարժությունը պահպանելու համար ապահովում է հետևյալ ուժային պայմանը՝

$$T_f = F_f \cdot d / 2 \geq K \cdot T_n,$$

որտեղ T_f -ը շփման ոլորող մոմենտն է, և · մմ:

Շփման ուժի արժեքը տեղադրելու դեպքում ստացվում է

$$\pi \cdot d^2 \cdot \ell \cdot p \cdot f / 2 \geq K \cdot T_n,$$

որտեղից

$$p \geq \frac{2 \cdot K \cdot T_n}{\pi \cdot d^2 \cdot \ell \cdot f}, \text{ Այսպիսակ է:}$$

Միացման վրա համատեղ ազդում են F_a առանցքային ուժը և T_n ոլորող մոմենտը: Այդ դեպքում մեքենանասերի անշարժությունը պահպանելու համար ապահովում է հետևյալ ուժային պայմանը՝

$$F_q = F_f = K \cdot \sqrt{F_a^2 + (2 \cdot T_n / d)^2} \geq \pi \cdot d \cdot \ell \cdot p \cdot f,$$

որտեղից

$$p \geq \frac{K \cdot \sqrt{F_a^2 + (2 \cdot T_n / d)^2}}{\pi \cdot d \cdot \ell \cdot f} :$$

Անհրաժեշտ ձգվածքի Δ արժեքը որոշելու համար «Նյութերի դիմադրություն» առարկայից կիրառվում է Լամեի հայտնի բանաձև՝

$$\Delta = p \cdot d \cdot (C_1 / E_1 + C_2 / E_2), \text{ մմ,}$$

որտեղ՝ d -ն միացման անվանական տրամագիծն է, մմ, E_1 -ը և E_2 -ը՝ համապատասխանաբար լիսերի և վրանի նյութերի առաձգականության մոդուլները, $1 / \text{մ}^2$, C_1 -ը և C_2 -ը համապատասխանաբար վրանի և լիսերի չափերից ու նյութերի տեսակից կախված գործակիցները՝

$$C_1 = \frac{d^2 + d_1^2}{d^2 - d_1^2} - \mu_1, \quad C_2 = \frac{d_2^2 + d^2}{d_2^2 - d^2} + \mu_2,$$

որտեղ՝ d_1 -ն ընդգրկվող լիսերի անցքի տրամագիծն է, մմ (հոչ լիսերի դեպքում $d_1 = 0$), d_2 -ը՝ ընդգրկող վրանի արտաքին տրամագիծը, մմ, μ_1 -ը և μ_2 -ը՝ համապատասխանաբար լիսերի և վրանի նյութերի Պուասոնի գործակիցները (պողպատի համար $\mu = 0,3$, բուշի համար $\mu = 0,25$, բրոնզի համար $\mu = 0,35$):

Միացման հաշվարկային (ըստ ստանդարտով նախատեսված այլուսակների) ձգվածքը (Δ_h) որոշվում է միացման ընթացքում մակերևույթների խորդուբորդությունների դեֆորմացիայի համաձայն՝

$$\Delta_h = \Delta - U, \text{ մկմ:}$$

Մակերևույթների խորդուբորդությունների դեֆորմացիայի ուղղուման գործակիցը կազմում է

$$U = 1,2 (R_{z1} + R_{z2}), \text{ մկմ}$$

կամ

$$U = 5,5 (R_{\alpha1} + R_{\alpha2}), \text{ մկմ,}$$

որտեղ՝ R_{z1} -ը և R_{z2} -ը լիսեռի և վրանի խորդուբորդությունների բարձրություններն են, մկմ, իսկ $R_{\alpha1}$ -ը և $R_{\alpha2}$ -ը՝ լիսեռի և վրանի խորդուբորդությունների պրոֆիլների միջին թվաբանական շեղումները, մկմ:

Միացման հաշվարկային ձգվածքի (Δ_h) և միջին հպումային ճնշման (p) արժեքների հիման վրա նախ՝ ընտրվում են միացումների նըստեցվածքների տեսակները, ապա՝ որոշվում են վրանի առավելագույն թույլատրելի հպումային լարումները՝

$$[p]_{max} = 0,5 \cdot \sigma_h \cdot [1 - (d / d_2)^2], \text{ Ն/մ}^2,$$

որտեղ σ_h -ն ընդգրկող մեքենամասի (վրանի) նյութի հոսումության սահմանն է, Ն/մ²:

4.5. Երիթային միացումներ

4.5.1. Դիմնական տեղեկություններ

Երիթային միացումները նախատեսված են պտտական կամ համընթաց շարժում հաղորդելու համար և կազմված են երիթից ու լիսեռանվակունդ գույգից: Երիթը պողպատյա չորսու է, որը տեղադրվում է անիվի կունդի և լիսեռի առվակների միջև ու ծառայում է ոլորող մոմենտը լիսեռից անիվին և հակառակը հաղորդելու համար կամ որպես ուղղորդիչ:

Երիթային միացումներն ունեն հետևյալ առավելությունները՝ կառուցվածքի պարզություն ու հուսալիություն, քանդման և հավաքման համեմատաբար հեշտություն, ինչպես նաև հետևյալ թերությունները՝ երիթային առվակների առկայություն (ինչը թուլացնում է հատկապես լիսեռների կտրվածքը), լարումների գգալի խտացումների առաջացում, առվակների պատրաստման բարդություն:

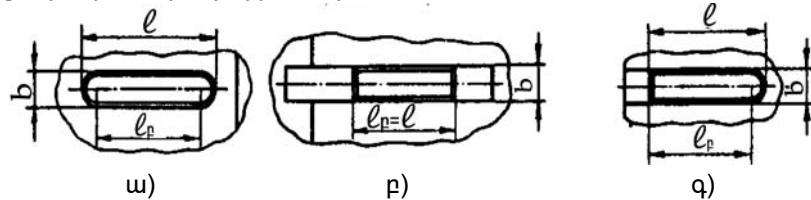
Երիթային միացումները, ըստ շահագործման պայմանների և

Երիթների ձևի, դասակարգվում են լարված ու ոչ լարված միացումների և լինում են անշարժ ու շարժական:

Երիթները պատրաստվում են 45, 50 և այլ մակնիշների պողպատից, որոնք ունեն $\sigma_{\text{d}} > 590 \text{ N/mm}^2$ ժամանակավոր դիմացկունության սահման:

Ստանդարտ երիթները լինում են՝ պրիզմայաձև, սեգմենտաձև, սեպաձև, տանգենցիալ:

Պրիզմայաձև երիթները (ԳՈՍՏ 23360-78) արտադրվում են կառուցվածքային երեք կատարումներով (նկ. 98): 1-ին կատարում՝ երկու կողմից կլորացված ճակատներով (ա), 2-րդ կատարում՝ երկու կողմից ուղիղ ճակատներով (բ), 3-րդ կատարում՝ մի կողմից կլորացված ճակատով (գ): Դրանք հիմնականում օգտագործվում են անշարժ, ոչ լարված միացումներում և կարող են հաղորդել տարբեր մեջության բեռնվածքներ ու արագություններ:

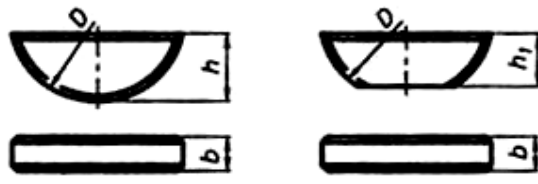


Նկ. 98. Պրիզմայաձև երիթների տեսակները.

ա) 1-ին կատարում, բ) 2-րդ կատարում, ց) 3-րդ կատարում:

Հարժական միացումներում օգտագործվում են լիսեռների վրա պտուտակներով ամրացված պրիզմայաձև ուղղորդ երիթներ, որոնց վրա տեղակայվում են առանցքային ուղղությամբ տեղաշարժվող բջունցքային և շփական կիսակցորդիչներ, ատամնանիվներ և այլն:

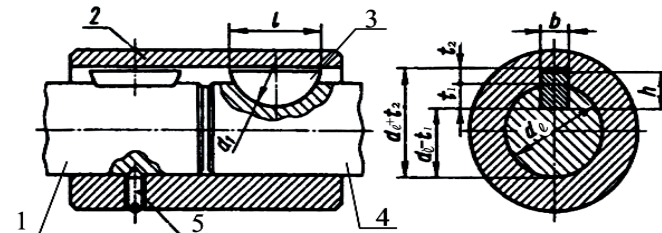
Սեգմենտաձև երիթները (ԳՈՍՏ 24071-80) արտադրվում են կառուցվածքային երկու կատարումներով (նկ. 99): 1-ին կատարում՝ սեգմենտաձև (ա), 2-րդ կատարում՝ հատված սեգմենտաձև (բ): Դրանց բարձրությունը կազմում է $h_1 = 0,8 \cdot h$:



Նկ. 99. Սեգմենտաձև երիթների կառուցվածքային կատարումները.

ա) 1-ին կատարում բ) 2-րդ կատարում

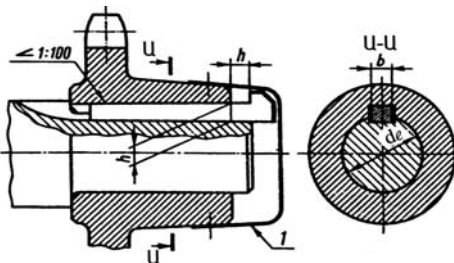
Սեգմենտած երիթները հիմնականում օգտագործվում են անշարժ, ոչ լարված միացումներում (նկ. 100) և կարող են հաղորդել փոքր մեծության բեռնվածքներ ու տարրեր արագություններ:



Նկ.100. Սեգմենտած երիթով միացման հաշվարկային սխեմա.

1,4-միացվող լիսեռների ծայրերը, 2-վրան, 3-սեգմենտած երիթներ,
5-տեղադրման պտուտակ:

Սեպած երիթները (ԳՈՍՏ 24068-80) արտադրվում են կառուցվածքային չորս կատարումներով՝ 1-ին կատարում՝ սեպածն, երկու կողմից ուղիղ ճակատներով ու գլխիկով, 2-րդ կատարում՝ սեպածն, երկու կողմից կլորացված ճակատներով, 3-րդ կատարում՝ սեպածն, երկու կողմից ուղիղ ճակատներով, 4-րդ կատարում՝ մի կողմից կլորացված ճակատով:

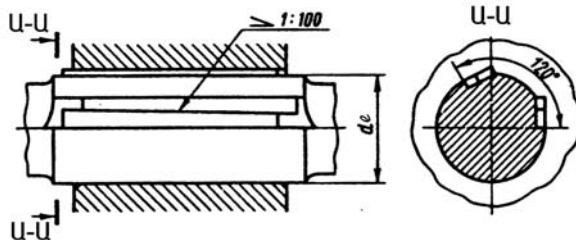


Նկ.101. Սեպած երիթով միացման հաշվարկային սխեմա:

Ինքնարգելակում ապահովելու համար ստեղծվում է սեպի 1:100 թերություն (նկ. 101): Քանի որ սեպածն երիթները միացման մեջ տեղադրվում են որոշակի ուժի գործադրմանք (ինչն առաջացնում է դիսբալանս), ուստի օգտագործվում են դանդաղնթաց և գերբեռնավորված փոխանցումներում:

Տանգենցիալ երիթները (ԳՈՍՏ 24069-80) արտադրվում են նորմալ, ուժեղացված կառուցվածքային կատարումներով և միացումնե-

րում տեղադրվում են որպես կրկնապատկված սեպածն երիթներ (նկ.102):



Նկ.102. Տանգենցիալ երիթներով միացման սխեմա:

Տանգենցիալ երիթներն օգտագործվում են գերբեռնավորված, դանդաղընթաց փոխանցումներում և լավ են աշխատում հարվածային աշխատանքային ռեժիմներում:

4.5.2. Երիթների ընտրությունը և ստուգման հաշվարկը

Երիթների ընտրությունը կատարվում է հետևյալ հերթականությամբ՝

- Ըստ միացման կառուցվածքի ու նշանակման, փոխանցման անհրաժեշտ ճշտության և այլնի՝ ընտրվում է երիթի տեսակը (արիզմայածն, սեգմենտածն, սեպածն կամ տանգենցիալ համապատասխան կատարումներով):
- Ըստ լիսերի (որի վրա տեղադրվում է երիթը) և տրամագծի՝ ստանդարտների համապատասխան աշյուսակներից ընտրվում են երիթի լայնական կտրվածքի և առվակների խորության չափերը՝ b , h , t_1 և t_2 :
- Ըստ անիվի անվակունդի (որի տակ տեղադրվում է երիթը) $\ell_{ան}$ երկարության՝ երիթների երկարությունների ստանդարտ շարքից ընտրվում է երիթի ℓ գաբարիտային երկարությունը, որն ընդունվում է $\ell = \ell_{ան} - (5 \div 10)$ մմ:
- Ընտրված երիթը ստուգվում է ըստ տրորման ($\sigma_{տ} < [\sigma]_{տ}$) և կրտման ($\tau_{կ} < [\tau]_{կ}$) ամրությունների: Եթե ամրության պայմանը չի բավարարվում, ապա հնարավորության սահմանում մեծացվում է երիթի երկարությունը կամ տեղադրվում է երկու երիթ:

Երիթների ստուգման հաշվարկը կատարելու համար ուսումնասիրվում են պրիզմայածն և սեգմենտածն երիթային միացումները:

Պրիզմայածև երիթային միացման հաշվարկային սխեմայից (նկ. 103) երևում է, որ փոխանցվող ոլորող մոմենտի ազդեցությամբ երիթի համապատասխան կողային նակերևույթները ենթարկվում են տրորման, իսկ մարմինը՝ կտրման դեֆորմացիաների:

Երիթների հիմնական աշխատունակության չափանիշը տրորումն է, որի ամրության պայմանն է

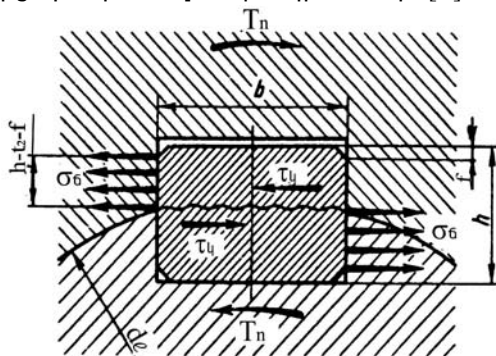
$$\sigma_{\text{տ}} = \frac{F_t}{A_{\text{տ}}} \leq [\sigma]_{\text{տ}},$$

որտեղ՝ F_t -ն շրջագծային ուժն է, $F_t = 2 \cdot T_n / d_e$, Ն, A -ն՝ երիթի տրորման մակերեսն անվագում, $A = (h - t_1) \cdot \ell_{\omega}$, մմ² (ℓ_{ω} -ն երիթի աշխատանքային երկարությունն է. երկու կողմից կլորացված ճակատներով երիթների դեպքում $\ell_{\omega} = \ell - b$, մմ, իսկ մի կողմից կլորացված ճակատով երիթների դեպքում $\ell_{\omega} = \ell - b/2$):

Արժեքները տեղադրելու դեպքում ստացվում է

$$\sigma_{\text{տ}} = \frac{2 \cdot T_n}{d_e \cdot (h - t_1) \cdot \ell_{\omega}} \leq [\sigma]_{\text{տ}} :$$

Անշարժ միացման դեպքում թույլատրելի տրորման լարումը պողպատից պատրաստված կունդի համար կազմվում է $[\sigma]_{\text{տ}} = 100 \div 150$, Ն/մմ², իսկ թուղից պատրաստված կունդի համար՝ $[\sigma]_{\text{տ}} = 60 \div 80$, Ն/մմ²:



Նկ.103. Պրիզմայածև երիթային միացման հաշվարկային սխեմա:

Երիթները կարելի են ստուգել նաև ըստ կտրման ամրության պայմանի՝

$$\tau_{\text{լ}} = \frac{F_t}{A_{\text{լ}}} \leq [\tau]_{\text{լ}},$$

որտեղ A_4 -ն երիթի կտրման ենթակա մակերեսն է, $A_4=b\cdot\ell$: Վերջինիս տեղադրումով ստացվում է

$$\tau_4 = \frac{2 \cdot T_n}{d_e \cdot b \cdot \ell} \leq [\tau]_4,$$

որտեղ $[\tau]_4$ -ն թույլատրելի կտրման լարումն է, $[\tau]_4 = 60 \div 90$, Ն/մ²:

Մեզմենտածն երիթային միացման դեպքում առաջանում են նմանատիպ դեֆորմացիաներ և լարումներ, ինչի հետևանքով տրորման ամրության պայմանը կազմում է

$$\sigma_{in} = \frac{2 \cdot T_n}{d_e \cdot K \cdot \ell_w} \leq [\sigma]_{in},$$

որտեղ K -ն երիթի բարձրությունն է անիվի կունդում, $K = h - t_1$:

Ի տարբերություն պրիզմայաձև երիթների, սեզմենտածն երիթները պարտադիր ստուգվում են նաև ըստ կտրման ամրության պայմանի, քանի որ դրանք նեղ են՝

$$\tau_4 = \frac{2 \cdot T_n}{d_e \cdot b \cdot \ell} \leq [\tau]_4:$$

Եթե ամրության պայմանը չի բավարարվում, ապա հնարավորության սահմանում մեծացվում են անիվի կունդի և երիթի երկարությունները կամ պտտական, համընթաց շարժում հաղորդելու համար տեղադրվում է երկու, երեք երիթ (որոնց գումարային երկարությունը կարող է բավարարել ամրության պայմանին): Երկու երիթները տեղադրվում են 180^0 անկյան տակ, իսկ երեք երիթները՝ 120^0 անկյան տակ:

4.6. Շլիցային միացումներ

4.6.1. Դիմնական տեղեկություններ

Շլիցային միացումները բաղկացած են շլիցային ելուստներով լիսերից և շլիցային առվակներով անիվից: Դրանք օգտագործվում են տարբեր աշխատանքային ռեժիմներում՝ անշարժ և շարժական միացումներում պտտական շարժում հաղորդելու համար:

Լիսերի շլիցները պատրաստվում են մետաղահատման (ֆրեզման, ձգման և այլ միջոցներով) կամ պլաստիկ դեֆորմացիայի (հոլովակների միջոցով) սկզբունքով, իսկ անիվների շլիցները մշակվում են ձգման միջոցով:

Շլիցային միացումները, ըստ շահագործման պայմանների, լինում են անշարժ և շարժական, լարված և ոչ լարված:

Ըլիցային միացումները լայն կիրառություն ունեն մեքենաշինության մեջ, ուստի դրանց հիմնական տեսակները ստանդարտացված են:

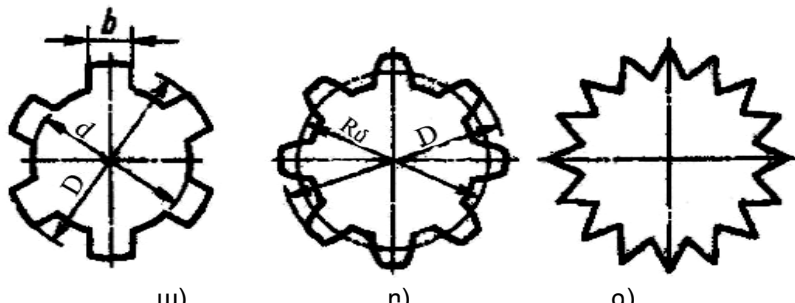
Ըլիցային միացումներն ունեն հետևյալ առավելությունները՝ լավ կենտրոնավորման և առանցքային ուղղությամբ համընթաց տեղափոխման բարձր ճշտության ապահովում, միացման մեջ ընդամենը երկու մեքենամասերի առկայություն, չլիցների աշխատանքային մակերեսների մեծացման շնորհիվ չլիցների առվակների խորության փոքրացում, աշխատանքային տարրեր ռեժիմներում օգտագործման լայն հնարավորություն, ինչպես նաև հետևյալ բերությունները՝ պատրաստման տեխնոլոգիայի բարդություն և բարձր ինքնարժեք:

Ըլիցային լիսեռներն ու անիվների անվակունդերը նպատակահարմար է պատրաստել միջին ածխածնային կամ լեզիրված արդյունաբերության բարձր ճշտություն (ժամանակավոր դիմացկունության սահմանը՝ $\sigma_d > 500$, N/m^2):

Ըստ չլիցի պրոֆիլի՝ չլիցային միացումները լինում են՝

- **Ողջիղ կողերով** (ԳՈՍ 1139-80), որոնք օգտագործվում են միջին և բարձր ոլորտ մոմենտներ ու արագություններ հաղորդելու համար, երբ պահանջվում է միացվող մեքենամասերի համապահանցման բարձր ճշտություն (նկ. 104 ա):

Կենտրոնացումը կատարվում է որևէ տրամագիծ նկատմամբ կամ չլիցի կողերով:



Նկ. 104. Ըլիցների պրոֆիլների տեսակները.

ա) ուղիղ կողերով, բ) էվոլվենտային, գ) եռանկյունաձև:

Ուղիղ կողերով չլիցներն արտադրվում են երեք սերիաներով թերև (անշարժ և նվազ բեռնավորված միացումների համար), միջին (անշարժ, միջին բեռնավորված կամ շարժական, առանց բեռնվածքի միացումների համար) և ծանր (գերբեռնավորված և տեղաշարժվող

միացումների համար): Այս սերիաները նույն ներքին տրամագծի դեպքում ունենում են տարբեր արտաքին տրամագծեր և շլիցների քանակ:

- **Էվլումնտային պրոֆիլով** (ԳՈՍ 6033-80), որոնք օգտագործվում են տարբեր ոլորող մոմենտներ և արագություններ հաղորդելու համար, երբ պահանջվում է միացվող մեքենամասերի որոշակի համառանցքայնության ճշտություն:

Կենտրոնավորումը կատարվում է հիմնականում շլիցների կողերով կամ արտաքին տրամագծով (հազվադեպ):

Միացման երկրաչափական պարամետրերը որոշվում են մոդուլի (m) միջոցով, երբ կառչման անկյունը $\alpha=30^\circ$ է, իսկ ատամի ոտիկը՝ ուժեղացված: Այս միացման տեսակն ավելի ամուր է և ունի բարձր ճշտություն, սակայն պատրաստումը բարդ է՝ համեմատած ուղիղ կողերով շլիցների հետ:

- **Եռանկյունաձև պրոֆիլով**, որոնք ստանդարտացված չեն և օգտագործվում են հիմնականում անշարժ, փոքր բեռնվածքներ հաղորդելու համար (բարակ պատերով անվակունդների, խողովակների, անոթների և այլ միացումների դեպքում):

4.6.2. Շլիցային միացումների ընտրությունը և ստուգման հաշվարկը

Շլիցային միացումների ընտրությունը կատարվում է հետևյալ հերթականությամբ՝

- Ըստ շահագործման պայմանների, կենտրոնադրման ճշտության, ինչպես նաև հաղորդվող բեռնվածքի մեծության՝ ընտրվում են շլիցները և դրանց միացման տեսակը (անշարժ, շարժական, ուղիղ կողերով և այլն):
- Ըստ նախօրոք հաշվարկված լիսերի d_e տրամագծի՝ շլիցների ստանդարտների այլուսակներից ընտվում է շլիցների տիպաշակը՝ կտրվածքի համապատասխան չափերով (d , D և z):
Ուղիղ կողերով շլիցային միացման դեպքում

$$D - z \times d \frac{H12}{a11} \times D \frac{H7}{e8} \times b \frac{D9}{f8},$$

որտեղ՝ z -ը շլիցների քանակն է, d -ն՝ լիսերի ներքին տրամագիծը, D -ն՝ շլիցի արտաքին տրամագիծը, b -ն՝ շլիցի լայնությունը:

Շլիցային միացումների կենտրոնացումը կատարվում է ըստ արտաքին տրամագծի:

- Ըստ տրորման ($\sigma_{st} < [\sigma]_{st}$) և կտրման ($\tau_k < [\tau]_k$) ամրության պայ-

մանների՝ ստուգվում են ընտրված շլիցային միացման շլիցները:

- Եթե ամրության պայմանը չի բավարարվում, ապա հնարավորության սահմանում մեծացվում է անվակունդի երկարությունը կամ ընտրվում է շլիցի ավելի ծանր տեսակ:

Շլիցային միացումները ստուգվում են (նկ. 105) հիմնականում ըստ տրորման ամրության պայմանի՝

$$\sigma_{\text{տ}} = \frac{F_t}{A_{\text{տ}}} \leq [\sigma]_{\text{տ}},$$

որտեղ՝ $A_{\text{տ}}$ -ն մեկ շլիցի տրորման ենթարկվող մակերեսն է,

$$A_{\text{տ}} = \left(\frac{D-d}{2} - 2 \cdot f \right) \cdot \ell_{\text{աբ}}, \text{ մմ}^2 \quad (f-\text{ը երեսակի արժեքն է, որն ըն-$$

դունվում է ստանդարտմերի այսուսակներից, $\ell_{\text{աբ}}$ -ն՝ անվակունդի երկարությունը, ստանդարտ էվոլվենտային շլիցների համար $(D-d)/2 = 0,8 \text{ m}$, F_t -ն՝ շրջագծային ուժը, $F_t = 2T_n/D_d$ (D_d -ը միջին տրամագիծն է, որի վրա ազդում է F_t ուժը, $D_d = 2R_d = (D+d)/2$):

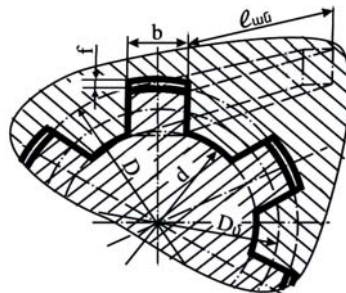
Արժեքները տեղադրելու դեպքում ստացվում է

$$\sigma_{\text{տ}} = \frac{T_n}{0,75 \cdot z \cdot A_{\text{տ}} \cdot R_d} \leq [\sigma]_{\text{տ}},$$

որտեղ $0,75$ թվային գործակիցը հաշվի է առնում շլիցների վրա ճնշման բաշխման անհավասարաչությունը (ճնշման ենթարկվում է շլիցների $75\%-\text{ը}$):

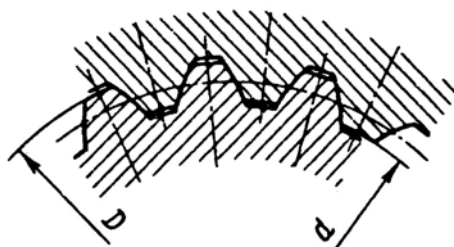
Յանգիստ բեռնվածքի և անշարժ միացման դեպքում $[\sigma]_{\text{տ}} = 100, 1/\text{մ}^2$, իսկ փոփոխական կամ հարվածային բեռնվածքի դեպքում $[\sigma]_{\text{տ}} = 30 \div 50, 1/\text{մ}^2$:

Եթե շլիցները ենթարկվում են ջերմաքիմիական մշակման, ապա $[\sigma]_{\text{տ}} = 140 \div 150, 1/\text{մ}^2$:



Նկ. 105. Ուղիղ կողերով շլիցային միացման հաշվարկային սխեմա:

Եվոլվենտային շլիցային միացումները (Նկ. 106) ընդունվում և ստուգվում են նույնանման ձևով, սակայն ստուգման բանաձևում $A_{\text{տ}} \approx 0,8 \cdot t \cdot l_{\text{ա.}}$, որտեղ t -ը շլիցների կառչման մոդուլն է, որն ընդունվում է ստանդարտների այսուսակներից:



Նկ.106. Եվոլվենտային շլիցային միացման հաշվարկային սխեմա:

Շլիցների ստուգումն ըստ կտրման ամրության կրում է օժանդակ բնույթ և անհրաժեշտության դեպքում դուրս է բերվում դրա ամրության պայմանը՝

$$\tau_{\text{կ}} = \frac{T_{\text{n}}}{R_{\text{ց}} \cdot 0,75 \cdot z \cdot b \cdot l_{\text{ա.}}} \leq [\tau]_{\text{կ}},$$

որտեղ $[\tau]_{\text{կ}}$ -ն թույլատրելի կտրման լարումն է, $[\tau]_{\text{կ}} = 80 \div 100$, $\text{Ն}/\text{մ}^2$:

ԳՐԱԿԱՆՈՒԹՅՈՒՆ

- Կարապետյան Յ.Մ., Բաղդասարյան Մ.Թ. «Մեթնաների մասեր» առարկայից կուրսային նախագծերի առաջադրանքների և կատարման մեթոդական ցուցումներ: Երևան, ՀԳԱ, 2001:
- Կարապետյան Յ.Մ., Իսկանդարյան Վ.Խ. Գլորման առանցքակալների նախագծման հիմունքներ: Մեթոդական ցուցումներ: Երևան, ՀԳԱ, 2001:
- Թարվերյան Ա.Պ. և ուրիշներ Նյութերի դիմադրություն (տեսություն և խնդիրներ): Դասագիրք ԲՈՒՀ-ի ճարտարագիտական և տեխնոլոգիական մասնագիտությունների ուսանողների համար: Երևան, Ասորիկ, 2001:
- Այ օծնական Ա.Է. Նի ծառակ ։ Ի է է ։ Երևան, 1992.
- Անդրանիկ Տ. Ա. Ահա ահա ։ Տառապահ ։ Երևան, 1986.
- Անդրանիկ Տ. Ա. Ահա ահա ։ Տառապահ ։ Երևան, 1970.
- Անդրանիկ Տ. Օ., Երևան ։ Տառապահ ։ Երևան, 2000.
- Անդրանիկ Տ. Օ., Երևան ։ Տառապահ ։ Երևան, 1990.
- Անդրանիկ Տ. Օ., Երևան ։ Տառապահ ։ Երևան, 1998.
- Երևան ։ Տառապահ ։ Երևան, 1988.
- Երևան ։ Տառապահ ։ Երևան ։ Տառապահ ։ Երևան, 1979.
- Երևան ։ Տառապահ ։ Երևան ։ Տառապահ ։ Երևան, 1970.
- Երևան ։ Տառապահ ։ Երևան ։ Տառապահ ։ Երևան, 1979.
- Երևան ։ Տառապահ ։ Երևան ։ Տառապահ ։ Երևան, 1982.
- Երևան ։ Տառապահ ։ Երևան ։ Տառապահ ։ Երևան, 1986.
- Երևան ։ Տառապահ ։ Երևան ։ Տառապահ ։ Երևան, 1999.
- Երևան ։ Տառապահ ։ Երևան ։ Տառապահ ։ Երևան, 2004.
- Երևան ։ Տառապահ ։ Երևան ։ Տառապահ ։ Երևան, 1971.

18. Ì áðâéü È.B. Ì àøèí èéè èà÷áí èý: ðañ÷åò, Ì ðí áéòèðí áàí èå è
í áñéóæèâáí èå í í ð: Ñí ðaâí ÷í èé. – l .: l àøèí í ñòðí áí èå, 1983.
19. Ì ðí áéòèðí áàí èå í áðàí è÷åñéèö í áðâäà÷. /l í á ðåäàéöèåé Ñ.À.
xâðí áâñéâ áí. - 5-å èçä. – l .: l àøèí í ñòðí áí èå, 1984.
20. Ðâøâðí á Ä.Í. Äåðâéè è àøèí. – l ., 1989.
21. Óâí áí ñüââ Á.È. Ñí ðí ðeâéâí èå í àðâðeâé á. – l ., 1979.
22. xâéí àðââ Á.À. è äð. Ñí ðaâí ÷í èé í í àøèí í ñòðí èòâéüí í í ó
÷åð÷áí èþ. - 4-å èçä., ñòâð. – l .: Áññðàÿ øéí èå, 2003.
23. xâðí áâñééé Ñ.À. è äð. Éóðñí áí á í ðí áéòèðí áàí èå áåðâéâé
í àøèí: Ó÷åáí í á í í áéå äëý òâðí èéòí í á. – l .: l àøèí í ñòðí -
áí èå, 1979.
24. xâðí áâñééé Ñ.À. è äð. Éóðñí áí á í ðí áéòèðí áàí èå áåðâéâé í à-
øèí: Ó÷åáí í á í í áéå äëý ó÷åùéöñý í àøèí í ñòðí èòâéüí éó ñí á-
øèâéüí í ñòâé èâðí èéòí í á. – l .: l àøèí í ñòðí áí èå, 1988.
25. xâðí èéâñéé Á.Á. l ní í áú í ðí áéòèðí áàí èý í àøèí. – l ., 1998.
26. Øâéí áéèò Á.À. Éóðñí áí á í ðí áéòèðí áàí èå áåðâéâé í àøèí. – l .:
Áññðàÿ øéí èå, 1991.

ԲՈՎԱՆԴԱԿՈՒԹՅՈՒՆ

ՆԵՐԱԾՈՒԹՅՈՒՆ.....	3	
ԳԼՈՒԽ 1. Մեքենաների մասերի հաշվարկի և նախագծման հիմունքները.....		5
1.1. Յիմնական հասկացություններ	5	
1.2. Մեքենանասերին և սարքավորումներին ներկայացվող պահանջներն ու աշխատունակության չափանիշները.....	6	
1.3. Մեքենանասերում բեռնվագծների և լարումների ցիկլերի տեսակները	8	
1.4. Նախագծման փուլերը	9	
ԳԼՈՒԽ 2. Մեխանիկական փոխանցումներ.....		10
2.1. Յիմնական տեղեկություններ	10	
2.2. Շփական (ֆրիկցիոն) փոխանցումներ.....	13	
2.2.1. Գլանային շփական փոխանցումներ.....	14	
2.2.1.1. Յիմնական տեղեկություններ	14	
2.2.1.2. Գլանային շփական փոխանցումների հաշվարկն ըստ մաշակայունության	15	
2.2.1.3. Գլանային շփական փոխանցումների հաշվարկն ըստ հպումային ամրության	16	
2.2.2. Կոնական շփական փոխանցումներ	17	
2.2.2.1. Յիմնական տեղեկություններ	17	
2.2.2.2. Կոնական շփական փոխանցումների հաշվարկն ըստ մաշակայունության	19	
2.2.2.3. Կոնական շփական փոխանցումների հաշվարկն ըստ հպումային ամրության	19	
2.2.3. Գլանային սեպաձև գլանվակներով շփական փոխանցումներ	21	
2.2.3.1. Յիմնական տեղեկություններ	21	
2.2.3.2. Գլանային սեպաձև գլանվակներով շփական փոխանցումների հաշվարկն ըստ մաշակայունության	23	
2.2.3.3. Գլանային սեպաձև գլանվակներով շփական փոխանցումների հաշվարկն ըստ հպումային ամրության	24	
2.3. Ատամնավոր փոխանցումներ.	25	
2.3.1. Յիմնական տեղեկություններ	25	
2.3.2. Գլանային ուղղատամ ատամնավոր փոխանցումներ.....	30	
2.3.2.1. Յիմնական տեղեկություններ	30	
2.3.2.2. Գլանային ուղղատամ ատամնավոր փոխանցումների հաշվարկն ըստ ծռման ամրության.....	33	

2.3.2.3. Գլանային ուղղատաճ ատամնավոր փոխանցումների հաշվարկն ըստ հպոմային ամրության	35
2.3.3. Գլանային շեղատաճ ատամնավոր փոխանցումներ	38
2.3.3.1. Նիմնական տեղեկություններ	38
2.3.3.2. Գլանային շեղատաճ ատամնավոր փոխանցումների հաշվարկն ըստ ամրության	41
2.3.4. Կոնական ատամնավոր փոխանցումներ	44
2.3.4.1. Նիմնական տեղեկություններ	44
2.3.4.2. Կոնական ատամնավոր փոխանցումների հաշվարկն ըստ ծռման ամրության	47
2.3.4.3. Կոնական ատամնավոր փոխանցումների հաշվարկն ըստ հպոմային ամրության	49
2.3.5. Որդնակային փոխանցումներ	50
2.3.5.1. Նիմնական տեղեկություններ	50
2.3.5.2. Որդնակային փոխանցումների հաշվարկն ըստ ծռման ամրության.....	58
2.3.5.3. Որդնակային փոխանցումների հաշվարկն ըստ հպոմային ամրության.....	60
2.3.5.4. Որդնակային ռեղուկտորների ջերմային հաշվարկը.....	63
2.3.6. Պնդողակ-պտուտակ փոխանցումներ	64
2.3.6.1. Նիմնական տեղեկություններ	64
2.3.6.2. Պնդողակ-պտուտակ փոխանցումների հաշվարկն ըստ մաշակայունության	65
2.3.6.3. Պնդողակ-պտուտակ փոխանցումների զույգի կառուցվածքային չափերի որոշումը	66
2.4. Փոկային փոխանցումներ	70
2.4.1. Նիմնական տեղեկություններ	70
2.4.2. Հարք փոկով փոկային փոխանցումներ.....	71
2.4.3. Սեպածև փոկով փոկային փոխանցումներ.....	76
2.4.4. Փոկերի հաշվարկն ըստ քարշային ունակության և երկարակեցության	79
2.5. Շղբայավոր փոխանցումներ	81
2.5.1. Նիմնական տեղեկություններ	81
2.5.2. Շղբայի հաշվարկն ըստ մաշակայունության	86
ԳԼՈՒԽ 3. Պտտական շարժում ապահովող մեքենամասեր	89
3.1. Սոնիներ և լիսեռներ	89
3.1.1. Նիմնական տեղեկություններ	89
3.1.2. Սոնիների հաշվարկն ըստ ծռման (ստատիկ) ամրության	90

3.1.3.	Լիսեռների հաշվարկն ըստ ոլորման ամրության	91
3.1.4.	Լիսեռների հաշվարկն ըստ ոլորման և ծոճան համատեղ դեֆորմացիայի	93
3.1.5.	Սօնիների և լիսեռների հաշվարկն ըստ կոշտության	95
3.1.6.	Սօնիների և լիսեռների հաշվարկն ըստ տատանման	97
3.2.	Սահքի առանցքակալներ.....	100
3.2.1.	Դիմնական տեղեկություններ	100
3.2.2.	Սահքի առանցքակալների նյութերը, յուղման պայմանները և յուղերի տեսակները.....	101
3.2.3.	Սահքի առանցքակալների բուժակների հաշվարկը.....	104
3.3.	Գլորման առանցքակալներ.....	106
3.3.1.	Դիմնական տեղեկություններ	106
3.3.2.	Գլորման առանցքակալների նշանակումը	109
3.3.3.	Գլորման առանցքակալների հաշվարկը և ընտրությունն ըստ ստատիկ բեռնունակության	113
3.3.4.	Գլորման առանցքակալների հաշվարկը և ընտրությունն ըստ դիմամիկ բեռնունակության	114
3.4.	Մեխանիկական կցորդիչներ	119
3.4.1.	Դիմնական տեղեկություններ	119
3.4.2.	Կոշտ վրանային կցորդիչների հաշվարկը	122
3.4.3.	Կոշտ կցաշուրթային կցորդիչների հաշվարկը	123
3.4.4.	Ծկուն մատնավրանային կցորդիչների հաշվարկը	125
3.4.5.	Բռնցքավոր կցվածքային կցորդիչների հաշվարկը.....	126
3.4.6.	Շփական կցվածքային կցորդիչների հաշվարկը	128
3.4.7.	Ապահովիչային հատուկ կցորդիչների հաշվարկը	130
ԳԼՈՒԽ 4.	Սիացումներ և դրանց մեքենանասեր.....	132
4.1.	Գամային միացումներ	132
4.1.1.	Դիմնական տեղեկություններ	132
4.1.2.	Գամային ամուր կարերի հաշվարկը.....	135
4.1.3.	Գամային կիպ կարերի հաշվարկը	136
4.2.	Եռակցված միացումներ	137
4.2.1.	Դիմնական տեղեկություններ	137
4.2.2.	Կցվածքային կարերի հաշվարկը	139
4.2.3.	Անկյունային կարերի հաշվարկը	140
4.3.	Պարուրակային միացումներ	141
4.3.1.	Դիմնական տեղեկություններ	141
4.3.2.	Պարուրակային միացումների ուժային հարաբերակցությունները, ինքնարգելակման պայմանը և օ.գ.գ.-ն.....	147
4.3.3.	Դեղույսային միացումների հաշվարկն ըստ ամրության	150
4.3.3.1.	Առանց նախնական ձգման և առանցքային ուժով բեռնավորված հեղույսների հաշվարկն ըստ	

ամրության.....	151
4.3.3.2. Նախնական ձգմանք և արտաքին ուժերի ազդեցությամբ բեռնավորված հեղույսների հաշվարկն ըստ ամրության.....	152
4.3.3.3. Զգման ուժի և ոլորող մոնենոտի ազդեցությամբ բեռնավորված հեղույսների հաշվարկն ըստ ամրության.....	153
4.3.3.4. Բացակով տեղադրված և լայնական ուժերի ազդեցությամբ բեռնավորված հեղույսների (սևատաշ) հաշվարկն ըստ ամրության.....	154
4.3.3.5. Առանց բացակի տեղադրված և լայնական ուժերի ազդեցությամբ բեռնավորված հեղույսների (մաքրատաշ) հաշվարկն ըստ ամրության.....	155
4.3.3.6. Բարդ դեֆորմացիայի ազդեցությամբ բեռնավորված արտակենտրոն գլխիկով հեղույսների հաշվարկն ըստ ամրության.....	156
4.3.3.7. Սեղմակային միացումների հեղույսների հաշվարկն ըստ ամրության.....	158
4.4. Մամլանստեցվածքային (երաշխավորված ձգվածքով) գլանային միացումներ	160
4.4.1. Դիմնական տեղեկություններ	160
4.4.2. Մամլանստեցվածքային միացումների հաշվարկը	161
4.5. Երիթային միացումներ.....	163
4.5.1. Դիմնական տեղեկություններ	163
4.5.2. Երիթների ընտրությունը և ստուգման հաշվարկը	166
4.6. Շլիցային միացումներ.....	168
4.6.1. Դիմնական տեղեկություններ	168
4.6.2. Շլիցային միացումների ընտրությունը և ստուգման հաշվարկը	170
ԳՐԱԿԱՆՈՒԹՅՈՒՆ	173
ԲՈՎԱՆԴԱԿՈՒԹՅՈՒՆ	175

ԿԱՐԱՊԵՏՅԱՆ ՀԱՅԿ ՄԱԿԱՐԻ

ՄԵՔԵՆԱՆԵՐԻ ՍԱՍԵՐ
(ՄԵՔԵՆԱՆԵՐԻ ՀԱԾՎԱՐԿԻ ԵՎ
ՆԱԽԱԳԾՈՒԱՆ ՀԻՄՈՒՆՔՆԵՐ)

Երևան 2007

ԷՃՃԱԻ ԱՋԲԻ ԱԱԷԵ Ի ԱԷՃԴԻ ԱԵ×

ԱԱՃԱԷԵ Ի ԱՋԵՒ
(Ի ԱԽ Ի ԱՇ Ի ԵՇ ԱՅՕԵՇԴ ԱԱԻ ԵՑ Ի ԱՋԵՒ)

ԱԺՃԱՌ 2007

Ստորագրված է տպագրության 15.05
11,25 տպ. մամուլ, հրատ. մամուլ 9,0 Պատվեր 164 Տպաքանակ 300
Գինը պայմանագրային

ՀՊԱՀ-ի տպարան Տերյան փ. 74